

東京大学

194

学位請求論文

非軸対称光ファイバの伝搬特性に関する研究

指導教官 大越孝敬 教授
東京大学大学院工学系研究科
電子工学専門課程
学修番号 9665 來住 直人

提出日 昭和61年12月20日

目次

第1章 序論	1
1-1 研究の背景	2
1-2 非軸対称光ファイバの固有モード解析法	3
1-3 本論文の目的	4
1-4 本論文の構成	4
第2章 グリーン関数を用いない境界積分法	9
2-1 まえがき	10
2-2 従来の境界要素法	11
2-3 グリーンの公式による定式化	14
2-4 重み付き残差法による定式化	15
2-5 重み関数の選び方	18
2-6 従来の境界要素法との関係	24
2-7 むすび	27
第3章 単一媒質境界値問題のための定式化	28
3-1 まえがき	29
3-2 境界要素法の定式化	30
3-3 数値解析結果	35
3-4 境界形状の近似が計算精度に与える影響	45
3-5 重み関数の選び方とスプリアス解の関係	47
3-6 むすび	49

第4章 境界積分法による均一コア光ファイバの固有モード解析	50
4-1 まえがき	51
4-2 境界積分法の定式化	52
4-3 円形断面光ファイバの固有値方程式の導出	61
4-4 楕円コア光ファイバの解析	65
4-5 端点を持つ境界形状の解析	74
4-6 むすび	86
第5章 複合媒質光ファイバの固有モード解析	87
5-1 まえがき	88
5-2 複合媒質解析のための境界積分法の定式化	89
5-3 絶対単一偏波光ファイバの解析	94
5-4 むすび	103
第6章 サイドトンネル型絶対単一偏波光ファイバの解析	104
6-1 まえがき	105
6-2 サイドトンネル型絶対単一偏波光ファイバ	106
6-3 境界条件の考え方	108
6-4 数値解析結果	110
6-5 高次モードの異常接近現象	129
6-6 最適構造の決定	137
6-7 むすび	146
第7章 非軸対称光ファイバの損失測定	147
7-1 まえがき	148
7-2 実験系の構成	149
7-3 絶対単一偏波光ファイバの測定	154
7-4 考察	157
7-5 むすび	158
第8章 結論	159

謝辞	161
参考文献	163
著者発表文献	169
付録	172
A 円柱調和関数の円周上における線積分の解析的表示	173
A - 1 Grafの加法定理による円柱調和関数の表現	173
A - 2 0次の円柱調和関数の線積分	177
A - 3 第2種変形ベッセル関数の線積分	180
B プログラムリスト	183

第1章 序論

1 - 1	研究の背景	2
1 - 2	非軸対称光ファイバの固有モード解析法	3
1 - 3	本論文の目的	4
1 - 4	本論文の構成	4

1 - 1 研究の背景

1970年代に始まった光通信技術の開発は、1980年代後半の現在においては、その基礎技術の実用化となってひとまず実を結び、より高性能な光通信方式[1]と光計測技術[3,4]への模索という方向へと向かいつつある。このような光技術の急速な発展は1970年代末に開発された低損失(0.2dB/km)単一モード光ファイバ[2]に負うところが大きい。

単一モード光ファイバにおいては2つの直交する直線偏波からなる基底モードが存在し、これらの2つのモードにより光波が伝送される。現在よく用いられている軸対称単一モード光ファイバの場合は、これらのモードは理想的には縮退しているのでふたつのモードによって伝送される光波に位相差はない。したがって光波は偏波状態を保ったまま伝搬する。しかし、製造過程において加わるコア形状の歪、コア径の微小なゆらぎ、あるいはファイバに加わる曲げなどによってこれらのモードの縮退が解け、ふたつのモード間にわずかな位相差が生じる。これらふたつのモードの主軸と位相差は光ファイバの伝搬軸方向にランダムに変化するので、光波は、主軸を出鱈目な方向に配置した位相板の列内を通過するのと同等な効果を受け、偏波状態は光波の伝搬にしたがってランダムに変化する。さらにファイバに加わる曲げや温度などの敷設環境の変化によってその等価的な位相板列の主軸の方向と位相差は時間変動する。すると光波のエネルギーがふたつのモードに分配されて伝搬する結果、出射端における偏波状態が不安定に変動することになる[3,5]。このことは、コヒーレント光通信方式の受信機[1]やヘテロダイン計測[4]における信号光と局発光の偏波の不整合、各種のセンサにおける検知出力の時間変動[4]などの原因となる。

このような偏波状態を保存しにくい軸対称単一モード光ファイバに対して、非軸対称光ファイバ[6-14]は光の伝搬軸に関して波動光学的に大きな非対称構造を持つ光ファイバであり、この非対称構造は、先に述べた製造過程で加わる不完全性や環境変化によるものより十分大きい。したがって非軸対称光ファイバを用いて、入射光波の偏波をその非対称構造のどちらか一方の主軸に一致させることにより定偏波伝送を長距離にわたって、ファイバに加わる曲げや温度などの環境の変化にかかわらず安定に行うことができる。

非軸対称光ファイバは、その特性から、「複屈折光ファイバ」と「絶対単一偏波光ファイバ」とに分類される[6]。前者は、上で述べたような構造の非軸対称性によりふたつの基底モード間の結合を小さくした光ファイバであり、使用波長においてはそれらふたつのモードは伝搬しうる。これに対して後者は、非軸対称的な「屈折率の溝」を持っている。

これによって、ふたつの基底モード間の結合が小さくなるばかりではなく、これらのモードが遮断周波数(波長)を持つようなる。そのうえ、屈折率分布の非軸対称性により遮断波長に差が生じることによって、このふたつの遮断波長間の波長帯においては片方の偏波のみが伝搬しうる。つまり、モード結合によりもうひとつのモードに移行した光波のエネルギーは、そのモードが放射モードとなり伝搬しないので伝搬する光波の偏波状態は直線偏波のみである。したがって絶対単一偏波光ファイバは、光の伝送目的のみならず、偏光素子としても応用できる[5,6,8,11,14]。

1-2 非軸対称光ファイバの固有モード解析法

非軸対称光ファイバにおいて、安定な定偏波伝送を行うためにはふたつのHE₁₁モードの伝搬定数 β_x, β_y 、および自由空間波長 λ_0 を用いて表される正規化複屈折B

$$B = \frac{|\beta_x - \beta_y|}{\lambda_0} \quad (1-1)$$

を大きくして2モード間の結合を小さくする必要がある[3]。

複屈折Bを大きくするためには、光ファイバを波動光学的に非軸対称構造にすればよい。これには次のような方法がある。

- ① コアの形状を真円からずらす[18,33,34,41,42,61]。
- ② 屈折率分布を非軸対称複合化する[19-25,35-39]。
- ③ 光ファイバに非軸対称応力を加える[32]。

本論文では簡単のため③の方法については対象外とし、①,②を利用した非軸対称光ファイバに限定して考える。

非軸対称光ファイバの特性決定、設計、構造の最適化などを行うためには、光ファイバ内を伝搬する光波に対する精密な電磁界解析が必要になる。①,②の非軸対称化を利用した構造の光ファイバを解析する場合には、一般には光ファイバの構造について次のような仮定を行う。

- (1) すべての媒質は、光の伝搬する方向(z 軸方向)に一様、等方、無損失である。
- (2) 屈折率(誘電率)は区分的な領域内で一定である。
- (3) 媒質は磁気的に均質であり、その透磁率は μ_0 である。
- (4) クラッドは無限媒質である。

ここで、上記の(2)の仮定に反する、すなわち屈折率分布が不均質な構造[25,39]についても研究が盛んに行われているが、これについても対象外とする。

上記(1)～(4)の仮定に基づいた光ファイバの固有伝搬モードに対しては、今日までにさまざまな数値解析法が適用されてきているが[15,16]、これらは解析法の原理によって、次のように分類される。

- | | |
|------------------|---------------------------------------|
| I 变分原理によるもの | : 有限要素法[18-32] |
| II 電磁界の関数展開によるもの | : 点整合法[33-40]
モード整合法(安浦の方法)[41,42] |
| III 積分方程式によるもの | : 境界要素法(周回積分法)[50,57,58] |

解析法に要求される事項としては次のようなものがある。

- 1) 高精度である。
- 2) 解くべき連立方程式の元数が小さい。
- 3) 計算時間が短い。
- 4) 定式化が容易である。
- 5) 数値解のなかに多数の非物理解(スプリアス解)[6,26,30,31,58,59]を含まない。

上記の解析法のなかで I に属する有限要素法(F E M:Finite Element Method)は領域

を三角形のメッシュに分割して、その節点における関数値を用いて変分法における汎関数を計算する方法である。この方法は本論文で対象外としている異方性媒質[26, 27, 32]や不均質媒質[25]を含む構造も解析できるなど、極めて汎用性の高い解法だが、1), 2), 5) の条件を満たしていない。

IIに属する方法においては区別的に均質な媒質内の電磁界を基本方程式の解析解で展開することが基本である。点整合法(PMM:Point Matching Method)では、境界条件を境界上の離散点で適用して界を決定し、モード整合法(MMM:Mode Matching Method)は境界条件の平均二乗誤差が最小になるように界を決定する方法であり、共に 2)の条件は満たす。このなかで点整合法は、定式化とスプリアス解の除去が容易であるが、限られた問題以外については精度を高めることが困難である[33]。モード整合法は高精度であるが、計算時間はかなり長くなってしまう[42]。

IIIに属する境界要素法は、グリーンの定理から導出される境界積分方程式を有限要素的な離散化を用いて解く解法であり、1)~3)の条件は満たすが、特異点を持つグリーン関数の積分を行わねばならないので定式化が複雑になり[60]、グリーン関数の選択方法や、未知関数の離散化の方法によってスプリアス解が発生する[58, 59]。

このように、1)~5)の条件をすべて満たす数値解法はないというのが現状だが、IIIに属する方法については、定式化の困難さとスプリアス解の発生を克服すればこの解法は他の方法と比較すると有利な解法となる。

1 - 3 本論文の目的

本論文の目的は、絶対単一偏波光ファイバを中心とする非軸対称光ファイバの伝搬特性を解明することにある。そのための数値的解法としては、前節で述べたように高精度な解析が可能である境界積分方程式を用いる解法[43,50]を適用する。具体的には、定式化が容易になるグリーン関数を用いない解法を提案し、この解法の有効性について検討する。そしてこの解法を一般の二次元ヘルムホルツ方程式の解法に適用し、数値解析法としての手順を確立する。最終的にはこの解法をサイドトンネル型絶対単一偏波光ファイバの伝搬モード解析に適用し、その光波伝搬特性を解明し、最適構造の性能について明らかにする。さらに、実際に製造された非軸対称光ファイバの絶対単一偏波特性を測定するための波長損失特性測定装置を構成する。

1 - 4 本論文の構成

本論文の次章以降の構成は、以下のとおりである。

第2章は、非軸対称光ファイバの伝搬特性の数値解法として本論文で適用する、グリーン関数を用いない境界積分法の提案についてである。この解析法の基礎付けのために、その定式化をグリーンの公式および重み付き残差法のふたつの方法により行なう。そして解析に用いる重み関数の選び方について論じ、この観点から従来の境界要素法定式化との関連についても論じる。

第3章では、この解法の数値解析法としての有効性を確かめるために、この解法を最も簡単な問題、すなわち单一媒質中のヘルムホルツ方程式の境界値問題に従来の境界要素法と同様な定式化を行って適用する。この章では、数値解析のための定式化を行うことによって、グリーン関数を用いない境界積分法の定式化の最も基本的な手順が述べられている。いくつかの境界形状、境界条件についての数値解析を行い、その結果として境界形状の近似の方法が数値解析の精度を大きく左右することが明らかになる。また、重み関数の選択法によってはスプライアス解が発生することを示し、これと従来の境界要

素法のスプリアス解とを関係づける。

第3章までで行ったグリーン関数を用いない境界積分法の定式化を光ファイバの固有伝搬モードのベクトル波解析のように、ふたつのポテンシャル関数を考慮しなければならない解析に適用する方法が第4章において述べられている。曲線座標の利用により第3章のような境界形状の近似を行うことを避けている。境界上の関数值としては、第3章の境界要素法の解析で用いたような1次元スプライン関数よりも境界条件の適用が容易なフーリエ三角級数を用いる。定式化の有効性を軸対称均一コア光ファイバのスプリアス解を含まない固有値方程式の導出によって確かめている。数値解析を行うコア形状としては楕円形と正方形を考え、他の解析法による解析結果との比較を行う。特に正方形の場合には境界上の端点の数値解析に及ぼす影響について論じる。

第5章では、第4章で行ったベクトル波解析のための定式化をさらに発展させて、最も単純な構造の複合媒質光ファイバの固有伝搬モード解析に適用する方法が述べられている。境界上の関数值と、重み関数の取り方の工夫によって第4章の定式化が容易に拡張できることが明らかにされている。複合媒質光ファイバの固有伝搬モードの解析結果と、絶対単一偏波光ファイバとしての応用とその基礎的な特性について論じる。

第6章はサイドトンネル型光ファイバの特性解析についてである。解析手法としては、第5章で行った定式化を応用しており、伝搬定数などの計算値の収束特性の検討、境界上の電磁界分布の計算、および他の数値解法との比較によって、解析手法の有効性を論じる。次に、サイドトンネル型光ファイバにおいて問題となっている高次モードの基本モードへの異常接近現象について、それがおこる構造について論じる。その結果、高次モードの異常接近現象は、トンネルのコアへの食い込みがコアの中心からコア半径の30%程度の距離に達したときに起きることが明らかとなる。このことを踏まえた上で、サイドトンネル型光ファイバにおいて最も比帯域が大きくとれる構造の決定、すなわち構造の最適化を行い、そのときの比帯域および複屈折の値を与える近似式の導出を行う。これらの検討から、トンネルのコアへの食い込みをコアの中心からコア半径の50%の距離に設定すれば高次モードの異常接近は回避でき、かつ最適構造に近い性能が得られることが明らかにされる。

第7章は、非軸対称光ファイバの絶対単一偏波特性を測定するための波長依存損失特性測定装置についてである。「白色光源一分光器－偏光子－被測定光ファイバー－光検出器－狭帯域同期検波器」という構成の性能評価のために測定系のダイナミックレンジを見積る。そして、この測定装置を用いて非軸対称光ファイバの伝送特性を測定し、その絶対単一偏波特性を測定する。

第8章は「結論」である。

第2章 グリーン関数を用いない境界積分法

2-1	まえがき	10
2-2	従来の境界要素法	11
2-3	グリーンの公式による定式化	14
2-4	重み付き残差法による定式化	15
2-5	重み関数の選び方	18
2-6	従来の境界要素法との関係	24
2-7	むすび	27

2-1 まえがき

積分方程式を用いる数値解法は古くから研究されており[43-60]、最近の高速大型電子計算機の発達と、その使用料金の低廉化によって、近年においては「計算機解析」という側面からの研究が盛んになっている[43]。その場合に用いられる積分方程式の多くは、考えている領域内で定義されている未知関数を記述する方程式を、その領域の境界上の方程式に変換して導出されている[44, 46-49, 51, 52]。積分方程式を用いる解法のなかで、境界要素法と呼ばれている一連の解析法は、積分方程式を解くために、境界を分割して、それぞれを適当な曲線(直線)で近似し、その上で未知関数を適当な関数によって近似するというような、有限要素法的な離散化を用いる方法である[50-60]。

現在盛んに用いられている通常の境界要素法においては、ラプラス方程式やヘルムホルツ方程式などの基本方程式をグリーンの公式により境界積分方程式に変換している。そのときに用いられるグリーン関数は特異点を持っており、その結果として境界上の積分路にも特異点が存在することが数値解析の定式化を複雑にしている[60]。本章では、このような欠点を持たない境界積分法(境界要素法)の定式化が可能であることを示す。具体的には、グリーン関数を用いるかわりに、考えている領域内と境界上で求めるべき未知関数と同一の基本方程式を満足する関数(重み関数)を用いて境界積分方程式を導出する。この定式化を「グリーン関数を用いない境界積分法」と名付け、従来の境界要素法と同様にグリーンの公式と重み付き残差法によるふたとおりの導出が可能であることを示す。さらにこの解法で用いる重み関数の選択方法について論じ、その関連から従来の境界要素法における境界積分方程式との関係について考える。

2-2 従来の境界要素法

図2-1のような二次元閉領域Sを考える。領域S内で定義されている関数 ϕ は式(2-1)のように、二次元ヘルムホルツ方程式を満足し、領域Sの境界 Γ のうち、 Γ_1 の部分では ϕ の値に関する、 Γ_2 の部分では ϕ の外向き法線方向微分 $\partial\phi/\partial n$ に関する境界条件を満足するものとする。

$$\nabla_t^2 \phi + k^2 \phi = 0 \quad (2-1-a)$$

$$\phi = p \quad (2-1-b)$$

$$\frac{\partial \phi}{\partial n} = q \quad (2-1-c)$$

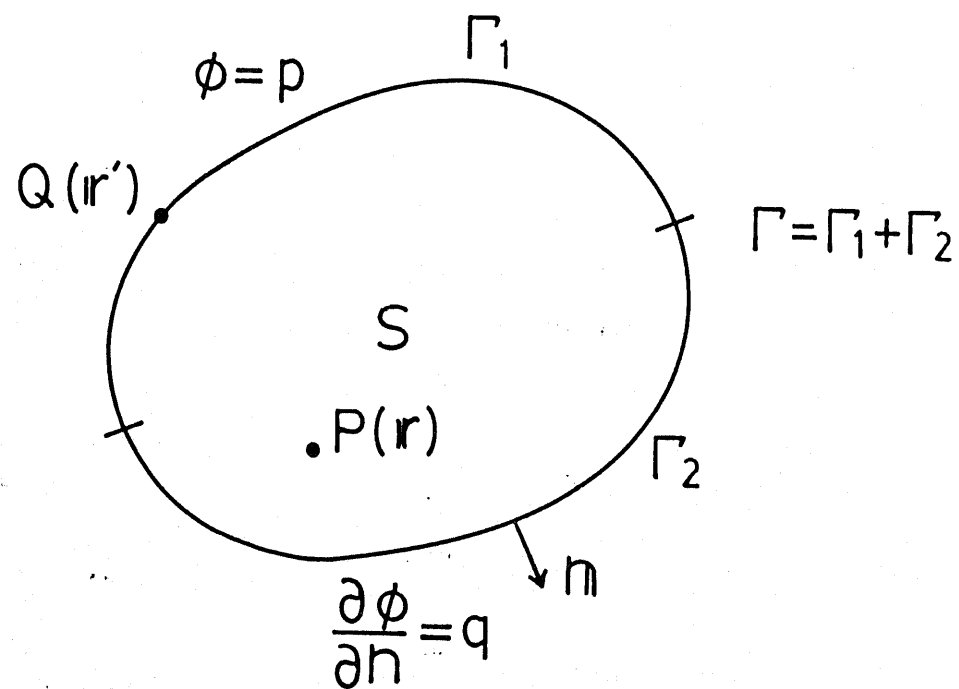


図2-1 二次元閉領域Sとそれを囲む閉曲線 Γ

ここで Γ_1 と Γ_2 は図のように分離独立している必要はなく、両者が Γ 上に混在していてもよい。このように、境界 Γ_1 上と Γ_2 上において、それぞれ $\partial\phi/\partial n$ と ϕ のいずれかの値のみがわかっていてれば、領域 S 内の ϕ の値を知ることができる。その理由は、境界上における ϕ と $\partial\phi/\partial n$ の未知の値を既知の方の値によって関係づけるための方程式は、 ϕ が式(2-1-a)を満足する関数であることを利用すれば導出でき、その方程式を解くことによって境界 Γ 上の ϕ と $\partial\phi/\partial n$ の両方の値がわかつてしまえば、次の方程式を満足するグリーン関数 G

$$\nabla_t^2 G + k^2 G = -\delta(\mathbf{r} - \mathbf{r}') \quad (2-2)$$

を考えると、 ϕ と G に次のグリーンの公式

$$\int_S (\phi \nabla_t^2 G - G \nabla_t^2 \phi) dS = \oint_{\Gamma} \left(\phi \frac{\partial G}{\partial n} - G \frac{\partial \phi}{\partial n} \right) dl \quad (2-3)$$

を適用して導かれる

$$\phi(\mathbf{r}) = \oint \left(G \frac{\partial \phi}{\partial n} - \phi \frac{\partial G}{\partial n} \right) dl \quad (2-4)$$

によって、 S 内部の任意の点 P における ϕ の値が計算できるからである[50]。

式(2-2)において r, r' はそれぞれ点 P および境界上の点 Q の座標である。

境界上における ϕ と $\partial\phi/\partial n$ を関係づける方程式は式(2-4)から導出できる。具体的には、式(2-4)において領域 S 内部の点 P を境界 Γ 上に限りなく近づけてやればよい。するとその極限ではグリーン関数の特異点が境界上に存在するようになるので、その特異点における積分をコーシーの主値積分の意味で評価すると、式(2-4)は次のように書き換えられる[50-52,55]。

$$\phi(\mathbf{r}) = \frac{2\pi}{\alpha} \oint \left(G \frac{\partial \phi}{\partial n} - \phi \frac{\partial G}{\partial n} \right) dl \quad (2-5)$$

ここで α は、点 P を持っていた境界上の点 P の内角であり、点 P が端点ではない場合には $\alpha = \pi$ とする。

式(2-5)が、従来の境界要素法の基礎となる式である。これを離散化し、そのとき未知関数の展開に用いた未知係数と同じ数だけ境界上の点 P の取り方を変えてこの式に

適用することによって境界上における ϕ と $\partial\phi/\partial n$ の間の数値的関係を記述する連立一次方程式を得る。それを解くことによって境界上のすべての ϕ と $\partial\phi/\partial n$ の値を求めることができる。

式(2-1)のグリーン関数については過去に行われた解析においては次式のような関数が用いられてきている。

$$G(R) = \begin{cases} \frac{j H_0^{(2)}(kr)}{4} & [51, 52, 54, 56] \\ C_0 J_0(kr) - \frac{Y_0(kr)}{4} & [53] \\ - \frac{Y_0(kr)}{4} & [57, 58] \end{cases} \quad (2-6)$$

$R = |\mathbf{r} - \mathbf{r}'|$

2-3 グリーンの公式による定式化

境界要素法の定式化においては、式(2-6)のGのような特異点を持つグリーン関数を用いている。そして積分を実行する境界上にその特異点が存在するので、このことに対して特殊な処理をする必要がある。また、特異点を持つ、すなわち無限大に発散する関数の数値積分は一般には容易ではない。このような理由から定式化が複雑になってしまう[60]。しかし、境界上の関数値とその法線方向微分の数値的関係を求めたいならば、それらの関数値のみの閉じた形で記述された積分方程式が必要であること以外には制約はないので、グリーン関数そのものも上記の式(2-6)のように複数の選択法が可能である[53]。このような考え方をさらに進めていけば、そのような境界積分方程式をグリーン関数を用いて導出すべき必然性は全くないということになる。そこで、未知関数 ϕ と同一の式を満足する関数 ψ を考えてみる。すなわち、

$$\nabla_t^2 \psi + k^2 \psi = 0 \quad (2-7)$$

を満足する ψ をグリーンの公式(2-3)中のグリーン関数Gのかわりに用いると、式(2-4)に対応する式として、相反定理式[43, 46, 47]と呼ばれている次式

$$\oint \left(\phi \frac{\partial \psi}{\partial n} - \psi \frac{\partial \phi}{\partial n} \right) dl = 0 \quad (2-8)$$

を得る。いま、境界上の ϕ と $\partial \phi / \partial n$ をそれぞれN個の適当な関数の線形結合で近似したとすると、 ψ としてはN個の線形独立な関数系

$$[\psi_1, \psi_2, \dots, \psi_N]$$

を式(2-8)に用いる。これより、境界上の ϕ または $\partial \phi / \partial n$ のいずれかが既知の量であるならばもう片方のN個の未知の量に関する連立一次方程式が得られるので、式(2-4)と同様に、 ϕ と $\partial \phi / \partial n$ の間の数値的関係を求めることができる。以後、式(2-7)を満足する関数 ψ を重み関数と呼び、式(2-8)を用いることを基本とする解法をグリーン関数を用いない境界積分法と呼ぶことにする。

2-4 重み付き残差法による定式化

境界積分方程式の導出方法として、通常の境界要素法においては、本章の第2節で行ったようなグリーンの公式を直接用いる方法の他に、重み付き残差法によって同じ積分方程式を導出する方法がある[50, 55]。本節では、グリーン関数を用いない境界積分法についても、積分方程式が重み付き残差法によって導出可能であることを示す。

いま、解くべき問題が次の形で書かれているとする。

$$L \phi = g \quad (2-9)$$

ここで L は演算子、 ϕ は求めるべき未知関数、 g は既知関数である。このとき未知関数 ϕ を適当な関数系 $[\phi_1, \phi_2, \dots, \phi_N]$ で近似する。

$$\phi_{\text{approx}} = \sum_{i=1}^N \alpha_i \phi_i \quad (2-10)$$

すると、近似解と真の解の間の誤差に相当する残差 ε が次のように定められる。

$$\varepsilon = L \phi_{\text{approx}} - g \neq 0 \quad (2-11)$$

この残差 ε と適当な関数系 $[\psi_1, \psi_2, \dots, \psi_N]$ との内積を 0 とおく、すなわち

$$\int_S \varepsilon \psi_j dS = 0 \quad (j = 1, 2, \dots, N) \quad (2-12)$$

とすることにより ϕ_{approx} の展開係数 $\alpha_1, \alpha_2, \dots, \alpha_N$ を決定して近似解を求める方法を重み付き残差法という。また、式(2-12)を展開係数 $\alpha_1, \alpha_2, \dots, \alpha_N$ に関する連立一次方程式に変換する手順を一般にモーメント法[15, 45]と呼んでいる。

式(2-12)を用いる場合の関数系 $[\phi_1, \phi_2, \dots, \phi_N]$ は境界条件を満足していないければならないが、一般にこれは困難があるので、境界条件を満足していない関数系についても適用できるように式(2-12)を書き換える必要がある。

図2-1の2次元閉領域で、ヘルムホルツ方程式を満足する関数 ϕ を求めるにあたって、本章2節の式(2-1)と同様に境界 Γ_1 の部分では ϕ の値に関する、 Γ_2 の部分では

ϕ の外向き法線方向微分 $\partial \phi / \partial n$ の値に関する境界条件が定まっているとする。

まず簡単のため、関数系 $[\phi_1, \phi_2, \dots, \phi_N]$ は Γ_1 上での境界条件を満足しているものとすると、この問題に対する重み付き残差表示は次のようになる。

$$\int_S (\nabla_t^2 \phi + k^2 \phi) \psi_j dS - \int_{\Gamma_2} \left(\frac{\partial \phi}{\partial n} - g \right) \psi_j dl = 0 \quad (2-13)$$

この式はノイマン問題（境界上の関数の法線方向微分 $\partial \phi / \partial n$ が定まっている問題）の変分原理から導出できる[50, 55]。

（証明） ヘルムホルツ方程式のノイマン問題の汎関数は次の形を取る。

$$F = \frac{1}{2} \int_S \{(\nabla \phi)^2 - k^2 \phi\} dS - \oint_{\Gamma} g \phi dl = 0 \quad (2-14)$$

この変分を取ると、

$$\begin{aligned} \delta F &= \int_S (\nabla_t \phi \cdot \nabla_t \delta \phi - k^2 \phi \delta \phi) dS - \oint_{\Gamma} g \delta \phi dl \\ &= - \int_S \delta \phi \nabla_t^2 \phi dS + \oint_{\Gamma} \delta \phi \frac{\partial \phi}{\partial n} dl - k^2 \int_S \phi \delta \phi dS - \int_{\Gamma} g \delta \phi dl \\ &= - \int_S (\nabla_t^2 \phi + k^2 \phi) \delta \phi dS + \oint_{\Gamma} \left(\frac{\partial \phi}{\partial n} - g \right) \delta \phi dl = 0 \end{aligned}$$

となる。この式中の $\delta \phi$ は任意の関数を表すので、これを ψ_j に置き換えれば式(2-13)が得られる。（証明終り）

次に式(2-13)を Γ_1 上での境界条件を満足しない関数系についても適用できるように変形する。

式(2-14)の F を用いて新しい汎関数 F^* を定義する。

$$F^* = F + \int_{\Gamma_1} \lambda (\phi - p) dl \quad (2-15)$$

F^* の変分を取ると

$$\begin{aligned}\delta F^* = & - \int_S (\nabla_t^2 \phi + k^2 \phi) \delta \phi \, dS \\ & + \int_{\Gamma_1} \delta \lambda (\phi - p) \, dl + \int_{\Gamma_1} \left(\lambda + \frac{\partial \phi}{\partial n} \right) \delta \phi \, dl + \int_{\Gamma_2} \left(\frac{\partial \phi}{\partial n} - g \right) \delta \phi \, dl\end{aligned}$$

となるので

$$\lambda = - \frac{\partial \phi}{\partial n}$$

である必要がある。したがって、

$$\begin{aligned}\delta F^* = & - \int_S (\nabla_t^2 \phi + k^2 \phi) \delta \phi \, dS \\ & - \int_S \frac{\partial \delta \phi}{\partial n} (\phi - p) \, dl - \int_{\Gamma_2} \left(g - \frac{\partial \phi}{\partial n} \right) \delta \phi \, dl = 0\end{aligned}$$

から、重み付き残差表示は

$$\int_S (\nabla_t^2 \phi + k^2 \phi) \psi \, dS + \int_{\Gamma_1} (\phi - p) \frac{\partial \psi}{\partial n} \, dl - \int_{\Gamma_2} \left(\frac{\partial \phi}{\partial n} - g \right) \psi \, dl = 0 \quad (2-16)$$

となる。

式(2-16)に2次元のグリーンの定理を用いると、次式を得る。

$$\int_{\Gamma_1} \psi \frac{\partial \phi}{\partial n} \, dl + \int_{\Gamma_2} \psi g \, dl - \int_{\Gamma_1} p \frac{\partial \psi}{\partial n} \, dl - \int_{\Gamma_2} \phi \frac{\partial \psi}{\partial n} \, dl = 0 \quad (2-17)$$

この式は通常の境界要素法においても基礎となる式であり、重み付き残差表示の式(2-10)における重み関数の選択には特に制限がつけられていないので、通常の境界要素法においてはヘルムホルツ方程式の基本解(グリーン関数)を重み関数 ψ として用いている。ここで、重み関数 ψ としてヘルムホルツ方程式の解を用いると、式(2-17)は Γ_1 と Γ_2 上の積分をひとまとめにすると、

$$\oint_{\Gamma} \left(\phi \frac{\partial \psi}{\partial n} - \psi \frac{\partial \phi}{\partial n} \right) \, dl = 0 \quad (2-17)'$$

と書ける。これはグリーン関数を用いない境界積分法における積分方程式(2-8)にほかならない。したがって、従来の境界要素法の定式化と同様に、グリーン関数を用いない定式化においても重み付き残差法から積分方程式を導出できることがわかった。

2-5 重み関数の選び方

境界積分方程式(2-8)に用いる重み関数 ψ は、求めようとする未知関数 ϕ と同様にヘルムホルツ方程式(2-1-a)を満足する。 ψ の選び方については、考えている領域 S 内と境界 Γ 上に特異点を持たないという点以外には制約はないが、数値解析に適用する際にはこれを組織的に行なうことが望ましい。本節では、重み関数 ψ を解くべき問題に即して組織的に選択する方法について論じる。

ヘルムホルツ方程式(2-1-a)の解は、さまざまな形式のものが存在するが、その中で最も組織的扱いが容易なものは円柱座標系で記述される次の円柱調和関数である。

$$\Psi = F_n(kr) \cos(n\theta + \rho) \quad (2-18)$$

ここで $F_n(x)$ は n 次の第一種または第二種ベッセル関数を表す。この式の形式を取る関数から、 ϕ と $\partial\phi/\partial n$ それぞれの展開係数に等しい数からなる線形独立な関数系 $[\psi_1, \psi_2, \dots, \psi_N]$ を選ぶわけだが、その選び方は次のふたとおりの方法を考える。

a) 単一の円柱座標における関数系

図2-2-(a)のように円柱座標をひとつ設定し、式(2-18)の関数の次数を低い順に選んで線形独立な関数系とする方法である。たとえば、

$$\Psi_i = F_i(kr) \cos(i\theta + \rho) \quad (i=0, 1, \dots) \quad (2-19)$$

のようにとる。

式(2-19)の形式の関数を重み関数としてではなく、電磁界の展開関数として用いる解法が点整合法[33-40]やモード整合法[41,42]である。

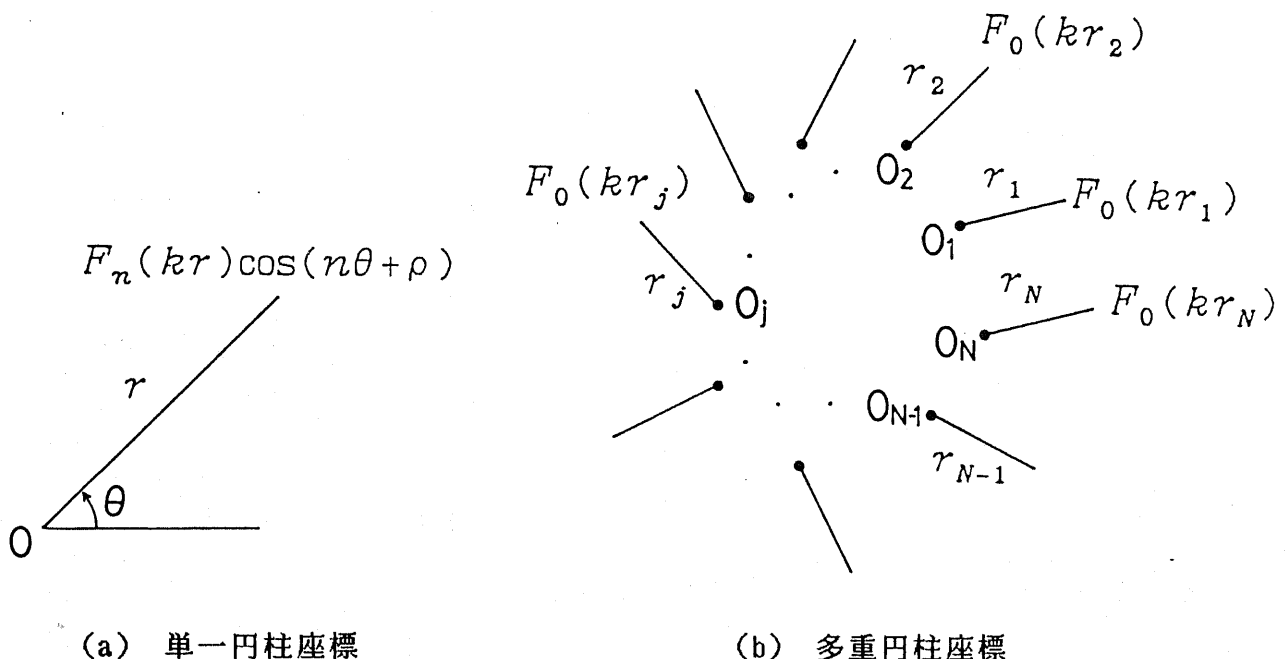


図2-2 重み関数のための座標系

b) 多重円柱座標における関数系

図2-2-(b)のように多重原点を持つ円柱座標を用い、おののを原点とする円柱調和関数をひとつずつ割り当てて、それらを線形独立な関数系とする方法である。この場合、解析を簡単にするために関数の次数はすべて0とする。すなわち、

$$\Psi_i = F_0(kr_i) \quad (i = 1, 2, \dots) \quad (2-20)$$

のようにとる。

a)の場合と同様に、この形式の関数を電磁界の展開関数として用いる解法が存在する。それは主として静電界の解法に用いられている代用電荷法[63, 64]である。

次に、考えている領域Sの性質による円柱調和関数のベッセル関数の選び方について考える。

i) 領域Sが閉曲線 Γ の内部の閉領域の場合

これは光ファイバの場合については、領域Sがコア、またはトンネル(ピット)などのように、閉じた領域の場合である。このときのベッセル関数 $F_n(kr)$ は k^2 の符号に対応して次のようにとる。

$$F_n(kr) = \begin{cases} J_n(kr) & (k^2 > 0) \\ Y_n(kr) & \end{cases} \quad (2-21-a)$$

$$F_n(kr) = \begin{cases} I_n(k'r) & (k^2 = -k'^2 < 0) \\ K_n(k'r) & \end{cases} \quad (2-21-b)$$

ここで $J_n(x), Y_n(x)$ はそれぞれ第一種、第二種ベッセル関数、 $I_n(x), K_n(x)$ はそれぞれ第一種、第二種変形ベッセル関数である。ここで注意しなければならないことは、特異点($x=0$)を持つ $Y_n(x), K_n(x)$ を用いる場合は、それらの特異点は必ず領域Sの外部になければならないことである。

ii) 領域 S が閉曲線 Γ の外部の無限領域の場合

これは、領域 S がクラッドのように無限に広がる領域の場合である。この場合、 $k^2 = -k'^2 < 0$ のみを考えると、第一種変形ベッセル関数 $I_n(x)$ は無限遠で発散する、すなわち無限遠に特異点を持つために用いることができないのでこれは除外すると、

$$F_n(kr) = K_n(kr) \quad (2-22)$$

となる、この場合も特異点(座標の原点)は領域 S の外、すなわち閉曲線 Γ の内部になければならない。

以上に示した領域 S の性質のうちで、ii)の、領域 S が無限領域の場合については境界積分方程式(2-8)の積分路の取り方には注意しなければならない。それは、領域 S が閉曲線 Γ の外側の領域であるので積分路は図 2-3 のように取り、最外周の円形の積分路 Γ_R の半径を無限大にした極限を考えなければならないことである。図のような積分路を取ると、式(2-8)は、

$$\int_{\Gamma + \Gamma_+ + \Gamma_R + \Gamma_-} \left(\phi \frac{\partial \psi}{\partial n} - \psi \frac{\partial \phi}{\partial n} \right) dl = 0 \quad (2-8)'$$

と書ける。 Γ_+ と Γ_- 上の積分は相殺するので、 Γ と Γ_R 上の積分のみを考えればよい。いま、領域 S をクラッドとすると、S 内の関数 ϕ が Γ 内に波源を持つエバネッセント波を表しているので、R が十分に大きい極限では ϕ は、

$$|\phi| \approx \sum_j |\alpha_j k_j(k'R) \cos(j\theta + p)| < \sqrt{\frac{\pi}{2k'R}} e^{-k'R} \sum_j |\alpha_j| \quad (2-23)$$

なる形をとる。重み関数 ψ の第二種変形ベッセル関数は、

$$|\psi| = |K_i(k'R) \cos(i\theta + p)| < \sqrt{\frac{\pi}{2k'R}} e^{-k'R} \quad (2-24)$$

となる。すると式(2-8)'の Γ_R 上の積分を計算すると、

$$\left| \int_{\Gamma_R} \left(\phi \frac{\partial \psi}{\partial n} - \psi \frac{\partial \phi}{\partial n} \right) dl \right| < \sum_j |a_j| \left(\frac{1}{R} + 2k' \right) \pi^2 e^{-k'R}$$

となる。Rが十分大きいと、

$$\left(\frac{1}{R} + 2k' \right) \pi^2 e^{-k'R} \rightarrow 0$$

となるので $R \rightarrow \infty$ のとき

$$\int_{\Gamma_R} \left(\phi \frac{\partial \psi}{\partial n} - \psi \frac{\partial \phi}{\partial n} \right) dl \rightarrow 0$$

となる。したがって領域Sが閉曲線 Γ の外部の無限領域の場合も積分は閉曲線 Γ 上のみで行えばよい。

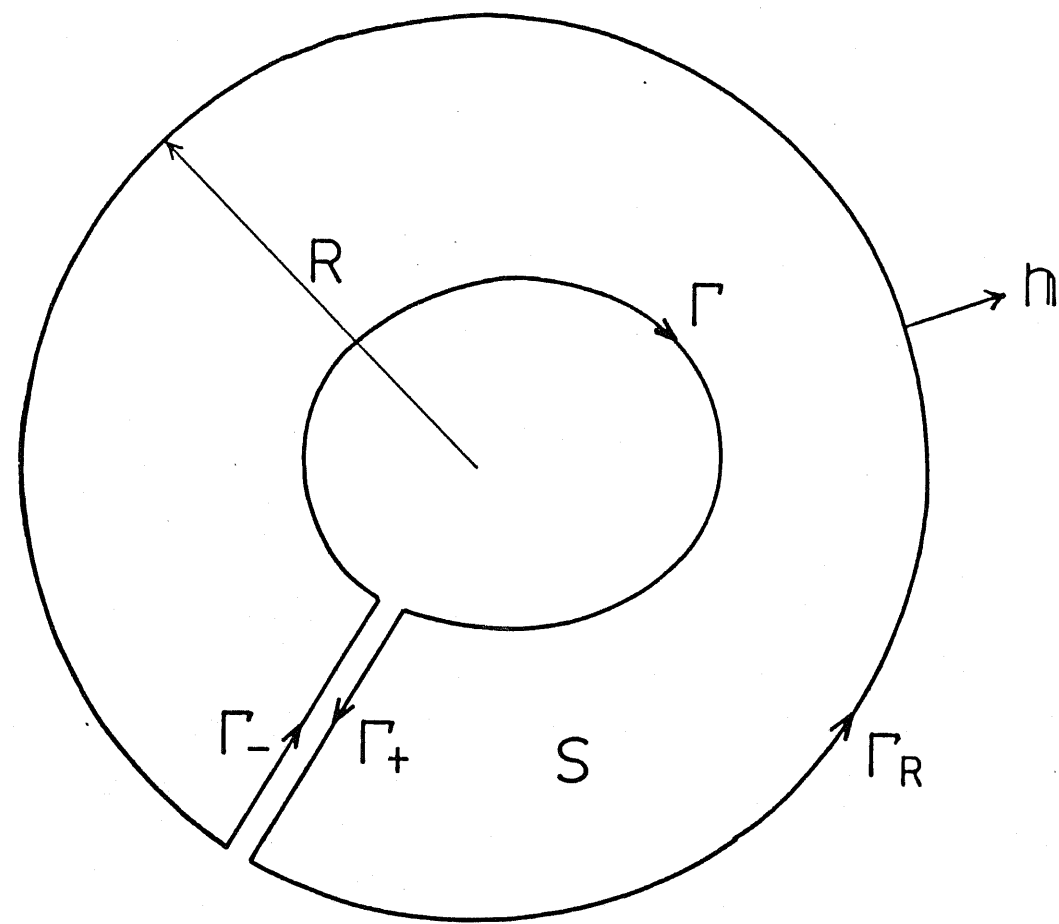


図2-3 閉曲線 Γ 外の無限領域を考える場合の積分路

2-6 従来の境界要素法との関係

以上の3節にわたってグリーン関数を用いない境界積分法の定式化を行ってきたが、本節ではそれが従来の境界要素法とどのような関係にあるかということについて論じる。

以上の3節の議論から、従来の境界要素法の定式化とグリーン関数を用いない境界積分法の定式化がほとんど同じ手順で行うことができるが容易に理解できる。これらのふたつの解法において異なることは考へている領域の境界に特異点を持つグリーン関数のような関数を用いるか否かということのみである。そしてこれらの解法を本章4節で述べたモーメント法の一種として解釈すると、モーメント法においては基本方程式との内積を取るときに用いられる線形独立な重み関数系 $[\psi_1, \psi_2, \dots, \psi_N]$ の選択法には自由度が大きいので、これらのふたつの定式化が可能であると言える。このことは初期のモーメント法がこの関数系の選択によってガラーキン法、最小二乗法、選点法、部分領域法などに分類される[15, 45]こととも類似している。

これらのふたつの解法の場合には重み関数系は、共にヘルムホルツ方程式を満足する。異なる点は、前者においてはその関数が境界上に特異点、すなわち波源を持っているということだけであるので本質的な違いはほとんどない。このことは、本章5節で論じたグリーン関数を用いない境界積分法の定式化における重み関数の選択法の(b)において、特異点を持つベッセル関数を用いる場合、以下に示すようにその特異点を境界に近づけた極限では、この定式化は通常の境界要素法のそれとなる[55]ことからも理解できる。

本章2節の式(2-5)を導くためには図2-1中の点Pを境界上に近づけ、その極限で生じる特異点の積分をコーシーの主値積分の意味で評価するために、図2-4-(a)のように点Pを中心とする半径 ε の円弧上の積分を計算する[50]。それに対してここでは特異点を領域Sの外に持つ重み関数 ψ を用いたときの式(2-8)において、図2-4-(b)のように特異点を境界に近づけた極限について考える[55]。このとき式(2-8)は

$$\int_{\Gamma} \left(\phi \frac{\partial \psi}{\partial n} - \psi \frac{\partial \phi}{\partial n} \right) dl + \int_{\Gamma_\varepsilon} \left(\phi \frac{\partial \psi}{\partial n} - \psi \frac{\partial \phi}{\partial n} \right) dl = 0 \quad (2-25)$$

となり、 ε が十分小さいとすると円弧上の積分は、

$$\psi = -\frac{1}{2\pi} \log k\varepsilon, \quad \frac{\partial \psi}{\partial n} = -\frac{\partial \psi}{\partial \varepsilon} = \frac{1}{2\pi \varepsilon}$$

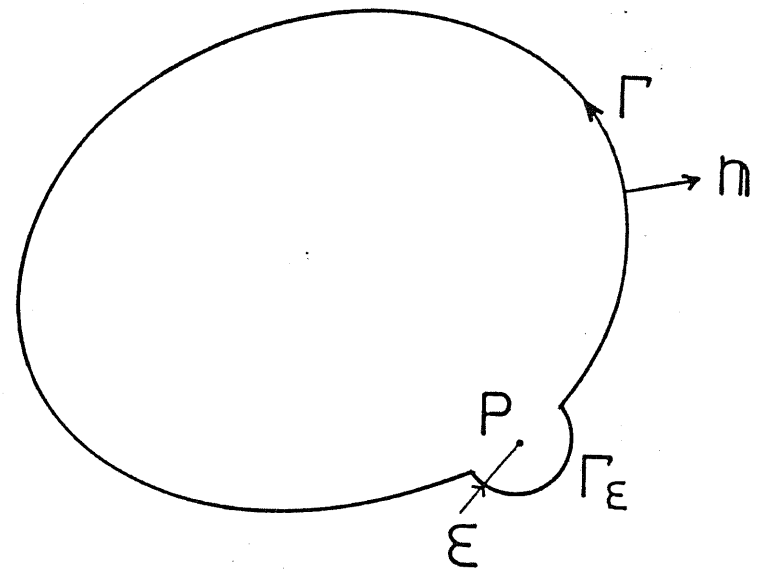
より、

$$\int_{\Gamma_\varepsilon} (\phi \frac{\partial \psi}{\partial n} - \psi \frac{\partial \phi}{\partial n}) dl = \alpha \varepsilon \left(\frac{\phi}{2\pi \varepsilon} + \frac{1}{2\pi} \log k\varepsilon \cdot \frac{\partial \phi}{\partial n} \right)$$

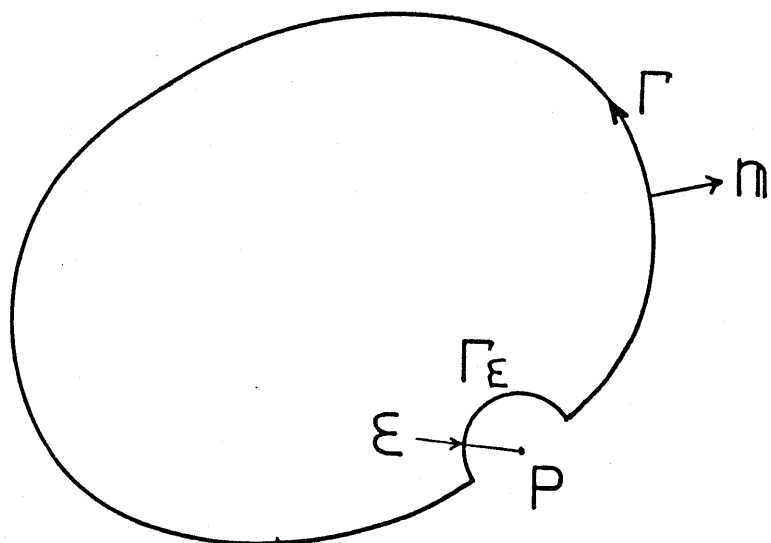
となる。したがって、 $\varepsilon \rightarrow 0$ の極限では式(2-25)は、

$$\phi = \frac{2\pi}{\alpha} \oint_{\Gamma} (\psi \frac{\partial \phi}{\partial n} - \phi \frac{\partial \psi}{\partial n}) dl$$

となる。これは、式(2-5)に他ならない。



(a) 領域の内側から近づける



(b) 領域の外側から近づける

図2-4 境界要素法定式化の際のグリーン関数の特異点の境界への近づけ方

2-7 むすび

本章では二次元ヘルムホルツ方程式の境界値問題の新しい解析法として、グリーン関数を用いない境界積分法を提案し、その定式化を従来の境界要素法と同様グリーンの公式と重み付き残差法のふたとおりの方法から行った。この解析法においてはグリーン関数を用いないことによって特異点を含む積分を行う必要がないので数値解析における定式化が容易になる。また、そのことによって重み関数の選択法に自由度が増し、少なくとも本章に示したようなふたとおりの方法が可能であることを示した。従来の境界要素法との差異は、モーメント法における重み関数の選択の多様性に基づいて、境界上に特異点を持たない解を用いるということのみである。このことはグリーン関数を用いない境界積分法における積分方程式が、多重円柱座標における重み関数系を用いた場合、それらの特異点を境界に近づけた極限においては、従来の境界要素法における積分方程式になることからも理解できる。

別の言い方では境界要素法定式化という概念に、特異点を考えている領域内や境界上に持たないような関数を積分方程式の導出に用いる方法も含まれるということである。そのような意味において従来の境界要素法は、本章で述べたグリーン関数を用いない境界積分法における重み関数の選択法の中の特殊な場合、すなわち特異点が境界上に存在する関数を用いる場合と解することもできる。

第3章 単一媒質境界値問題のための定式化

3-1	まえがき	29
3-2	境界要素法の定式化	30
3-3	数値解析結果	35
3-4	境界形状の近似が計算精度に与える影響	45
3-5	重み関数の選び方とスプリアス解の関係	47
3-6	むすび	49

3-1 まえがき

本章では、前章で行ったグリーン関数を用いない境界積分法の定式化の最も基本的な適用例として、单一媒質中の二次元ヘルムホルツ方程式のディリクレ、ノイマン型固有値問題[15]を考え、それを解析するための境界要素法の定式化を行う。ここで行う数値解析の手順は4章以降の光ファイバの固有モード解析においてもほぼ同様に用いることができる。

解析の対象としては、二軸対称の楕円境界、方形境界を考える。従来の境界要素法[50-57]と同様に境界を多角形近似し、その多角形の各辺において未知関数を線形関数で近似する。得られた数値解析結果について、固有値の収束特性、他の解析方法との比較、境界形状の近似方法が解析の精度に与える影響などについて検討する。さらに、重み関数の取り方によってはスプリアス解が発生することを解析的に示し、従来の境界要素法解析におけるスプリアス解[59]との関連についても考察する。

3 - 2 境界要素法の定式化

図3-1の二次元閉領域S内における関数 ϕ は次のような基本方程式と境界条件を満足する。

$$\nabla_t^2 \phi + k^2 \phi = 0 \quad (3-1-a)$$

$$p\phi + q \frac{\partial \phi}{\partial n} = 0 \quad (3-1-b)$$

ここで、 $p \neq 0, q = 0$ のときディリクレ型、 $p = 0, q \neq 0$ のときノイマン型の境界条件を表す。

数値解析の基本となる式は前章の式(2-8)であり、これに適当な離散化を行うことにより境界上の ϕ と $\partial \phi / \partial n$ を関係づける連立一次方程式を導出できる。以下に、境界上の関数の取り方、重み関数の選び方について論じていくことにする。

境界形状としては橢円と方形を考えているが、いずれの場合も境界形状は従来の境界要素法と同様に多角形近似する。境界上の関数値を記述するための境界要素の具体的な取り方については次のふたとおりの方法を考える。

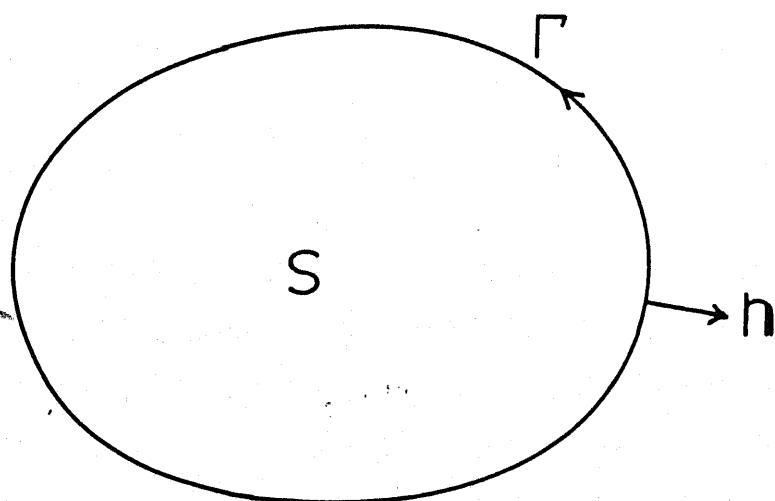


図3-1 二次元閉領域Sとそれを囲む閉曲線 Γ

① 単純線形要素[50,54-57]

図3-2-(a)のように点 P_i, P_{i+1} 間の境界を直線で表す。要素 Γ_i 上の関数値は点 P_i, P_{i+1} における関数値を ϕ_i, ϕ_{i+1} として次のように一次元スプライン関数で表す。

$$\phi = \frac{L-t}{L} \phi_i + \frac{t}{L} \phi_{i+1} \quad (3-2)$$

ここで、Lは $\overline{P_i P_{i+1}}$ の長さ、tは点 P_i からの距離である。

② 折れ線型線形要素(梢円境界のみに適用する)

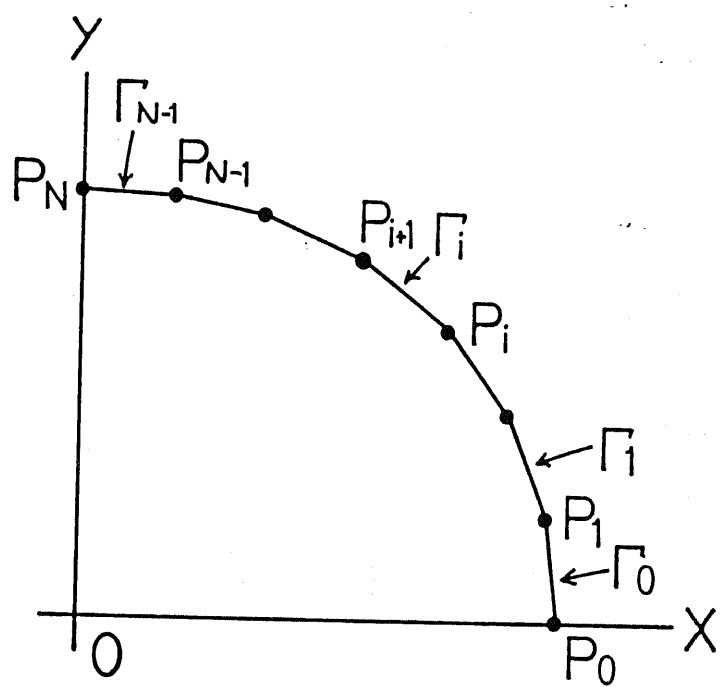
点 P_i, P_{i+1} の間に図3-2-(b)のように実際の境界上に点 $P_{i+1/2}$ をとり、要素 Γ_i を折れ線で表す。要素 Γ_i 上の関数値は、式(3-2)により表す。ただしLは、 $\overline{P_i P_{i+1/2}}$ と $\overline{P_{i+1/2} P_{i+1}}$ の長さの和、tは点 P_i から折れ線で近似された境界にそった距離である。つまり、この要素を用いた場合の近似境界形状は、①の単純線形要素においてNを2倍にしたものに等しい。

$\partial\phi/\partial n$ についても式(3-2)のように、要素 Γ_i の両端の関数値により一次元スプライン関数で表し、上記のふたつの境界要素の取り方を ϕ にしたがって行う。

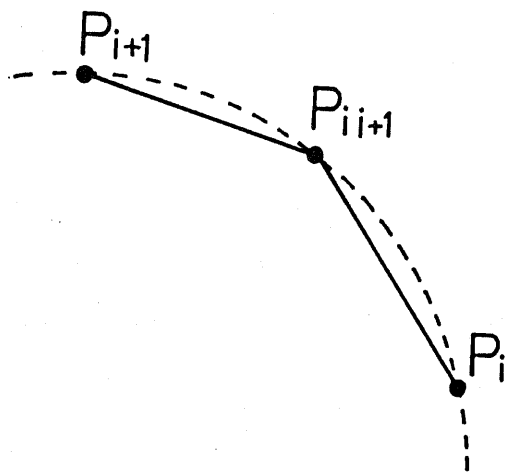
重み関数については前章で論じたように二種類の座標系による取り方があったが、数值解析においては、図3-2-(a)のx, y軸の交点を原点とする单一円柱座標における第一種ベッセル関数を用いる。

$$\psi = J_j(kr) \cos(j\theta + \rho) \quad (j=0, 1, \dots, \rho=0, \pi/2) \quad (3-3)$$

ここで、境界形状の対称性による固有関数の対称性に着目すると、重み関数もそれに対応して表3-1のように関数の次数と位相角を選ぶことにより、式(3-3)の積分路は第一象限の境界のみに制限できる。なぜならば、積分路を第一象限の境界とy軸、x軸とをつないだ閉曲線としても、固有関数の対称性により積分方程式は境界上のすべての未知数を含んでいる。そのうえ、x, y軸上の積分は、固有関数と重み関数の対称性により0となるからである。



(a) 単純線形要素



(b) 折れ線型線形要素

図3-2 境界要素の取り方

表 3-1 重み関数の選び方

対称性		パラメータ	
x 軸	y 軸	j	ρ
対称	対称	偶数	0
対称	反対称	奇数	0
反対称	対称	奇数	$\pi/2$
反対称	反対称	偶数	$\pi/2$

以上のような境界上の関数の定義、重み関数の選択により式(2-8)を計算すると、次のような形をとる。

$$[A] \begin{bmatrix} \phi_0 \\ \vdots \\ \phi_N \end{bmatrix} = [B] \begin{bmatrix} \frac{\partial \phi}{\partial n} \\ \vdots \\ \frac{\partial \phi_N}{\partial n} \end{bmatrix} \quad (3-4)$$

ここで[A],[B]はN+1次の正方行列である。

この形の式は従来の境界要素法においても得られる。この式を用いることにより境界上の関数 ϕ の値とその法線方向微分 $\partial \phi / \partial n$ とを関係づけることができる。いま考えている境界条件はディリクレ、ノイマンのいずれかであるので、金属導波管の伝搬モードに対応させて、これらの境界条件に従う固有関数をそれぞれTMモード、TEモードと呼ぶことにする。

TMモードの場合、式(3-4)は

$$[B] \begin{bmatrix} \frac{\partial \phi_0}{\partial n} \\ \vdots \\ \frac{\partial \phi_N}{\partial n} \end{bmatrix} = 0 \quad (3-5)$$

と書ける。

TEモードの場合、式(3-3)は

$$[A] \begin{bmatrix} \phi_0 \\ \vdots \\ \phi_N \end{bmatrix} = 0 \quad (3-6)$$

と書ける。したがって、固有値 k に関する方程式は、

TMモードの場合

$$\det[B] = 0 \quad (3-7)$$

となり、TEモードの場合

$$\det[A] = 0 \quad (3-8)$$

となる。

固有値を式(3-7)または(3-8)によって求めたならば、その値を用いて同次方程式(3-5)または(3-6)を解くことにより、境界上の ϕ または $\partial \phi / \partial n$ の値を求めることもできる。

3-3 数値解析結果

以上に基づいて数値解析を行った結果を図3-3～3-7に示す。これらの図においてモードの分類のための番号は、楕円境界においては円形導波管のモード番号を、方形境界においては方形導波管のモード番号をそれぞれ対応させている。また、添え字e、oにより ϕ が長軸に関してそれぞれ偶関数、奇関数であることを表す。

図3-3に、Nを増した場合の楕円境界におけるTM、TEモードの固有値の収束特性を示す。 $a/b = 1$ 、すなわち境界が円形のときの固有値はTM、TEモードそれぞれの場合の厳密値の $J_1'(x) = 0$ と $J_1(x) = 0$ の根である1.8412, 3.8317に収束していくことがわかる。また、折れ線型線形要素を用いた方が(TYPE 2)、単純線形要素を用いるより(TYPE 1)収束が速くなっている。

図3-4に、方形境界におけるTM、TEモードの固有値の収束特性を示す。いずれのモードについても固有値は厳密解の $\pi/2\sqrt{(b/a)^2+4}$, $\pi/2\sqrt{(b/a)^2+1}$ に収束しており、 a/b によらず、固有値はN=10において 10^{-10} の精度で求まっている。図3-3と図3-4を比較すると、図3-4の方形境界の方が、モードや縦横比 a/b によらず、図4の楕円境界より固有値の収束がはるかに速いことがわかる。

図3-5に、楕円の縦横比 a/b を変化させたときのTM、TEモードの固有値を示す。 x, y の多項式を試験関数として用いた変分法[17]による計算結果と良い一致を示していることがわかる。

図3-6は、円形境界のTEモードの固有値について、本論文の境界要素法による数値結果と、従来の境界要素法による数値結果[50]との相対的な差を、Nを変化させて計算した結果である。両者の数値的な差はNにかかわらず少ないので、固有値の収束のしかたは同一とみなせる。

以上に示した解析は固有値のみについてであったが、同次方程式(3-5), (3-6)を解くことにより、境界上の関数値またはその法線方向微分の値も求めることができる。これを示したのが図3-7である。同図-(a), (b)は、それぞれ円形境界上のTEモードの ϕ と、方形境界($a/b = 2$)上のTMモードの $\partial\phi/\partial\eta$ の計算値とそれらの厳密値との比較を示している。両者は良い一致を示していることがわかる。

(a) TMモード

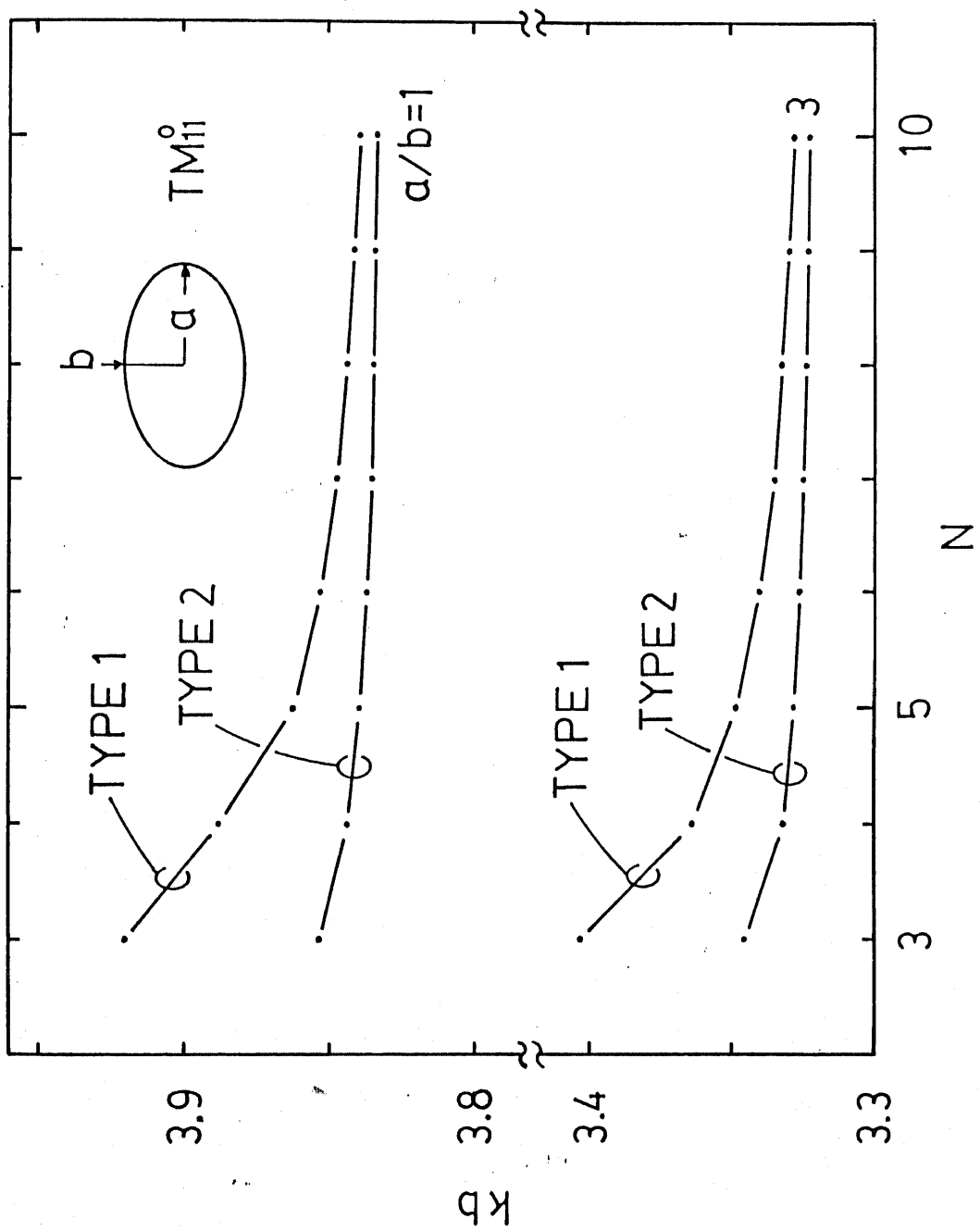


図3-3 楕円境界における固有値の収束特性

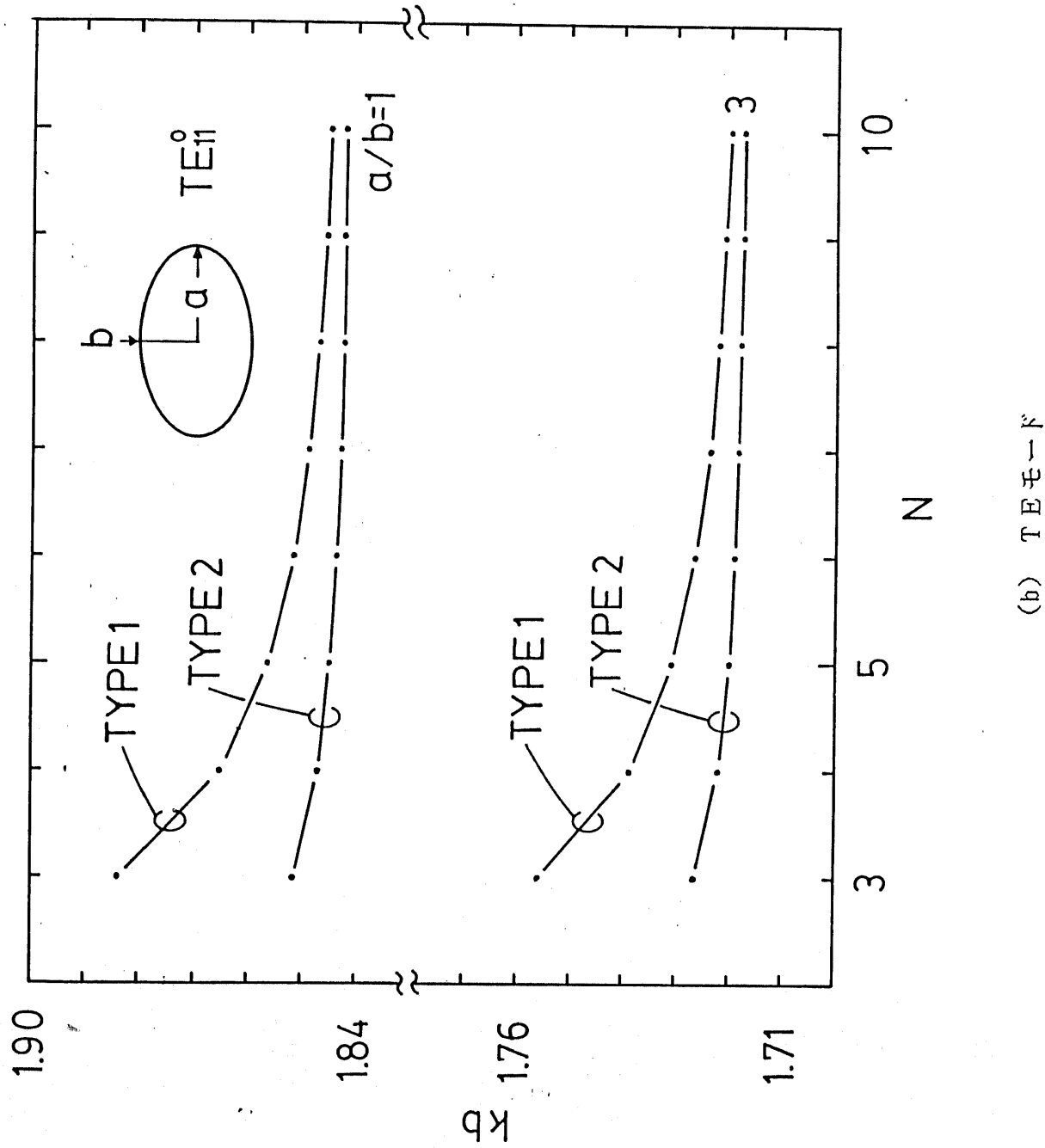
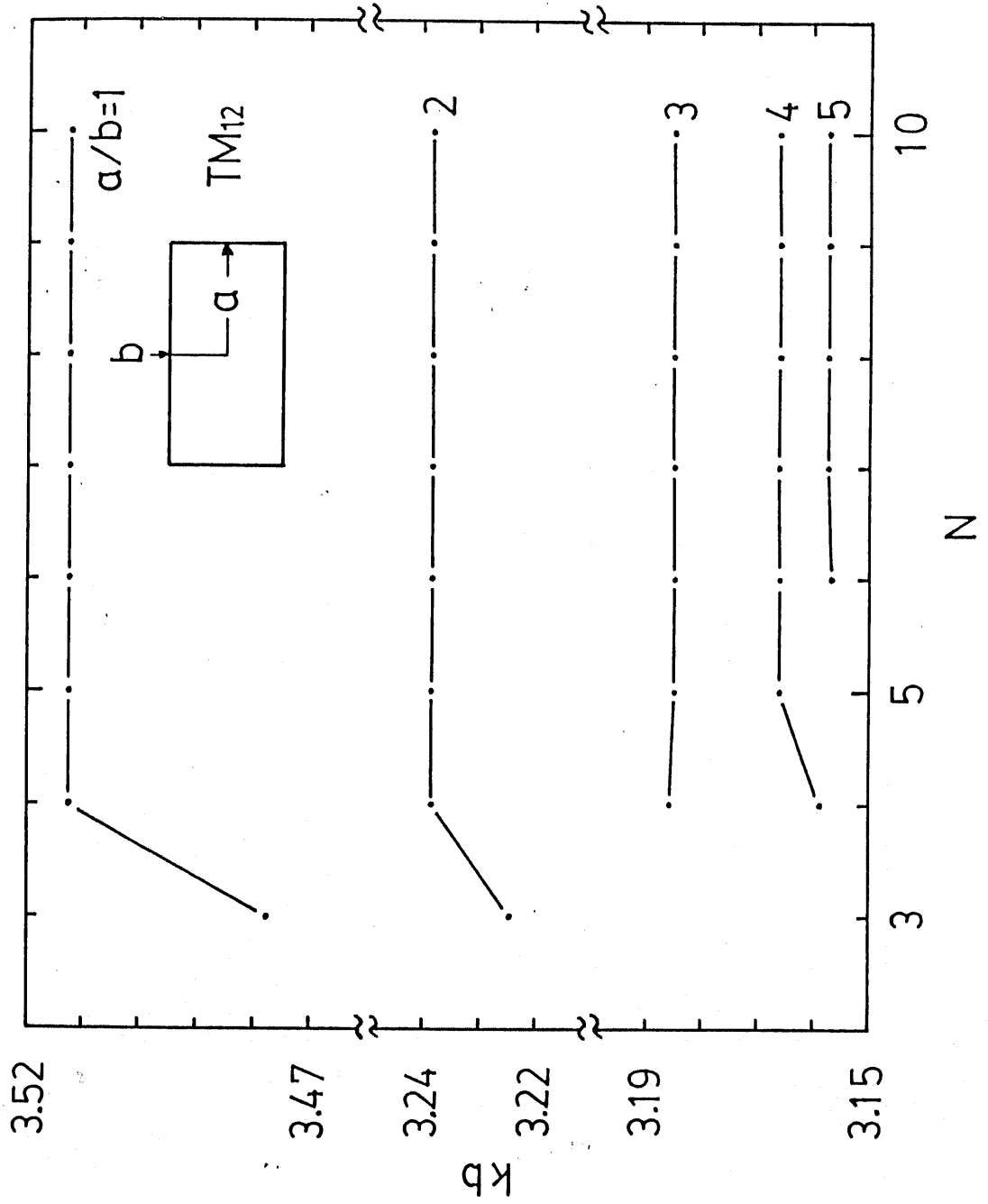


図 3-3 楕円境界における固有値の収束特性



(a) TM_{12}

図3-4 方形境界における固有値の収束特性

(b) TEモード

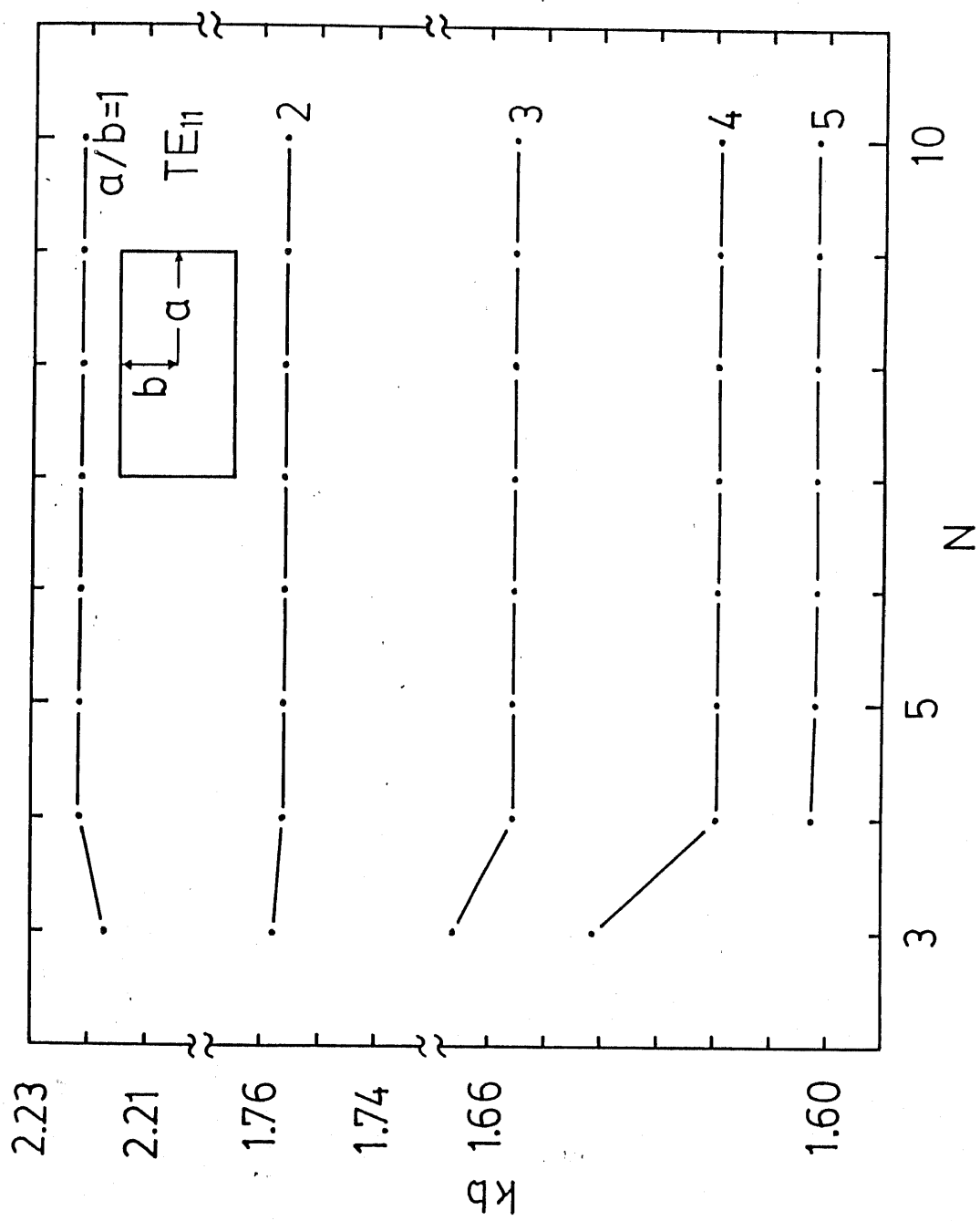


図3-4 方形境界における固有値の収束特性

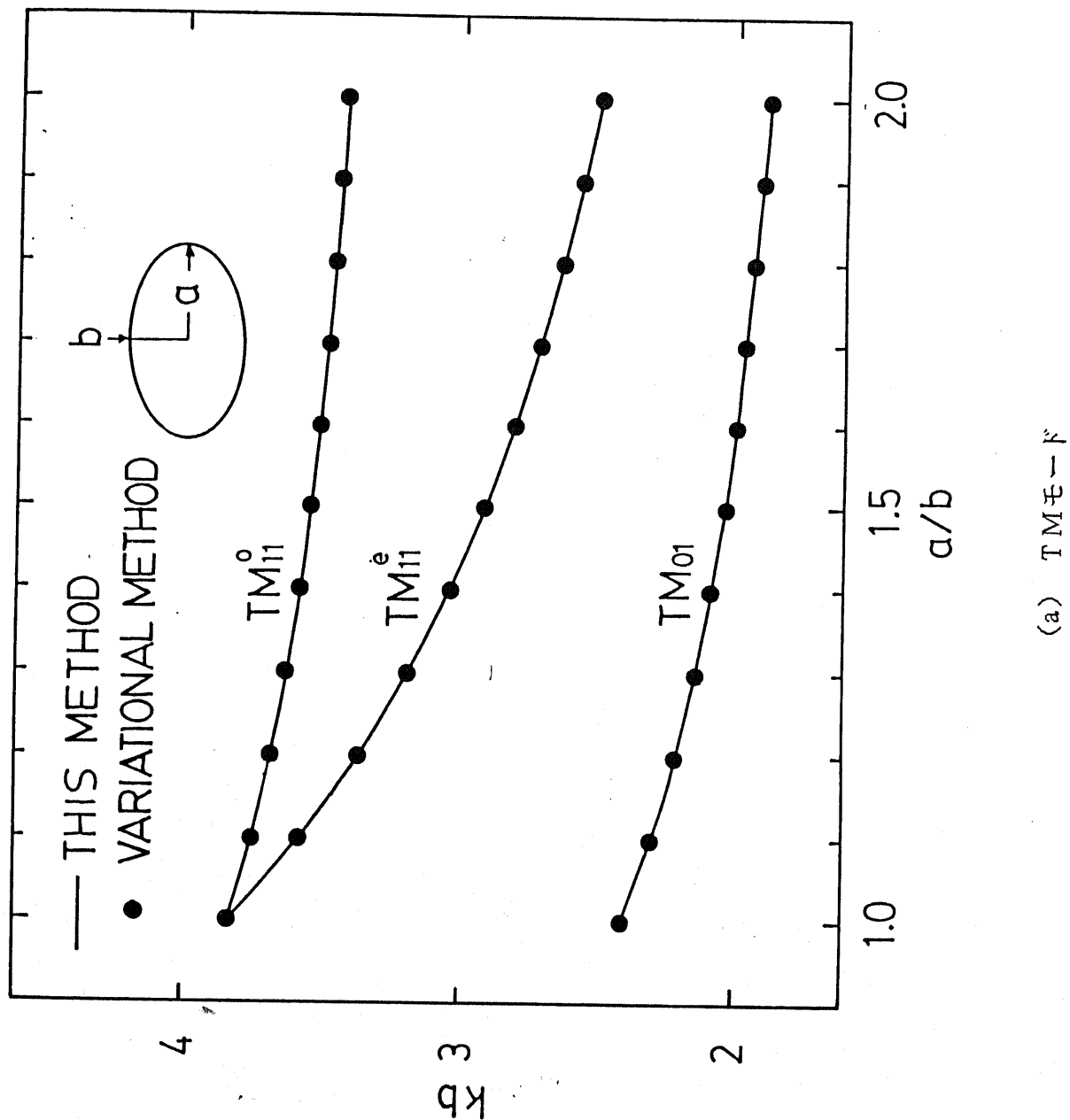


図3-5 変分法による解析結果[17]との比較

(b) TEモード

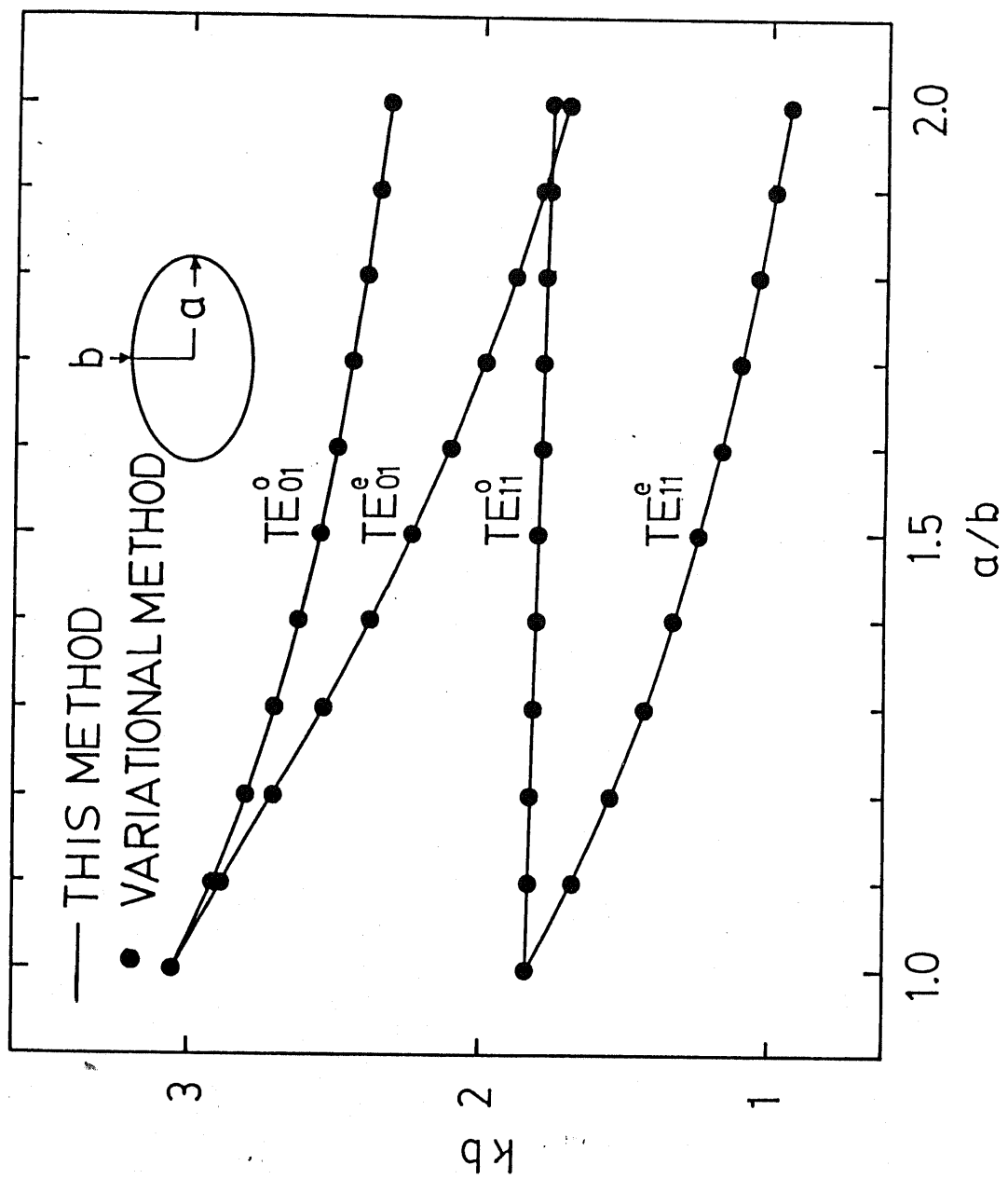


図3-5 変分法による解析結果[17]との比較

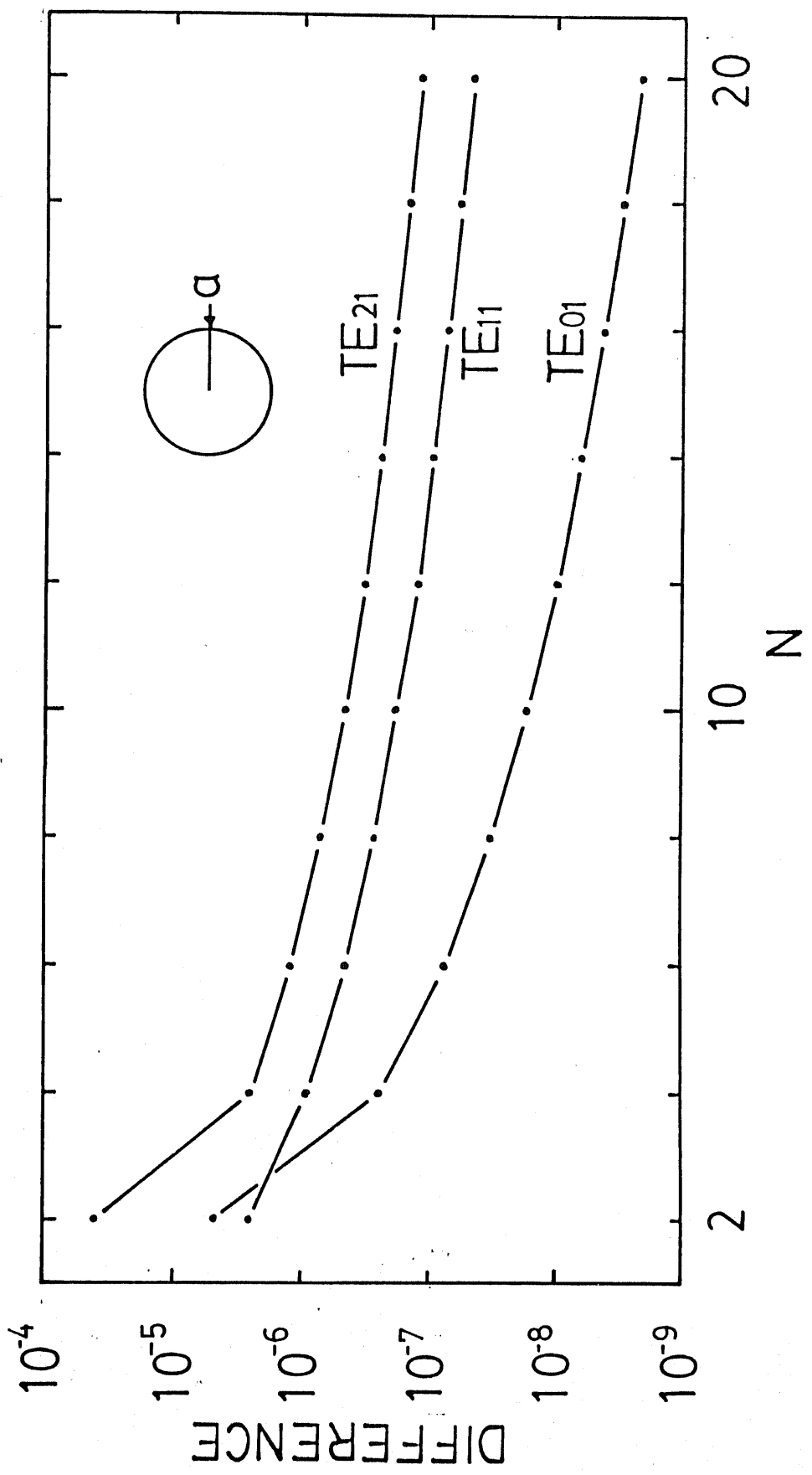


図3-6 従来の境界要素法による数値解との差

(a) 円形境界上の ϕ

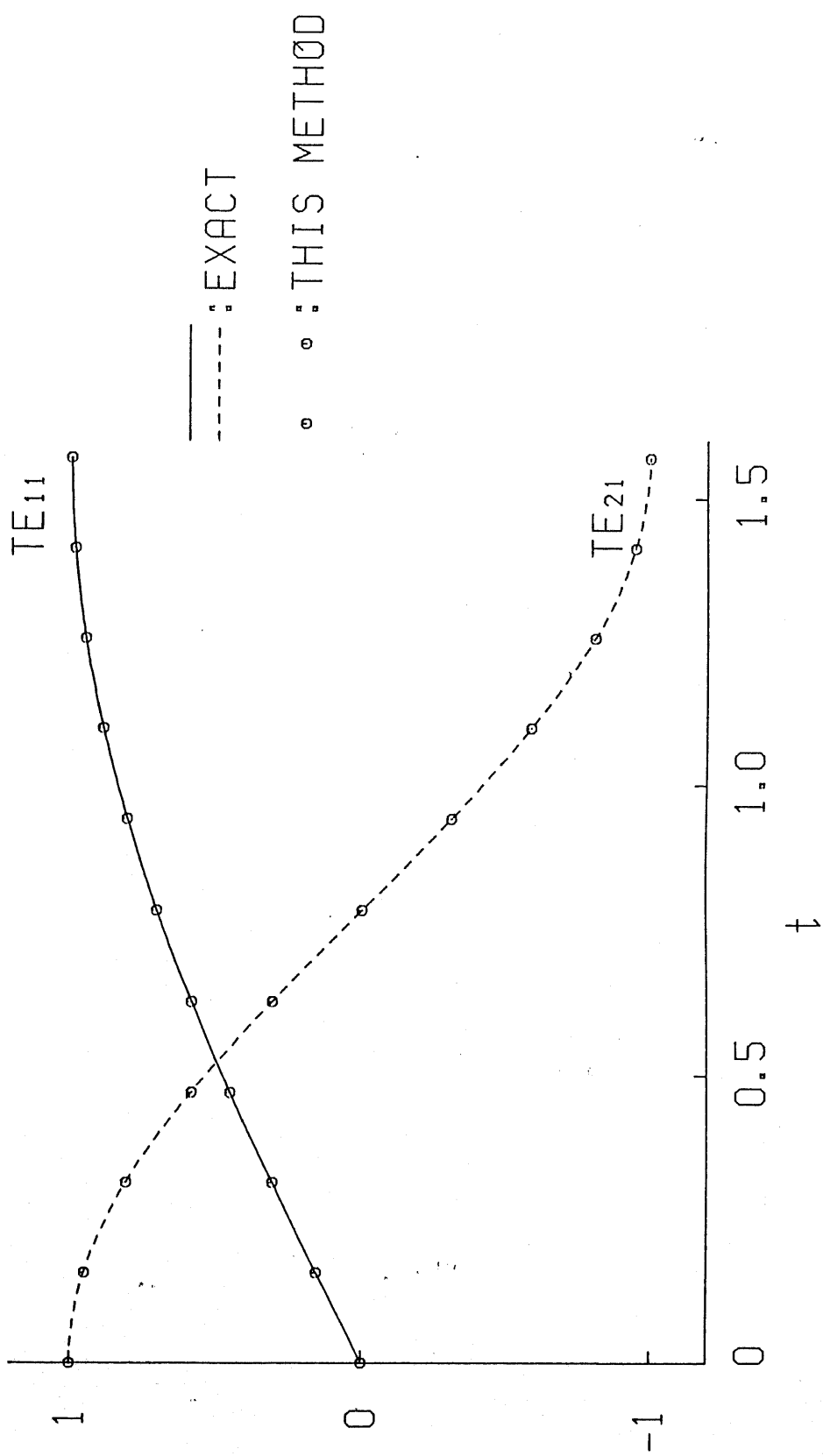


図3-7 境界上の関数値の計算

(b) 方形境界上の $\partial\phi/\partial\pi$

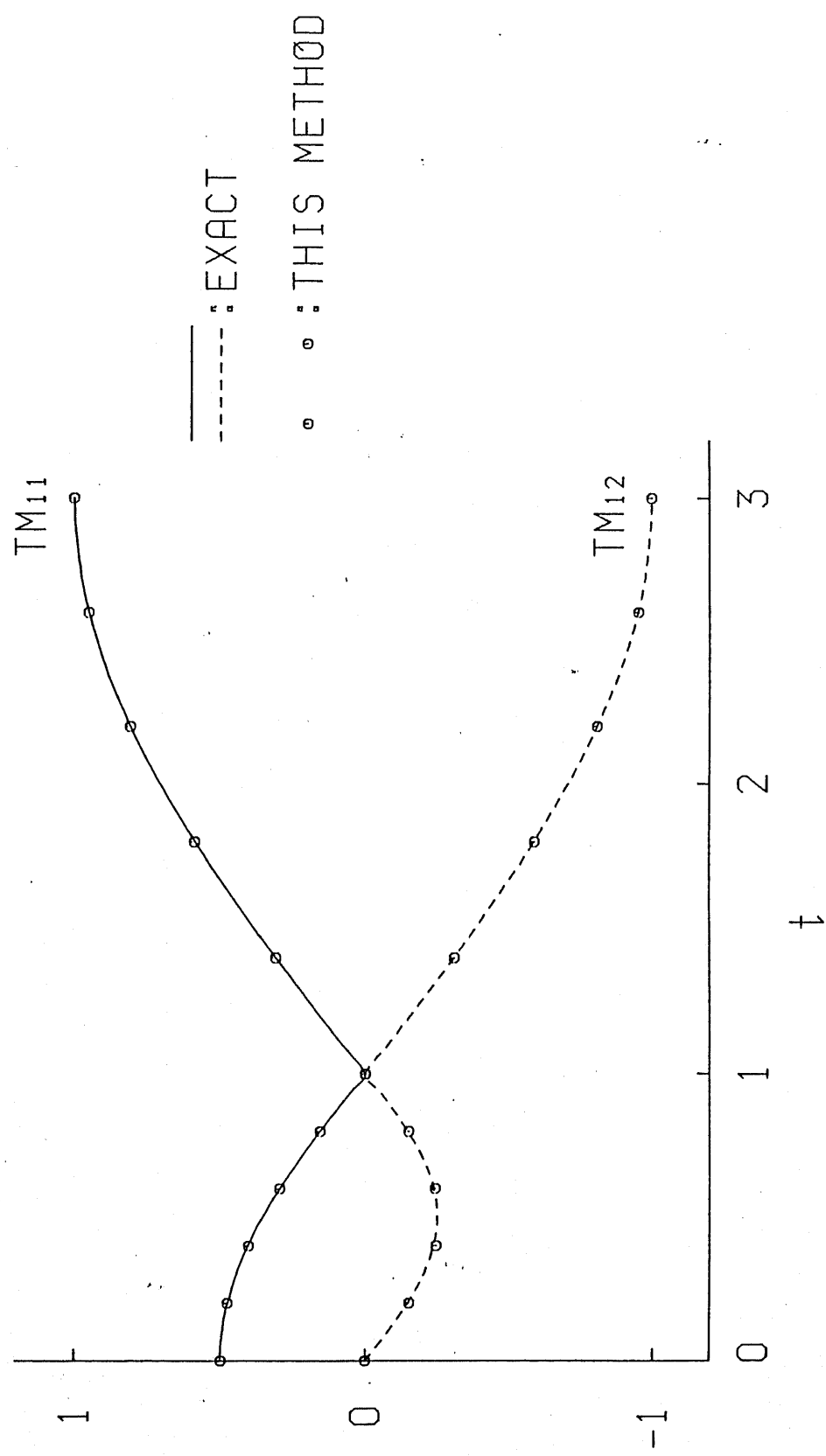


図 3-7 境界上の関数値の計算

3-4 境界形状の近似が計算精度に与える影響

前節の図3-3と図3-4に示されているような、橢円境界と方形境界における固有値の収束の速さが違うことの原因は境界形状の直線近似にあると考えてよい。橢円境界については前述のように単純線形要素と折れ線型線形要素を用いたが、境界をより正確に表現できる後者による数値結果の方が良くなっている。また図3-3によると、あるNにおける折れ線型線形要素による数値結果と、そのNの2倍の値における単純線形要素による数値結果がほぼ等しいことがわかる。図3-8は、これらのふたつの値の相対的な差を折れ線型線形要素のNを変化させて計算した結果であるが、両者間の差は極めて少ない。したがって、折れ線型線形要素を用いることにより、近似境界形状を単純線形要素において要素数を2倍にしたものと等しくすれば、境界上の近似関数の未知係数の数を2倍にすることなく、単純線形要素を用いた場合と同等の計算精度が得られる。したがって、この解析法においては計算精度を向上させるためには、境界上の関数値を記述するための未知係数の数を増やすことよりも境界形状をより正確に近似することの方が重要であることがわかる。

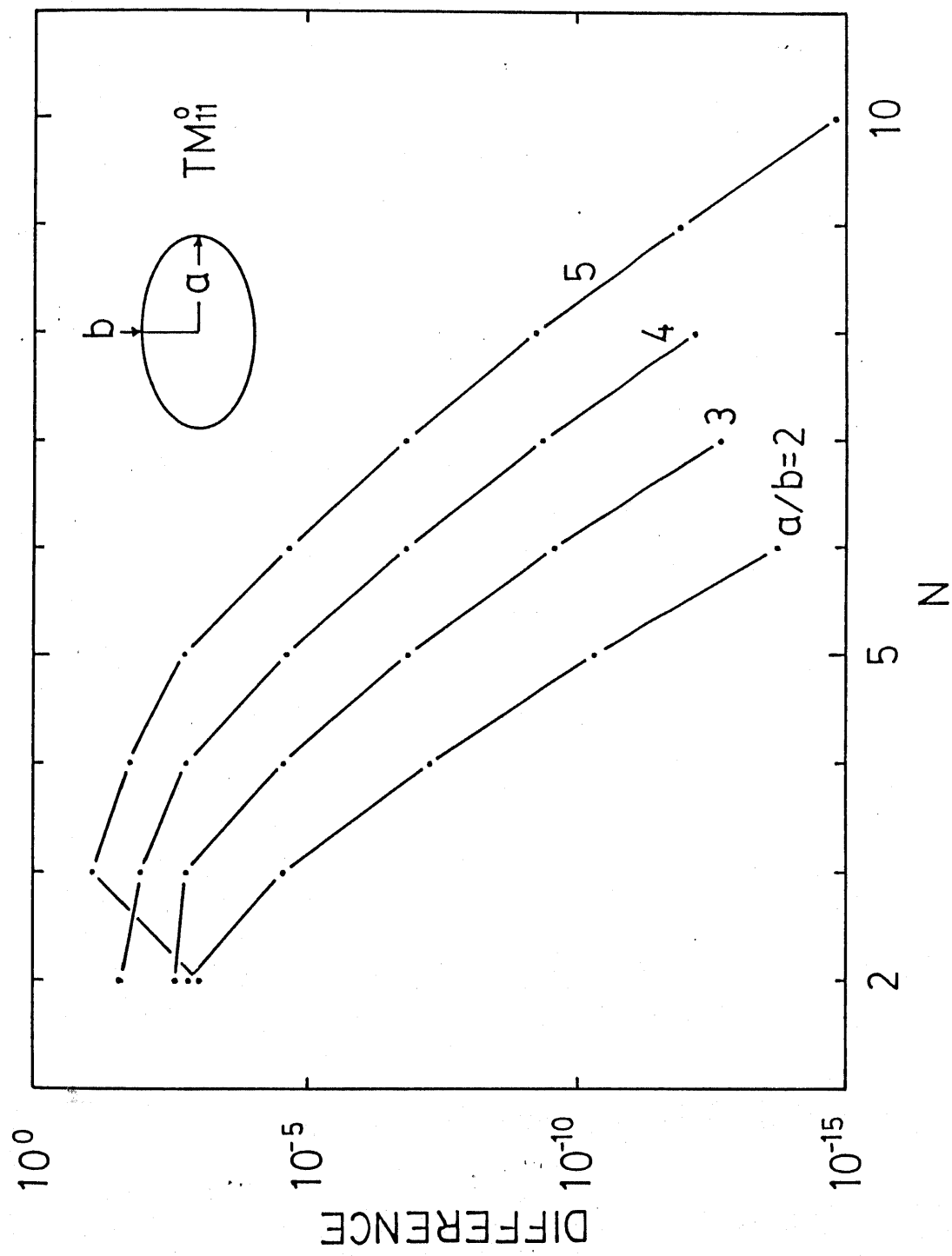


図 3-8 折れ線型線形要素の効果

3-5 重み関数の選び方とスプリアス解の関係

前節までの数値解析においては、重み関数としては、单一の円柱座標における関数系を用いてきた。この場合、非物理的なスプリアス解は全く発生しなかった。とくに円形境界の場合にはスプリアス解は発生しないことは容易に証明できる。しかし、重み関数として多重円柱座標における関数系を用いる場合にはこれが発生する。このことを半径が a の円形境界について示すことにする。

重み関数として

$$\Psi_i = Y_0(kr_i) \quad (i=1, 2, \dots) \quad (3-9)$$

を用いるとする。ここで、関数の特異点は考えている領域外になければならぬので多重円柱座標の原点 (r_0, θ_i) ($i=1, 2, \dots$) は半径 a の円の外になければならぬ。

円形境界においては、境界上の ϕ と $\partial\phi/\partial n$ は、次のように円形の中心を原点とする円柱座標 (r, θ) において次のように書ける。

$$\phi = a_j \cos(j\theta + \rho) \quad (3-10-a)$$

$$(j=0, 1, \dots)$$

$$\frac{\partial \phi}{\partial n} = c_j \cos(j\theta + \rho) \quad (3-10-b)$$

ここで、式(3-9)と、この境界上の外向き法線方向微分をGrafの加法定理[65](付録A-1 参照)を用いて円柱座標 (r, θ) 上で表すと、

$$\Psi_i = \sum_{m=-\infty}^{\infty} Y_m(kr_0) J_m(ka) \cos m(\theta - \theta_i) \quad (3-11-a)$$

$$\frac{\partial \Psi_i}{\partial n} = \sum_{m=-\infty}^{\infty} Y_m(kr_0) k J_m'(ka) \cos m(\theta - \theta_i) \quad (3-11-b)$$

となる。よって、式(3-10),(3-11)を境界積分方程式(2-8)に用いると、

$$2\pi Y_j(kr_0) \left\{ a_j k J_j'(ka) - c_j J_j(ka) \right\} = 0 \quad (3-12)$$

を得る。これより、固有値方程式は TM, TE モードそれぞれについて、

$$Y_j(kr_0) J_j(ka) = 0 \quad (3-13-a)$$

$$Y_j(kr_0) J_j'(ka) = 0 \quad (3-13-b)$$

となる。

円形境界における固有値は TM モードの場合は第一種ベッセル関数の零点、 TE モードの場合は第一種ベッセル関数の一次導関数の零点であるので、式(3-13)の左辺に現れる $Y_n(kr_0)$ の零点は明らかにスプリアス解となる。したがって、グリーン関数を用いない境界積分法においても重み関数の選択法によってはスプリアス解が発生することに注意しなければならない。

以上のようなスプリアス解の発生の機構について、前章の 6 節で論じたような通常の境界要素法との関連をつけると、通常の境界要素法においても同じ原因によってスプリアス解が発生することがわかる。すなわち、重み関数の表現の式(3-9),(3-11)において、原点 (r_i, θ_i) ($i=1, 2, \dots$) を境界 $r=a$ に近づけた極限を考えると、固有値方程式(3-13)は TM, TE モードそれぞれについて、

$$Y_j(ka) J_j(ka) = 0 \quad (3-13-a')$$

$$Y_j(ka) J_j'(ka) = 0 \quad (3-13-b')$$

となるので、 $Y_n(ka)$ の零点がスプリアス解となる。そしてこのことは、第二種ベッセル関数をグリーン関数として用いた境界要素法による TM モードの数値解析[59]において、0.9付近($Y_0(x)=0$ の根は $0.89357\dots$)においてスプリアス解が発生することからも理解できる。また、同じ数値解析においてグリーン関数として複素関数であるハンケル関数を用いた場合にはスプリアス解は発生しないということが報告されているが、これは、ハンケル関数を用いることによって上の例における第二種ベッセル関数の項が

複素関数に置き換わるので、関数の零点が複素数領域に移動し、固有値が実数の領域ではそのような零点が存在しなくなるということによって解釈できる。

3-6 むすび

グリーン関数を用いない境界要素法による単一媒質境界値問題の解析の有効性を確認し、いくつかの解析を示した。この方法による解析は、従来の境界要素法と比較すると次のような特徴がある。

- I 特異点を持つ重み関数を用いないことや、その原点を固定できることなどから、定式化がやや容易になる。
- II 重み関数の選び方の自由度が増す。たとえば、本章に示したものその他に、三角関数を重み関数として用いる定式化も可能である。
- III 従来の境界要素法とほぼ等しい数値結果を与える。
- IV 境界が曲線の場合は、高次の近似関数を用いずに、その曲線境界に沿う曲線座標の線形関数を近似関数として用いた場合でも、境界の曲線近似によって計算精度を高められる可能性がある。

第4章 均一コア光ファイバの固有モード解析

4-1	まえがき	51
4-2	境界積分法の定式化	52
4-3	円形断面光ファイバの固有値方程式の導出	61
4-4	楕円コア光ファイバの解析	65
4-5	端点を持つ境界形状の解析	74
4-6	むすび	86

4-1 まえがき

前章では、グリーン関数を用いない境界積分法の定式化を单一媒質中のヘルムホルツ方程式の最も基本的な境界値問題に適用し、その有効性を示した。本章ではその基礎の上にたって、誘電体導波路中の固有伝搬モードのように、ふたつのポテンシャル関数を考えねばならない境界値問題、すなわち二媒質境界値問題のベクトル波解析に対する定式化を行う。

二媒質境界値問題のベクトル波解析における複雑な境界条件の適用を容易にする曲線座標系における電磁界のフーリエ級数展開法、コア、クラッド各領域における重み関数の選択法、固有値方程式の導出など、次章以降で行う複合媒質導波路の解析の基礎となる定式化を行う。この定式化の有効性を確かめるために軸対称均一コア光ファイバの固有値方程式の導出を第2章で論じたふたとおりの重み関数の選択法を用いて行う。実際の数値解析においては、楕円形断面、正方形断面のコア形状をもつ均一コア光ファイバの固有伝搬モードの解析を行う。楕円断面においては単一偏波特性を記述するふたつの基本モードの伝搬定数差、あるいは複屈折を解析対象の中心とする。正方形断面においては境界上に存在する端点が数値解析に及ぼす影響について検討する。

4-2 境界積分法の定式化

図4-1に、解析の対象とする光ファイバの断面を示す。これは、単一のコアとそれを囲む無限遠まで広がるクラッドの二媒質から成っており、それぞれの媒質はz軸方向に一様で、均質、等方、かつ無損失であり、透磁率 μ_0 を持つものとする。

コア、クラッド各領域において、電磁界のz軸方向成分 E_z, H_z は、次のヘルムホルツ方程式を満足する。

$$\nabla_t^2 \begin{Bmatrix} E_{z1} \\ H_{z1} \end{Bmatrix} + (k_I^2 - \beta^2) \begin{Bmatrix} E_{z1} \\ H_{z1} \end{Bmatrix} = 0 \quad (4-1)$$

ここで k_I は波数であり、コア、クラッド各領域の誘電率あるいは屈折率により

$$k_I^2 = \omega^2 \epsilon_I \mu_0 = (n_I k_0)^2 \quad (4-2)$$

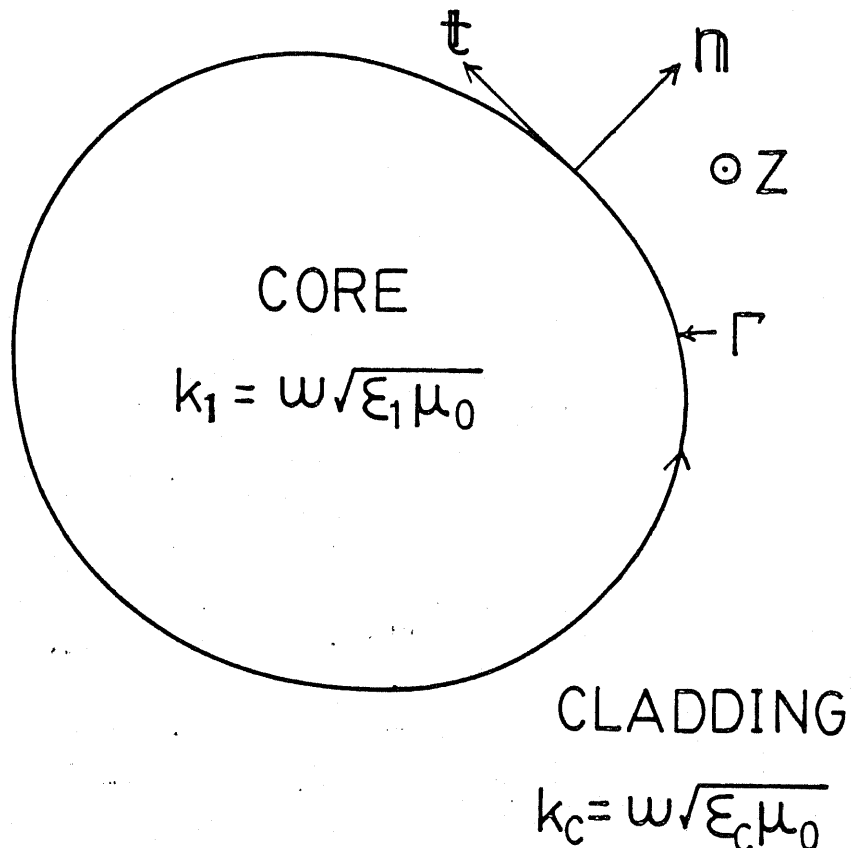


図4-1 任意形状均一コア光ファイバ

と表される。 β は固有モードの伝搬定数である。添え字 "1", "C" によってそれぞれコア、クラッドを表す。

電磁界の横断面成分 E_t, H_t は次式のように z 軸方向成分より導出される。

$$E_{t1} = \frac{j\beta}{\beta^2 - k_I^2} \left(\nabla_t E_{z1} - \frac{\omega \mu_0}{\beta} \alpha_z \times \nabla_t H_{z1} \right) \quad (4-3-a)$$

$$H_{t1} = \frac{j\beta}{\beta^2 - k_I^2} \left(\nabla_t H_{z1} + \frac{\omega \epsilon_I}{\beta} \alpha_z \times \nabla_t E_{z1} \right) \quad (4-3-b)$$

ここで α_z は z 軸方向単位ベクトルである。

コア・クラッド境界 Γ においては、固有モードの電磁界は、次式の境界条件を満足する。

$$E_{z1} = E_{z0} \quad (4-4-a)$$

$$H_{z1} = H_{z0} \quad (4-4-b)$$

$$\mathbf{t} \cdot \mathbf{E}_{t1} = \mathbf{t} \cdot \mathbf{E}_{t0} \quad (4-4-c)$$

$$\mathbf{t} \cdot \mathbf{H}_{t1} = \mathbf{t} \cdot \mathbf{H}_{t0} \quad (4-4-d)$$

ここで \mathbf{t} は境界の接線方向単位ベクトルである。

前章と同様に、式(4-1)を満足する重み関数系 ψ_{Ei}, ψ_{Hi} ($i=1, \dots, N$) をコア、クラッドそれぞれの領域で別々に考えて、それを固有モードの電磁界 E_{zi} と H_{zi} に対応させてグリーンの定理を適用すると、式(2-8)に対応する式として、

$$\oint_{\Gamma} \left(E_{zi} \frac{\partial \psi_{Ei}}{\partial n} - \psi_{Ei} \frac{\partial E_{zi}}{\partial n} \right) dl = 0 \quad (4-5-a)$$

$(i=1, 2, \dots)$

$$\oint_{\Gamma} \left(H_{zi} \frac{\partial \psi_{Hi}}{\partial n} - \psi_{Hi} \frac{\partial H_{zi}}{\partial n} \right) dl = 0 \quad (4-5-b)$$

のような境界 Γ における境界積分方程式が、コア、クラッドそれぞれの領域に対して得られる。

境界上の E_{zi} と H_{zi} を、それぞれ N 個の適当な関数の線形結合で近似すると、前章と同様に境界上におけるこれらの値とそれらの法線方向微分を各領域において数値的に関

係づけることができる。その結果を用いて、境界 Γ における境界条件を適用するわけであるが、式(4-4-a),(4-4-b)の E_{zI} と H_{zI} の連続性については、境界上の E_{zI} と H_{zI} を数値解析におけるパラメータにとることにより、自動的に満足される。式(4-4-c),(4-4-d)の、電磁界の横断面における接線方向成分の連続性については、式(4-3)より得られる

$$\mathcal{L} \cdot E_{tI} = \frac{j\beta}{\beta^2 - k_I^2} \left(\frac{\partial E_{zI}}{\partial t} - \frac{\omega \mu_0}{\beta} \frac{\partial H_{zI}}{\partial n} \right) \quad (4-6-a)$$

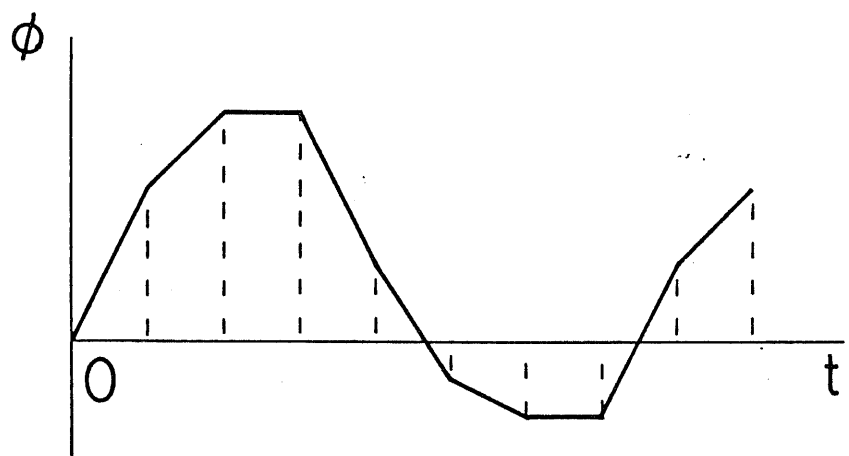
$$\mathcal{L} \cdot H_{tI} = \frac{j\beta}{\beta^2 - k_I^2} \left(\frac{\partial H_{zI}}{\partial t} + \frac{\omega \epsilon_I}{\beta} \frac{\partial E_{zI}}{\partial n} \right) \quad (4-6-b)$$

を利用して適用する。これらの式で、 $\partial E_{zI}/\partial n$, $\partial H_{zI}/\partial n$ は式(4-5)により、それぞれ E_{zI} , H_{zI} によって表され、 $\partial E_{zI}/\partial t$, $\partial H_{zI}/\partial t$ は E_{zI} , H_{zI} を境界に沿った座標系で直接微分することによって得られるので、固有値方程式は E_{zI} , H_{zI} に関する同次連立一次方程式の形をとる。

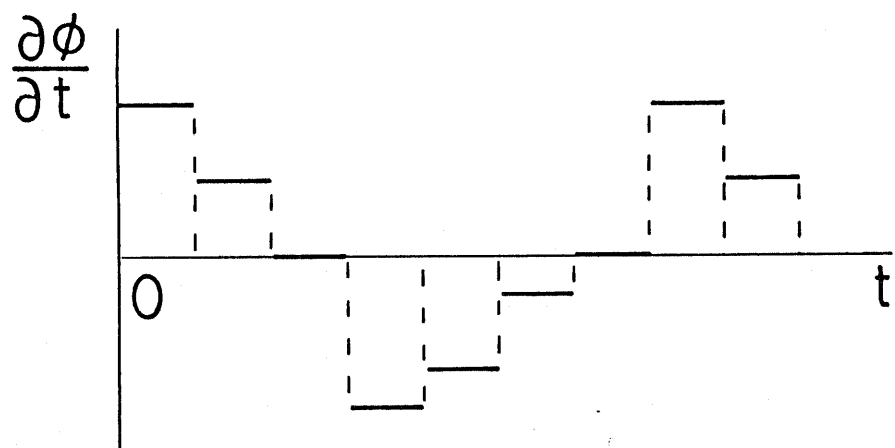
以下に、式(4-5)中に用いられている境界上の電磁界の近似関数および重み関数の選択法について論じる。

◎ 境界上の電磁界の近似関数

従来の境界要素法においては、境界上の近似関数として、前章で用いたような1次元スプライン関数[50, 54-57]や、二次元以上の高次の関数などのとの巾乗の補間関数[50, 58]を用いている。しかし、これらの場合、接線方向微分 $\partial E_{zI}/\partial t$, $\partial H_{zI}/\partial t$ のように、 E_z , H_z を境界上で直接微分した関数は、 E_z , H_z と比較すると t に関する次元がひとつ低くなる。法線方向微分の $\partial E_{zI}/\partial n$, $\partial H_{zI}/\partial n$ は式(4-5)から導かれるので、 E_z , H_z と同次元である。すると式(4-6)においては次元が異なる関数を加え合せることになる。特に近似関数として図4-2のような1次元スプライン関数を用いた場合は、その接線方向微分は同図-(b)のように不連続になり、その結果として式(4-6)で表される電磁界の値が不連続となってしまう。そしてこのような数値解析における不連続関数は多数のスプリアス解を発生させる原因となることが知られている[58]。この問題の解決策としては、 $t \cdot E_t$, $t \cdot H_t$ をパラメータとする境界積分方程式を用いるという方法もあるが[57]、ここでは図4-3のようなx軸と境界との交点を原点とするような、境界に沿った曲線座標 τ を考え、その座標上において、 E_{zI} , H_{zI}



(a) ϕ



(b) $\frac{\partial \phi}{\partial t}$

図4-2 従来の境界要素法における近似関数(一次元スプライン関数)

を次式のように三角関数のフーリエ級数で展開する。

$$E_z = \sum_j a_j \cos\left(\frac{j\pi t}{2L} + \rho\right) \quad (4-7-a)$$

$$H_z = \sum_j b_j \sin\left(\frac{j\pi t}{2L} + \rho\right) \quad (4-7-b)$$

ここで、 t は曲線座標の値、 L は第一象限の境界の長さである。

$\partial E_{z1}/\partial n, \partial H_{z1}/\partial n$ についても次式のようにフーリエ級数で表す。

$$\frac{\partial E_{z1}}{\partial n} = \sum_j C_j^I \cos\left(\frac{j\pi t}{2L} + \rho\right) \quad (4-8-a)$$

$$\frac{\partial H_{z1}}{\partial n} = \sum_j d_j^I \sin\left(\frac{j\pi t}{2L} + \rho\right) \quad (4-8-b)$$

$(I=1, c)$

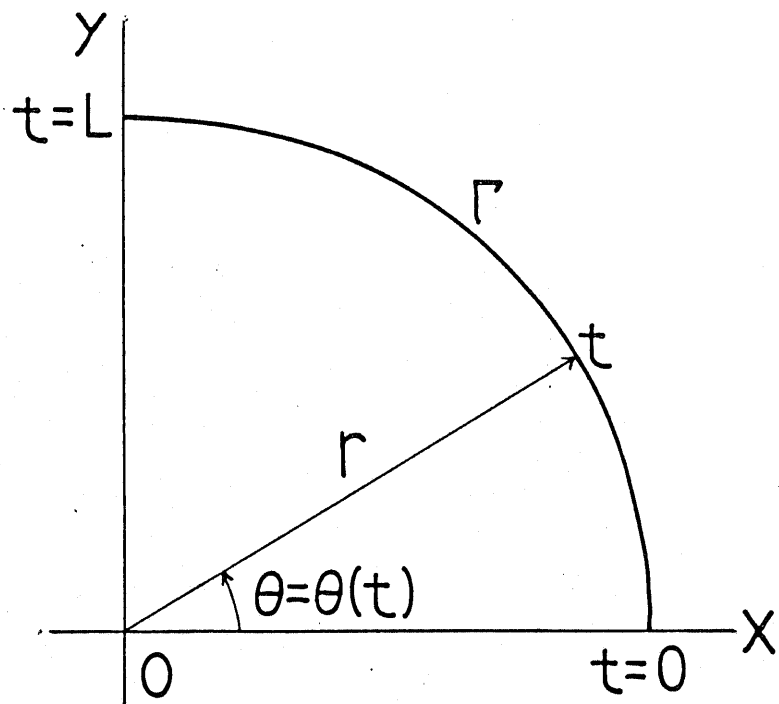


図4-3 境界上の曲線座標

式(4-7),(4-8)のような境界上の電磁界の表現を用いると、式(4-6)の量は三角関数の SIN または COS の片方の関数のみによって表されるので、先に述べたような座標 τ の巾乗の関数を用いるときの問題は生じない。また、軸対称均一コア光ファイバの固有モードの電磁界が、中心軸の周方向に三角関数依存性をもっていることを考え合せても、このような電磁界関数の取り方は極めて妥当である。

◎ 重み関数

重み関数 ψ_{Ei}, ψ_{Hi} ($i=0,1,\dots$)の選択法としては、第2章で論じたふたとおりの方法のうち、数値解析においては单一の円柱座標における円柱調和関数を用い、ここでもその場合のみについて述べるが、後述する軸対称均一コア光ファイバの固有値方程式の導出において示されるようにどちらの方法でも定式化が可能である。

コア、クラッドの各領域では、式(4-1)の $(k_1^2 - \beta^2)$ の符号が異なるのでベッセル関数の取り方は、第2章5節で論じた方法に従う。すなわち、コア領域では第一種ベッセル関数と三角関数の積

$$\Psi_{Ei} = J_i(x_1 r) \cos(i\theta + \rho) \quad (4-9-a)$$

$$\Psi_{Hi} = J_i(x_1 r) \sin(i\theta + \rho) \quad (4-9-b)$$

$$x_1 = (\kappa_1^2 - \beta^2)^{\frac{1}{2}} \quad (4-9-c)$$

クラッド領域では第二種変形ベッセル関数と三角関数の積

$$\Psi_{Ei} = K_i(x_c r) \cos(i\theta + \rho) \quad (4-10-a)$$

$$\Psi_{Hi} = K_i(x_c r) \sin(i\theta + \rho) \quad (4-10-b)$$

$$x_c = (\beta^2 - \kappa_c^2)^{\frac{1}{2}} \quad (4-10-c)$$

をそれぞれ用いる。

境界形状が楕円または方形のように図4-3のx,y軸に関する二軸対称性を有する場合には、境界条件と電磁界の対称性により、境界上の電磁界関数と重み関数の次数j

と位相角 ρ は固有モードの E_{z1} の対称性に対応して表4-1のように選ぶ。このことによって式(4-5)の境界積分は、前章2節で述べたのと同じ理由により、第一象限の境界上ののみで実行すればよい。

表4-1 重み関数の選択法

E_{z1} の対称性		モード例	パラメータ	
x 軸	y 軸		i, j	ρ
対称	対称	$T M_{0m}$	偶数	0
対称	反対称	$H E_{11^x}$	奇数	0
反対称	対称	$H E_{11^y}$	奇数	$\pi/2$
反対称	反対称	$T E_{0m}$	偶数	$\pi/2$

クラッド領域を考えている場合の積分を実行すべき境界は、厳密にはコア・クラッド境界と、それを無限遠で囲む境界の和であるが、このうち無限遠の境界上の積分は、第2章5節で論じたように、光ファイバの固有伝搬モードの性質により0となるので考慮しなくてよい。

式(4-5)は、式(4-7)と(4-8)の電磁界のフーリエ級数展開と、上記の重み関数を用いることにより、フーリエ係数ベクトル

$$\mathbf{a} = [a_1, \dots, a_N], \mathbf{b} = [b_1, \dots, b_N], \mathbf{c}^I = [c^{I_1}, \dots, c^{I_N}], \mathbf{d}^I = [d^{I_1}, \dots, d^{I_N}]$$

間の関係式に変換される。これは、コア、クラッドそれぞれの領域において、

$$[A^I] \mathbf{a} = [C^I] \mathbf{c}^I \quad (4-13-a)$$

$(I=1, C)$

$$[B^I] \mathbf{b} = [D^I] \mathbf{d}^I \quad (4-13-b)$$

または、

$$\mathbf{c}^I = [C^I]^{-1} \cdot [A^I] \mathbf{a} \quad (4-13-a')$$

$(I=1, C)$

$$\mathbf{d}^I = [D^I]^{-1} \cdot [B^I] \mathbf{b} \quad (4-13-b')$$

のように書ける。ここで $[A^l], [B^l], [C^l], [D^l] (l=1, c)$ はフーリエ級数の項数と同じ次数の正方行列である。これにより式(4-6)中の境界上の法線方向微分の量が境界上の電磁界により表されたことになる。

接線方向微分の量の $\partial E_z / \partial t, \partial H_z / \partial t$ については、式(4-7)を直接で微分することにより、

$$\frac{\partial E_z}{\partial t} = - \sum_j a_j \frac{j\pi}{2L} \sin\left(\frac{j\pi t}{2L} + \rho\right) \quad (4-14-a)$$

$$\frac{\partial H_z}{\partial t} = \sum_j b_j \frac{j\pi}{2L} \cos\left(\frac{j\pi t}{2L} + \rho\right) \quad (4-14-b)$$

と表される。

以上より、式(4-6)の量は、境界上の E_z と H_z のみによって表されたことになり、境界条件式は、境界の両側の電磁界のフーリエ成分を各次数ごとに一致させることにより適用でき、 a, b に関する同次方程式

$$\frac{\beta}{\beta^2 - k_1^2} \left([T_E] a - \frac{\omega \mu_0}{\beta} [D^l]^{-1} [B^l] b \right) = \frac{\beta}{\beta^2 - k_c^2} \left([T_E] a - \frac{\omega \mu_0}{\beta} [D^c]^{-1} [B^c] b \right) \quad (4-15-a)$$

$$\frac{\beta}{\beta^2 - k_1^2} \left([T_H] b + \frac{\omega \epsilon_1}{\beta} [C^l] [A^l] a \right) = \frac{\beta}{\beta^2 - k_c^2} \left([T_H] b + \frac{\omega \epsilon_c}{\beta} [C^c]^{-1} [A^c] a \right) \quad (4-15-b)$$

を得る。ただし、行列 $[T_E], [T_H]$ は、式(4-7)と(4-12)の関係より、

$$[T_E] = \begin{pmatrix} 0 & 2 & 0 \\ 0 & 0 & 4 \\ 0 & 6 & \dots \end{pmatrix}, \begin{pmatrix} 1 & 3 & 0 \\ 3 & 5 & \dots \\ 0 & \dots \end{pmatrix}, \begin{pmatrix} 1 & 3 & 0 \\ 3 & 5 & \dots \\ 0 & \dots \end{pmatrix}, \begin{pmatrix} 0 & 0 \\ 2 & 0 \\ 0 & 4 \\ 0 & 6 \\ \dots \end{pmatrix} \quad (4-16-a)$$

$$[T_H] = \begin{pmatrix} 0 & 0 \\ 2 & 0 \\ 0 & 4 \\ 0 & 6 \\ \dots \end{pmatrix}, \begin{pmatrix} 1 & 3 & 0 \\ 3 & 5 & \dots \\ 0 & \dots \end{pmatrix}, \begin{pmatrix} 1 & 3 & 0 \\ 3 & 5 & \dots \\ 0 & \dots \end{pmatrix}, \begin{pmatrix} 0 & 2 & 0 \\ 0 & 0 & 4 \\ 0 & 6 & \dots \end{pmatrix} \quad (4-16-b)$$

なる形をとる。ここで、これらの式中の行列は表4-1の電磁界の対称性にしたがって、その順番のとおりに選ぶ。

式(4-15)は境界上の E_{z1}, H_{z1} のフーリエ展開係数に対する同次方程式であり、この係数行列の行列式の値を0にするような波数と伝搬定数の組を求めることにより、導波路の分散特性が得られる。すなわち、固有値方程式は、

$$\det[M] = 0 \quad (4-17)$$

なる形をとる。

境界上の電磁界は、式(4-17)より求められた波数と伝搬定数の組を用いて同次方程式(4-15)を解くことによって求めることができる。境界上の電磁界の法線方向微分は、式(4-13)'によって計算できる。

4-3 円形断面光ファイバの固有値方程式の導出

前節で行った境界積分法定式化の有効性を示す一例として、コア半径が a である均一コア円形断面光ファイバの固有方程式の導出を行う。

重み関数として(4-9),(4-10)のような单一の円柱座標における関数系を用いる場合は三角関数の直交性により、式(4-13)'から、

$$c_j^1 = \frac{\chi_1 J_j'(x_1 a)}{J_j(x_1 a)} a_j \quad (4-18-a)$$

$$d_j^1 = \frac{\chi_1 J_j'(x_1 a)}{J_j(x_1 a)} b_j \quad (4-18-b)$$

$$c_j^c = \frac{\chi_c K_j'(x_c a)}{K_j(x_c a)} a_j \quad (4-18-c)$$

$$d_j^c = \frac{\chi_c K_j'(x_c a)}{K_j(x_c a)} b_j \quad (4-18-d)$$

を得る。これらの式の a_j, b_j の係数は、対角行列 $[C^I]^{-1} \cdot [A^I], [D^I]^{-1} \cdot [B^I]$ ($I=1, C$) の対角成分である。

多重円柱座標における関数系を用いる場合は、コア、クラッドそれぞれの領域における重み関数を、

$$\psi_{Ei} = \psi_{Hi} = \begin{cases} Y_0(x_i r_i) \\ K_0(x_c r'_i) \end{cases} \quad (i=1, 2, \dots)$$

と取る。ただし、関数の特異点は考えている領域外になければならぬのでコア領域の重み関数の多重原点 (r_{0i}, θ_i) ($i=1, 2, \dots$) はクラッド内に、クラッド領域の重み関数の多重原点 (r'_{0i}, θ'_i) ($i=1, 2, \dots$) はコア内になければならない。

付録Aの式(A-4),(A-5)を用いると、

$$\oint_{\Gamma} Y_0(x, r_i) \frac{\cos(j \frac{t}{a} + \rho)}{\sin(j \frac{t}{a} + \rho)} dl = 2\pi Y_j(x, r_{0i}) J_j(x, a) \frac{\cos(j \theta_i + \rho)}{\sin(j \theta_i + \rho)}$$

$$\oint_{\Gamma} \frac{\partial Y_0(x, r_i)}{\partial n} \frac{\cos(j \frac{t}{a} + \rho)}{\sin(j \frac{t}{a} + \rho)} dl = 2\pi Y_j(x, r_{0i}) x_i J'_j(x, a) \frac{\cos(j \theta_i + \rho)}{\sin(j \theta_i + \rho)}$$

$$\oint_{\Gamma} K_0(x, r_i') \frac{\cos(j \frac{t}{a} + \rho)}{\sin(j \frac{t}{a} + \rho)} dl = 2\pi K_j(x, a) I_j(x, r_{0i}') \frac{\cos(j \theta_i' + \rho)}{\sin(j \theta_i' + \rho)}$$

$$\oint_{\Gamma} \frac{\partial K_0(x, r_i')}{\partial n} \frac{\cos(j \frac{t}{a} + \rho)}{\sin(j \frac{t}{a} + \rho)} dl = 2\pi x_i K'_j(x, a) I_j(x, r_{0i}') \frac{\cos(j \theta_i' + \rho)}{\sin(j \theta_i' + \rho)}$$

を得る。式(4-7),(4-8)をこれらの式を利用して式(4-5)に代入すると、

$$2\pi \sum_j Y_j(x, r_{0i}) \left\{ \frac{c_j}{d_j} J_j(x, a) - \frac{a_j}{b_j} x_i J'_j(x, a) \right\} \frac{\cos(j \theta_i + \rho)}{\sin(j \theta_i + \rho)}$$

$$2\pi \sum_j I_j(x, r_{0i}') \left\{ \frac{c_j}{d_j} K_j(x, a) - \frac{a_j}{b_j} x_i K'_j(x, a) \right\} \frac{\cos(j \theta_i' + \rho)}{\sin(j \theta_i' + \rho)}$$

となるが、任意の $(r_{0i}, \theta_i), (r_{0i}', \theta_i')$ ($i=1, 2, \dots$)についてこれが成立するための条件を考えると式(4-18)が成立することがわかる。

式(4-14)は、

$$\frac{\partial E_z}{\partial t} = - \sum_j \frac{j}{a} a_j \sin\left(\frac{j}{a} t + \rho\right) \quad (4-19-a)$$

$$\frac{\partial H_z}{\partial t} = \sum_j \frac{j}{a} b_j \cos\left(\frac{j}{a} t + \rho\right) \quad (4-19-b)$$

となるので、これらより、式(4-15)は、

$$\begin{aligned}
& - \frac{\beta}{X_1^2} \sum_j \left\{ -\frac{j}{a} a_j - \frac{\omega \mu_0}{\beta} \frac{X_1 J_j'(x_1 a)}{J_j(x_1 a)} b_j \right\} \sin \left(\frac{j}{a} t + \rho \right) \\
& = - \frac{\beta}{X_c^2} \sum_j \left\{ -\frac{j}{a} a_j - \frac{\omega \mu_0}{\beta} \frac{X_c K_j'(x_c a)}{K_j(x_c a)} b_j \right\} \sin \left(\frac{j}{a} t + \rho \right)
\end{aligned}$$

(4-20-a)

$$\begin{aligned}
& - \frac{\beta}{X_1^2} \sum_j \left\{ \frac{j}{a} b_j + \frac{\omega \varepsilon_1}{\beta} \frac{X_1 J_j'(x_1 a)}{J_j(x_1 a)} a_j \right\} \cos \left(\frac{j}{a} t + \rho \right) \\
& = - \frac{\beta}{X_c^2} \sum_j \left\{ \frac{j}{a} b_j + \frac{\omega \varepsilon_c}{\beta} \frac{X_c K_j'(x_c a)}{K_j(x_c a)} a_j \right\} \cos \left(\frac{j}{a} t + \rho \right)
\end{aligned}$$

(4-20-b)

となる。さらにこれを整理すると、

$$\left[\begin{array}{cc} M_0 & 0 \\ 0 & M_0' \end{array} \right] \left[\begin{array}{c} M_1 \\ M_2 \\ \vdots \\ M_j \\ \vdots \\ M_N \end{array} \right] = \left[\begin{array}{c} a_0 \\ b_0 \\ a_1 \\ b_1 \\ a_2 \\ b_2 \\ \vdots \\ a_j \\ b_j \\ \vdots \\ a_N \\ b_N \end{array} \right] = 0 \quad (4-21)$$

を得る。ここで、

$$M_0 = \omega \epsilon_0 \left\{ \frac{n_1^2 J_0'(x_1 a)}{\chi_1 J_0(x_1 a)} + \frac{n_c^2 K_0'(x_c a)}{\chi_c K_0(x_c a)} \right\} \quad (4-22-a)$$

$$M_0' = \omega \mu_0 \left\{ \frac{J_0'(x_1 a)}{\chi_1 J_0(x_1 a)} + \frac{K_0'(x_c a)}{\chi_c K_0(x_c a)} \right\} \quad (4-22-b)$$

であり、 $[M_j]$ ($j=1, \dots, N$) は 2 次の正方行列で、

$$\det[M_j] =$$

$$\begin{aligned} & k_0^2 \left\{ \frac{n_1^2 J_j'(x_1 a)}{\chi_1 J_j(x_1 a)} + \frac{n_c^2 K_j'(x_c a)}{\chi_c K_j(x_c a)} \right\} \left\{ \frac{J_j'(x_1 a)}{\chi_1 J_j(x_1 a)} + \frac{K_j'(x_c a)}{\chi_c K_j(x_c a)} \right\} \\ & - \beta^2 \left(\frac{j}{a} \right)^2 \left(\frac{1}{\chi_1^2} + \frac{1}{\chi_c^2} \right) \end{aligned} \quad (4-22-c)$$

である。式(4-21)より固有方程式は

$$M_0 \cdot M_0' \cdot \prod_{j=1}^N \det[M_j] = 0 \quad (4-23)$$

となる。式(4-22)より、

$$M_0 = 0 \quad (4-24-a)$$

$$M_0' = 0 \quad (4-24-b)$$

が、それぞれ TM_{0m}, TE_{0m} モードの固有方程式である。また

$$\det[M_j] = 0 \quad (4-24-c)$$

がそれ以外のモードの固有方程式となることは明らかである。

以上より、境界積分方程式(4-5)により均一コア円形断面光ファイバの分散方程式が導出された。

4-4 楕円コア光ファイバの数値解析

本節では、長半径 a 、短半径 b の楕円コア光ファイバの固有伝搬モードを、本章2節の議論に基づいて数値解析した結果を示す。数値解析のパラメータとしては、楕円率 ε 、正規化周波数 V 、正規化伝搬定数 P 、および正規化複屈折 B を用いる。これらは、

$$\varepsilon = 1 - \frac{b}{a} \quad (4-25-a)$$

$$V = k_0 a \sqrt{n_i^2 - n_c^2} = a \sqrt{k_i^2 - k_c^2} \quad (4-25-b)$$

$$P = \frac{(\beta/k_0)^2 - n_c^2}{n_i^2 - n_c^2} = \frac{\beta^2 - k_c^2}{k_i^2 - k_c^2} \quad (4-25-c)$$

$$B = \frac{|\beta_x - \beta_y|}{k_0} \quad (4-25-d)$$

と定義される。ただし β_x, β_y は、それぞれ HE_{11x} , HE_{11y} モードの伝搬定数であり、コア・クラッドの屈折率比は、主として $n_i/n_c = 1.01$ を用いている。

図4-4に、境界上の電磁界のフーリエ級数の項数 N を増加した場合の HE_{11x} モードの P の収束特性を、同図-(b)には、収束特性の点整合法による解析結果[34]との比較を示す。ここで点整合法における N としては、電磁界の展開項数を考えている。

図4-5には、 HE_{11x} モードと HE_{11y} モードの正規化伝搬定数差 ΔP の収束特性を示す。これらの図においては、 $N = 10$ において P と ΔP の値は5桁程度の精度にまで収束していることがわかる。そして、収束の速度は点整合法のそれよりも大きいことがわかる。このように、 ΔP のようなふたつの接近した量の差についても高精度で計算できることは、複屈折特性も良好に計算できることを示している。

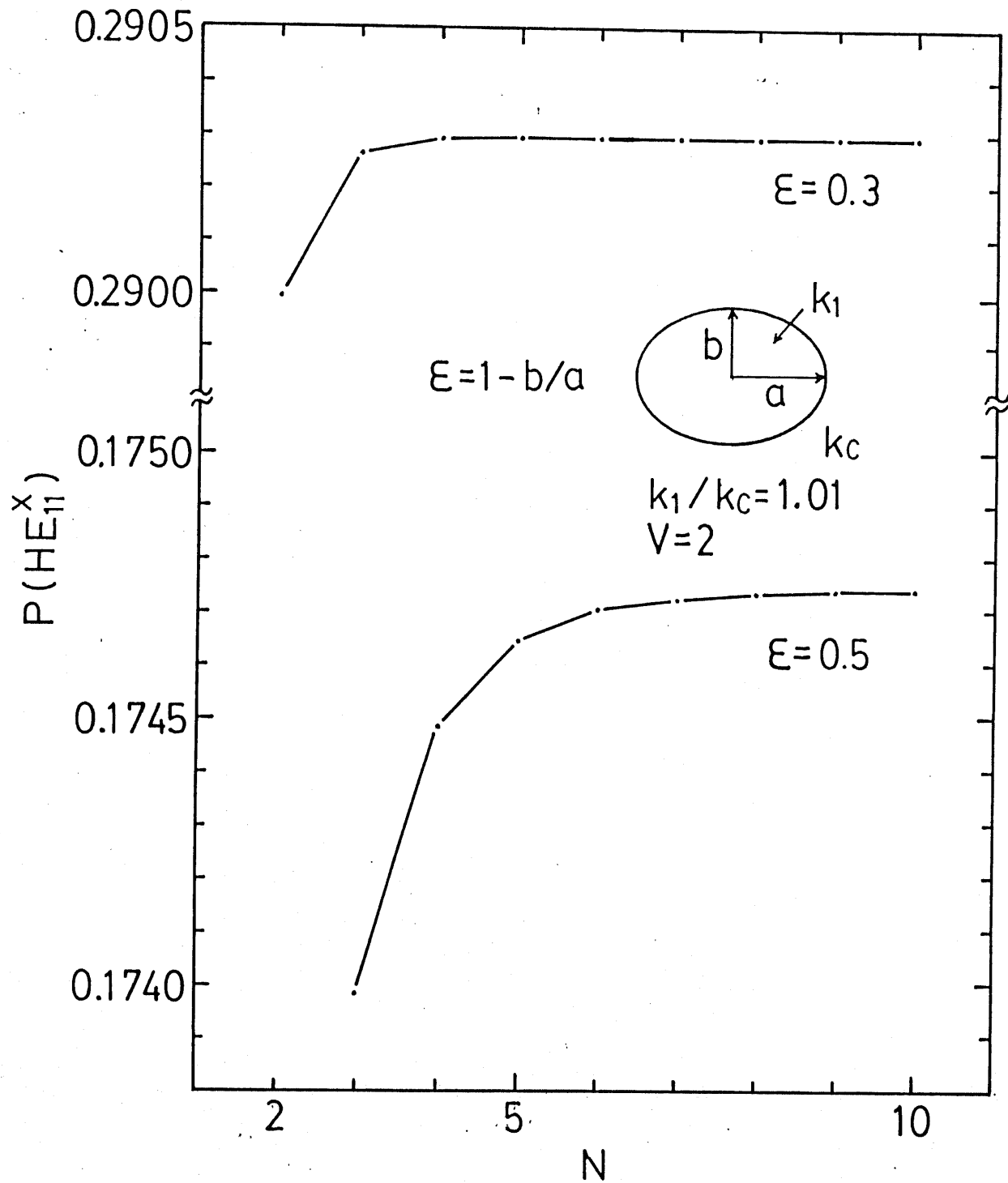
図4-6に楕円率 $\varepsilon = 0.5, 0.3$ の場合の HE_{11} モードの分散特性を示す。楕円コアの場合は、図4-5に示すようにこれらのふたつのモードの伝搬定数差は小さいので、この図上では区別がつかない程度に近接している。

図4-7に、第一次、第二次高次モードの遮断周波数の ε 依存性を示す。この図には、通常の境界要素法による数値結果[57]も示しており、本論文の方法による数値結果と良い一致を示していることがわかる。

図4-8に、 HE_{11x} モードと HE_{11y} モードの正規化伝搬定数差 ΔP の周波数特性の

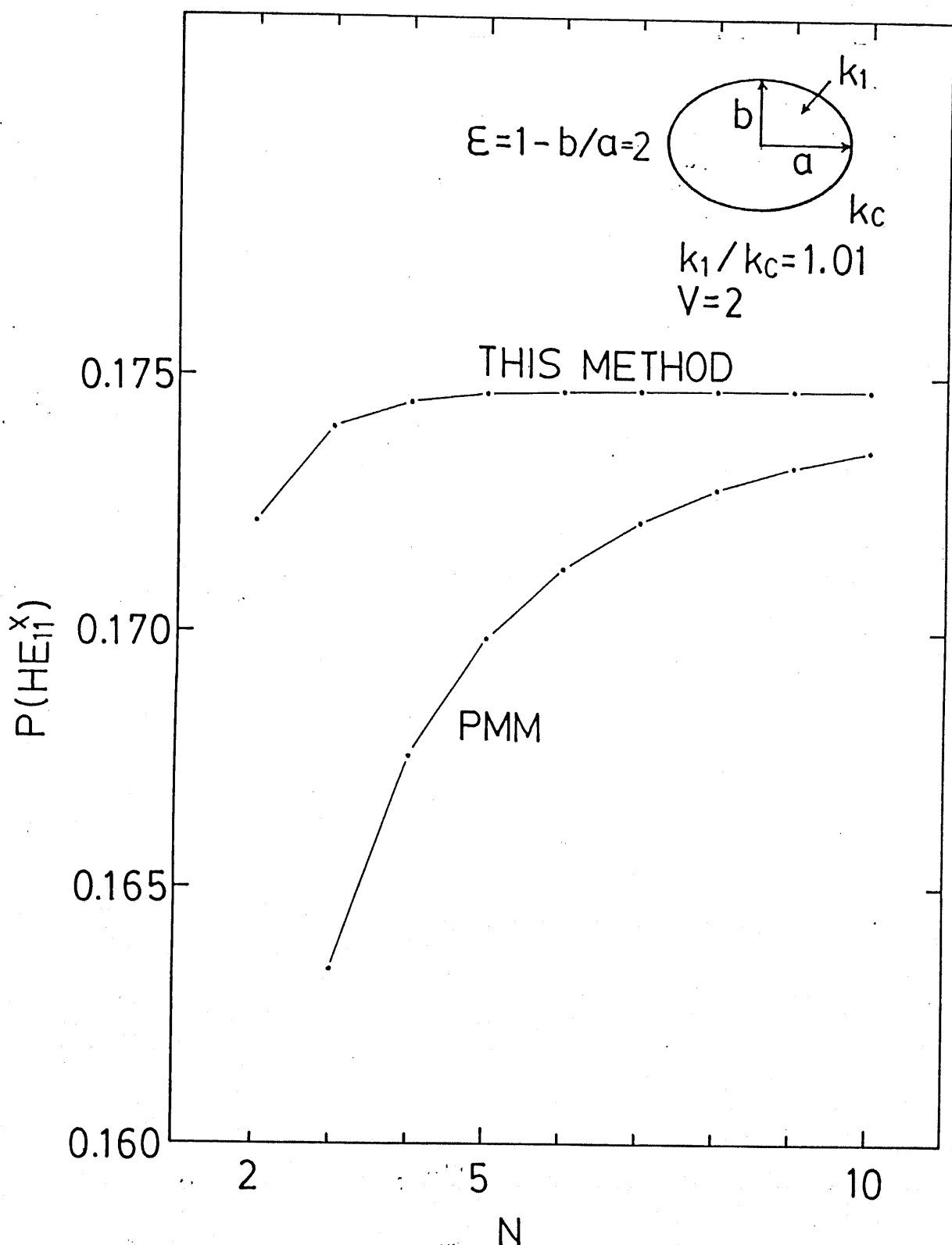
有限要素法による数値結果[21]との比較をしめす。これも本論文の方法による数値結果と良い一致を示している。

図4-9は、正規化複屈折Bの周波数特性である。複屈折はそれぞれの ε の値において、適当な周波数で最大値を取ることがわかる。この図においては複屈折の最大値として、およそ 5×10^{-5} ($\varepsilon = 0.5$)を得ている。



(a) H E_{11}^x モード

図4-4 伝搬定数の収束特性



(b) 点整合法との比較

図4-4 伝搬定数の収束特性

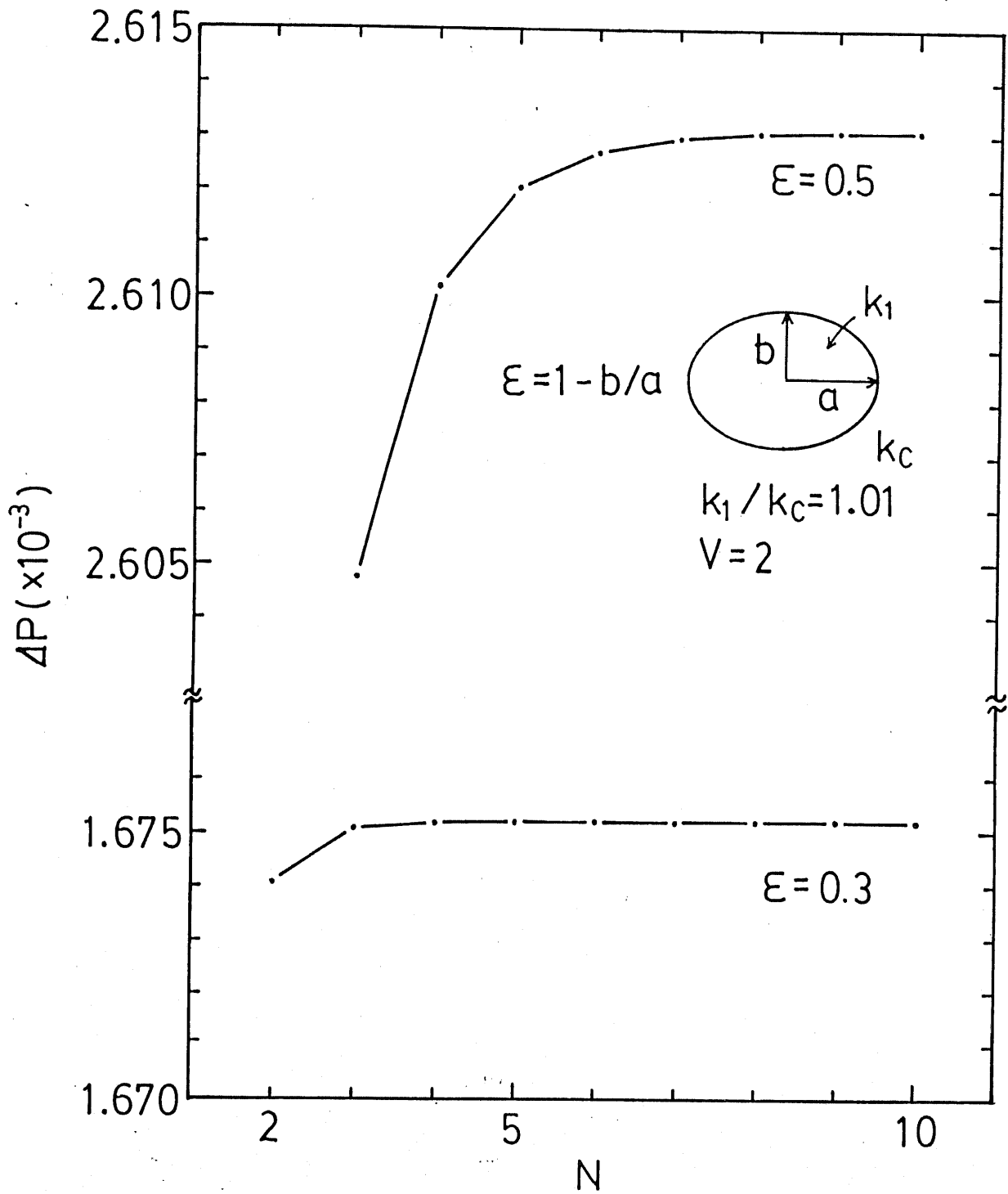


図4-5 正規化伝搬定数差の収束特性

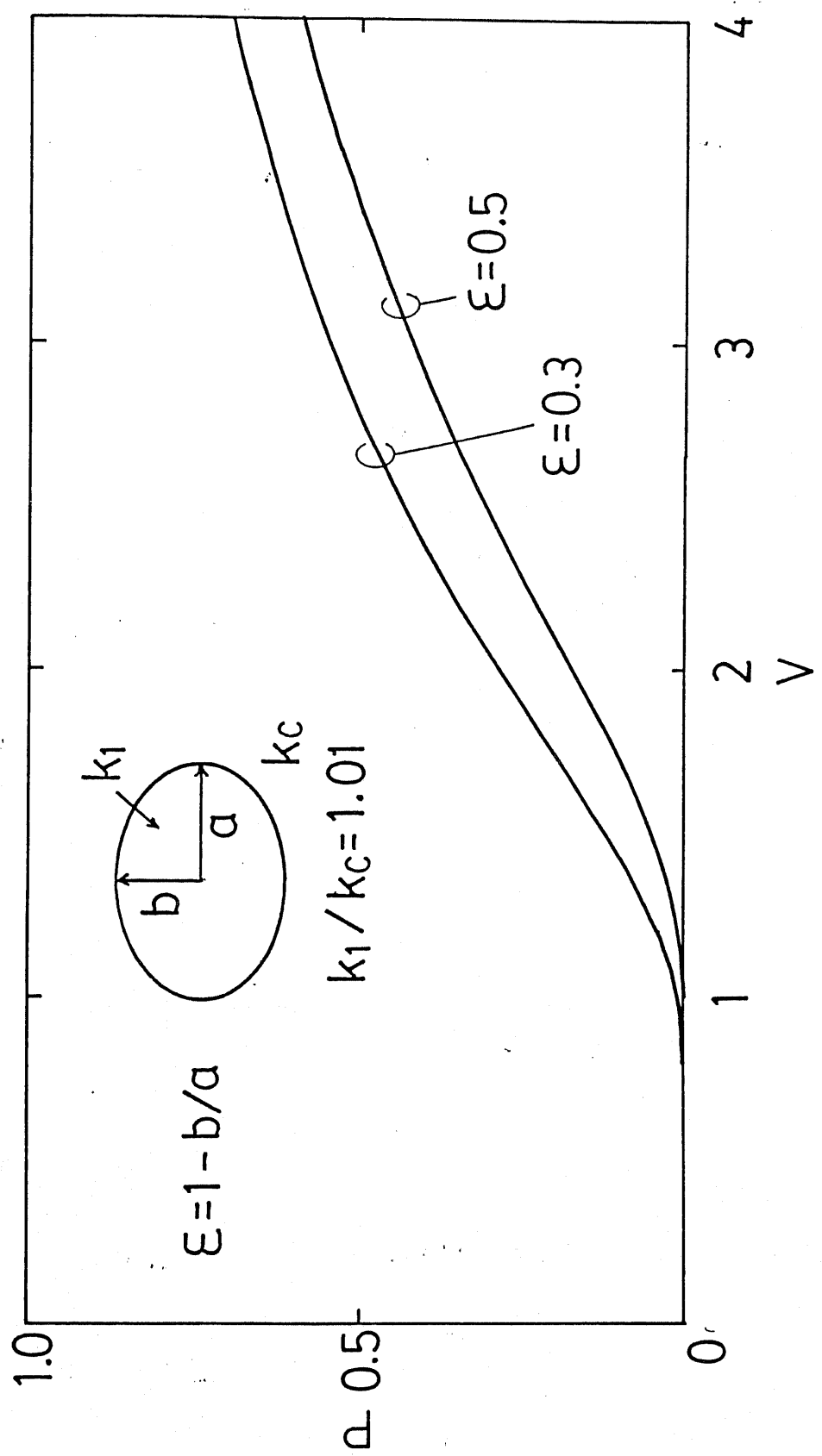


图 4-6 分散特性

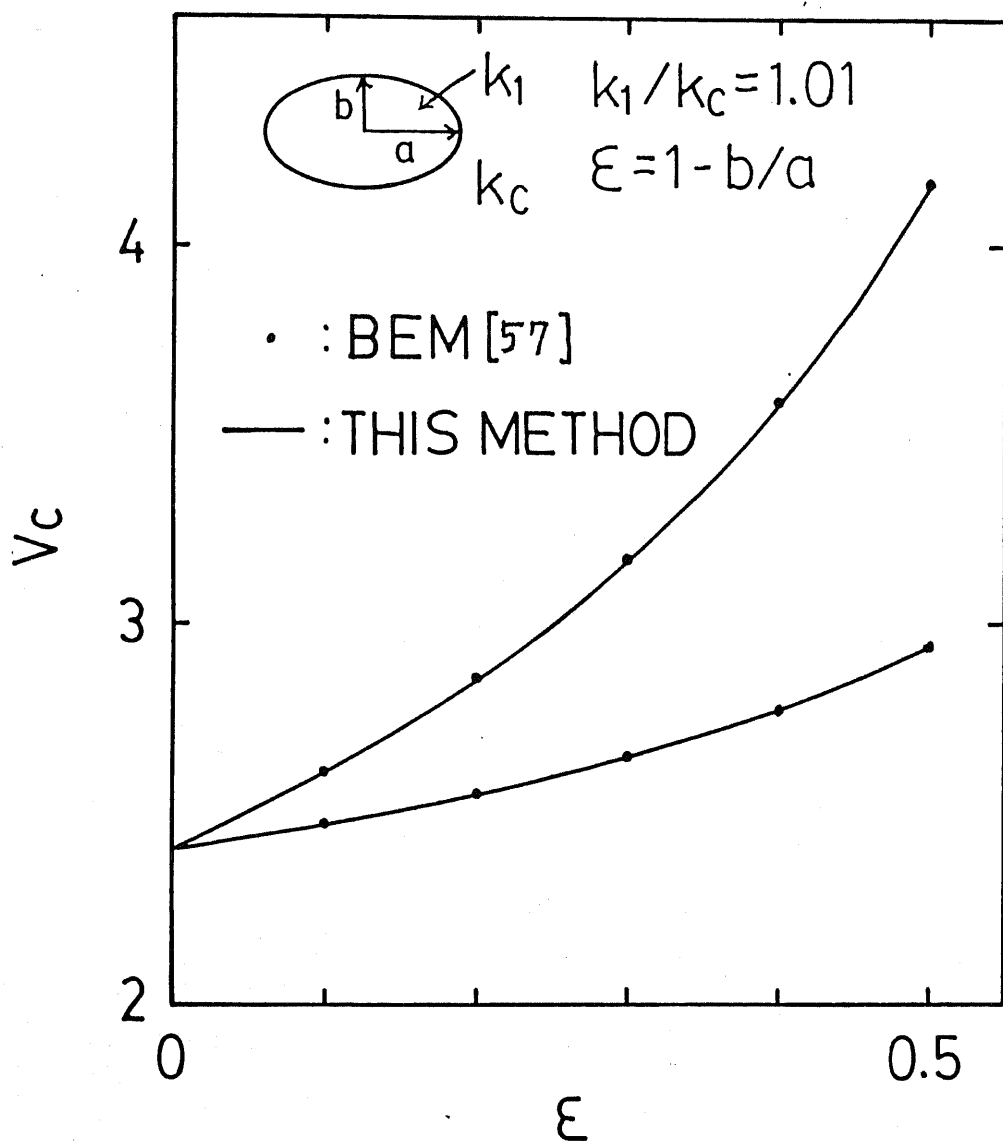


図4-7 高次モードの遮断周波数周波数の境界要素法による解析結果[57]との比較

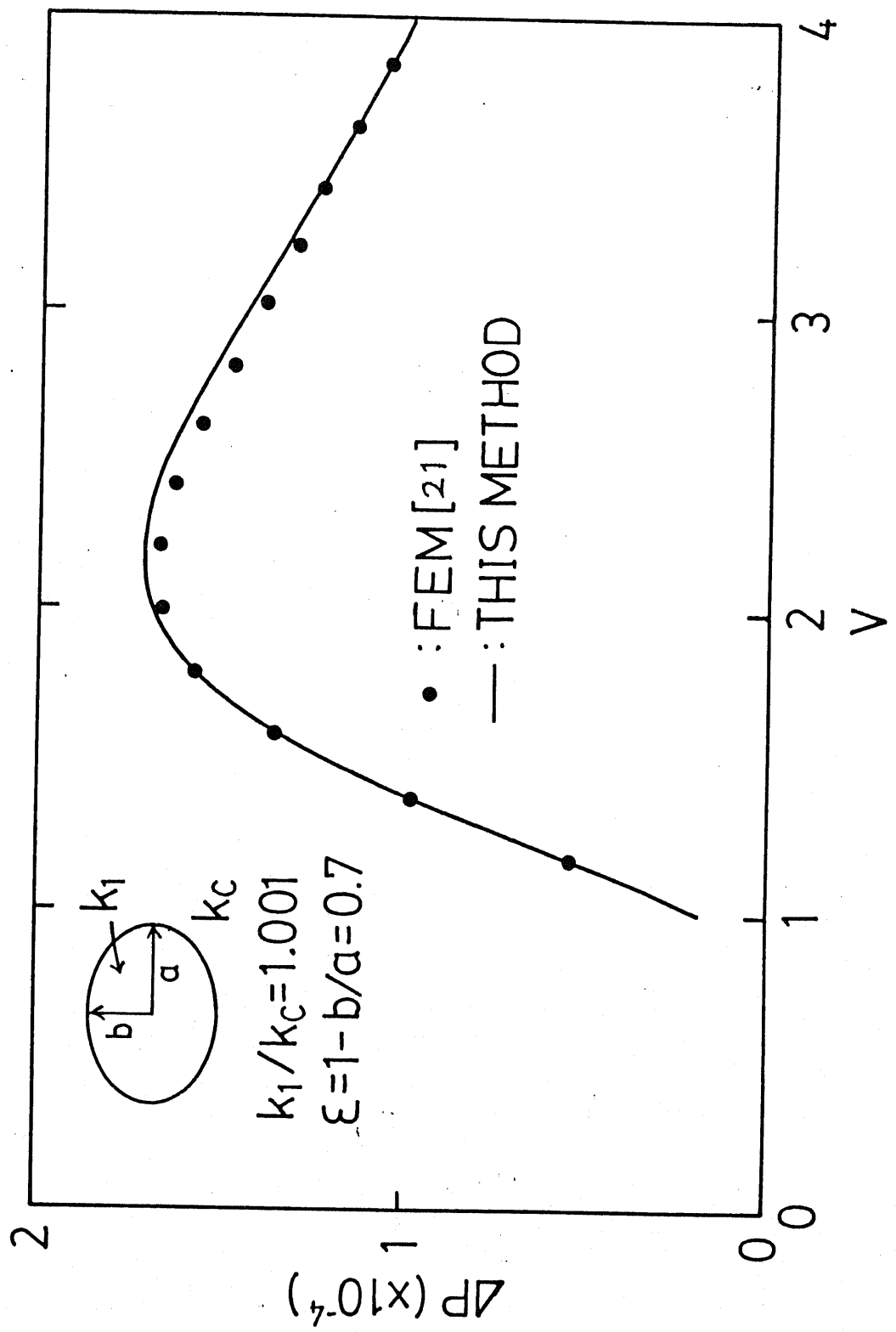


図4-8 正規化伝搬定数の有限要素法による解析結果[21]との比較

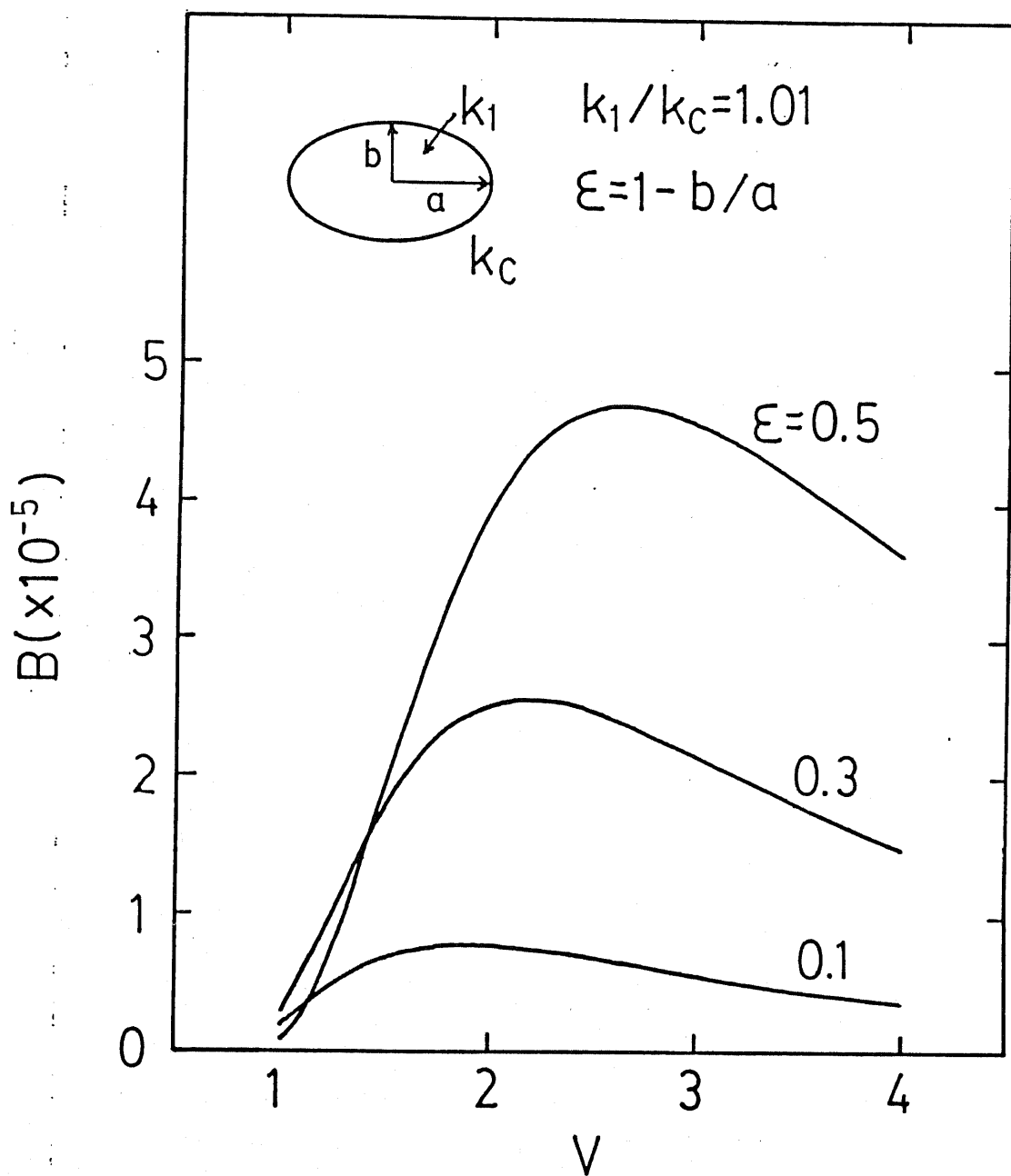


図4-9 複屈折特性

4-5 端点を持つ境界形状の解析

本章で行っているグリーン関数を用いない境界積分法による均一コア光ファイバの固有モード解析においては、式(4-7),(4-8)のように、境界上の電磁界は連続かつ無限回微分可能な三角関数のフーリエ級数で表している。このような電磁界の近似方法は、前節までに示してきたような、境界が円形や楕円形のように滑らかな曲線である場合については問題ない。しかし正方形のように端点(角の点)を持つ境界形状の場合、一般には電磁界の法線方向微分が端点において不連続となるので、電磁界の正確な表現が難しくなる。したがってこのような場合には、計算の精度が境界が滑らかな場合と比較して劣化する恐れがある。本節では、このような端点の影響による効果を正方形断面誘電体導波路[33]の固有モード解析により検討する。

図4-10に、解析の対象とする導波路の横断面構造を示す。正方形断面の角の部分を曲率半径 c の円弧ABで置き換えた形状について考えているのは、端点の有無が数値結果に及ぼす影響について調べるためであり、正方形断面を考える場合は $c = 0$ とする。

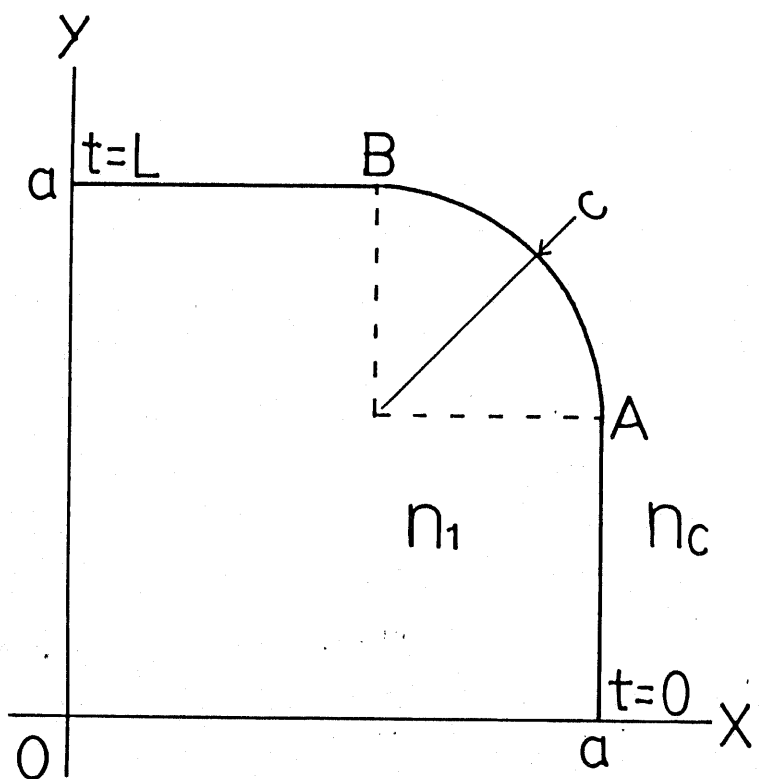


図4-10 方形断面誘電体導波路

固有モード解析の手順は、境界形状が異なることを除いては、前節で述べたものと全く同様である。本節では固有モード解析において、伝搬定数を求めるばかりではなく、式(4-17)から求められた分散特性をもとにして同時連立一次方程式(4-15)を解いて、式(4-13)'を用いることにより、境界上の電磁界の値、およびその法線方向微分の値も求めることにする。

以下に、図4-10の構造の導波路の固有モード解析の結果を示す。導波路の形状としては、 $c/a = 0.5, 0.3, 0.1$ および $c = 0$ (正方形)を考え、コアとクラッドの屈折率比は $n_1/n_c = 1.01$ とする。固有モードの名称は、そのモードが $c/a \rightarrow 1$ の極限において収束する円形断面誘電体導波路のモードで考えている。数値解析に用いるパラメータの正規化周波数 V と正規化伝搬定数 P は式(4-24)の定義を用いる。

図4-11に、電磁界のフーリエ展開の項数 N を増やしたときの HE_{11} モードの P の収束特性を示す。断面形状が正方形に近づくにつれて収束が遅くなる傾向があるが、 $c/a = 0.1$ の場合と $c = 0$ (正方形)の場合の収束特性には大きな違いがないことが同図-(b)よりわかる。

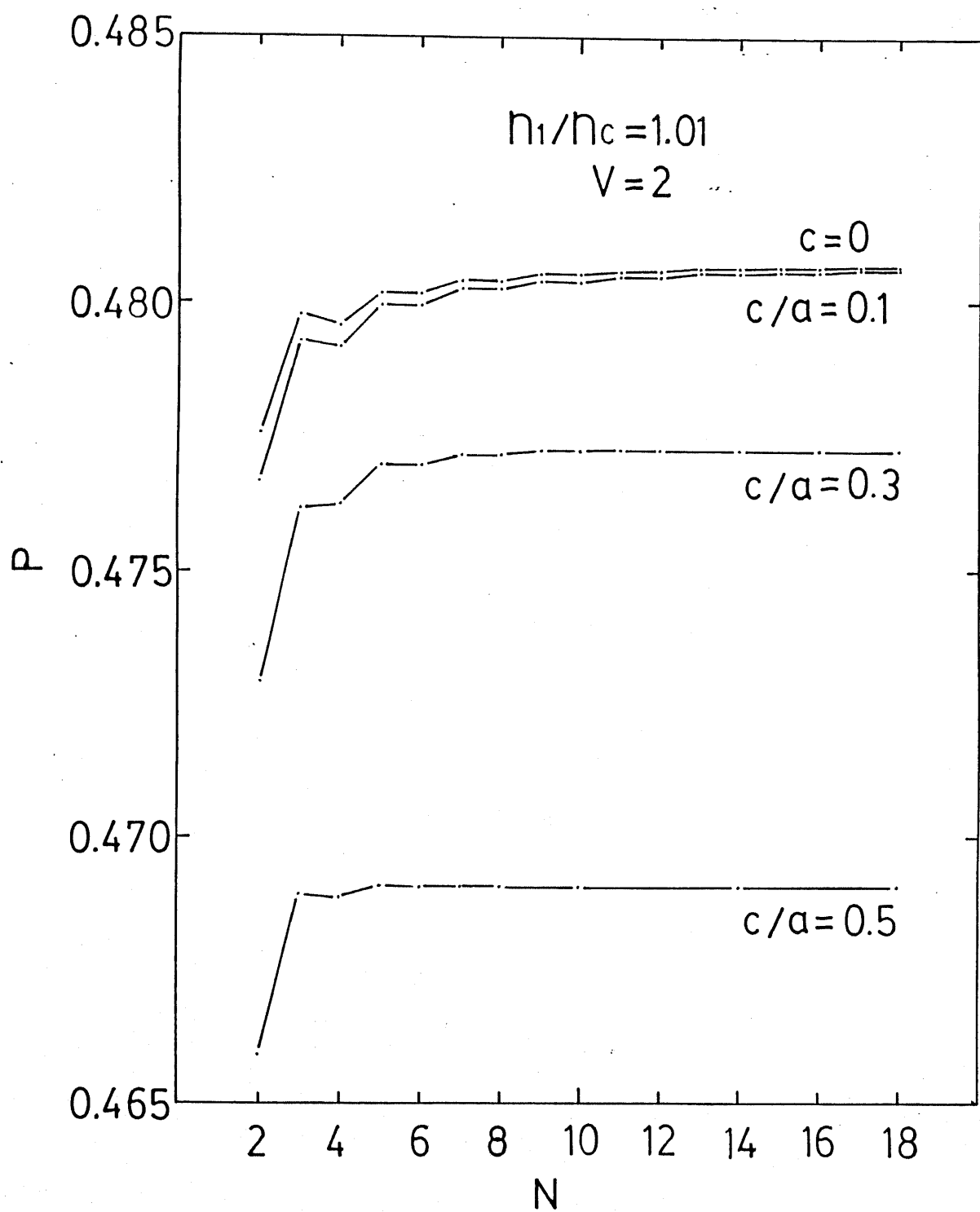
図4-12に、最低次(HE_{11})モードと、第一高次(TE_{01})モードの分散特性を示す。この図中には点整合法[33]の解析結果も併せて示してあるが、両者の解析結果は良い一致を示している。

図4-13に HE_{11} モードの E_z およびコア側の法線方向微分 $\partial E_z / \partial n$ の境界上の座標 τ における計算値を示す。図中の A, B はそれぞれ図4-10に示す境界の円弧と直線部分との接点である。 E_z については N を増やした場合、いずれの c の値についても良い収束を示しているが、 $\partial E_z / \partial n$ については c が小さくなる、したがって境界形状が正方形に近づくにつれて、 N を増やした場合に不連続に対応したリップルが現れることがわかる。特に $c = 0$ (正方形)においてはその振動の周期はフーリエ展開の最高次の項と等しい。

図4-14には TE_{01} モードの境界上の E_z , $\partial E_z / \partial n$ の値を示す。 c を小さくしたときの収束特性、および $\partial E_z / \partial n$ のリップルの出方についても図4-13の HE_{11} モードの場合と同様な傾向を示している。

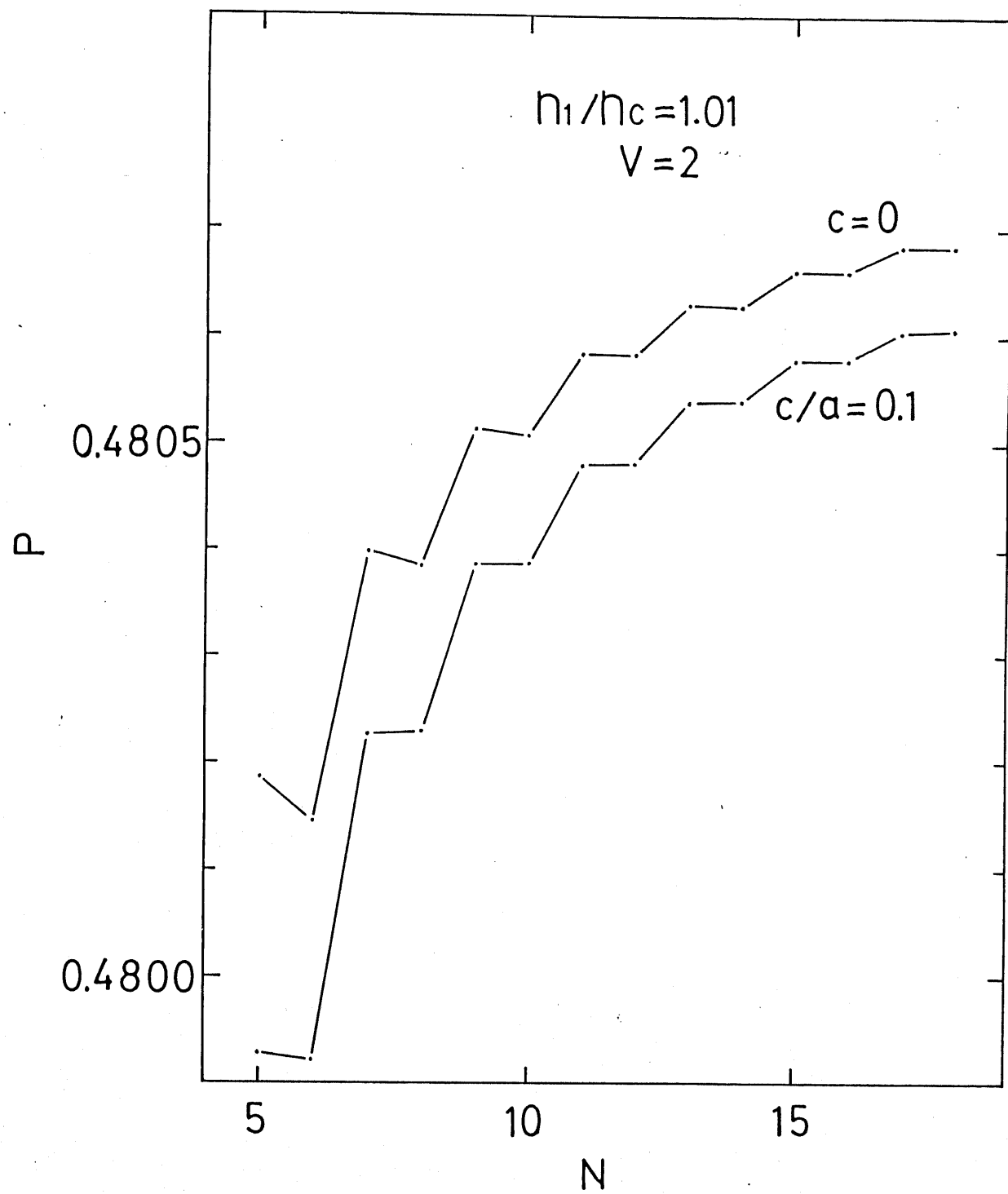
本節で示したように、境界上に端点や、曲率半径の小さな部分が存在する場合は固有値の収束特性がやや劣化する。界分布についてはこのような場合はフーリエ展開項数 N を増やした場合にも図4-13, 14に示したようにリップルがいつまでも残ってしまい、収束しているとは判断できない。このように固有値と界分布の収束特性が異なる理由として考えられることは、数値解析法一般に見られるような、界分布の精度が悪くても、

そこから計算される固有値は界分布よりは良い精度で計算できるという性質[15]の他に、この解析法においては、電磁界の境界条件の適用は、電磁界の接線成分のフーリエ係数を次数ごとに一致させることにより行うので、法線方向微分の不連続を高次の成分のみで補償することにより、低次の成分には大きな乱れが出ないので、固有値の収束特性には大きな影響を与えないことがあげられる。



(a) $0.5 \geq c/a \geq 0$

図4-11 HE₁₁モードの伝搬定数の収束特性



(b) $0.1 \geq c/a \geq 0$ の拡大図

図4-11 HE₁₁モードの伝搬定数の収束特性

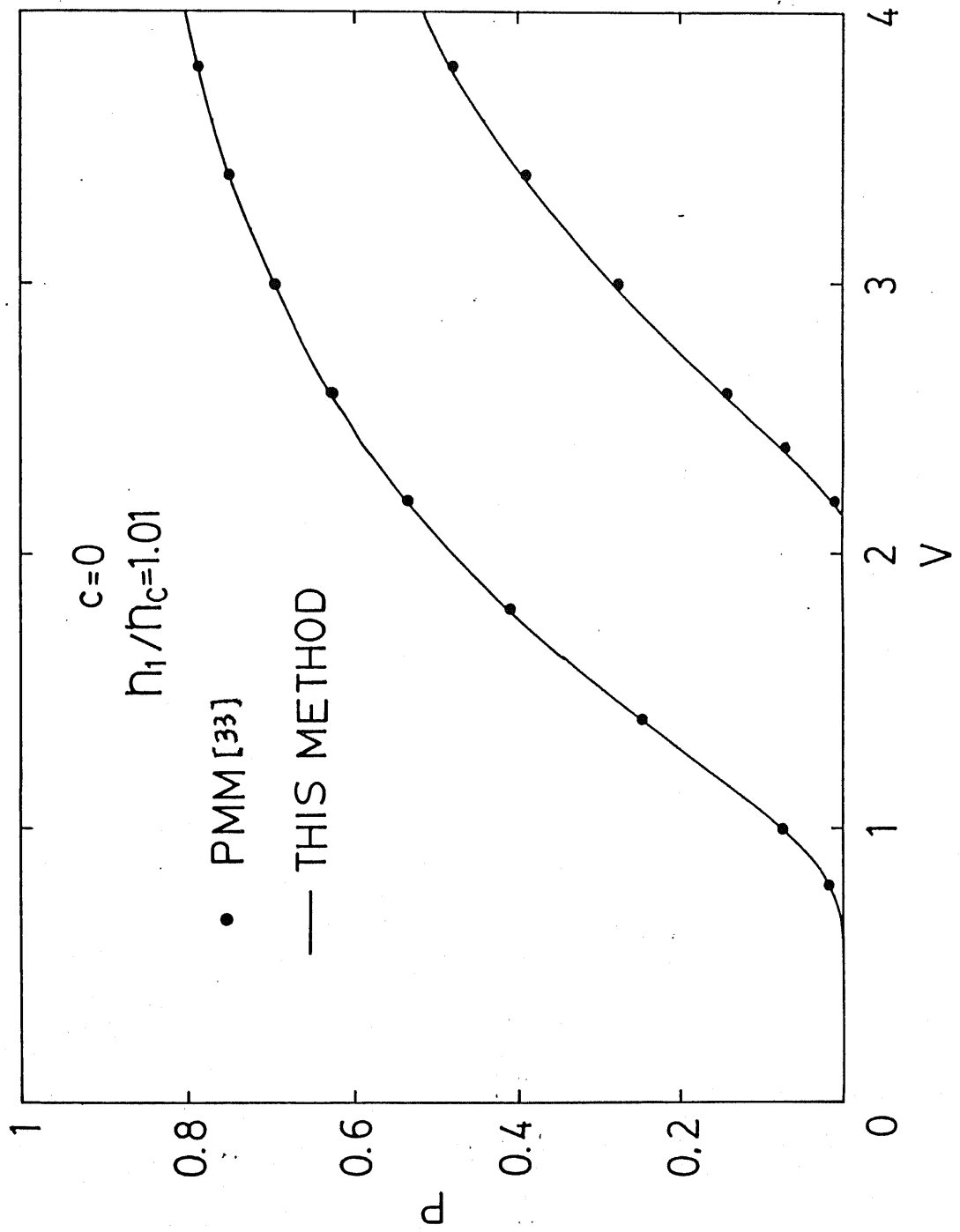
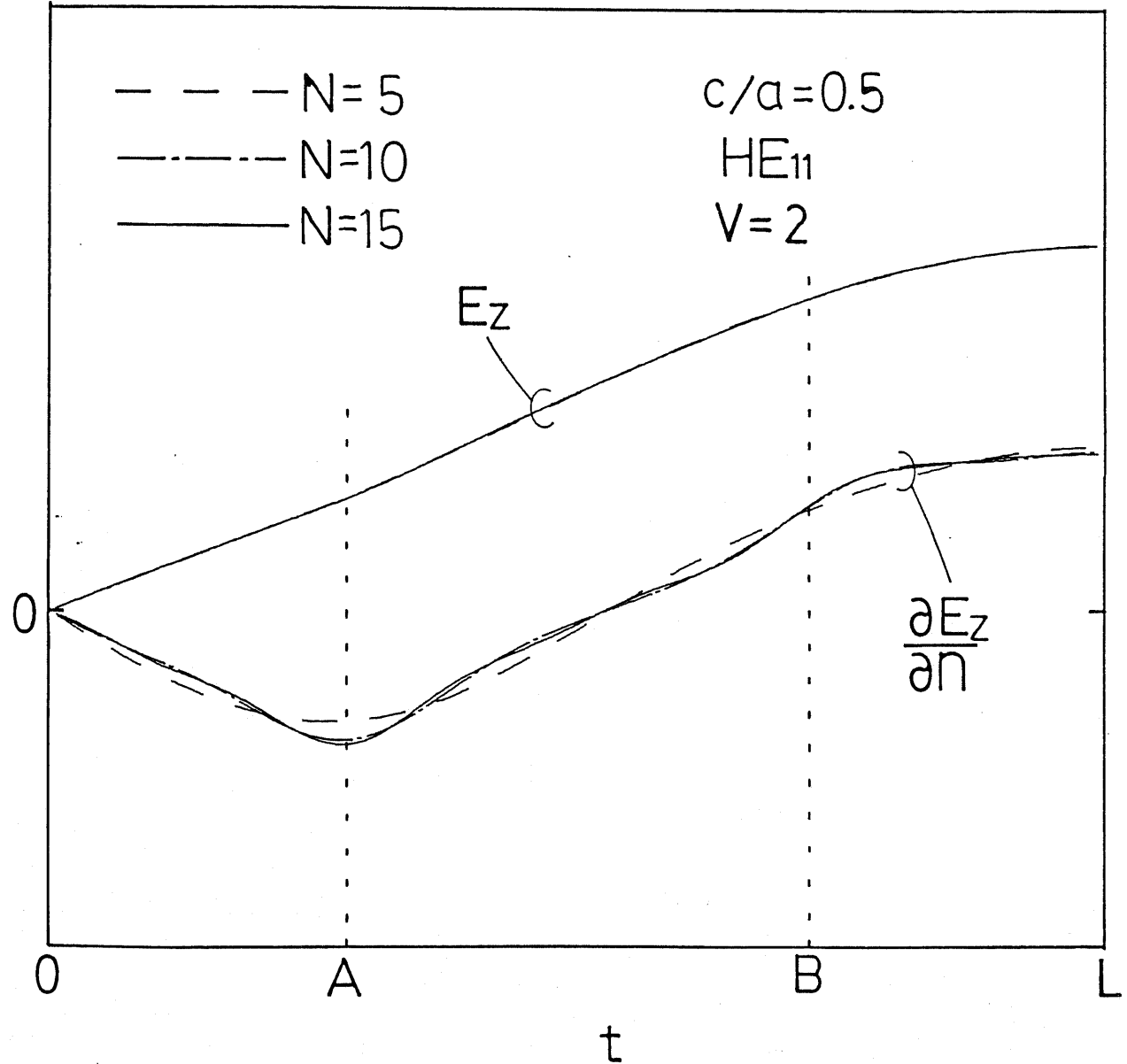
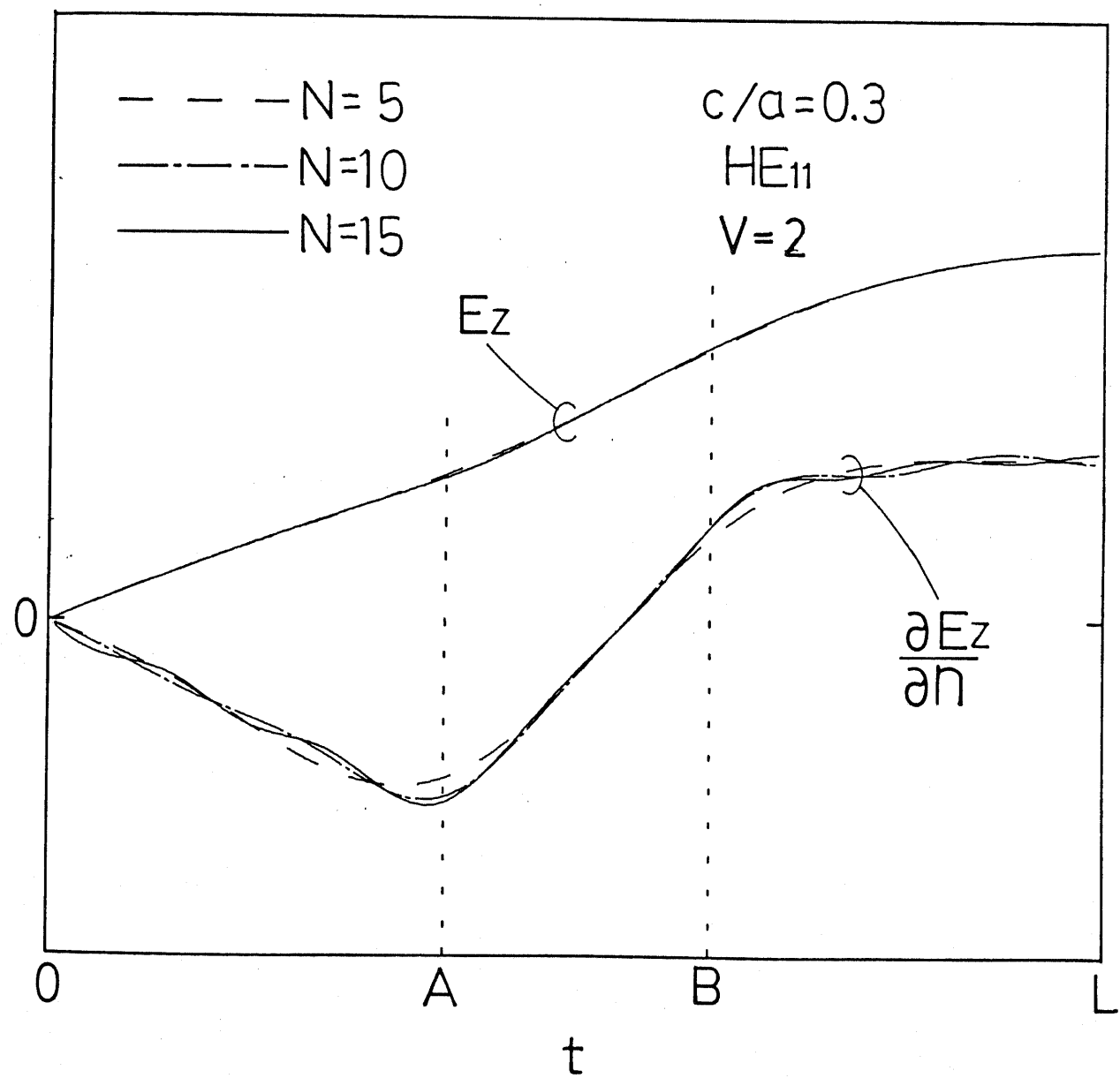


図4-12 分散特性の点整合法による解析結果[33]との比較



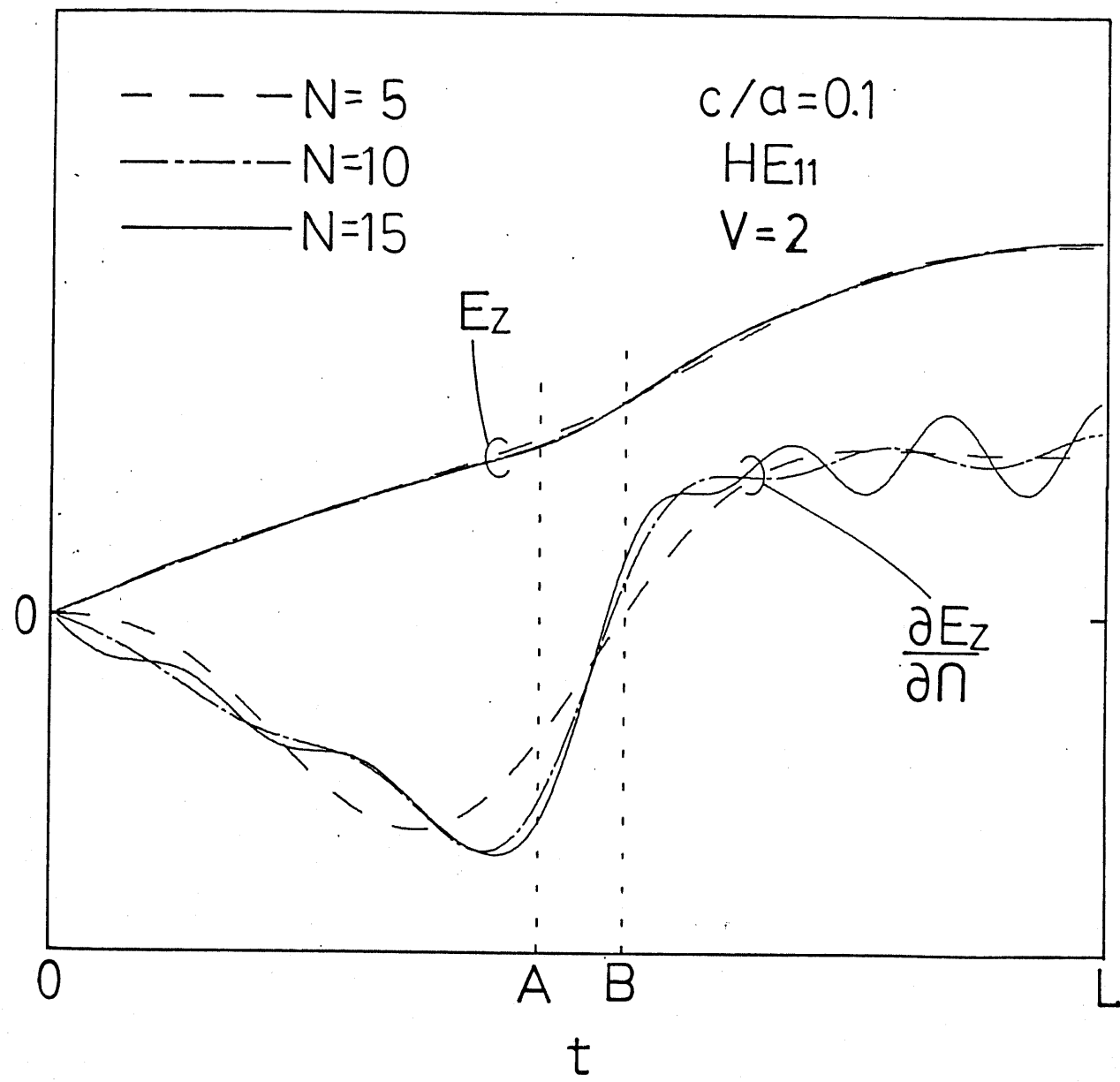
(a) $c/a = 0.5$

図4-13 HE_{11} モードの電界の境界上とその法線方向微分の値



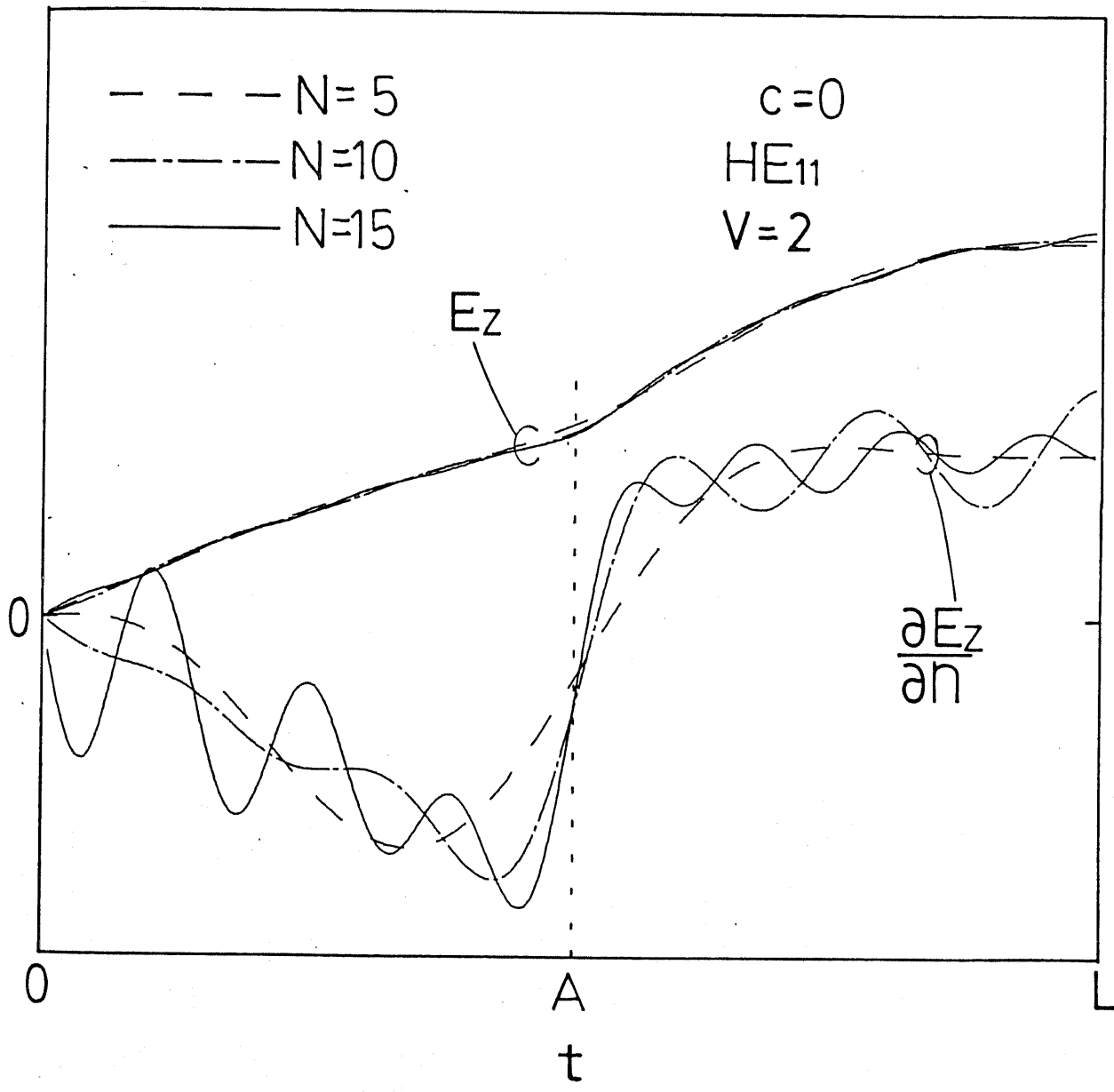
(b) $c/a = 0.3$

図4-13 HE_{11} モードの電界の境界上とその法線方向微分の値



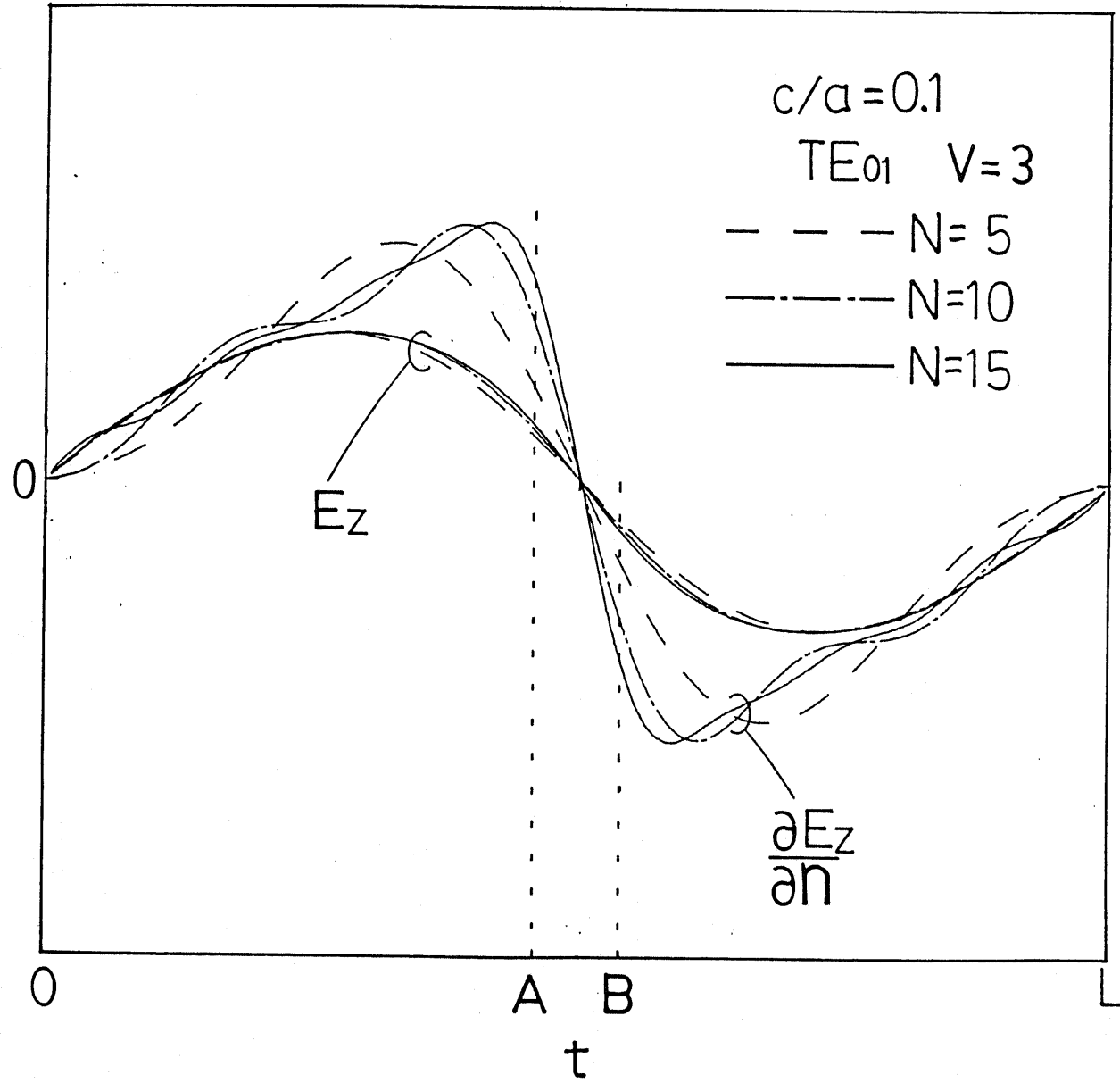
(c) $c/a = 0.1$

図4-13 HE_{11} モードの電界の境界上とその法線方向微分の値



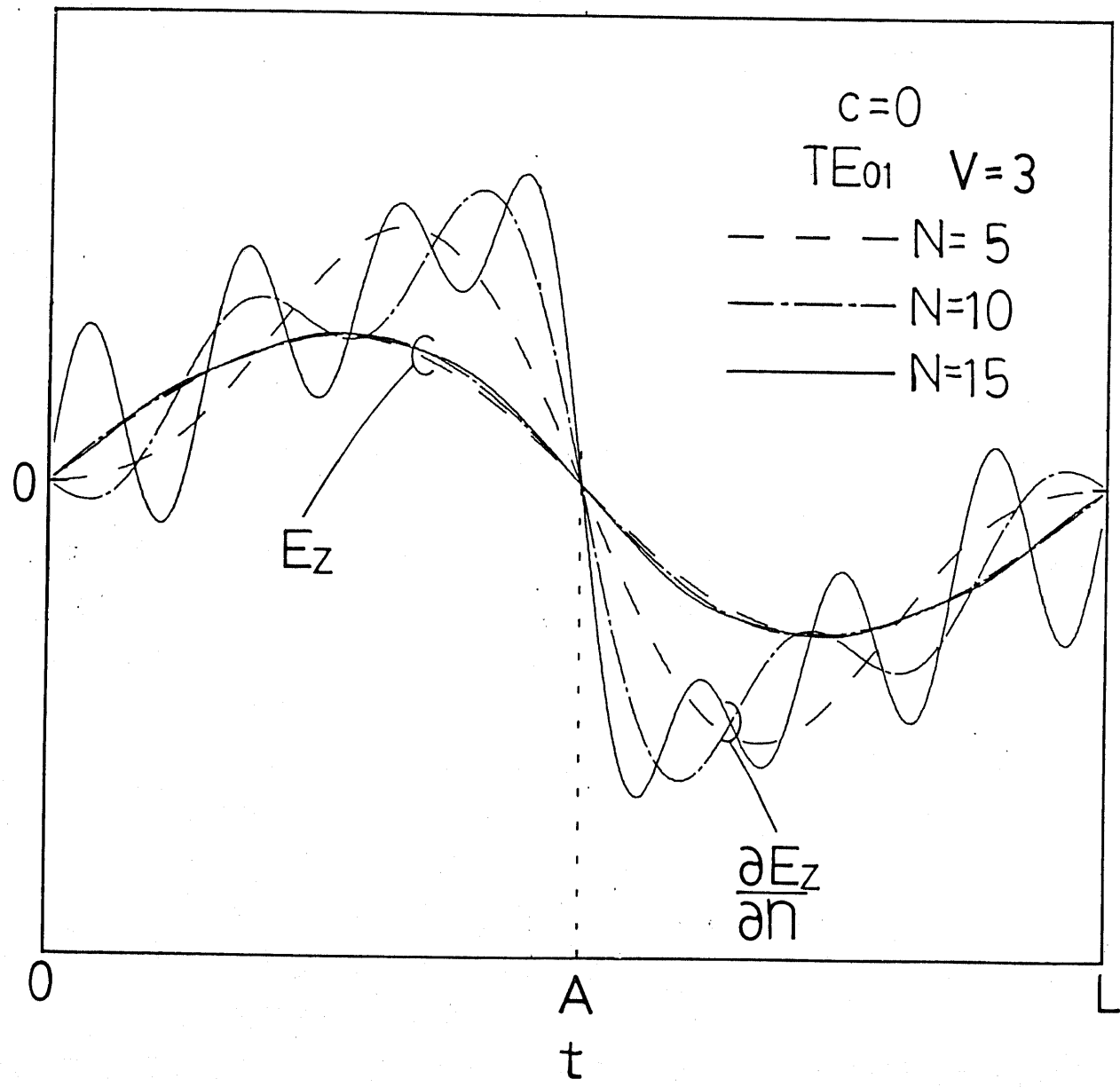
(d) $c = 0$

図 4-13 HE_{11} モードの電界の境界上とその法線方向微分の値



(a) $c/a = 0.1$

図4-14 TE_{01} モードの電界の境界上とその法線方向微分の値



(b) $c = 0$

図 4-14 TE_{01} モードの電界の境界上とその法線方向微分の値

4-6 むすび

本章では、グリーン関数を用いない境界積分法による、均一コア光ファイバの固有伝搬モード解析のための境界積分法の定式化を示した。この方法においては、境界上の電磁界を三角関数のフーリエ級数で表しているので、3節で示したようにコア形状が円形のときは、電磁界はその一項のみで表され、解析的な解を与える。また、前章においては円形境界の固有値問題において多重円柱座標における重み関数の選択法を用いた場合には、スプリアス解が発生したが、本章3節の軸対称均一コア光ファイバの固有値方程式の導出においてはスプリアス解を含まない固有値方程式が得られている。これは、式(4-13)'における行列の反転によって、前章ではスプリアス解の原因となった関数の零点が相殺されるためであると考えられる。

実際の数値解析においては、コア形状が円形から遠ざかるにつれて、電磁界を表すためのフーリエ級数の項数を多くとらねばならないことは4,5節に示した数値解析結果より明らかである。このようにフーリエ級数の項数を多くとることにより、それに対応して重み関数を多数取る必要がでてくるが、2節において述べたふたとおりの重み関数の選択法のうち、本章で数値解析に用いた a) の方法においては関数の変化の仕方が急激な高次の第二種ベッセル関数の数値積分を行わねばならず、楕円断面において $\epsilon > 0.5$ となる形状の解析においては高い計算精度を得ることが困難となる。

グリーン関数を用いない境界積分法による均一コア光ファイバの固有モード解析の持つ特徴は、次のようにまとめることができる。

- I 従来の境界要素法と同様に無限領域の扱いが容易である。
- II スプリアス解は解析を行った範囲においては発生しない。円形断面の場合にはこのことが解析的に証明できる。
- III 電磁界の近似関数を三角関数のフーリエ級数で表しているので、境界上の $\partial E_{z1} / \partial t, \partial H_{z1} / \partial t$ もまた三角関数となり、境界条件の適用は極めて容易である。
- IV グリーン関数を用いないため、定式化が従来の境界要素法よりやや容易である。
- V 複雑な境界形状の解析は、数値積分の精度の点において困難になる。
- VI 境界上に端点がある場合のように、 E_{z1} と H_{z1} が境界上で微分不可能な場合においても計算精度はやや劣化するが、適用は可能である。

第5章 複合媒質光ファイバの固有モード解析

5-1	まえがき	88
5-2	複合媒質解析のための境界積分法の定式化	89
5-3	絶対単一偏波光ファイバの解析	94
5-4	むすび	103

5-1 まえがき

前章では、グリーン関数を用いない境界積分法を任意のコア断面形状を持つ均一コア光ファイバの固有モード解析に適用して、その数値解析法としての有効性を確かめた。しかるに、単一偏波光ファイバにおいてより高いモード複屈折を得たい場合や、片方のHE₁₁モードが遮断状態となる絶対単一偏波特性を得たい場合には、屈折率分布を非軸対称複合化する必要がある。本章では、そのような複合媒質光ファイバの固有伝搬モード解析のためのグリーン関数を用いない境界積分法の定式化を前章で行った定式化の基礎に立って行う。複合媒質中の境界の取り方と、それらの境界上における電磁界の Fourier 級数展開法、各領域の重み関数の選択法について検討する。そして、この定式化を最も単純な構造の複合媒質光ファイバ[39]の解析に適用し、絶対単一偏波光ファイバとしての基礎的な特性を明らかにする。

5-2 複合媒質解析のための境界積分法の定式化

解析の対象とする複合媒質光ファイバは、図5-1のように単一のコア、それを囲む無限媒質のクラッド、クラッドの中にコアとは独立に存在する複数個のトンネルまたはピットと呼ばれる屈折率の低い部分の3媒質により構成される[19-25, 28, 29, 37-39]。以後、これらの領域は、添え字 "1", "C", "T" で表す。コア、クラッド、トンネルの屈折率 n_1, n_c, n_T の間には次の大小関係が成立しているものとする。

$$n_1 > n_c > n_T \quad (5-1)$$

各領域において、伝搬モードの電磁界の z 軸方向成分 E_{zI}, H_{zI} ($I=1, C, T$) は式(4-1)のヘルムホルツ方程式を満足する。コア・クラッド境界、およびトンネル・クラッド境界上では、式(4-3)と同様な境界条件を満足する。

前章と同様にグリーン関数を用いない境界積分法においては、式(4-5)の積分方程式を、各領域の境界において用いる。これにより、境界上の電磁界の値とその法線方向微分とを数値的に関係づけることができる。前章と異なり、構造が三媒質から構成されているのでこれに対する考慮を行う必要がある。

境界上の電磁界の近似関数および重み関数は以下のように選ぶ。

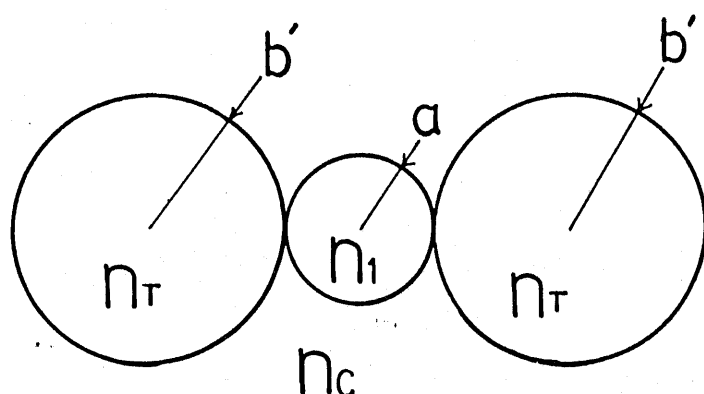


図5-1 複合媒質光ファイバ

◎ 境界上の電磁界

境界上の電磁界は、前章と同様に境界上の曲線座標上でフーリエ三角級数によって表す。ただし、境界を図5-2のように、コア・クラッド境界 Γ_1 とトンネル・クラッド境界 Γ_T に分離して考え、それぞれの曲線座標 t_1, t_T 上で次のように電磁界を表現する。

$$E_z = \begin{cases} \sum_j a_{1j} \cos\left(\frac{j\pi t_1}{2L_1} + \rho\right) & (\text{コア・クラッド境界}) \\ \sum_j a_{Tj} \cos\left(\frac{j\pi t_T}{2L_T} + \rho\right) & (\text{トンネル・クラッド境界}) \end{cases} \quad (5-2-a)$$

$$H_z = \begin{cases} \sum_j b_{1j} \sin\left(\frac{j\pi t_1}{2L_1} + \rho\right) & (\text{コア・クラッド境界}) \\ \sum_j b_{Tj} \sin\left(\frac{j\pi t_T}{2L_T} + \rho\right) & (\text{トンネル・クラッド境界}) \end{cases} \quad (5-2-b)$$

電磁界の法線方向微分についても同様に次のように表す。

$$\frac{\partial E_z}{\partial n} = \begin{cases} \sum_j C_{1j}^J \cos\left(\frac{j\pi t_1}{2L_1} + \rho\right) & (\text{コア・クラッド境界}) \\ \sum_j C_{Tj}^K \cos\left(\frac{j\pi t_T}{2L_T} + \rho\right) & (\text{トンネル・クラッド境界}) \end{cases} \quad (5-3-a)$$

$$\frac{\partial H_z}{\partial n} = \begin{cases} \sum_j D_{1j}^J \sin\left(\frac{j\pi t_1}{2L_1} + \rho\right) & (\text{コア・クラッド境界}) \\ \sum_j D_{Tj}^K \sin\left(\frac{j\pi t_T}{2L_T} + \rho\right) & (\text{トンネル・クラッド境界}) \end{cases} \quad (5-3-b)$$

ただし、添え字 $J=1, C, K=C, T$ で、これらによってコア、クラッド、トンネルの各領域に関する量であることを表す。

◎ 重み関数

電界、磁界それぞれに対応する重み関数 ψ_{Ei}, ψ_{Hi} は、各領域において円柱調和関数として、図 5-2 の多重円柱座標によって次のように表す。

$$\psi_{Ei} = \begin{cases} J_i(x_1 r_1) \cos(i\theta_1 + \rho) & (\text{コア領域}) \\ K_i(x_c r_1) \cos(i\theta_1 + \rho) & (\text{クラッド領域}) \\ K_i(x_c r_T) \cos(i\theta_T + \rho) \\ + \rho K_i(x_c r_{T'}) \cos(i\theta_{T'} + \rho) & (\text{クラッド領域}) \\ I_i(x_T r_T) \cos(i\theta_T + \rho) & (\text{トンネル領域}) \end{cases} \quad (5-4-a)$$

$$\psi_{Hi} = \begin{cases} J_i(x_1 r_1) \sin(i\theta_1 + \rho) & (\text{コア領域}) \\ K_i(x_c r_1) \sin(i\theta_1 + \rho) & (\text{クラッド領域}) \\ K_i(x_c r_T) \sin(i\theta_T + \rho) \\ + \rho K_i(x_c r_{T'}) \sin(i\theta_{T'} + \rho) & (\text{クラッド領域}) \\ I_i(x_c r_T) \sin(i\theta_T + \rho) & (\text{トンネル領域}) \end{cases} \quad (5-4-b)$$

$$x_1 = (\kappa_1^2 - \beta^2)^{\frac{1}{2}} \quad (5-4-c)$$

$$x_c = (\beta^2 - \kappa_c^2)^{\frac{1}{2}} \quad (5-4-d)$$

$$x_T = (\beta^2 - \kappa_T^2)^{\frac{1}{2}} \quad (5-4-e)$$

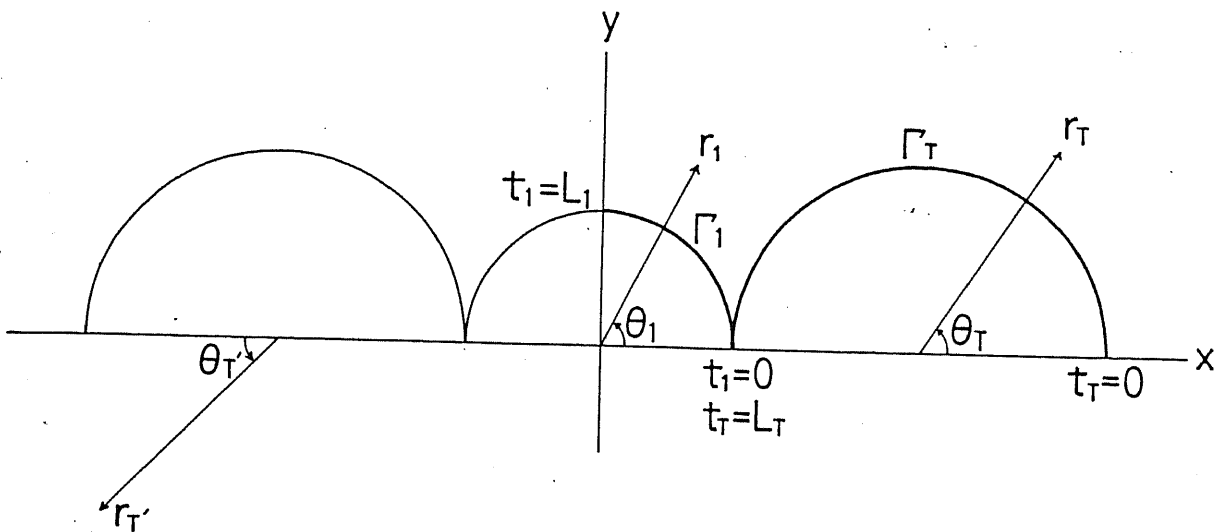


図 5-2 解析に用いる境界と座標系

式(5-3), (5-4)においてフーリエ級数あるいは重み関数の次数、三角関数の位相角 ρ 、および p の値は、構造の二軸対称性による固有モードの電磁界の対称性に対応して表5-1のように選ぶ。ただし、式(5-3)のなかで、トンネル・クラッド境界の電磁界を表すフーリエ級数と式(5-4)の中でふたつのトンネルの円形の中心を原点とする円柱座標で記述された重み関数表現にある次数は、 $0, 1, 2 \dots$ と取ることにする。

これらの式を用いて式(4-5)を計算するとフーリエ係数ベクトル間の関係が正方形列により次のように書ける。

表 5-1 対称性に関するパラメータの選び方

E _z の対称性		モード例	パラメータ		
x 軸	y 軸		i, j	ρ	p
対称	対称	T M _{0m}	偶数	0	1
対称	反対称	H E _{11x}	奇数	0	-1
反対称	対称	H E _{11y}	奇数	$\pi/2$	-1
反対称	反対称	T E _{0m}	偶数	$\pi/2$	1

$$[A^1] \mathbf{a}_1 = [C^1] \mathbf{c}_1^1 \quad (5-5-a)$$

$$[B^1] \mathbf{b}_1 = [D^1] \mathbf{d}_1^1 \quad (5-5-b)$$

$$[A^c] \begin{pmatrix} \mathbf{a}_1 \\ \mathbf{a}_T \end{pmatrix} = [C^c] \begin{pmatrix} \mathbf{c}_1^c \\ \mathbf{c}_T^c \end{pmatrix} \quad (5-5-c)$$

$$[B^c] \begin{pmatrix} \mathbf{b}_1 \\ \mathbf{b}_T \end{pmatrix} = [D^c] \begin{pmatrix} \mathbf{d}_1^c \\ \mathbf{d}_T^c \end{pmatrix} \quad (5-5-d)$$

$$[A^T] \mathbf{a}_T = [C^T] \mathbf{c}_T^T \quad (5-5-e)$$

$$[B^T] \mathbf{b}_T = [D^T] \mathbf{d}_T^T \quad (5-5-f)$$

境界における各領域の横断面電磁界の境界における接線成分 $\mathbf{t} \cdot \mathbf{E}_{tl}, \mathbf{t} \cdot \mathbf{H}_{tl}$ ($l=1, c, T$) は、前章の式(4-6)の関係から求められる。この式中の電磁界の法線方向微分については式(5-5)を用いることにより、接線方向微分については曲線座標上で直接微分することにより $\mathbf{t} \cdot \mathbf{E}_{tl}, \mathbf{t} \cdot \mathbf{H}_{tl}$ のフーリエ係数ベクトルは、 $\mathbf{a}_1, \mathbf{a}_T, \mathbf{b}_1, \mathbf{b}_T$ のみで表すことができる。これより前章と同様に各境界両側の $\mathbf{t} \cdot \mathbf{E}_{tl}, \mathbf{t} \cdot \mathbf{H}_{tl}$ のフーリエ成分を一致させることにより境界条件を適用できる。すると、次の形の同次方程式を得る。

$$[M] \begin{pmatrix} \mathbf{a}_1 \\ \mathbf{a}_T \\ \mathbf{b}_1 \\ \mathbf{b}_T \end{pmatrix} = 0 \quad (5-6)$$

ここで $[M]$ は、 $2(N_1+N_T)$ 次の正方行列である。ただし N_1, N_T はそれぞれコア・クラッド境界、トンネル・クラッド境界上の電磁界のフーリエ級数の項数である。これより、固有値方程式は次の形を取る。

$$\det[M] = 0 \quad (5-6')$$

5-3 絶対単一偏波光ファイバの解析

一般の軸対称屈折率分布を持つ光ファイバにおいて、屈折率が均質無限媒質のクラッドと異なる最も外側の領域までをコアと定義し、コアの半径を a 、コアの屈折率分布を中心からの距離 r の関数として $n(r)$ 、クラッドの屈折率を n_0 とすると、次の式が成立する場合には HE_{11} モードが遮断周波数を持つことが証明されている[20,21]。

$$\int_0^a \{ n^2(r) - n_c^2 \} r dr < 0 \quad (5-7)$$

式(5-7)は「コアの平均誘電率がクラッドの誘電率よりも小さい」ことを表している。したがって、この原理を非軸対称光ファイバの場合にあてはめると、複合媒質化した領域の誘電率の平均値をクラッドの誘電率よりも小さくすれば、ふたつの HE_{11} モードが遮断波長を持つということが予想できる。このことは、非軸対称光ファイバの場合にはまだ証明されていないが、クラッドよりも十分に屈折率の低い部分の存在によりふたつの HE_{11} モードが遮断周波数を持つようにすることができると考えてよい。そしてこの場合、屈折率分布の非軸対称性によりふたつの HE_{11} モードの遮断波長に差が生じ、その間の波長帯ではどちらかのモードのみが伝搬する絶対単一偏波が実現できる。このことを図5-1のような構造の光ファイバについて考えると、絶対単一偏波実現のために次式のような条件が必要となる。

$$a \leq b' \quad (5-8-a)$$

$$n_1 - n_c \ll n_c - n_T \quad (5-8-b)$$

本節においては前節で述べた複合媒質光ファイバ解析のための境界積分法の定式化により、図5-1の構造を持つ単一偏波光ファイバの解析を、その絶対単一偏波特性を中心として行う。

境界はすべて円形なので積分方程式(4-5)におけるベッセル関数と三角関数の積分はすべて解析的に実行できる。なぜならば、コア、トンネル領域については、積分境界上におけるベッセル関数の値は一定であり、三角関数の積の積分は解析的に実行できる。クラッド領域については、コアの中心とトンネルの中心を原点とする重み関数に対するそれぞれの境界上の積分の場合は上と同じ理由により、その他の場合は付録A-3に示すように解析的に実行できるからである。

解析に用いるパラメータの中で正規化周波数 V 、正規化伝搬定数 P 、正規化複屈折 B

については前章の式(4-25)で定義したものを用いる。本章ではそれらの他に次の式で定義される絶対単一偏波比帯域 S [21, 22]

$$S = \frac{|V_{cx} - V_{cy}|}{(V_{cx} + V_{cy})/2} \quad (5-9)$$

を用いる。ここで V_{cx}, V_{cy} はそれぞれ HE_{11^x}, HE_{11^y} モードの遮断周波数である。

図5-3にコア・クラッド境界 Γ_1 とトンネル・クラッド境界 Γ_T の電磁界を表すフーリエ級数の項数の和 $N = N_1 + N_T$ を増加させたときの HE_{11^y} モードの伝搬定数 P および複屈折 B の収束特性を示す。トンネル径が大きいほど、そして P と比較すると B の方が収束が遅くなっているが、いずれの場合も極めて良好な収束特性を示している。

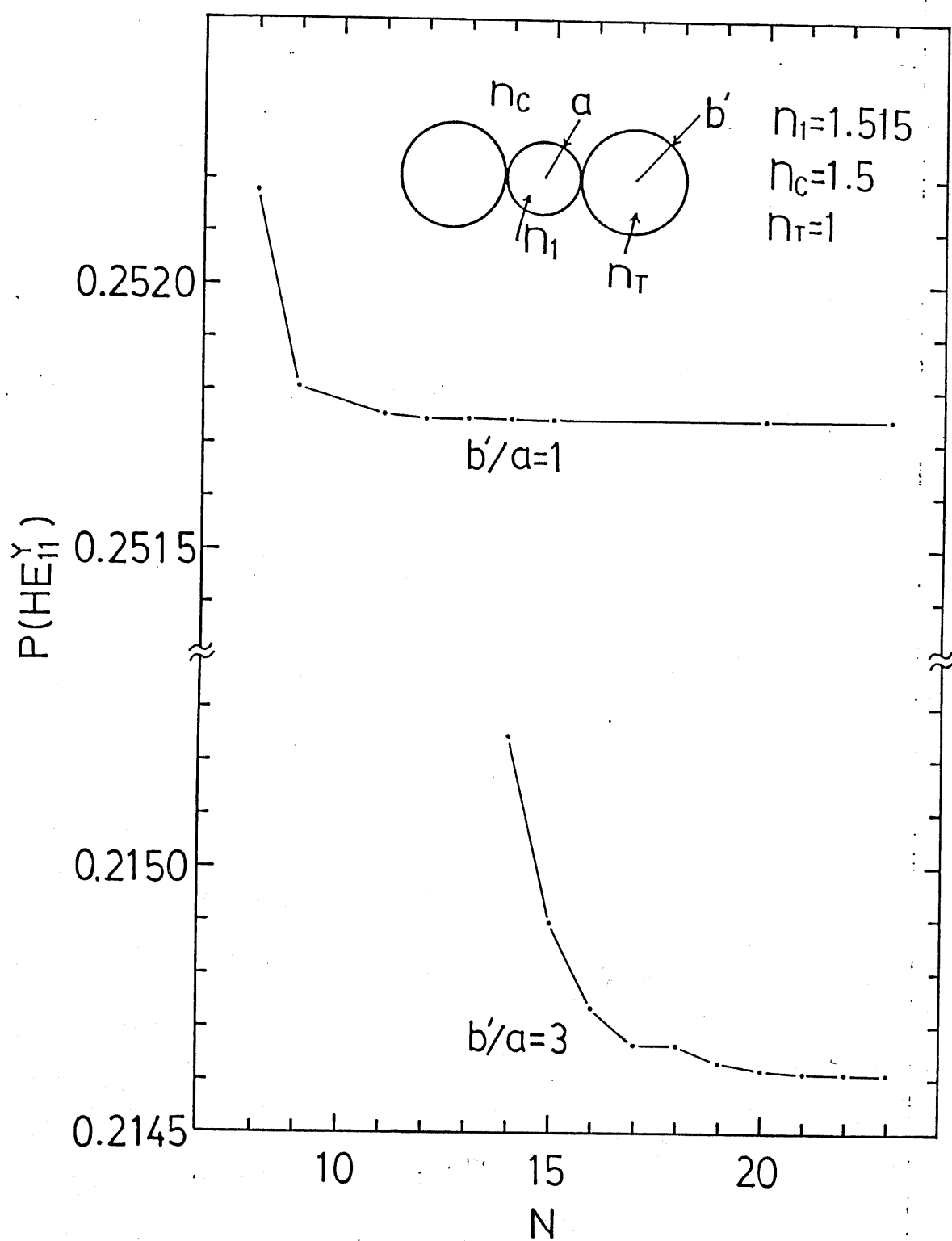
図5-4は、複屈折 B の周波数特性の点整合法[39]による結果との比較を示す。これによると、本論文の結果と点整合法による結果は良い一致を示していることがわかる。

図5-5にコア径とトンネル径が等しいときの分散特性を示す。トンネル部分の屈折率が1.5(クラッドと等しい)の場合(真円コアファイバ)と、1.0の場合との比較により、トンネル部分の屈折率を下げるこことによって、ふたつの HE_{11} モードの伝搬定数に大きな差が生じている。このような大きな差は、前章の図4-6の楕円コアの場合のようにコア形状の変形のみでは得られないものである。さらにこの場合は、式(5-8)の関係を満足しているので、 HE_{11^y} モードのみが伝搬しうる絶対単一偏波帯域が生じていることがわかる。

図5-6に、トンネル半径のコア半径に対する比 a/b' を1, 2, 3と取った場合の複屈折の周波数特性を示す。ただし、図中の矢印(↓)は、 HE_{11^x} モードの遮断周波数の位置を表す。この図によると、各トンネル径について、複屈折は HE_{11^x} モードの遮断周波数付近で最大値を取ることがわかる。そしてトンネル径を大きくすることによりその最大値はゆるやかに増加する。また、複屈折の値は楕円コアの場合の図4-8と比較すると1桁程度大きくなっている。

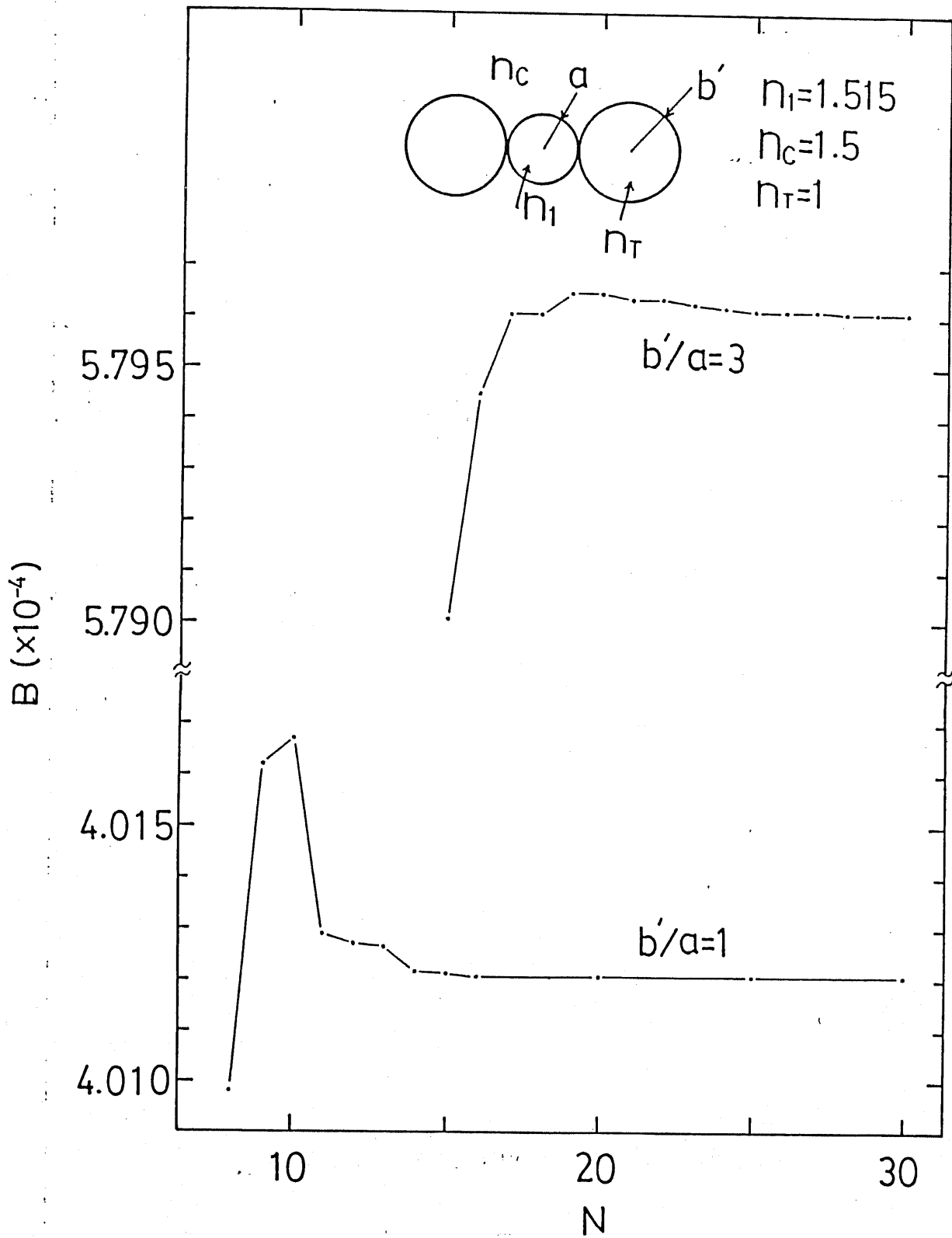
図5-7に、絶対単一偏波比帯域のトンネル径に対する依存性を示す。トンネル径を大きくすることにより比帯域は複屈折と同様にゆるやかに増加することがわかる。

図5-8に、 HE_{11^x} モードの遮断周波数における正規化複屈折と、比帯域のコアとクラッドの屈折率差 Δ に対する依存性を示す。この図より、複屈折と比帯域は、図示の Δ の範囲内ではそれぞれ Δ の1.5乗、0.5乗に比例することがわかる。



(a) HE₁₁モードの伝搬定数

図5-3 収束特性



(b) 正規化複屈折

図 5 - 3 収束特性

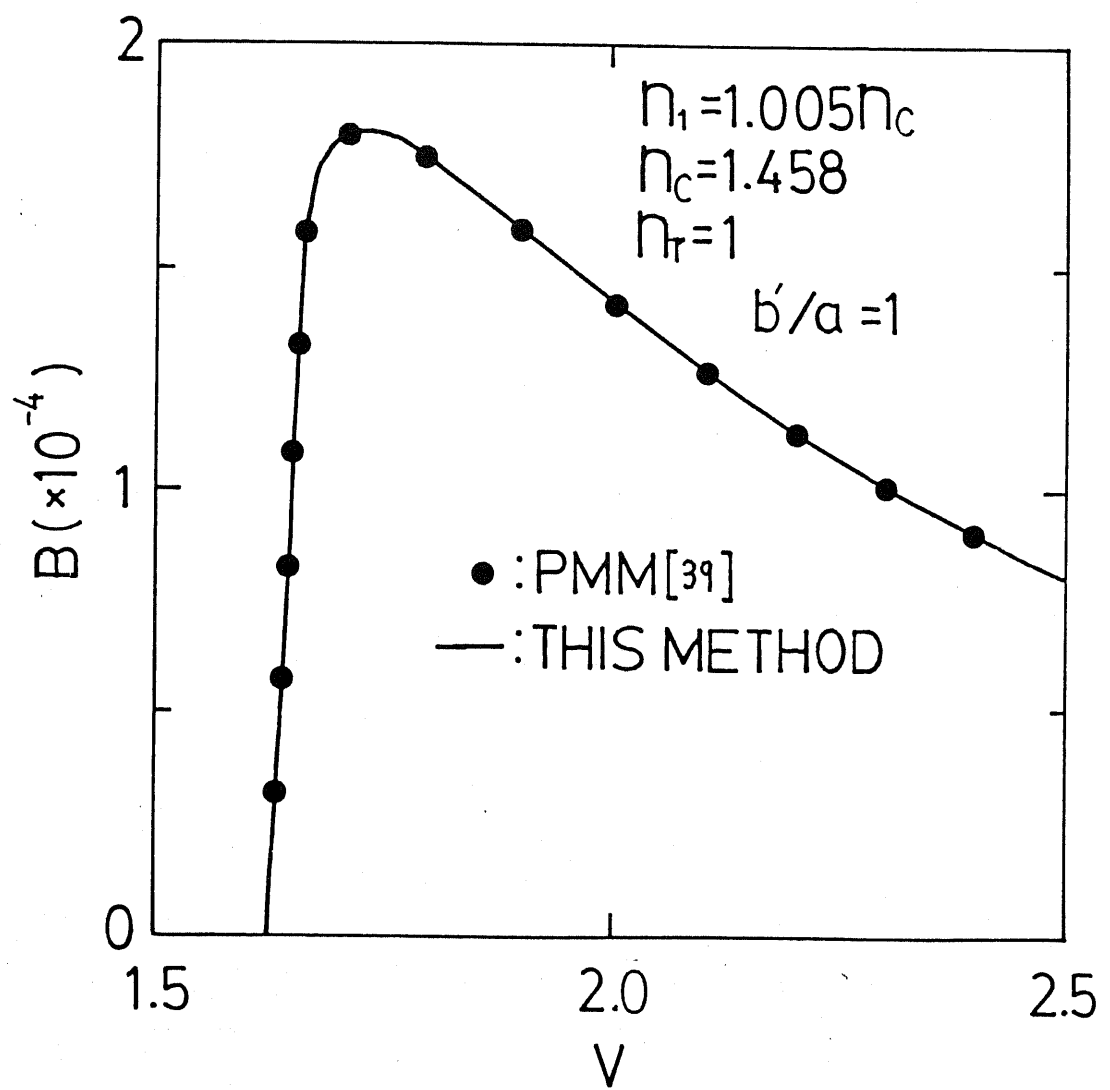


図5-4 複屈折特性の点整合法による解析結果[39]との比較

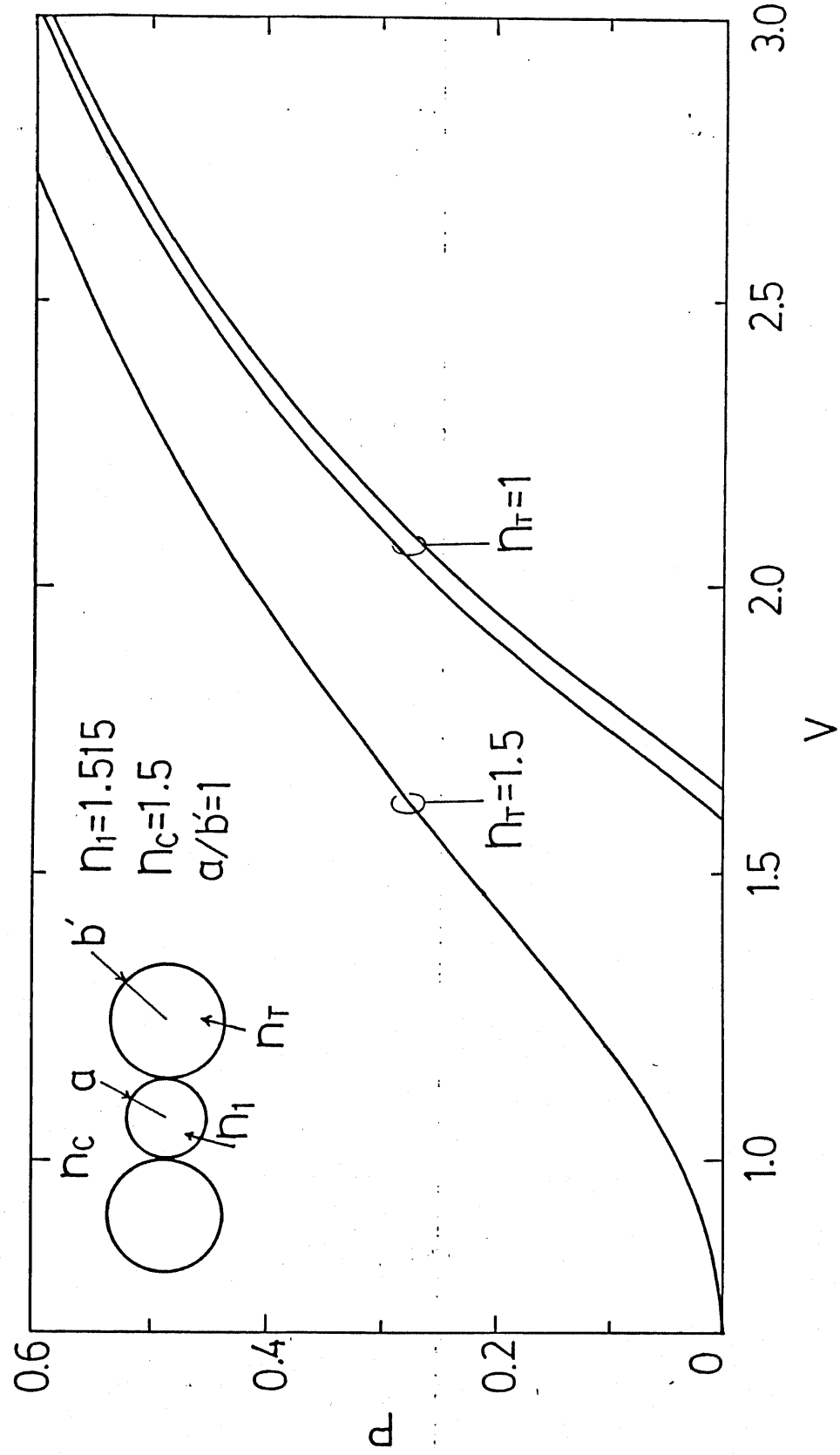


図5-5 分散特性

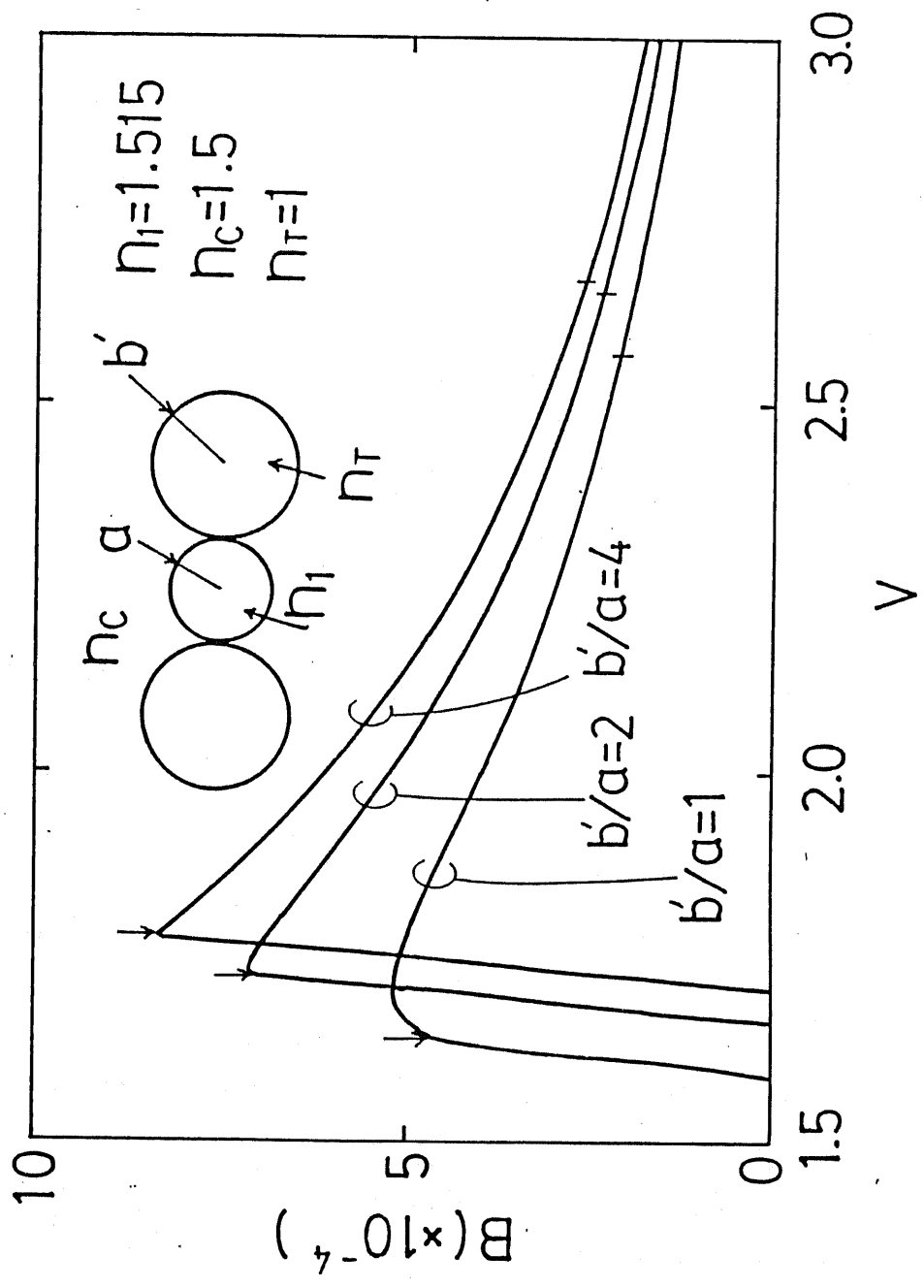


图 5-6 褶屈折特性

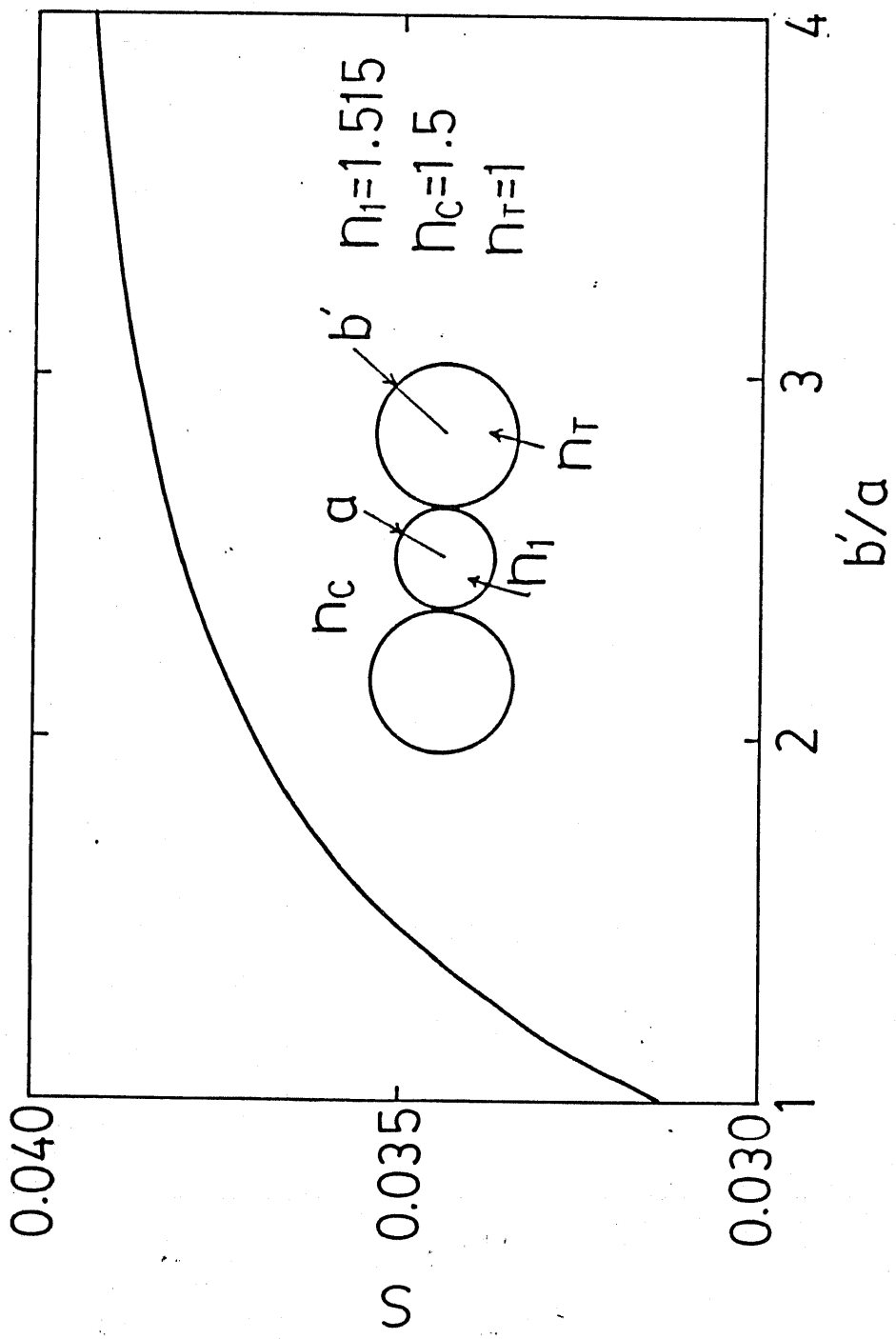


図5-7 比帶域のトンネル径依存性

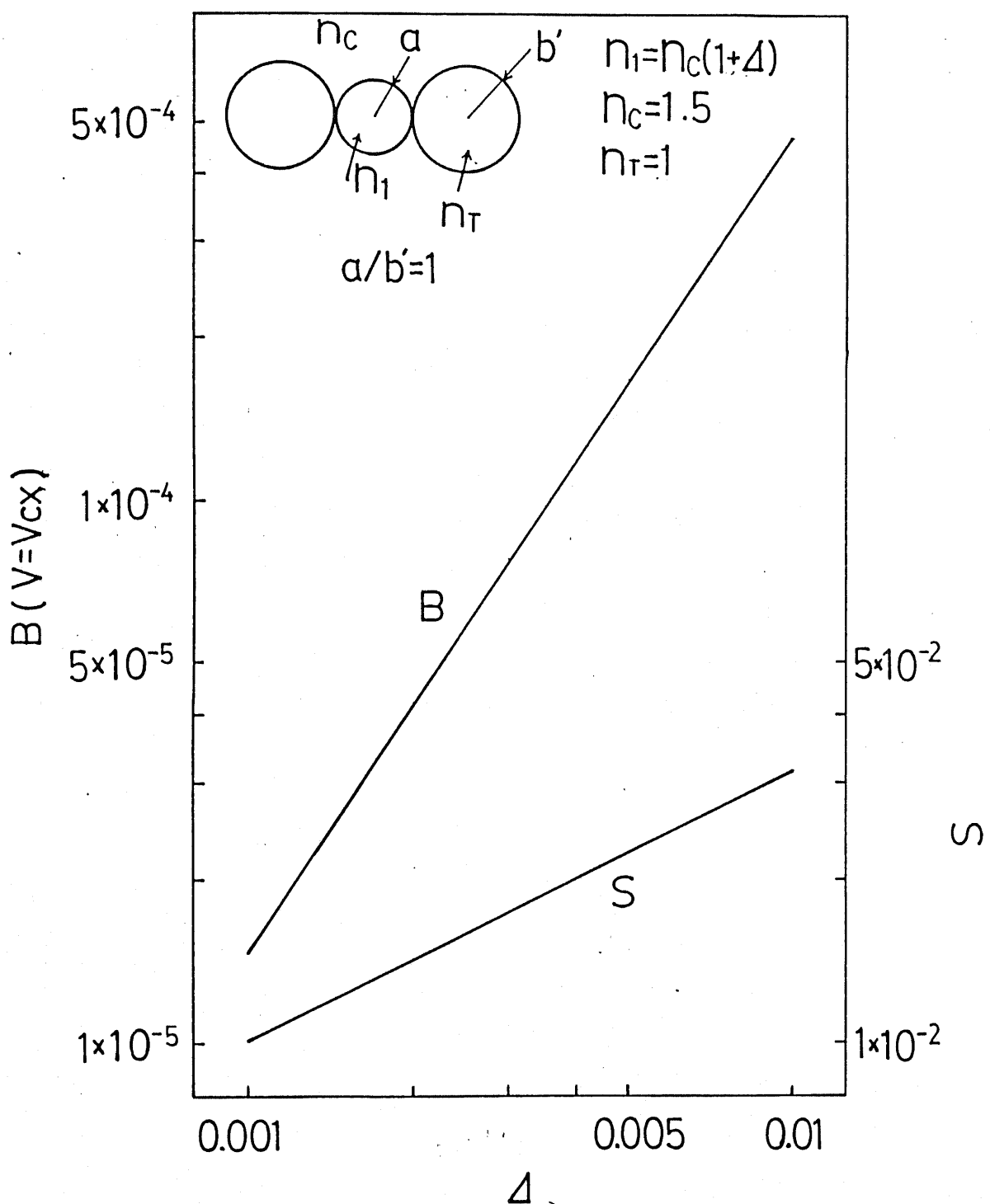


図5-8 複屈折と比帶域のコアとクラッドの屈折率差依存性

5-4 むすび

本章では、グリーン関数を用いない境界積分法定式化を複合媒質光ファイバの固有モード解析に適用し、その応用例として、図5-1のような最も単純な構造の複合媒質光ファイバの解析を主として絶対单一偏波特性について行った。その結果、この解析方法が複合媒質構造に対しても極めて有効であることがわかった。

解析の結果から、図5-1の構造の複合媒質光ファイバにおける絶対单一偏波特性を確認した。複屈折特性は、多くの非軸対称光ファイバ[6,20-24,37-39]において見られるように、コアとクラッドの屈折率差 Δ の巾乗(この場合は1.5乗)に比例することがわかった。また、絶対单一偏波の比帯域は、複屈折の場合よりも1だけ低い Δ の巾乗(この場合は0.5乗)に比例することもわかった。このように、複屈折と比帯域の Δ 依存性が Δ の1乗だけ異なることは、複屈折の定義式(4-25-d)と比帯域の定義式(5-9)を比較するとわかるように、比帯域は屈折率量に関しては無名数であるが複屈折の屈折率に関する次元は1であることからも理解できる。

4章における楕円コア光ファイバにおいては、絶対单一偏波特性の実現はできないが、コア形状の変形による複屈折特性は有する。したがって、本章で解析した構造はコア形状が円形であるが、この構造においてさらにコア形状を非円形にすれば、より良い絶対单一偏波特性を得られることが予想できる。

第6章 サイドトンネル型絶対単一偏波光ファイバの解析

6-1	まえがき	105
6-2	サイドトンネル型絶対単一偏波光ファイバ	106
6-3	境界条件の考え方	108
6-4	数値解析結果	110
6-5	高次モードの異常接近現象	129
6-6	最適構造の決定	137
6-7	むすび	146

6-1 まえがき

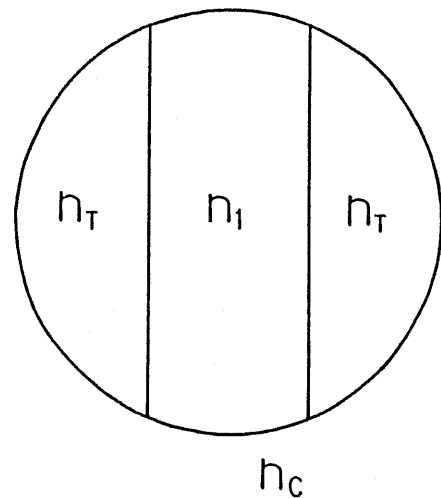
非軸対称光ファイバにおいて、より良い单一偏波特性を得るためにには、4,5章の数値解析結果から、コア形状を非円形化することと、媒質を非軸対称複合化することを併用するのが望ましいことが推測される。このふたつの单一偏波特性の向上方法を併用した非軸対称光ファイバの代表的なものが、サイドトンネル型絶対单一偏波光ファイバ[8,13,14,19-25,27-29,38,62]である。過去のいくつかの解析によると、サイドトンネル型光ファイバは良好な複屈折特性を示すことが明らかにされている[19-25,27-29,38,62]。しかし、これが提案された当初の目的である絶対单一偏波光ファイバとしての特性[22]と、絶対单一偏波特性による構造の最適化、性能の劣化の原因となる高次モードの異常接近現象[24,25,28,29]などについての定量的な解析はほとんどなされていない。

本章では、サイドトンネル型絶対单一偏波光ファイバの固有モード解析を、その絶対单一偏波特性を中心として行う。そして高次モードの異常接近現象を定量的に解明し、それをふまえたうえで最適な構造を決定する。固有モード解析の手法としては、前章で行った複合媒質光ファイバの解析のためのグリーン関数を用いない境界積分法の定式化を応用する。

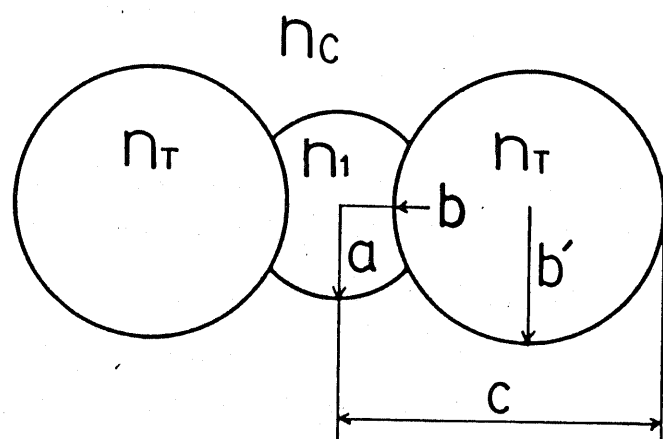
6-2 サイドトンネル型絶対単一偏波光ファイバ

サイドトンネル型絶対単一偏波光ファイバとは、図6-1のように、コアの両側にトンネルと呼ばれる屈折率が1(真空に等しい)の部分を持つ光ファイバである[8,13,14,22,23]。トンネルの存在により、前章で解析した複合媒質光ファイバと同様に高い複屈折特性を有し、トンネル部分の断面積が十分大きい場合には絶対単一偏波特性を持たせることができる。この光ファイバの構造は、当初は同図-(a)のようなものとして提案された[22]が、ファイバの線引中に生ずるトンネル内面の表面張力によってトンネル形状が丸くなるので、実際に製造される構造は同図-(b)のようになる[8,22,23]。そのような理由から現在では同図のような構造のものとして製造している[13,14]。すなわち、前章で解析した複合媒質光ファイバにおいて、トンネルがコアに食い込んだ構造となっている。

サイドトンネル型光ファイバの構造を記述する際には、従来は、図6-1-(b)における最外径に対するコア半径の比 a/c と、最外径に対する中心からトンネルまでの距離の比 b/c が用いられてきたが、これらのパラメータはそもそもが有限要素法解析に便利なために用いられてきてものであり[23-25,28,29]、構造を直感的に把握するためのパラメータとしては不適当である。したがって本章の解析においてはコア半径に対するトンネル半径の比 b'/a と、トンネルのコアへの食い込み比 b/a のふたつのパラメータを中心として用いる。



(a) 提案された当初の構造



(b) 実際の構造

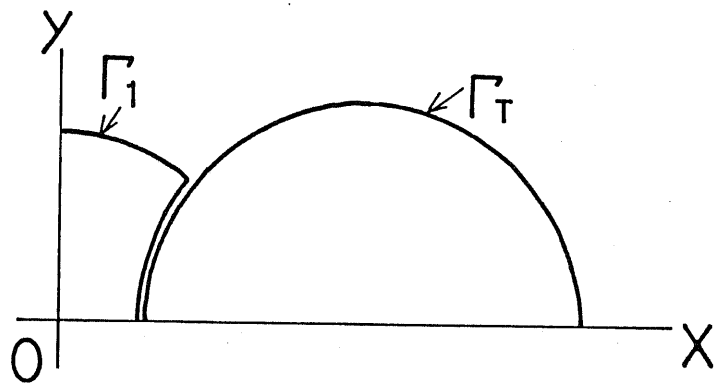
図 6-1 サイドトンネル型絶対単一偏波光ファイバ

6-3 境界条件の考え方

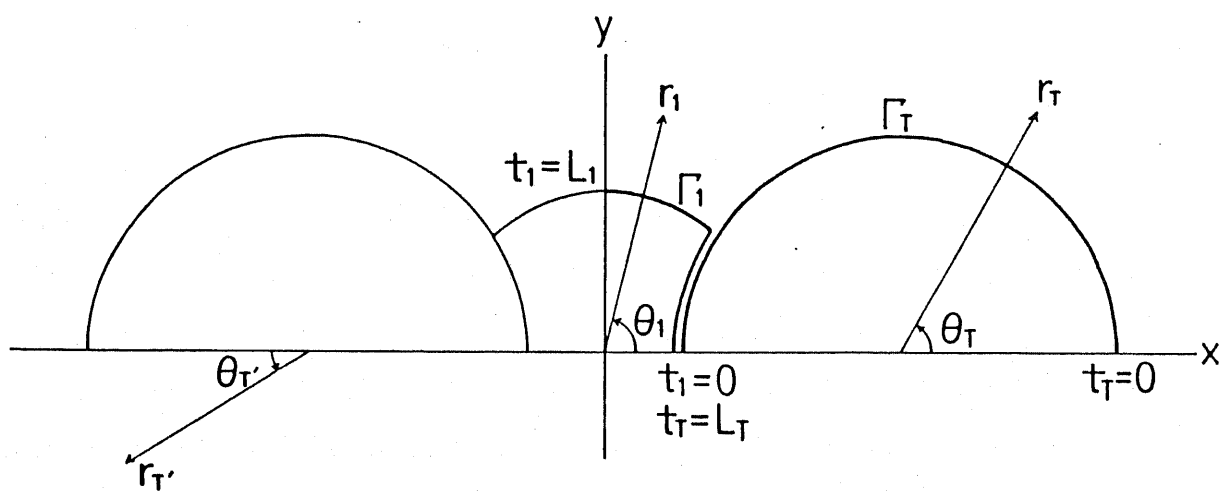
前章で解析を行った複合媒質光ファイバの構造においてはコア・クラッド、トンネル・クラッドのふたつの境界が独立して存在しているので、それぞれの境界上で電磁界を独立にフーリエ級数展開して境界積分方程式(2-8)に適用することができる。一方、図6-1-(b)のサイドトンネル型光ファイバの構造においては、コア・クラッド、コア・トンネル、トンネル・クラッドの三つの境界は一点で接続されている。したがって各境界上で電磁界をフーリエ展開した場合、各境界上の電磁界をその点で接続する必要が生じ、これを含めた境界条件の総数と電磁界の展開に用いた係数の総数が一致しなくなるので、数値解析が複雑になる。そこで本章では解析を簡単に行うために、前章で行った定式化をそのまま適用することを考える。すなわち、図6-2-(a)に示すように、コア・トンネル境界においては、コアとトンネルが無限小の距離を隔てて存在していると考えて、コア・クラッド、トンネル・クラッドのふたつの境界が独立して存在しているとみなしてしまう。このようにすれば、前章で行った定式化が適用できる。

ここで注意すべきことは、コア・クラッド境界とトンネル・クラッド境界が無限小の距離を隔てて接している部分においては、ふたつの境界上の電磁界は境界条件を満足する必要があるが、ここでの境界条件は直接は適用していない。すなわちふたつの境界上の電磁界の接線成分が互いに等しいという条件は考慮していない。このことについては、次節で改めて考察する。

解析のための座標系は、前章の図5-2-(b)に対応して、図6-2-(b)のように境界上の曲線座標および重み関数のための多重円柱座標をとる。境界上の z 軸方向電磁界と、その法線方向微分のフーリエ級数展開、および重み関数の選択の方法は前章の式(5-2)~(5-4)と表5-1に示されているものと全く同様であり、最終的に求められる固有値方程式も式(5-6)と同様な形式をとる。



(a) 無限小の距離を隔てて接しているふたつの境界



(b) 座標系

図 6-2 解析に用いる境界と座標系

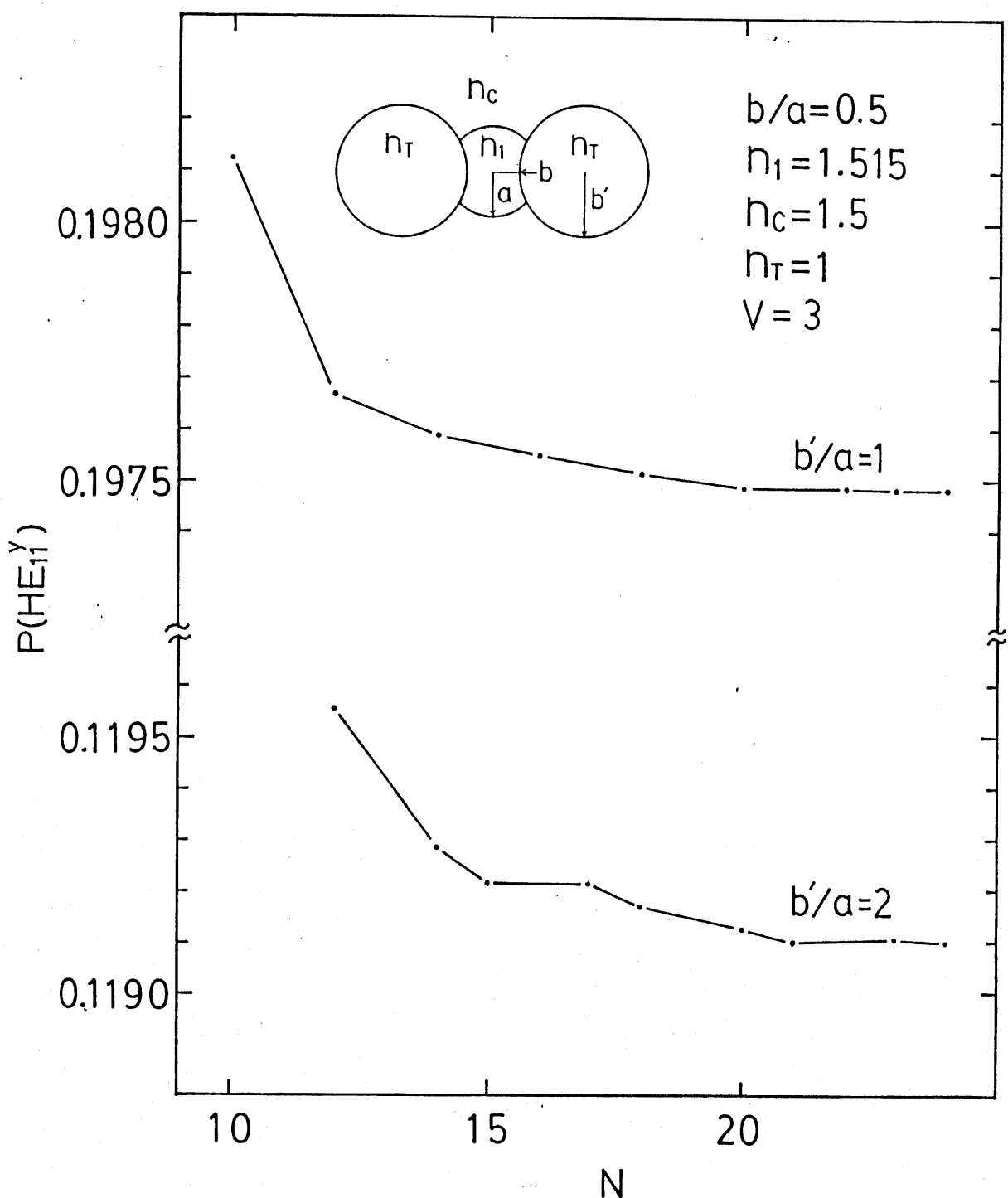
6-4 数値解析結果

本節では、グリーン関数を用いない境界積分法によるサイドトンネル型单一偏波光ファイバの固有モード解析の有効性について示す。解析に用いるパラメータのなかで、構造を記述するもの以外については式(5-9)で定義したものを用いる。

まず、図6-3,4に境界上の電磁界のフーリエ級数の項を増やしたときのいくつかの固有値の収束特性を示す。図6-3は図5-3と同様なHE_{11x}モードの伝搬定数Pと複屈折Bの収束特性である。図5-3と比較すると、コア上にある端点、およびコア境界とトンネル境界の共通部分の存在によって収束がやや遅くなっていることがわかる。図6-4は、HE_{11y}モードの遮断周波数V_{cy}と、絶対单一偏波の比帯域Sの収束特性である。これらの図から、コアとクラッド境界上の電磁界のフーリエ展開の項数の和N=N₁+N_T=20とすることにより、伝搬定数と遮断周波数は4桁、複屈折と比帯域は3桁程度の精度で計算できることがわかる。すなわち、コア境界上の端点の存在、コア境界とトンネル境界の共通部分の存在にもかかわらず、かなり高い精度で固有値が計算できる。ここで、各モードの遮断周波数は正規化伝搬定数の値が0.001となる正規化周波数の値[21]として求めた。

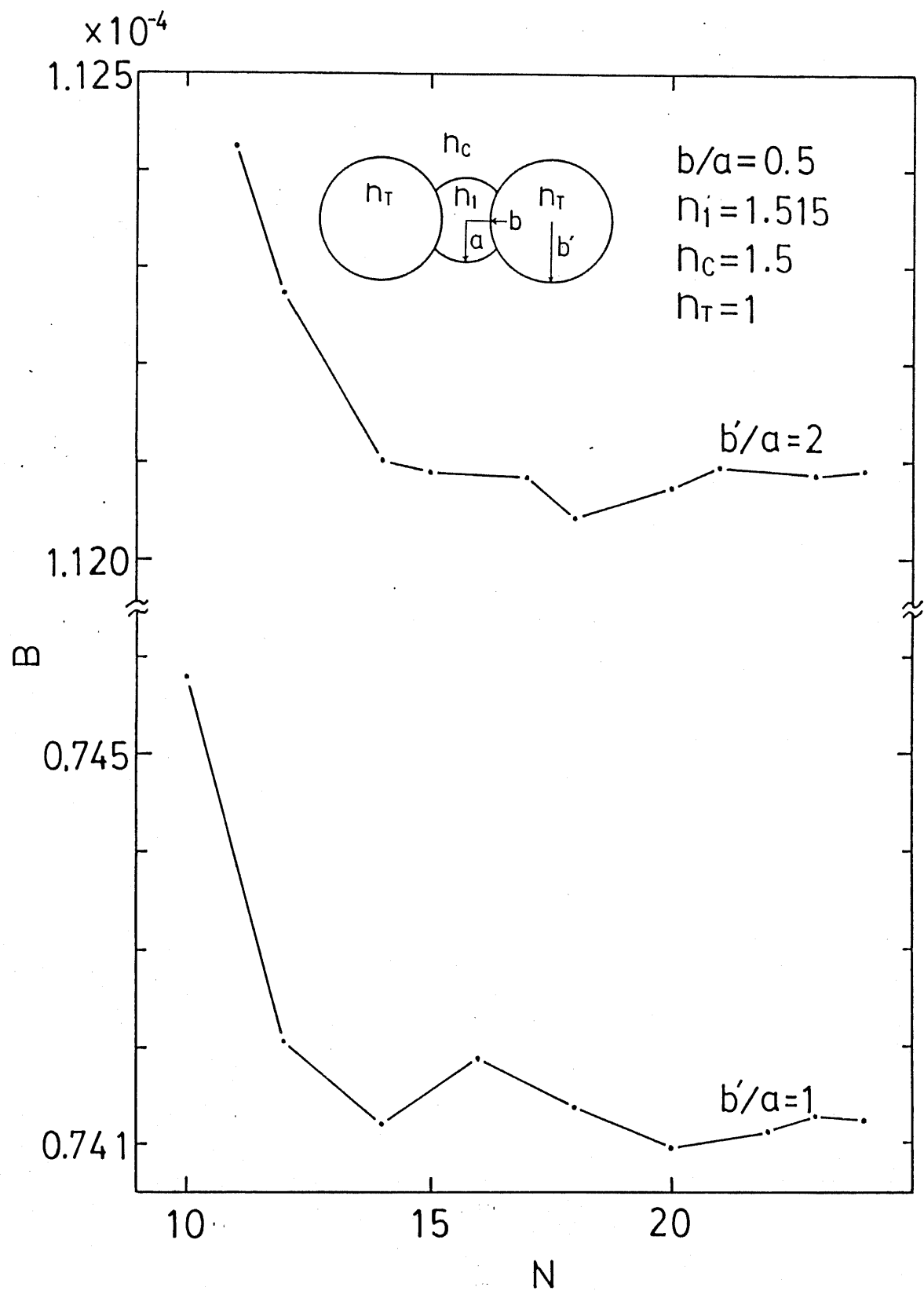
以上のように固有値については境界条件の適用の方法にかかわりなく高い精度で計算できることができたが、境界上の電磁界についてはどのようにになっているかということを以下に考察する。

コア境界とトンネル境界の共通部分における両境界上の電磁界は境界条件を満足しないなければならない。しかし、前節で述べたように、本章の数値解析においてはそのような境界条件は直接は課しておらず、コア・クラッド、トンネル・クラッドそれぞれの境界の両側で電磁界が連続であるという条件のみが課されている。図6-5は、境界上の電磁界がふたつの境界の共通部分において連続になっていることを確かめるために、低次の4モードの電磁界のz軸方向成分の境界上における値を計算してある。図中において縦の破線の左側がコア境界とトンネル境界の共通部分を示している。その部分においては、いずれのモードにおいてもコア境界とトンネル境界上の電磁界の値は良い一致を示しているので、図6-2のような境界の取り方を行えば、ふたつの境界の共通部分における境界条件も自動的に満足されることが示された。



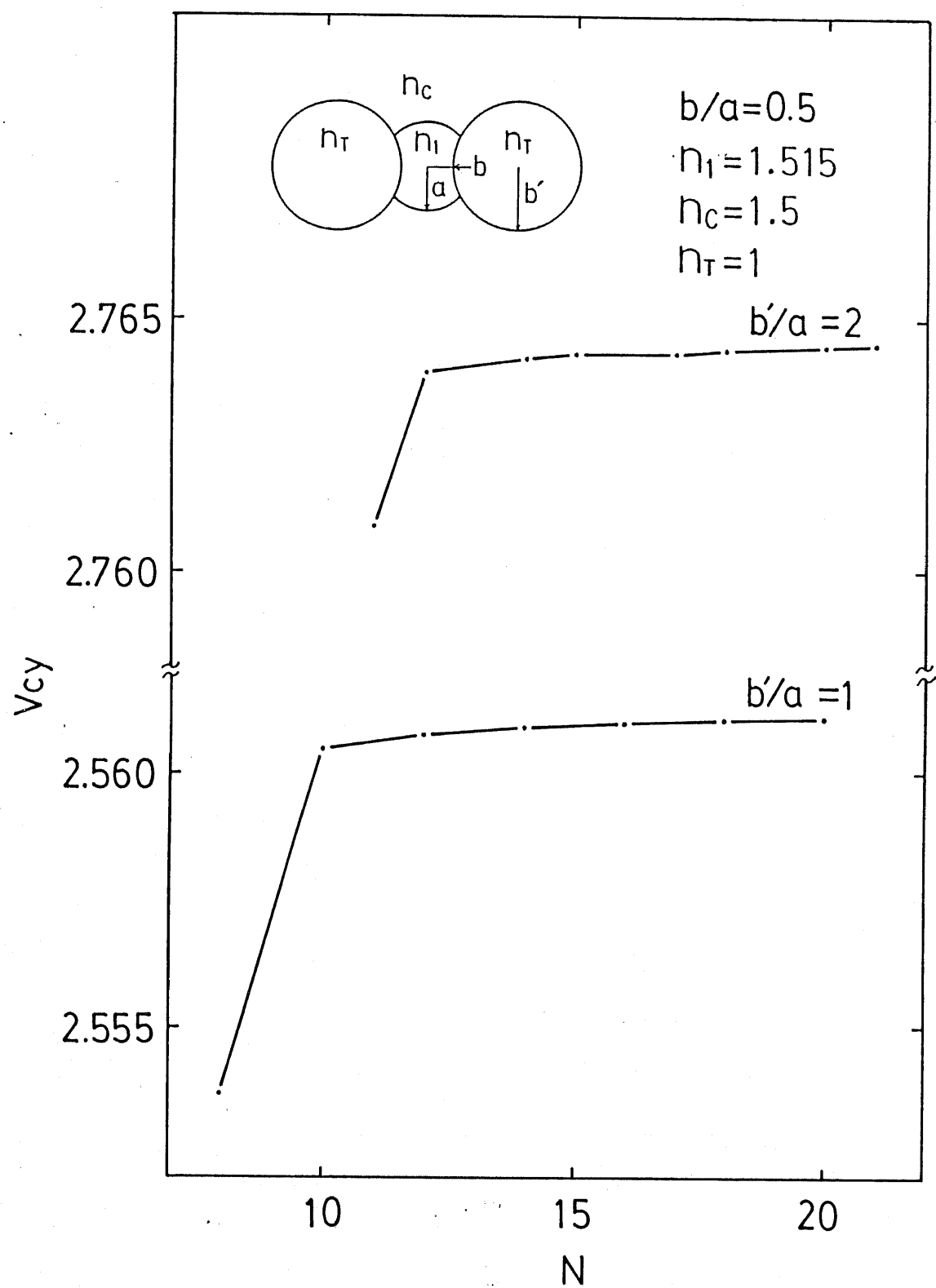
(a) HE_{11'}モードの伝搬定数

図6-3 伝搬定数に関する量の収束特性



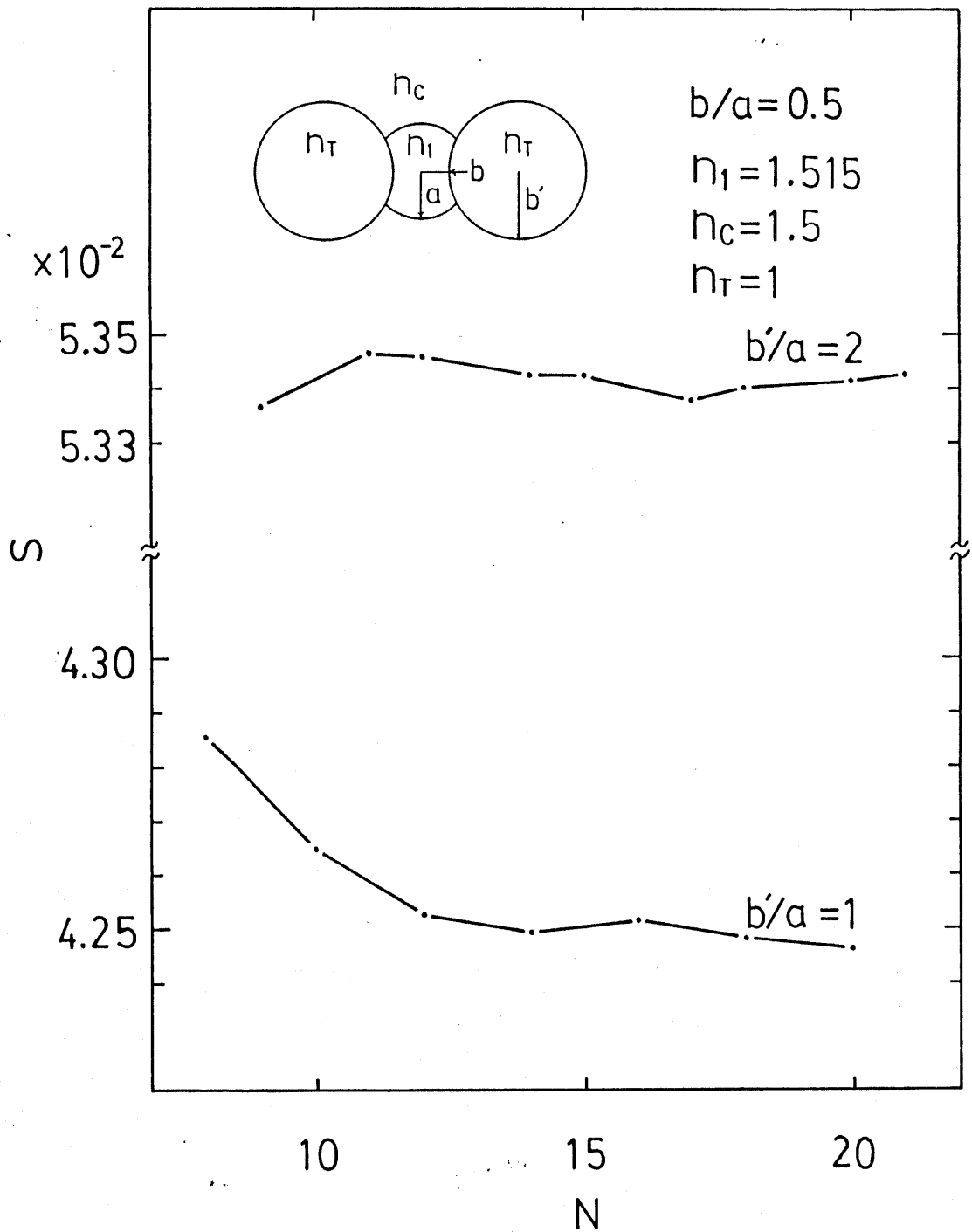
(b) 正規化複屈折

図6-3 伝搬定数に関する量の収束特性



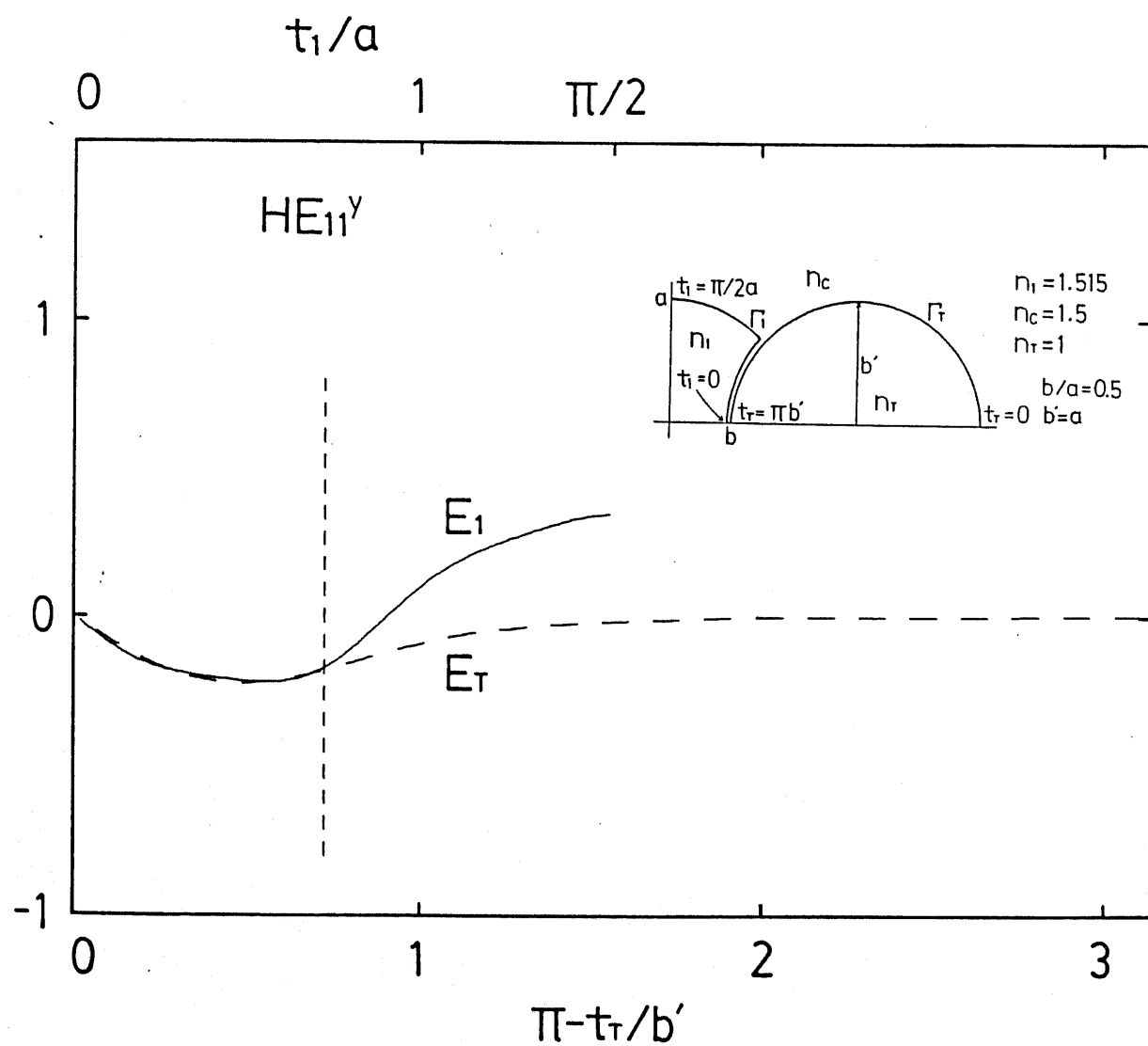
(a) HE_{11} モードの遮断周波数

図 6-4 周波数に関する量の収束特性



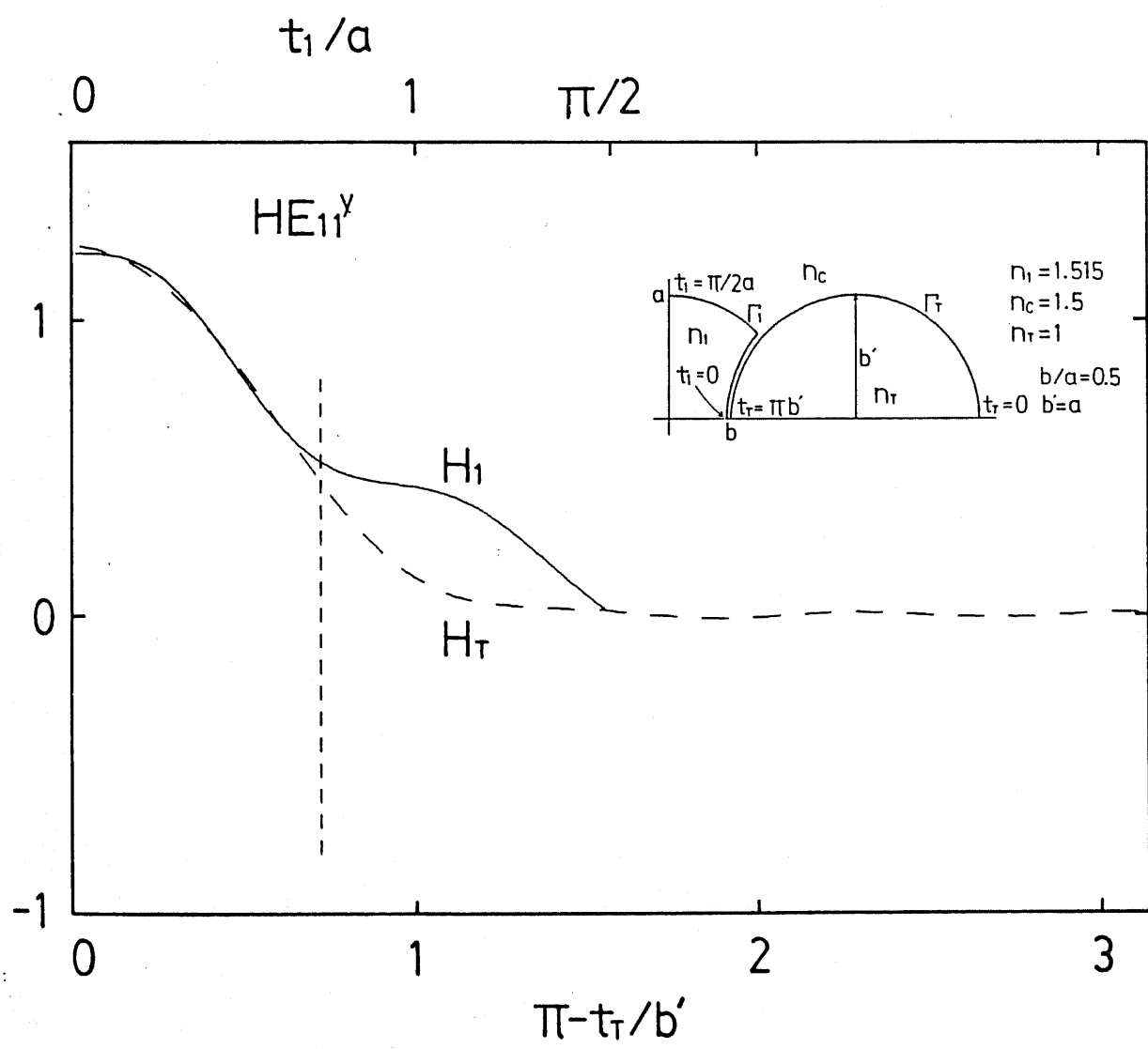
(b) 絶対単一偏波の比帶域

図 6-4 周波数に関する量の収束特性



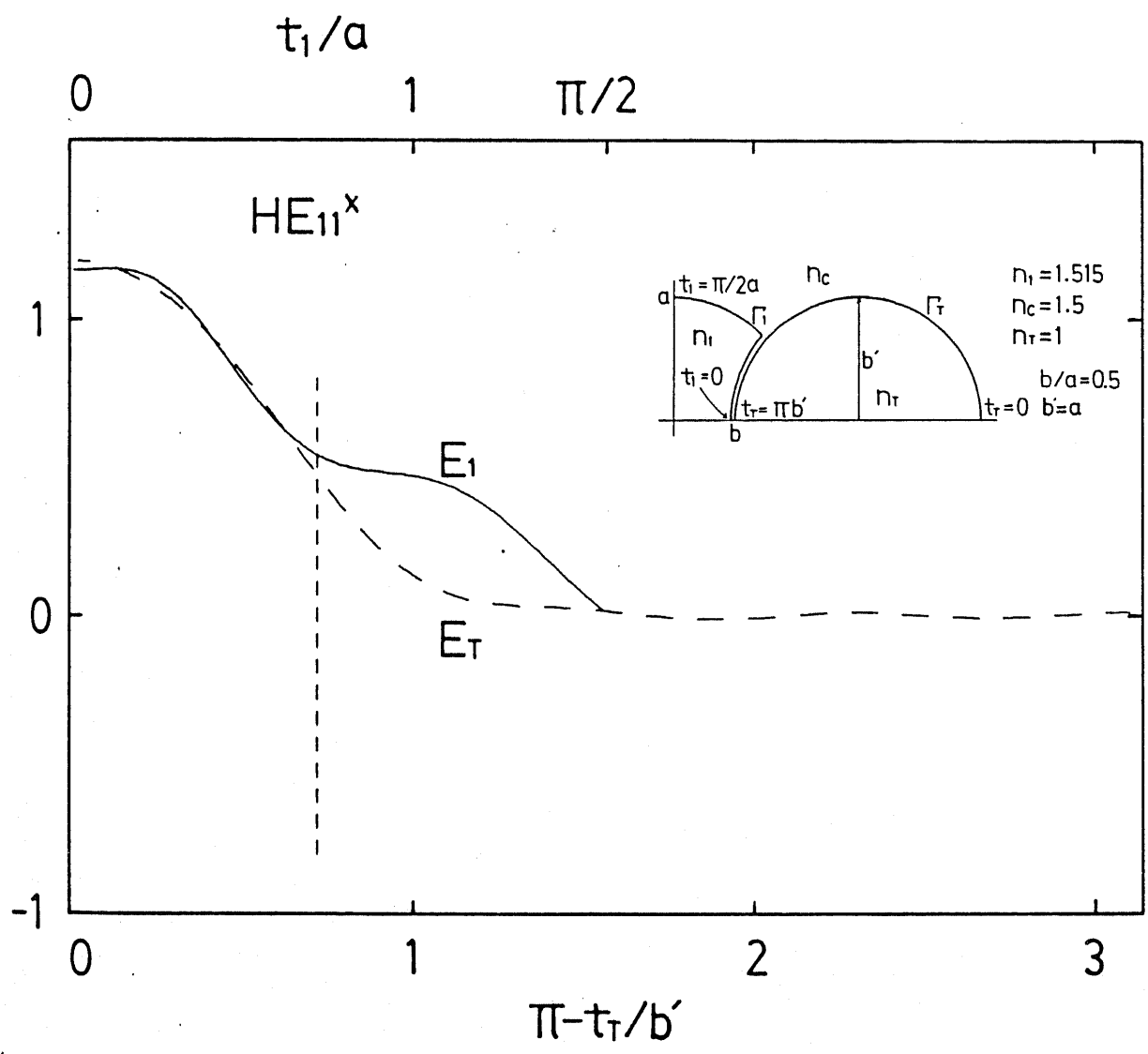
(a) $HE_{11\gamma}$ モードの電界

図6-5 境界上の電磁界の値



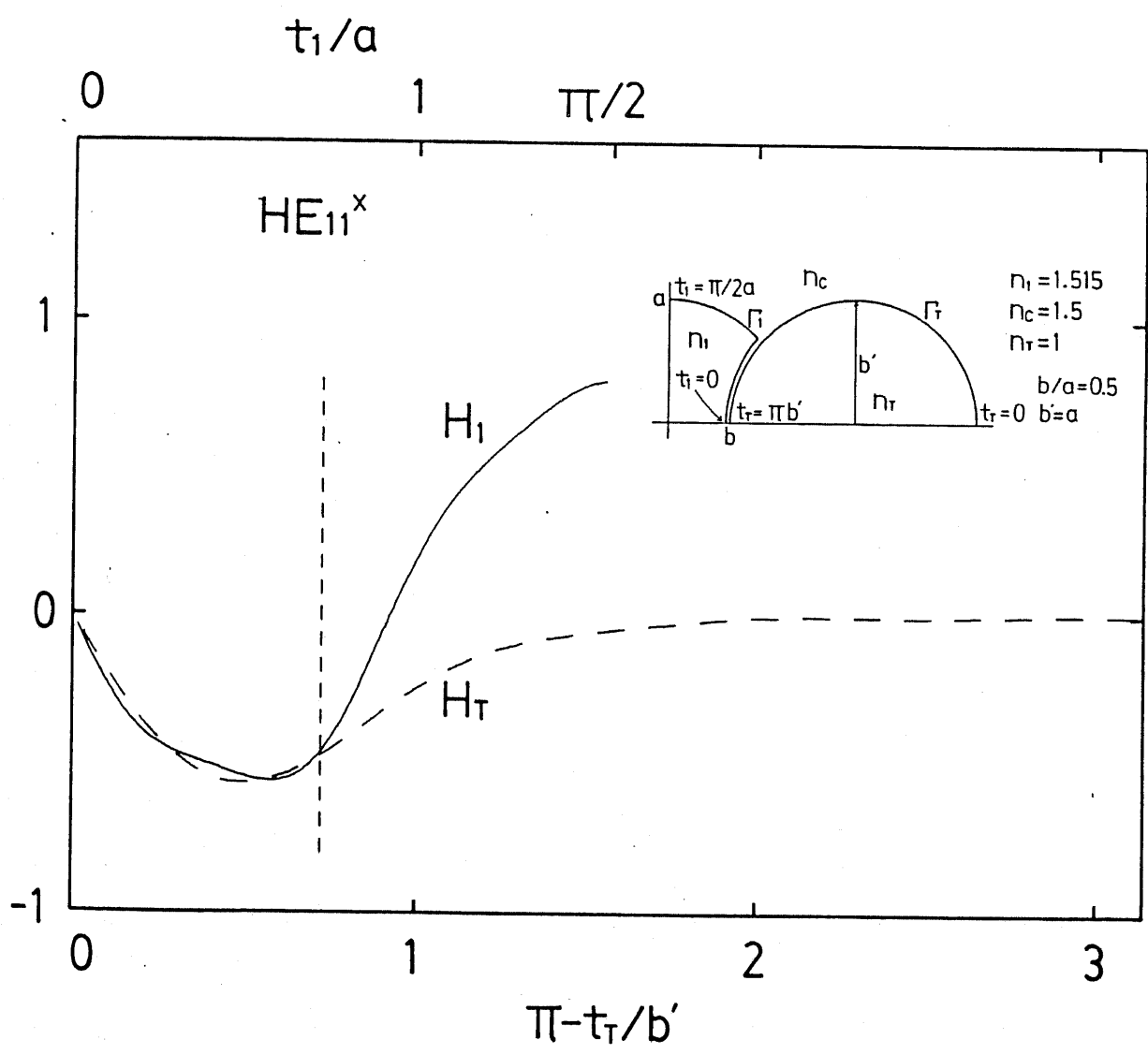
(b) $HE_{11\gamma}$ モードの磁界

図6-5 境界上の電磁界の値



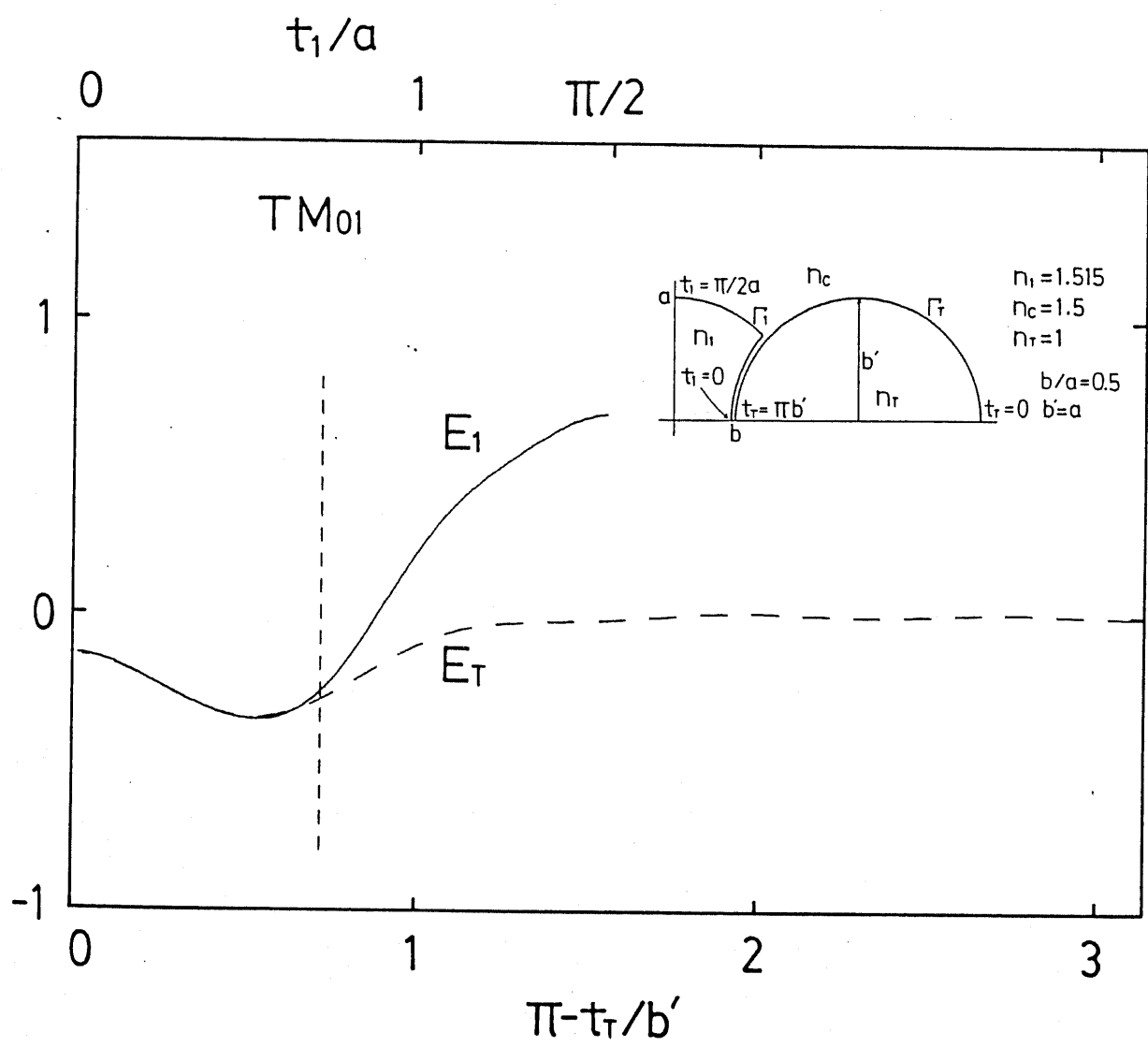
(c) $H E_{11}^*$ モードの電界

図6-5 境界上の電磁界の値



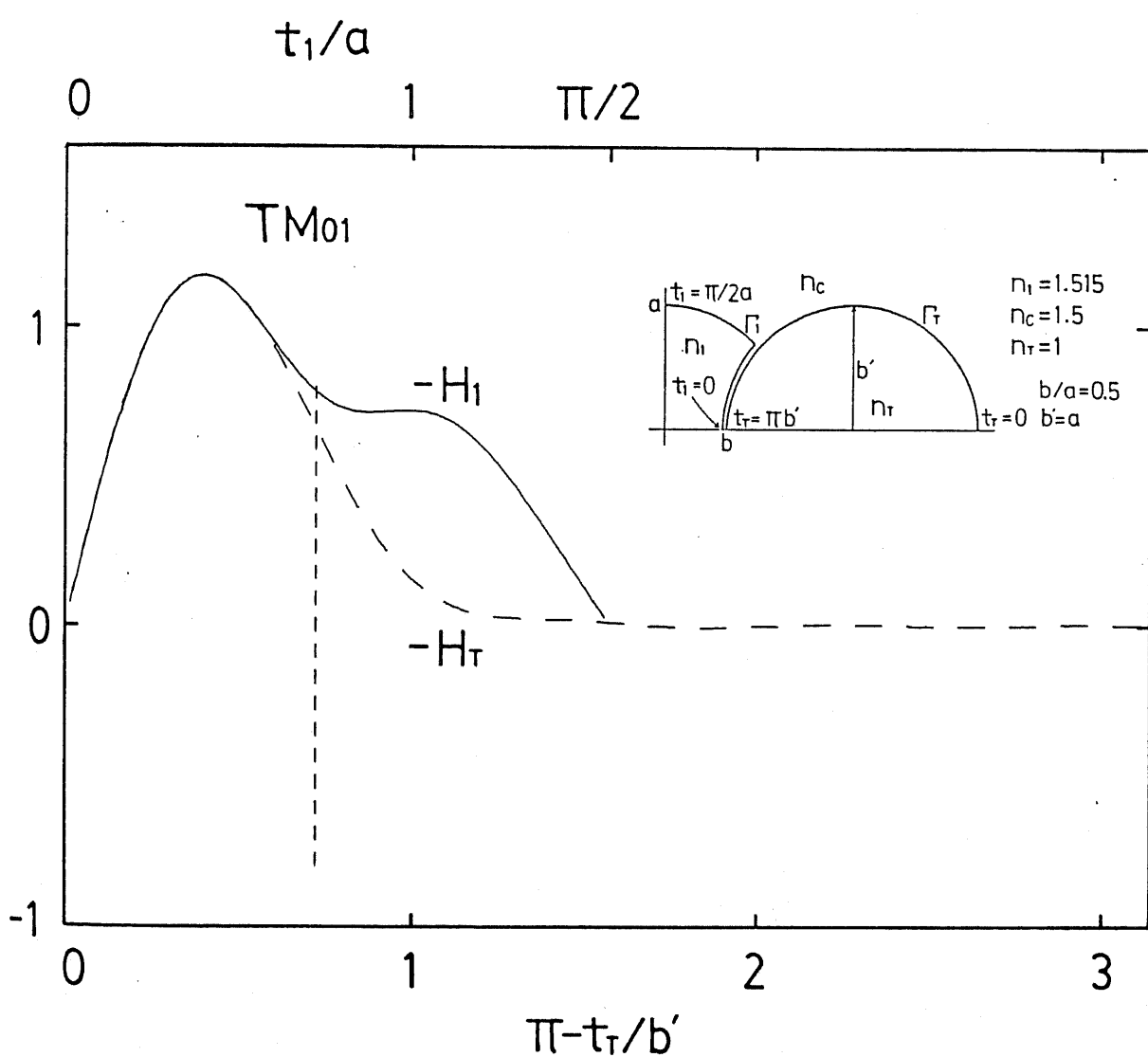
(d) HE_{11*}モードの磁界

図6-5 境界上の電磁界の値



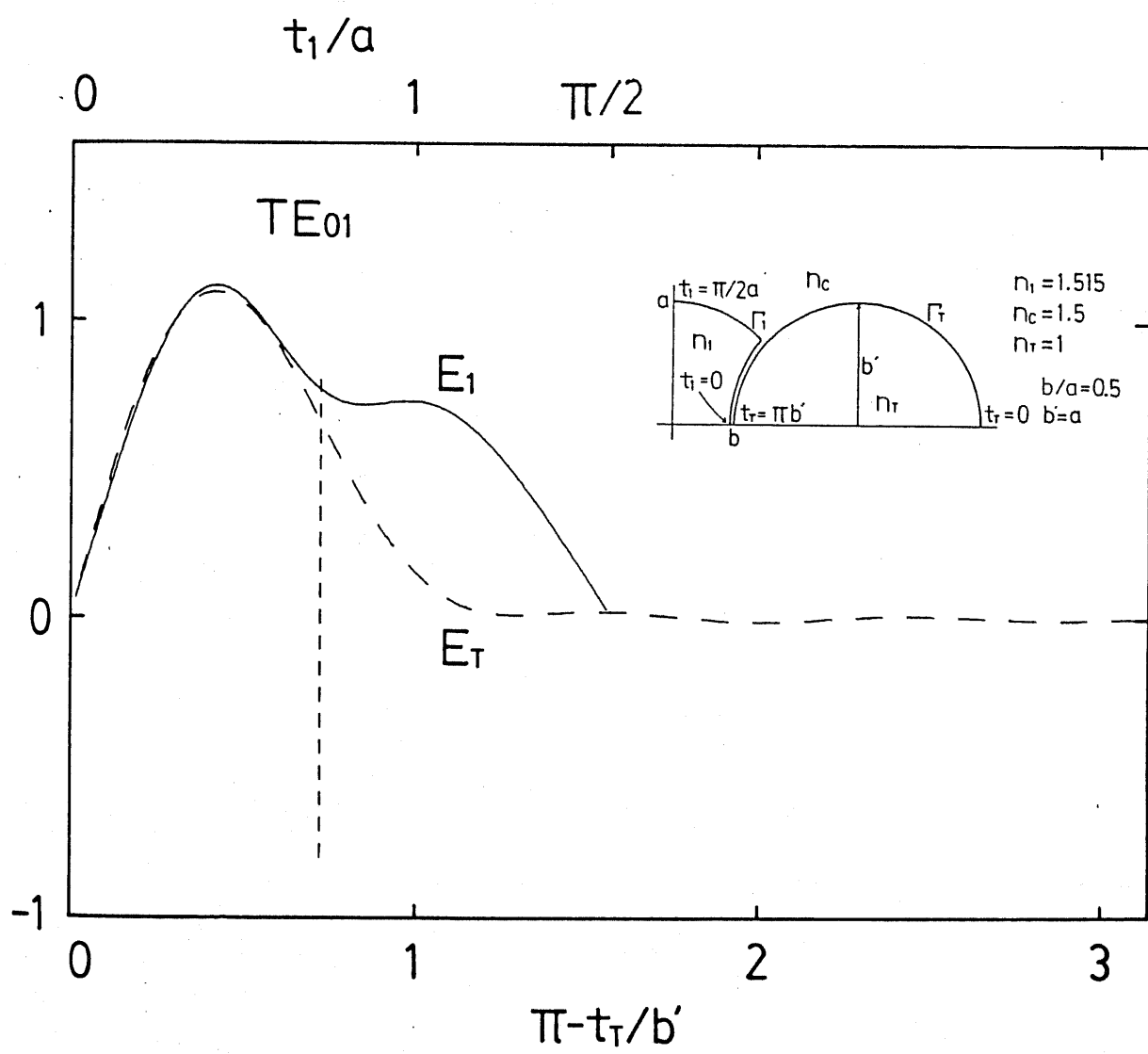
(e) TM_{01} モードの電界

図6-5 境界上の電磁界の値



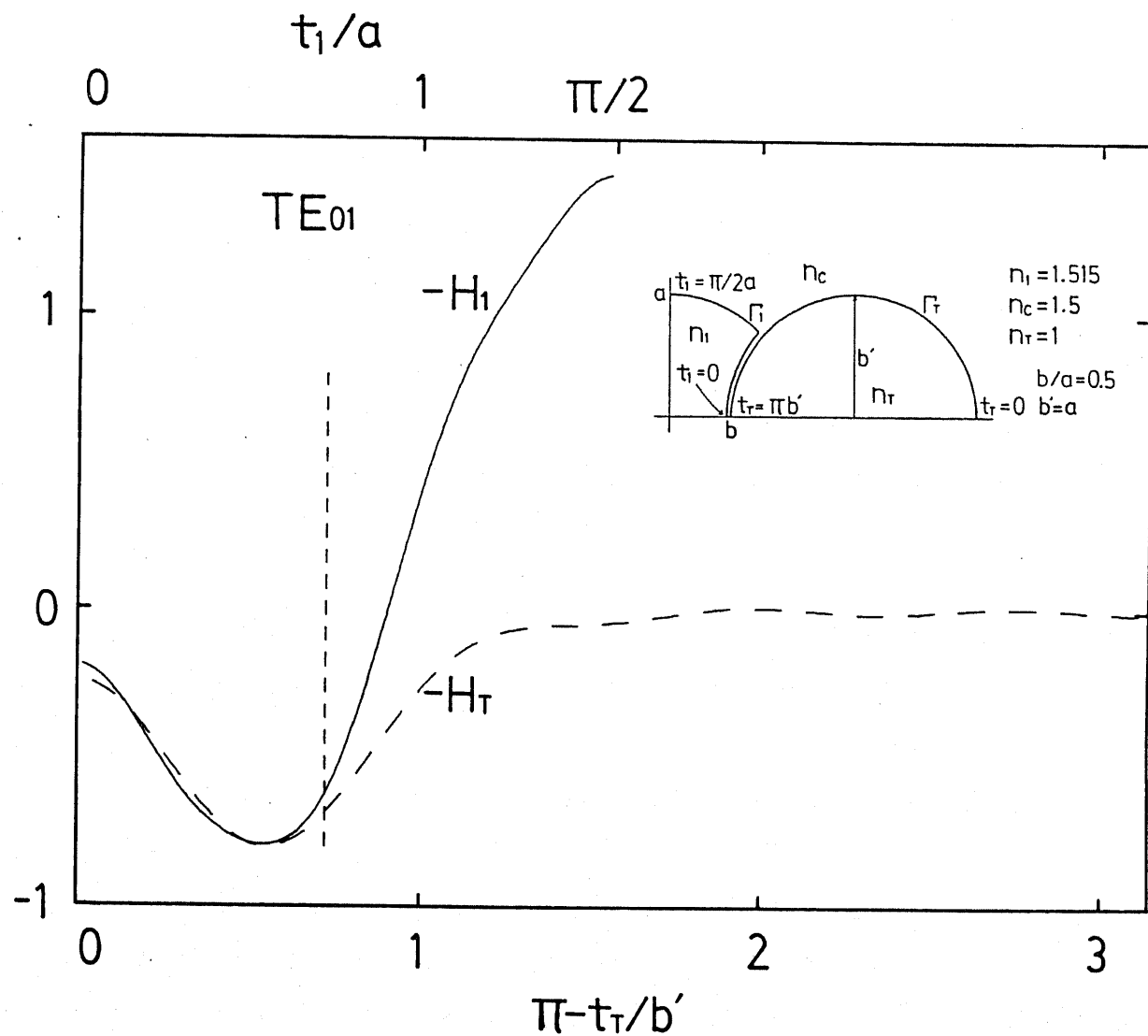
(f) TM₀₁モードの磁界

図6-5 境界上の電磁界の値



(g) TE_{01} モードの電界

図 6-5 境界上の電磁界の値



(h) $T E_{01}$ モードの磁界

図6-5 境界上の電磁界の値

図6-6と図6-7には他の数値解析法による結果との比較を示す。図6-6は、二種類の構造についての有限要素法による分散特性の数値結果[25]との比較である。両者を比較すると、遮断周波数の大きさやモードの順序などの分散特性の定性的な傾向は良く一致しているが、数値的にはかなりの違いがある。本章の方法においては、先に述べたように固有値は3桁以上の精度で計算できるが、有限要素法においては要素分割の方法によって固有値が変動するので、本章で行った境界積分法による解析結果がより有効であると言える。図6-7には、トンネルのコアへの食い込み比 b/a を変化させたときの複屈折の最大値と、それを与える周波数の値の点整合法による数値結果[38]との比較を示す。両者は良く一致していることがわかる。

図6-8は、形状パラメータが $a/c = 0.4$, $b/c = 0.15$ の場合(文献[23-25]における形状 "N")において、 HE_{11^*} モードの遮断周波数における複屈折と比帯域のコアとクラッドの比屈折率差 Δ に対する依存性を示す。前章の図5-7と同様に、複屈折と比帯域はそれぞれ Δ の $3/2$ 乗と $1/2$ 乗に比例している。後に図6-15にも示すように、サイドトンネル型光ファイバの場合には、この比例関係は構造によらずに成立する。一方、図6-8同じ構造の光ファイバにおいて、複屈折と比帯域がそれぞれ Δ の 1 乗と 0 乗に比例するという有限要素法による数値結果[24]があるが、これは誤りであることがわかる。

図6-9は、トンネルのコアへの食い込み比 b/a を変化させたときの比帯域の値を示す。これによると比帯域は、トンネル半径を増すとゆるやかに増加し、図6-7の複屈折と同様に、適当な食い込み比 b/a において最大値を持つことがわかる。また、一般に周波数(波長)を変化させたときの複屈折の最大値は、前章で示した図5-6からもわかるように HE_{11^*} モードの遮断周波数付近において最大値を取る。また、 HE_{11^*} モードの遮断周波数における複屈折と比帯域はほぼ比例関係にあるので、比帯域を最大にすることによって複屈折もほぼ最大にすることができる。したがって、比帯域をサイドトンネル型光ファイバの構造の最適化のためのパラメータとして用いることができる。

なお、式(5-6)の形式の固有値方程式を解く際には左辺の行列式を計算する必要があるが、これを1回計算するために要した大型計算機(東京大学大型計算機センターの HITAC M-680H)のCPU時間は $N=20$ において約0.2秒であり、固有値を1個求めるためのCPU時間は同じ N の値において約2秒である。これは会話型計算を行うことが十分可能な程度に短時間である。

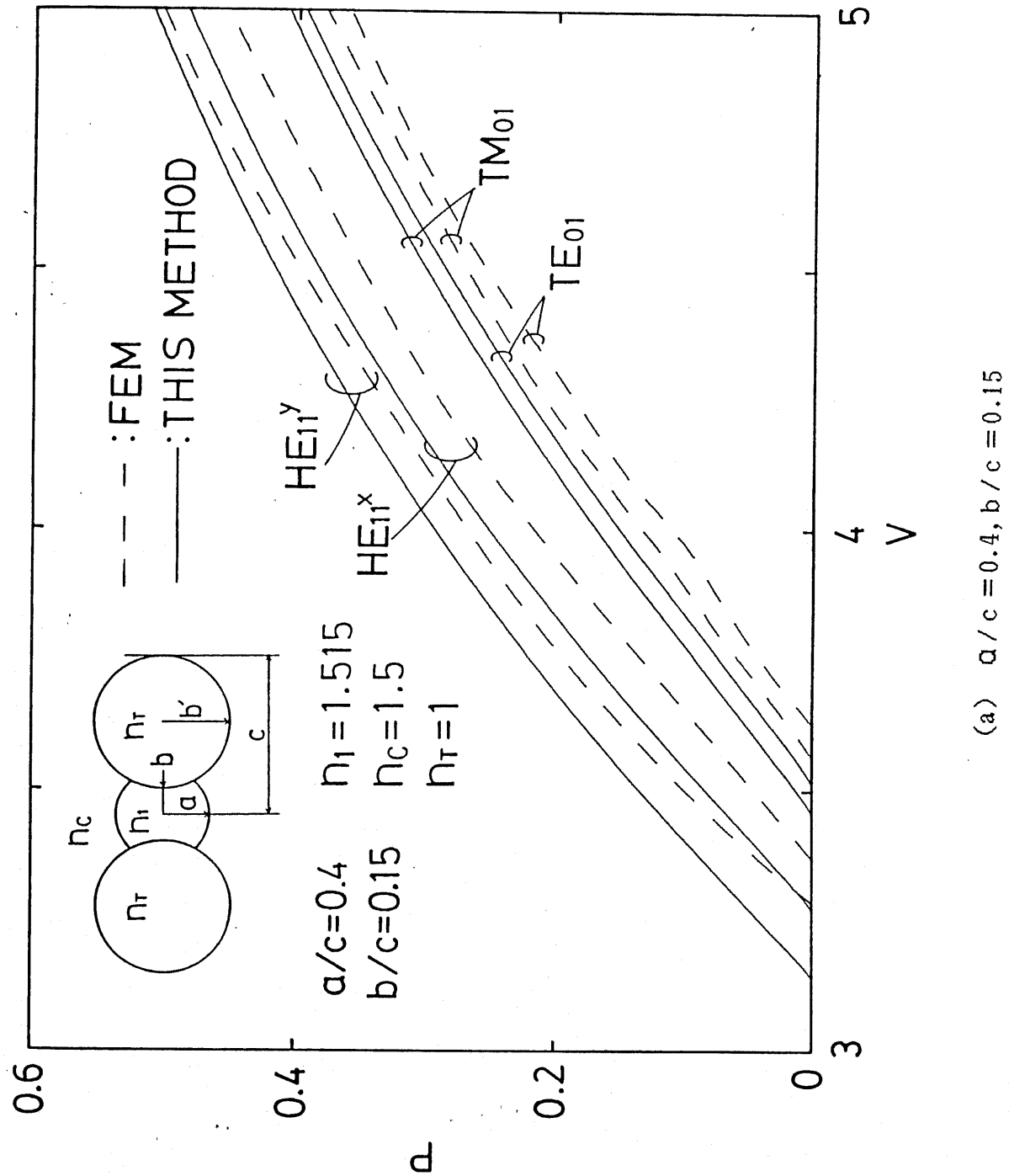


図 6-6 分散特性の有限要素法による解析結果[25]との比較

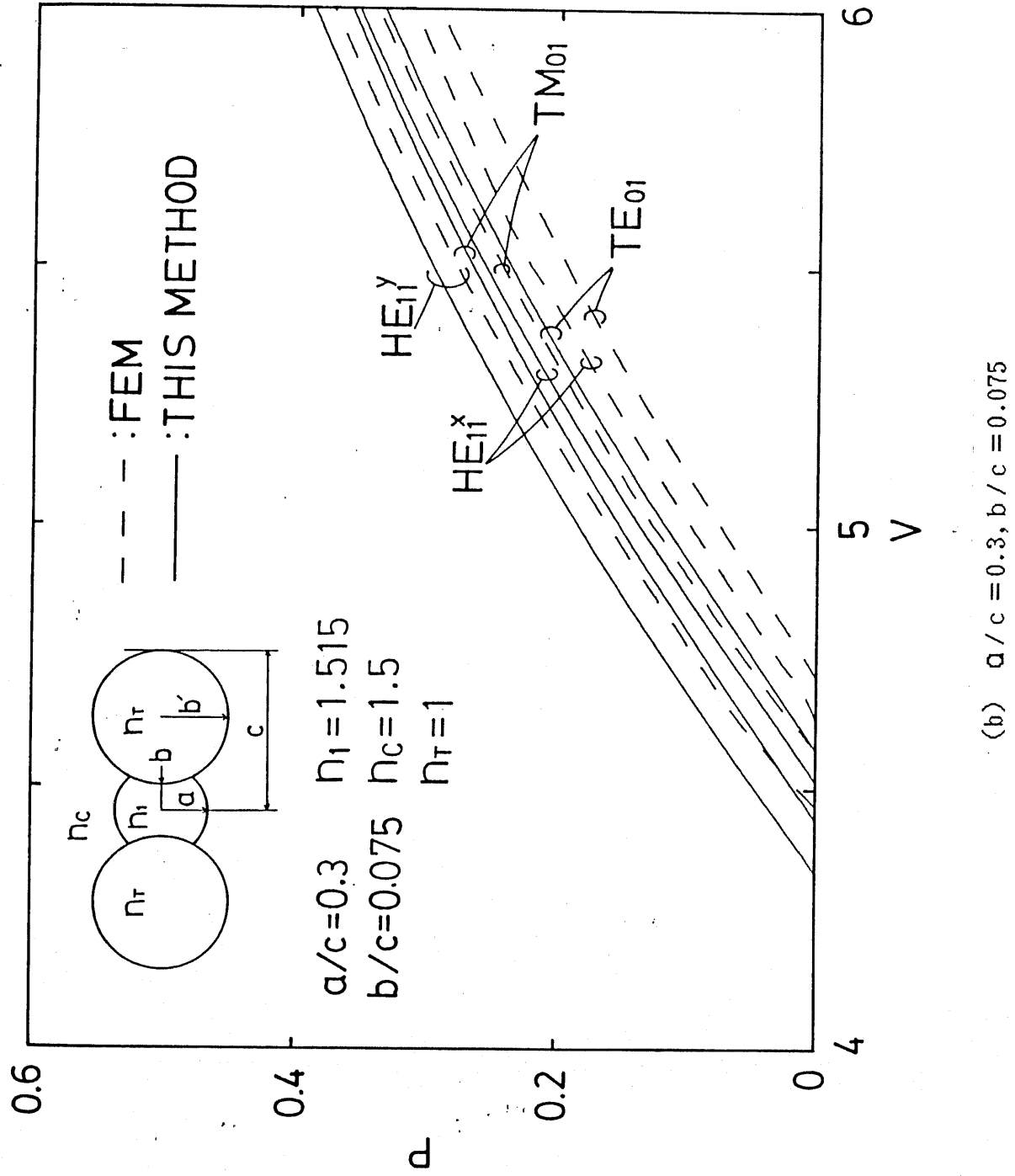


図6-6 分散特性の有限要素法による解析結果[25]との比較

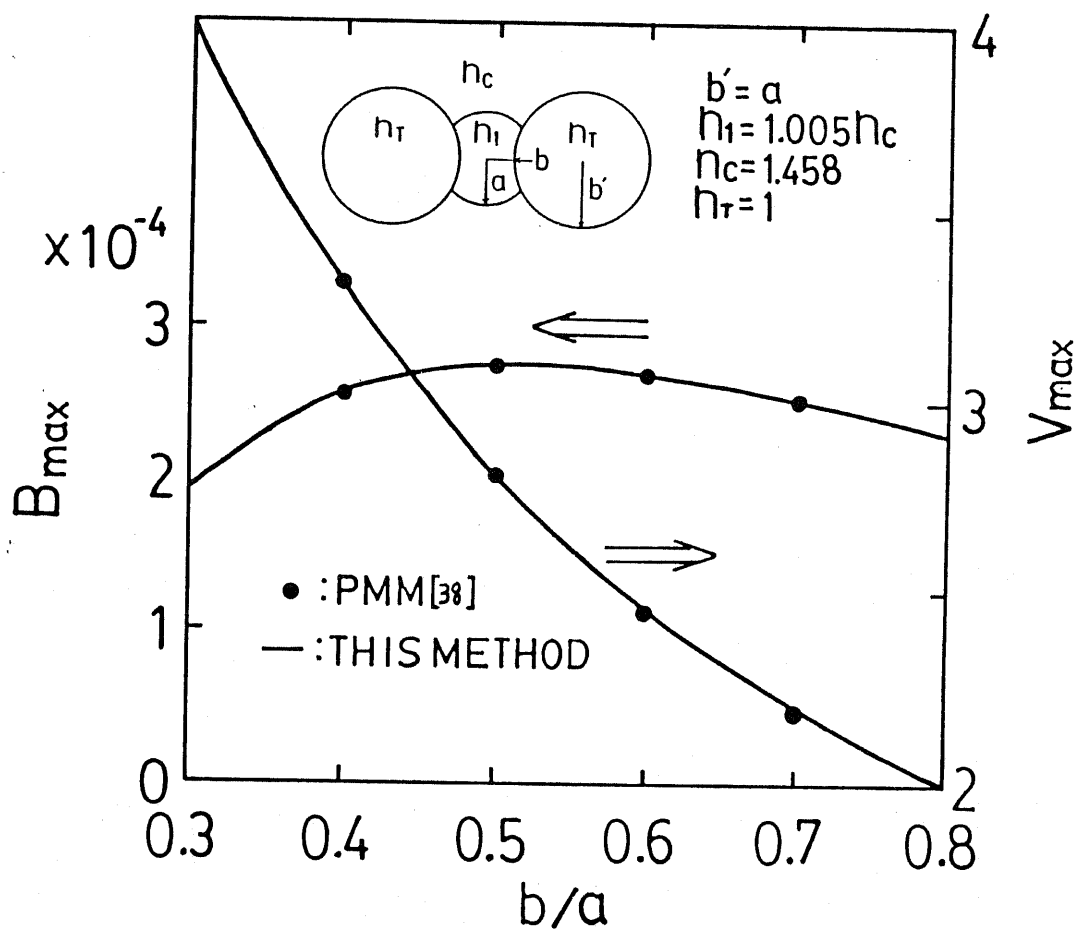


図 6-7 複屈折特性の点整合法による解析結果[38]との比較

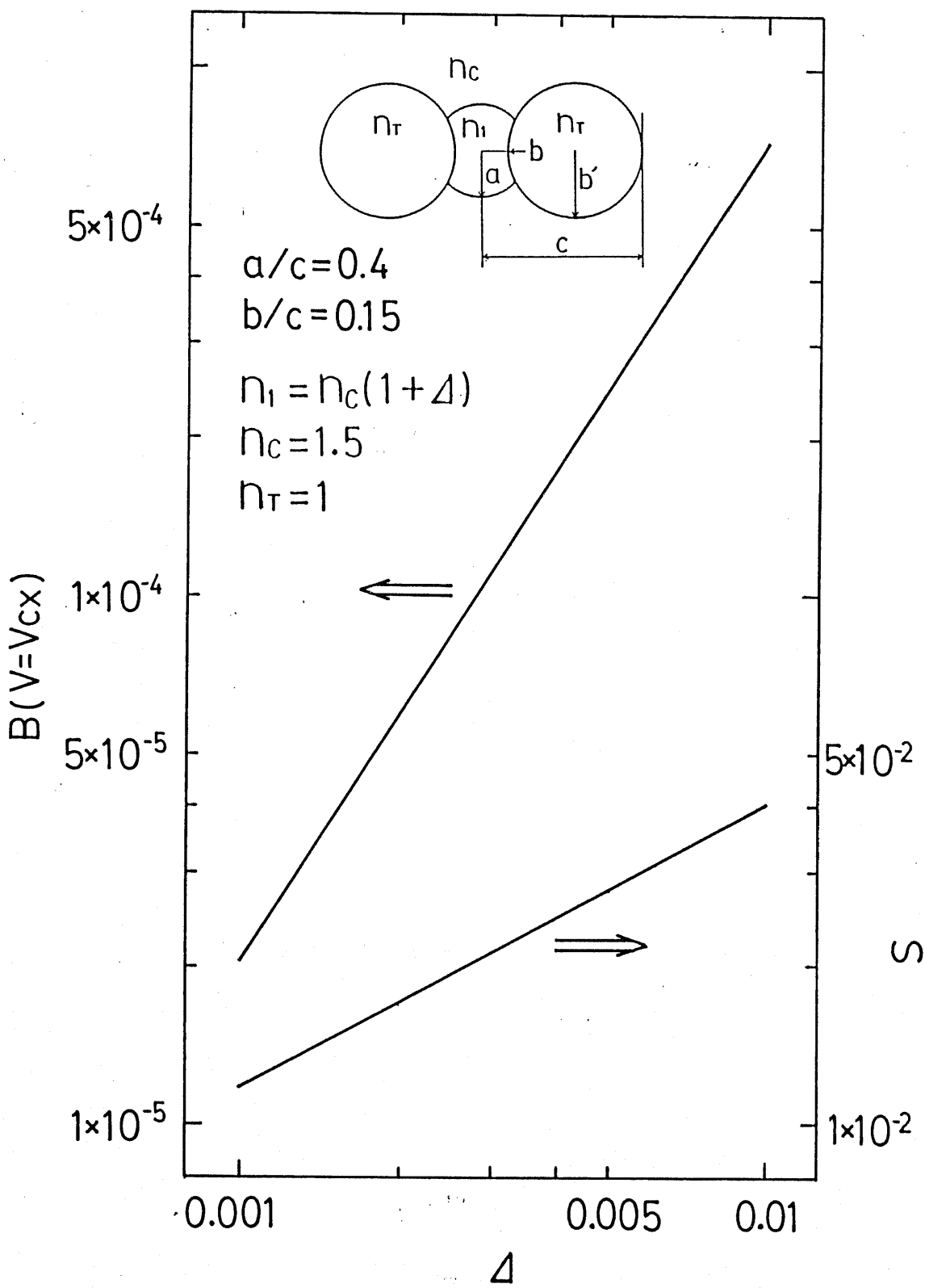


図 6-8 複屈折と比帶域のコアとクラッドの屈折率差依存性

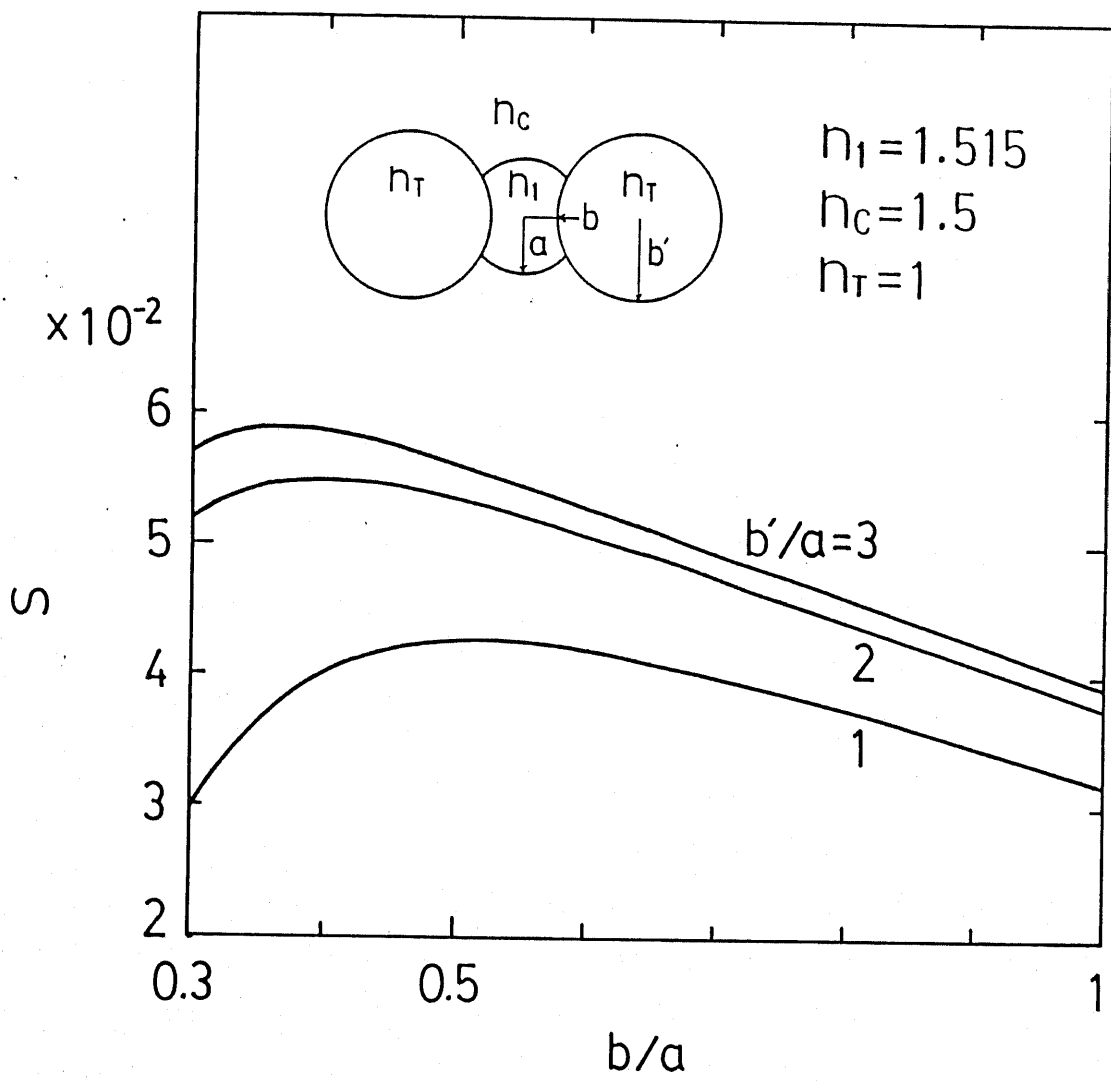


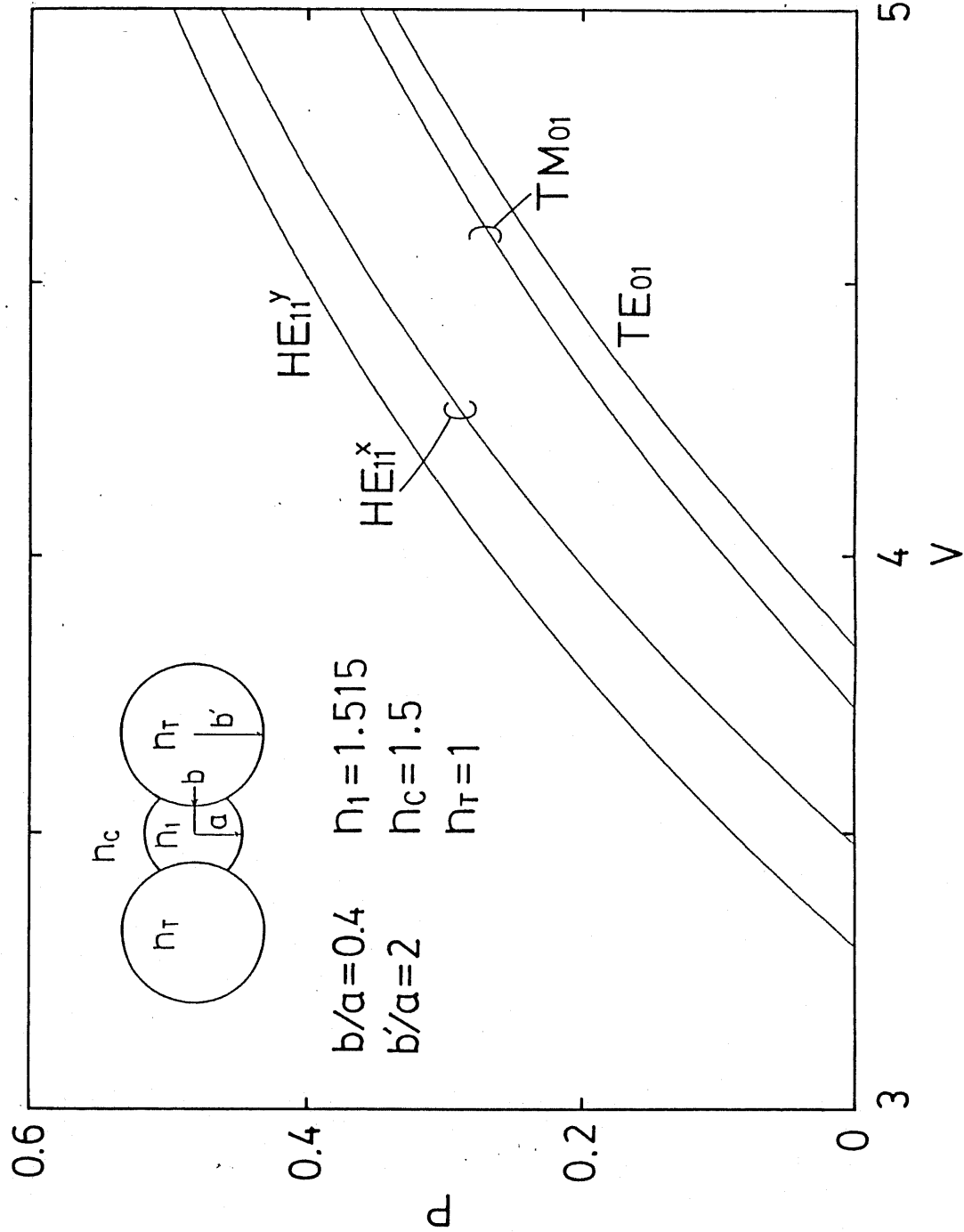
図6-9 比帶域の b/a 依存性

6-5 高次モードの異常接近現象

サイドトンネル型光ファイバにおいて、トンネルのコアへの食い込みを深くする、すなわち食い込み比 b/a を小さくすることによって、第一、第二高次モードの分散曲線が低周波数(長波長)領域に移動していき、ふたつの HE_{11} モードの分散曲線の間に入ってしまうという現象がある。これは高次モードの異常接近現象[24, 25, 28, 29]と呼ばれており、サイドトンネル型光ファイバの单一偏波特性を劣化させる原因となる。この現象は、トンネルのコアへの食い込みが深くなると、基本モードと高次モードの電磁界が類似の分布を取り、その結果として固有値(伝搬定数)も類似の値を取ることに原因があるとされている[25, 29]。

異常接近現象については、このようなごく定性的な解析は行われているが、この現象がおこる構造についての定量的な解析はまだ行われていないので、本節では異常接近現象の定量的な解析を行う。

図6-10に、コア半径に対するトンネル半径の比 $b'/a = 2$ の場合についての分散特性を示す。同図-(a)は、図6-9からわかるように比帶域が最大値を取る場合(食い込み比 $b/a = 0.4$)における分散特性であり、基本モードと高次モードの分散曲線は十分離れている。食い込み比 b/a を0.3にした同図-(b)においては HE_{11^*} モードと TM_{01} モードが極めて接近し、さらに同図-(c)のように b/a を0.25と小さくした場合にはこれらのモードの分散曲線が完全に逆転していることがわかる。このように b/a を小さくしたときに起こる「最適構造→高次モードの接近→ HE_{11^*} モードと TM_{01} モードの逆転」、という現象を b/a を横軸に取って各モードの遮断周波数によって示したのが図6-11である。この図によると、食い込み比 b/a を小さくしていった場合のふたつの HE_{11} モードの遮断周波数の増加割合が高次モードの遮断周波数のそれよりも大きいためにこのような現象が起こることがわかる。



(a) $b/a = 0.4$ (比帯域最大)

図 6-10 分散特性の b/a 依存性

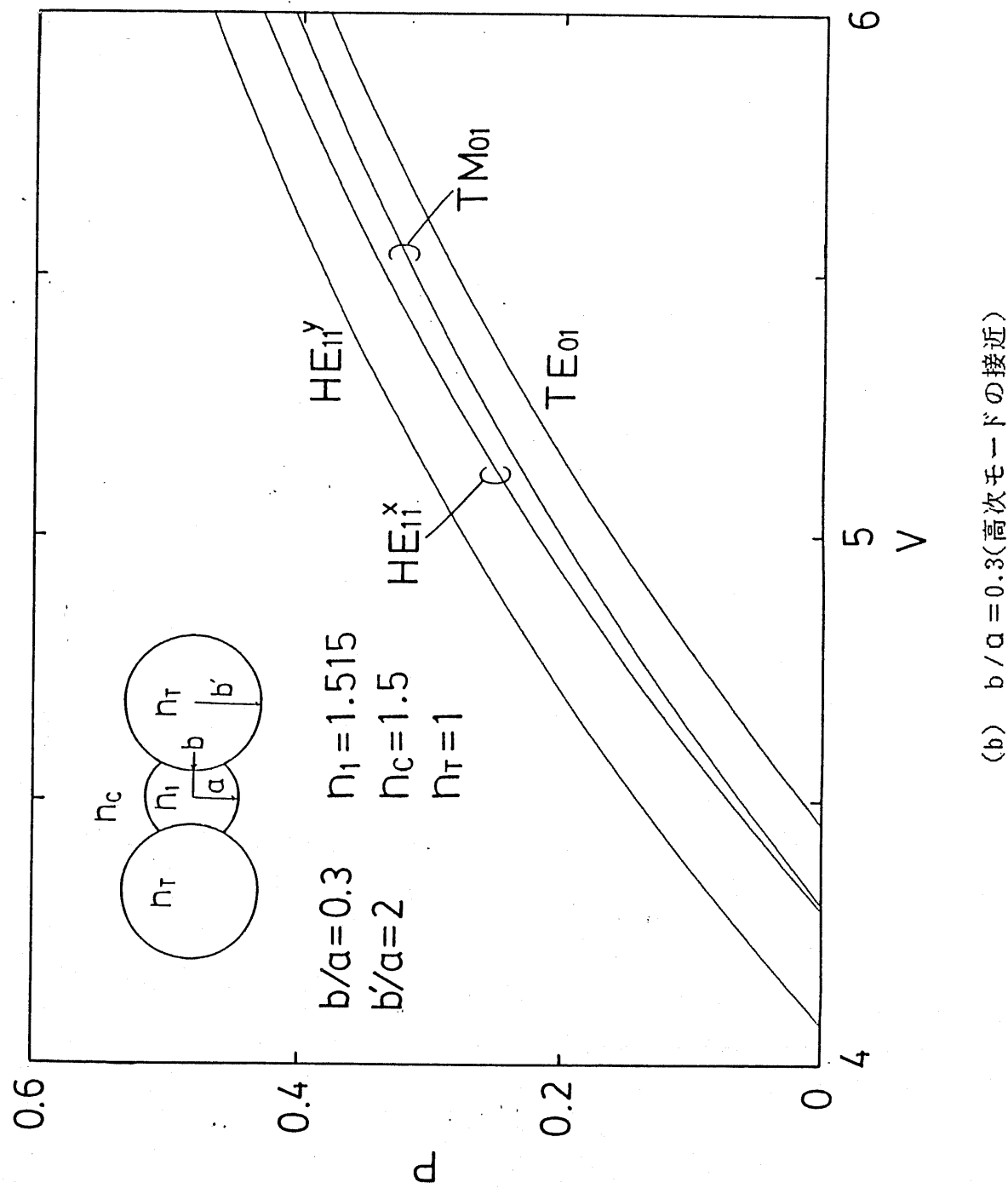


図 6-10 分散特性の b/a 依存性

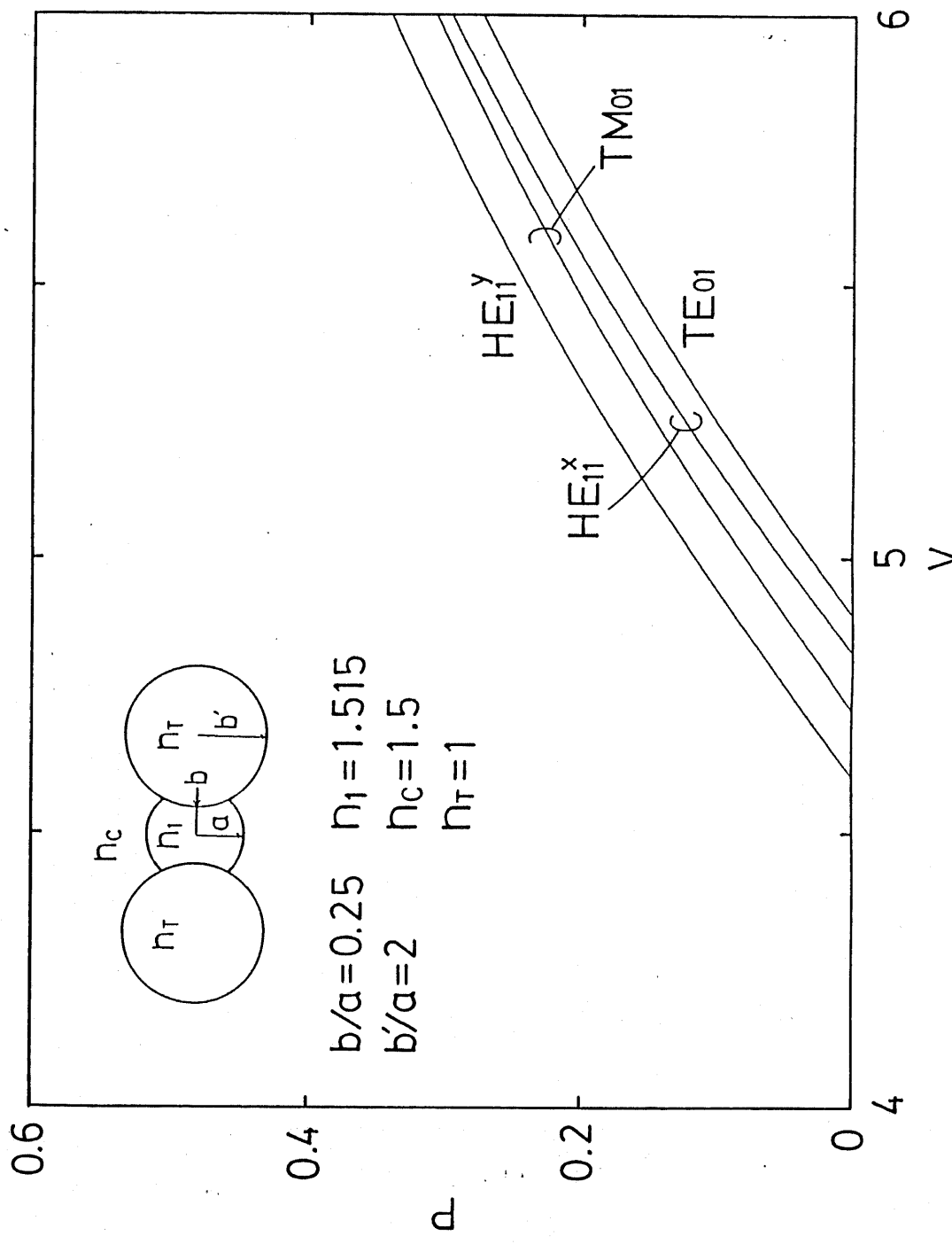


図6-10 分散特性の b/a 依存性

(c) $b/a = 0.25$ (TM_{01} モードと HE_{11}^x モードの順序の逆転)

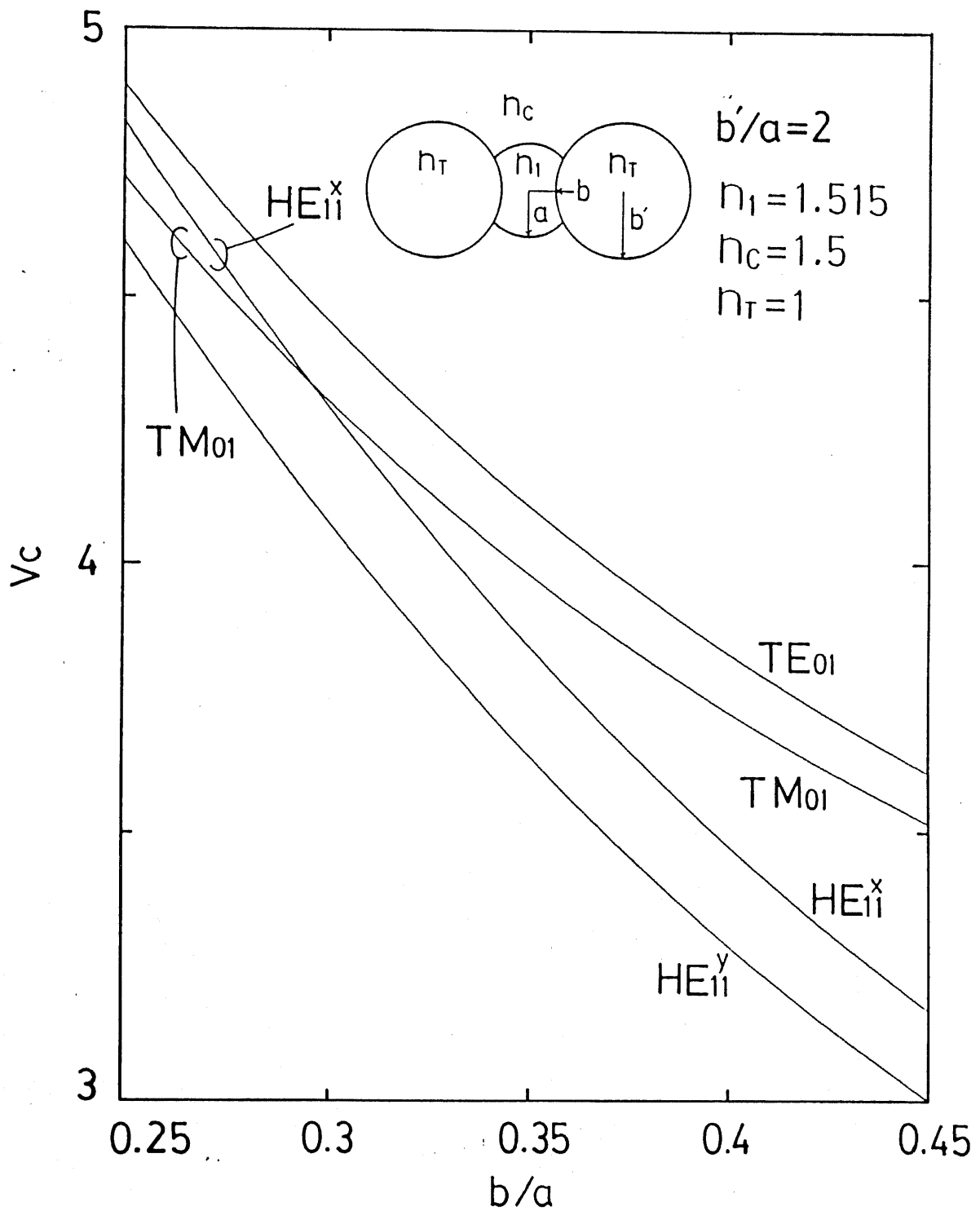


図 6-11 遮断周波数の b/a 依存性

異常接近現象の定量的解析のためには、この現象が起こる状態を定義する必要がある。ここでは高次モードの異常接近が起こるということを、食い込み比 b/a を小さくしていったときに HE_{11^*} モードと TM_{01} モードの遮断周波数が一致した状態を以て定義する。

異常接近の起こる食い込み比 b/a のトンネル半径の大きさに対する依存性を示したのが図 6-12 である。同図の横軸はコア半径に対するトンネル半径の比 b'/a 、縦軸は異常接近が起こる食い込み比 b/a である。これによると異常接近は、 $0.25 < b/a < 0.3$ の範囲で起こり、 b'/a には大きく依存しないことがわかる。この図によって、以前に行われた解析[23]において $a/c = 0.3$, $b/c = 0.05$ すなわち $b/a \approx 0.167$, $b'/a \approx 1.58$ という構造において、最高の複屈折と比帶域の値が得られるという結果が示されているが、この場合は $b/a < 0.3$ であるので高次モードの異常接近が起こり、明らかに最適構造にはなり得ない。図 6-12 には最大の比帶域を与える食い込み比 b/a の値も示してあるが、この図の範囲においては比帶域が最大値を取るときには異常接近は起こり得ない。しかし、トンネル半径 b' を大きくしていった場合は、最大の比帶域を与える食い込み比の値は小さく、すなわち食い込みが深くなっている、異常接近が起こる食い込み比の値の方に漸近して行く。

図 6-13 は、コア半径に対するトンネル半径の比 $b'/a = 2$ のときに、コアとクラッドの比屈折率差 Δ を変化させたときの異常接近が起こる食い込み比 b/a の値を示す。 Δ が大きいほど異常接近が起こる食い込み比 b/a は大きくなるが、この図の Δ の値の範囲においては大きく変化しないことがわかる。同図には、図 6-12 のように最大の比帶域を与える食い込み比 b/a の値は示していないが、前節の図 6-8 に示したように比帶域は Δ の $1/2$ 乗に比例することを考慮すれば、その値は Δ に依存しないことがわかる。

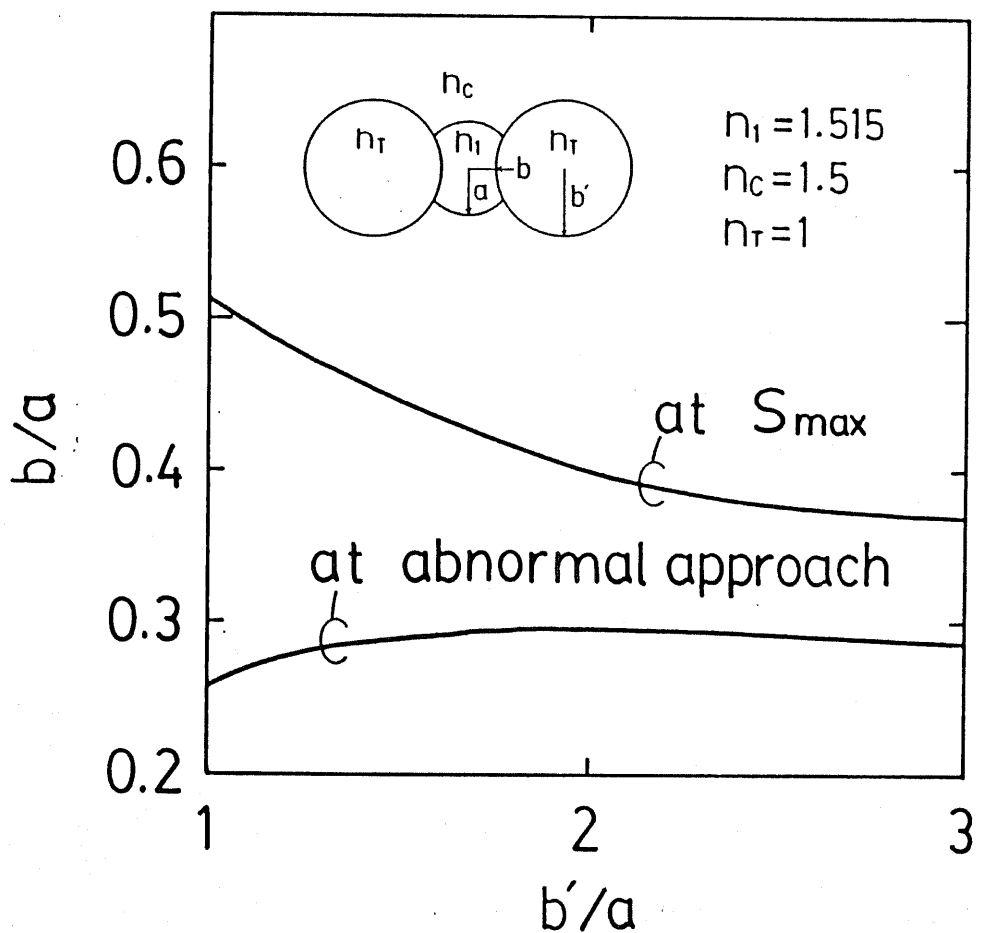


図 6-12 異常接近が起こる b/a と比帶域を最大にする b/a

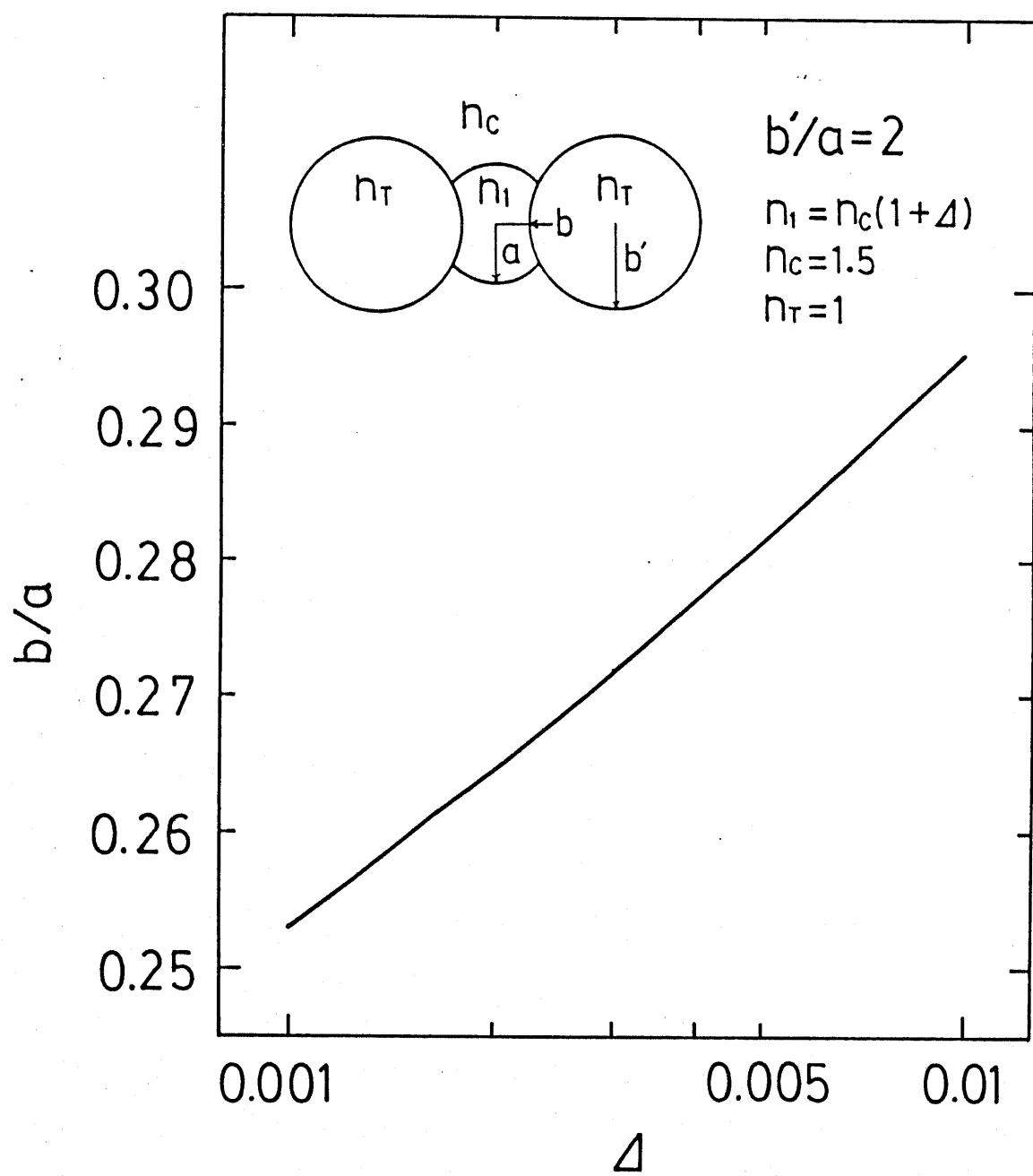


図 6-13 異常接近が起こる b/a のコアとクラッドの屈折率差依存性

6-6 最適構造の決定

本節では前節までの結果をふまえて、サイドトンネル型単一偏波光ファイバの最適構造を決定する。すなわち、本章の4節で述べたように、比帯域を最大にできる構造を決定する。

図6-9により、食い込み比 b/a を変化させたときの比帯域の最大値はトンネル半径を大きくすることによって高くすることができます。このことをより具体的に示したのが図6-14である。同図-(a)には比帯域の最大値と、そのときの構造におけるHE_{11x}モードの遮断周波数における複屈折の値を、コア半径に対するトンネル半径の比 b'/a を横軸に取って示してある。これによると b'/a を増やすと比帯域と複屈折はゆるやかに増加するが、その増加の割合は減少していく。そこでこの図を b'/a の逆数の a/b' を横軸に取って示したのが同図-(b)である。これを見ると、比帯域と複屈折が共に a/b' に対してほぼ直線的な関係をとっていることがわかる。

これらの直線を最小二乗法により求めると、次のような式となる。

$$S_{\max} \approx (6.72 - 2.49 \cdot a/b') \times 10^{-2} \quad (6-1-a)$$

$$B(V = V_{cx}) \approx (1.68 - 0.93 \cdot a/b') \times 10^{-3} \quad (6-1-b)$$

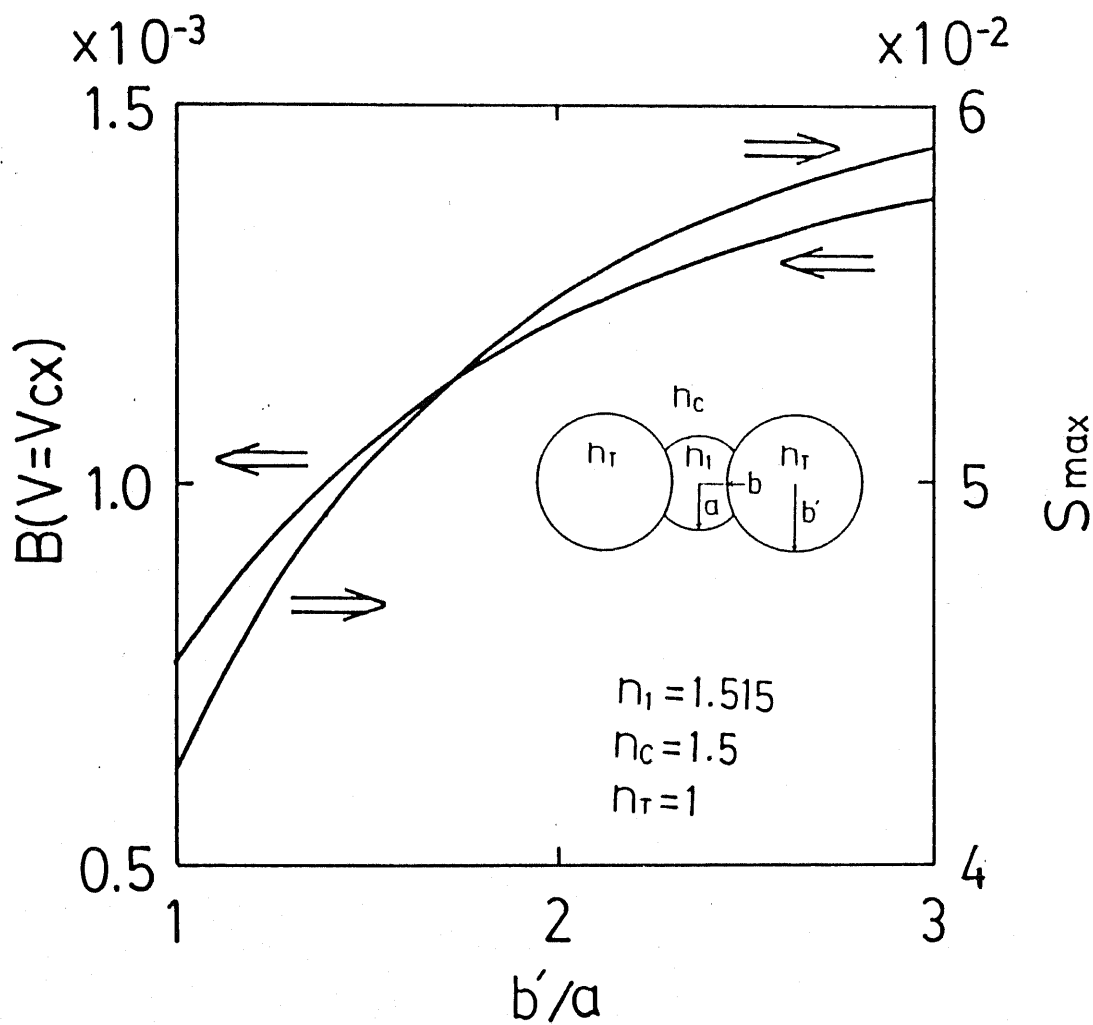
従ってトンネル半径を無限に大きくした極限においては、

$$S_{\max} \rightarrow 6.72 \times 10^{-2}$$

$$B(V = V_{cx}) \rightarrow 1.68 \times 10^{-3}$$

となり、これらの値がサイドトンネル型絶対単一偏波光ファイバが $\Delta = 0.01$ においてとりうる比帯域と複屈折の最大値となる。

ところで、前節でも示したように、トンネル半径を大きくしていくと、最大の比帯域を与える食い込み比が小さくなり、異常接近現象のおこる食い込み比に接近していく傾向がある。また、ファイバの線引過程において屈折率分布が乱されることなどを考慮すると、実際には最適値より大きな食い込み比を設定する、すなわち食い込みを浅くすることが望ましい。図6-15は、比帯域の最大値と、食い込み比 b/a を0.5とした場合の比帯域の比較を示す。これによると、食い込み比を最適値より大きくしても比帯域の値はあまり小さくならないことがわかる。



(a) 横軸 b'/a

図 6-14 比帯域の最大値とその構造における複屈折

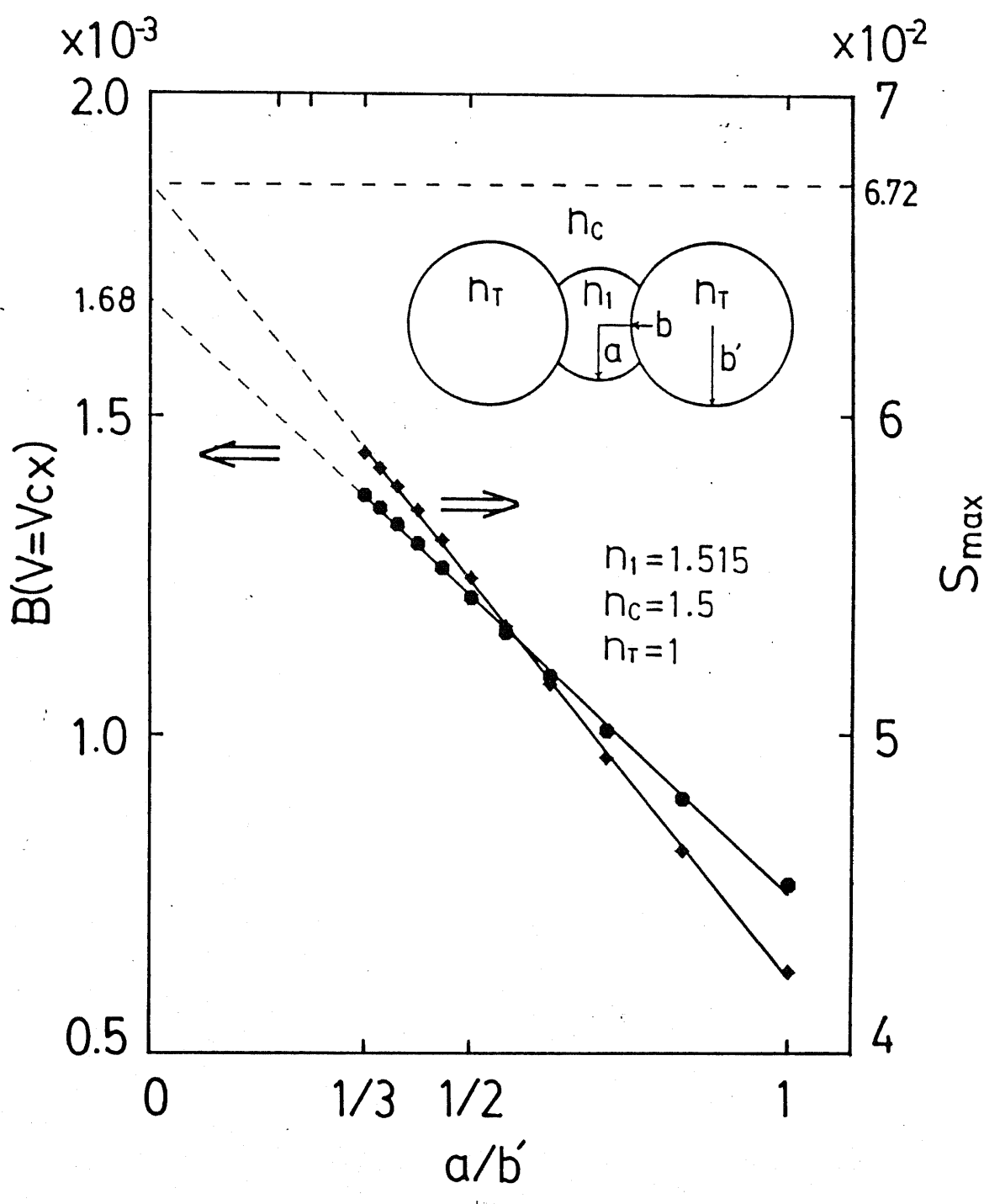


図 6-14 比帯域の最大値とその構造における複屈折

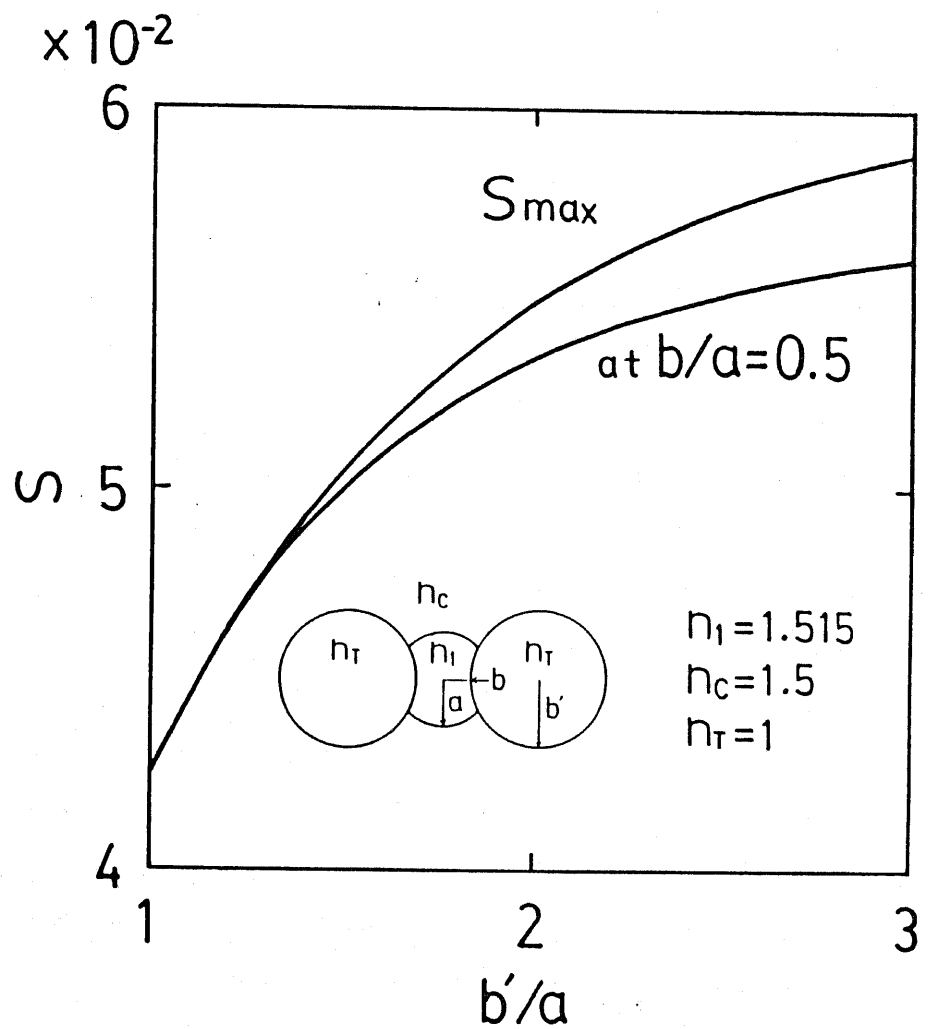


図 6-15 比帶域の最大値と $b/a = 0.5$ のときの値との比較

図6-16には、コア半径に対するトンネル半径の比 $b'/a = 2$ の場合の、 HE_{11^*} モードの遮断周波数における複屈折と比帶域コアとクラッドの比屈折率差 Δ に対する依存性を示す。同図-(a)は最大の比帶域を与える構造 ($b/a = 0.4$) について、(b)は $b/a = 0.5$ の場合についてであるが、両者を比較すると、複屈折の値もあまり小さくならないことがわかる。

以上より、サイドトンネル型絶対単一偏波光ファイバは、 b/a を 0.5 に設定すればほぼ最適な特性を持つと考えてよい。図6-17に、 $b/a = 0.5$ における比帶域と HE_{11^*} モードの遮断周波数における複屈折を示す。この図の複屈折と比帶域の値を最小二乗法解析し、コアとクラッドの比屈折率差に対する依存性を考慮に入れると、これらの値は次の近似式で表せる。

$$S \approx (6.08 - 1.14 \cdot a/b' - 0.69 \cdot (a/b')^2) \cdot (100\Delta)^{1/2} \times 10^{-2} \quad (6-2-a)$$

$$B (V = V_{cx}) \approx (1.57 - 0.81 \cdot a/b') \cdot (100\Delta)^{3/2} \times 10^{-3} \quad (6-2-b)$$

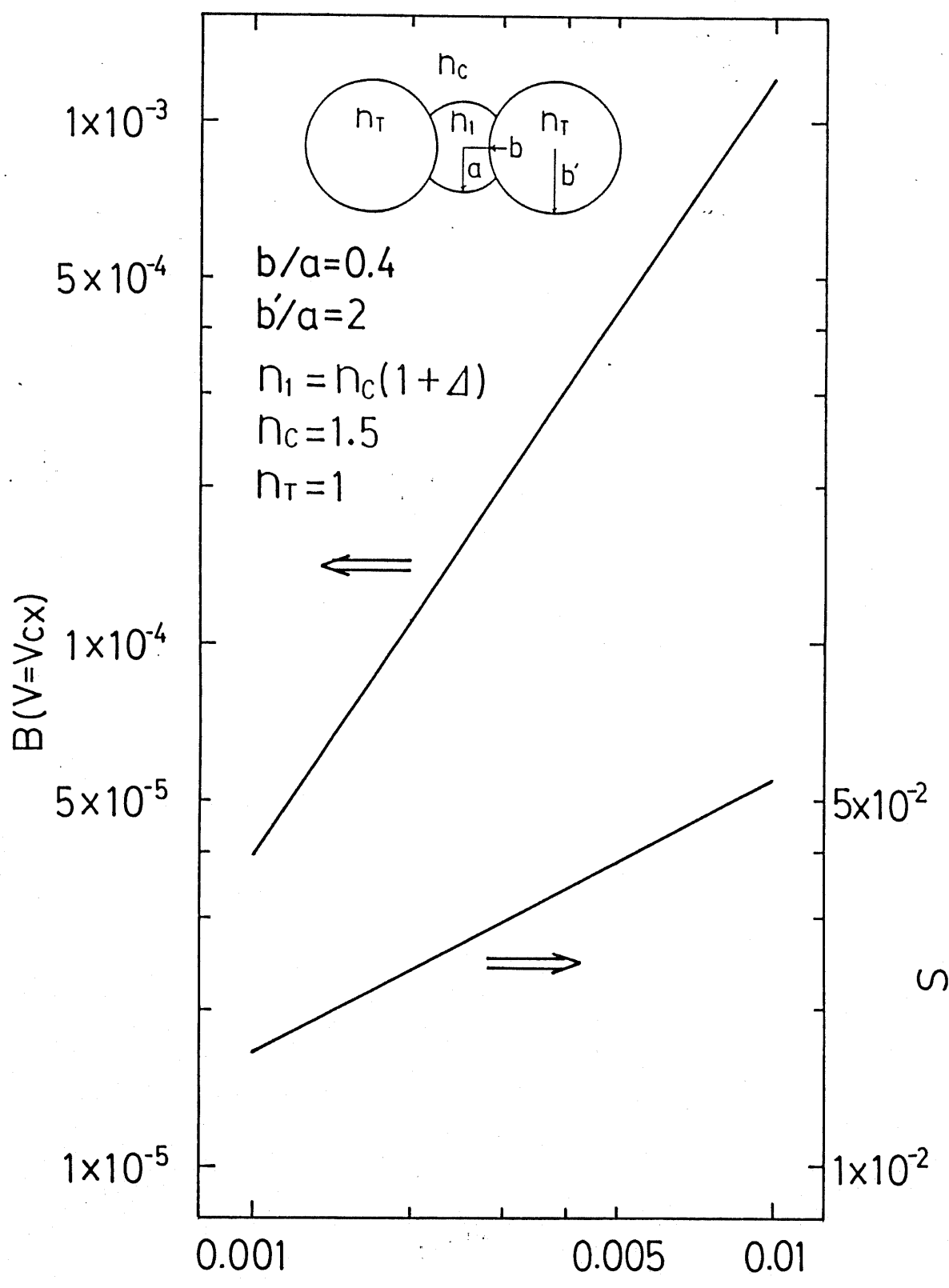
ところで、光ファイバの全複屈折は以上に解析してきた導波路構造複屈折と熱応力誘起複屈折の和によって表される[3]ので、一般的には後者の熱応力誘起複屈折も考慮する必要がある。しかしサイドトンネル型光ファイバの場合についてこのことを考えると、導波路構造複屈折のほうが支配的であるという実験結果[14]や、トンネルのコアへの食い込みが浅い ($b/a = 0.5$) 場合には導波路構造複屈折が熱応力誘起複屈折よりも一桁程度高いという数値解析結果[27]が報告されている。したがって熱応力の影響は無視できることを考えられるので式(6-2)の近似式は妥当である。

以上の結果を用いたサイドトンネル型絶対単一偏波光ファイバの設計例を示す。絶対単一偏波の波長帯域を $1.3 \mu m$ 帯、コアとクラッドの比屈折率差 Δ としては 0.01 と 0.004 (それぞれ 1%, 0.4%) の二種類を考える。トンネル半径がコア半径と比較して十分に大きいとすると、これを無限大にした極限について考えればよい。 $b/a = 0.5$ におけるふたつの HE_{11} モードの遮断周波数はトンネル半径を無限大にした極限においては

$$V_{cx} = 3.226 (\Delta = 1\%), 3.277 (\Delta = 0.4\%)$$

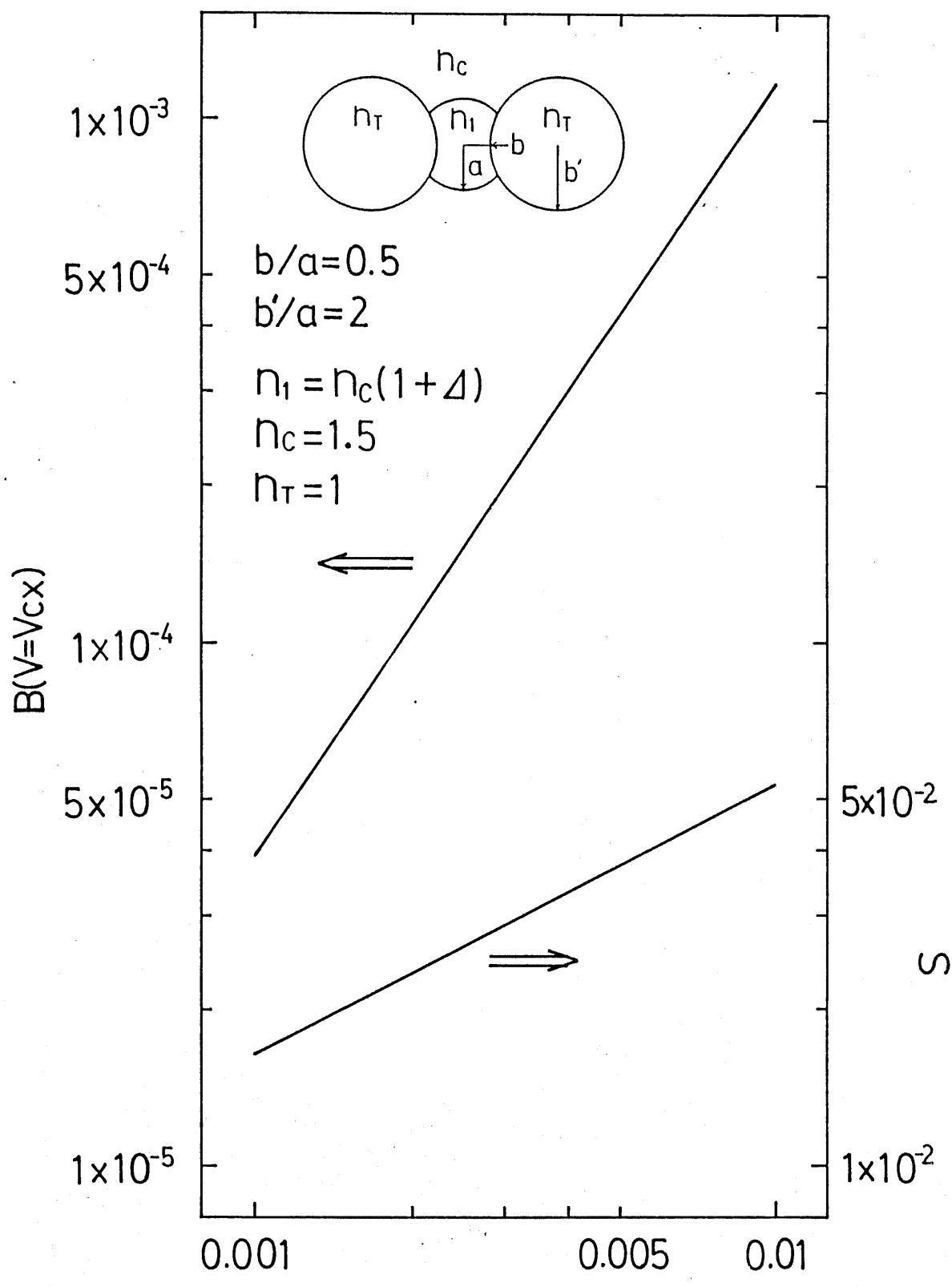
$$V_{cy} = 3.036 (\Delta = 1\%), 3.155 (\Delta = 0.4\%)$$

となる。ただし、これらの値は図6-14や図6-17に示したような最小二乗法解析により求められる。これらの値を $1.3 \mu m$ 帯における具体的な数値に変換すると、これらのサイドトンネル型絶対単一偏波光ファイバの諸元は表6-1のようにまとめられる。



(a) $b/a = 0.4$ (比帯域最大)

図6-16 複屈折と比帯域のコアとクラッドの屈折率差依存性



(b) $b/a = 0.5$

図 6-16 複屈折と比帶域のコアとクラッドの屈折率差依存性

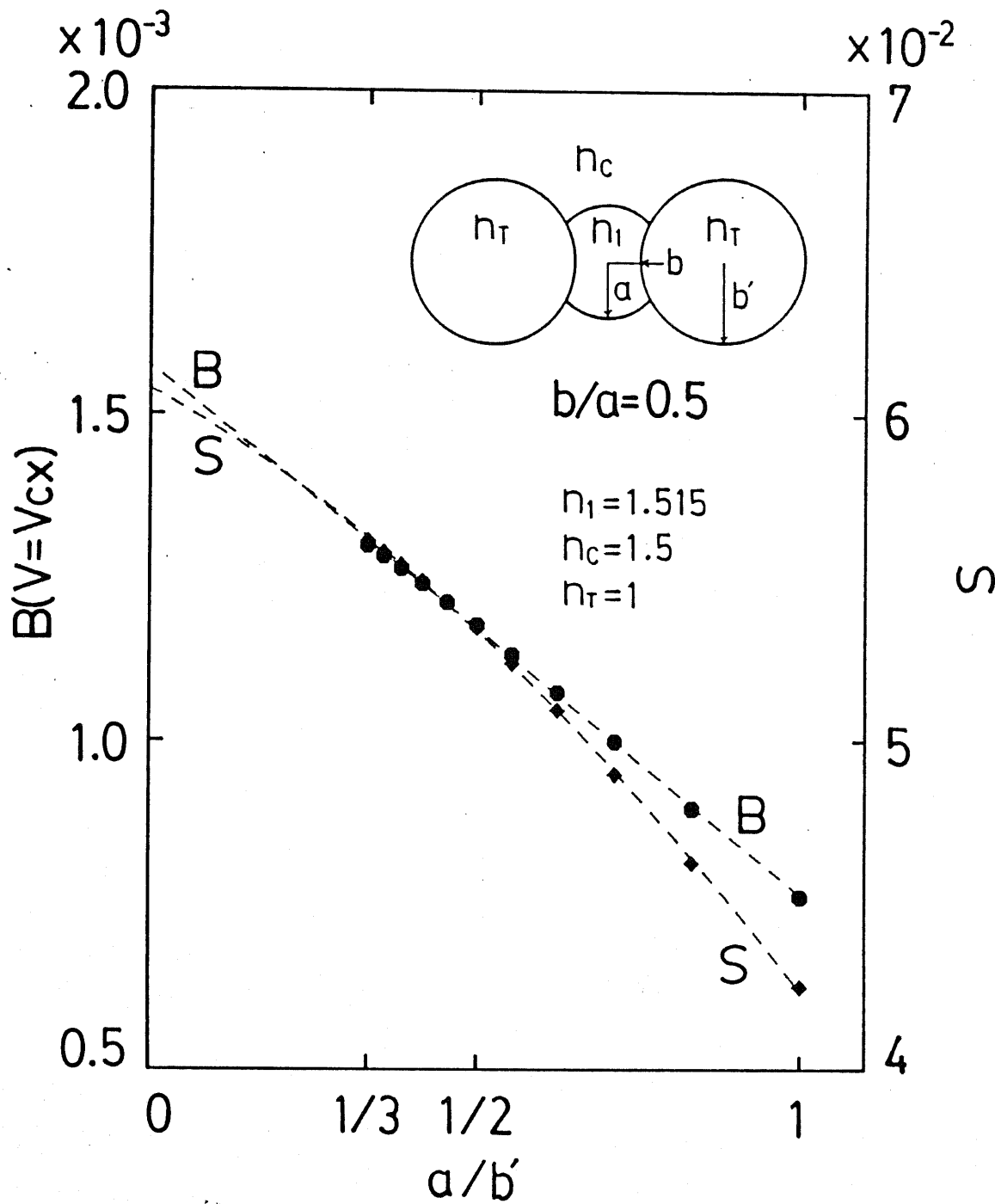


図6-17 $b/a = 0.5$ における複屈折と比帶域

表6-1 $1.3\mu\text{m}$ 帯における最適構造のサイドトンネル型光ファイバの諸元

	ファイバA	ファイバB
a	$3.1\mu\text{m}$	$5.0\mu\text{m}$
b / a	0.5	0.5
Δ	1%	0.4%
λ_{cx}	$1.28\mu\text{m}$	$1.29\mu\text{m}$
λ_{cy}	$1.36\mu\text{m}$	$1.34\mu\text{m}$
B	1.6×10^{-3}	0.4×10^{-3}
S	6.1×10^{-2}	3.8×10^{-2}

6-7 むすび

本章ではサイドトンネル型絶対単一偏波光ファイバの固有モード解析を、グリーン関数を用いない境界積分法により行った。数値解析における定式化を簡単にするために、前章で行った複合媒質光ファイバのための定式化を境界条件の考え方を工夫することによって応用した。図6-2に示されている境界の取り方におけるふたつの境界の共通部分やコア境界上の端点などのような、数値計算精度の劣化要因があるにもかかわらず、高精度の解析ができたので、図6-2のような境界条件の考え方の有効性が確認できた。すなわち、3~5章と同様にグリーン関数を用いない境界積分法の数値解析法としての有効性を確認することができた。

サイドトンネル型絶対単一偏波光ファイバの固有モード解析においては、過去に行われていなかった異常接近現象の定量的解析を行った。その結果、この現象はトンネル半径やコアとクラッドの比屈折率差などの値に大きく依存せず、トンネルのコアへの食い込み比 b/a が0.3付近において起こることが明らかになった。さらに、最適構造の決定のために、絶対単一偏波の比帯域を最大にする構造を決定し、その構造における比帯域と複屈折を与える近似式を導出し、サイドトンネル型光ファイバにおけるそれらの値の理論限界値を見積った。そして、トンネル半径を大きくしていった極限において高次モードの異常接近現象が起こることを避けるためにトンネルのコアへの食い込み比の値を大きく、すなわち食い込みを浅くして $b/a=0.5$ とした構造においても比帯域を最大にする構造とほぼ同等の特性が得られることが明らかになった。よって、 $b/a=0.5$ の構造を最適構造と決定した。この場合、トンネル径を無限大にした極限における複屈折と比帯域の値は $\Delta=0.01$ の場合に $B \approx 1.57 \times 10^{-3}$, $S \approx 6.08 \times 10^{-2}$ となることを見積った。これらの値は図6-1-(a)の構造のサイドトンネル型光ファイバ[22]における値($B \approx 1.95 \times 10^{-3}$, $S \approx 7 \times 10^{-2}$)のそれぞれ 90%, 76%程度である。

第7章 非軸対称光ファイバの損失測定

7-1 まえがき	148
7-2 測定系の構成	149
7-3 絶対単一偏波光ファイバの測定	154
7-4 考察	157
7-5 むすび	158

7-1 まえがき

本論文の第2章から第6章にわたって、非軸対称光ファイバの伝搬特性の数値解析手法について論じてきた。特に前章においては、それらの章で発展させてきた数値解析法を応用して、サイドトンネル型光ファイバの絶対単一偏波特性についての詳細な数値的検討を行った。このような伝搬特性の理論解析と同様に、実際に製造された非軸対称光ファイバの単一偏波特性の測定ということも極めて重要な課題である。現に非軸対称光ファイバの特性記述のための重要なパラメータであるモード複屈折については頻繁に測定が行われている[8,9,13,14,21]。しかし、複屈折と同様に絶対単一偏波光ファイバにおいて重要なパラメータである絶対単一偏波の比帶域についての測定はほとんど行われていないのが現状である。また、非軸対称光ファイバに対して行われている多くの伝送特性測定は偏波依存性を考慮しない伝送損失特性のみである[13]。

本章では、このように測定対象となることの少ない非軸対称光ファイバの偏波依存伝送特性の測定について論じる。非軸対称光ファイバの偏波、波長依存損失特性を測定するための実験装置を開発し、製造された非軸対称光ファイバの偏波依存伝送特性を測定し、絶対単一偏波帯域を測定する。

7-2 実験系の構成

図7-1に、測定のための実験系を示す。ハロゲンランプによる白色光源(アンリツ：MG922A 出力波長域 0.6~1.6 μm)の光を多モード光ファイバで分光器(日本光学：G250)に導く。白色光源を分光すると、その光電力は微弱になるので、後で狭帯域同期検波を行うために分光器の手前で800Hzのチョッパにより ON-OFF する。分光器の出力光を偏光子を通して被測定光ファイバに入射する。その出力光を液体窒素温度(77K)に冷却したInAs赤外光検出器(浜松ホトニクス：P838)で検出し、その光の電力に比例した光電流をプリアンプ(電流-電圧変換器)により電圧に変換し、ロックインアンプによって狭帯域同期検波する。分光器とロックインアンプに接続されたディジタル電圧計はマイクロコンピュータ(日本電気：PC-9801)によって制御され、自動測定が可能となっている。分光器の光入射側のフィルタは、分光器の回折格子における高調波の回折光の透過を防ぐものであり、0.8 μmより長波長の光のみ透過させる。したがって0.8 μmより短波長帯で測定を行う場合にはこれを除去する必要がある。

この実験系の性能を評価するために、測定のダイナミックレンジ(S/N比)を見積もってみる。まず、実験系が発生する雑音について考える。ただし簡単のため、雑音は光検出器とプリアンプの発生する雑音のみとする。プリアンプの回路およびその雑音等価回路は図7-2-(a),(b)に示すとおりである。雑音源としては光検出器(液体窒素温度における1 MΩの内部抵抗)と帰還抵抗(1 MΩ)が発生する熱雑音、演算増幅器(アナログデバイス：AD503)の入力換算雑音(15 μV / √100kHz)という三つを考えればよい。これらによるプリアンプの出力における帯域1Hzあたりの雑音電圧の二乗平均値は、

図7-2中の記号を用いると、

$$\begin{aligned} \overline{V_{no}^2} &= \left(1 + \frac{R_f}{R_i}\right)^2 \overline{V_{mA}^2} / 10^5 + \left(\frac{R_f}{R_i}\right)^2 \overline{V_{ni}^2} + \overline{V_{nf}^2} \\ &= 4 \overline{V_{mA}^2} + 4 k_b (T_i + T_f) R_i \end{aligned} \quad (7-1)$$

のように書くことができる。ここで、kはボルツマン定数(1.38×10^{-23} J/K)、 T_i, T_f はそれぞれ雑音源の温度(77Kと300K)である。

式(7-1)に数値を代入して計算すると、これは約 3×10^{-14} V²/Hzとなる。すなわちこれはロックインアンプの入力において約 $\sqrt{3} \times 10^{-7}$ V / √Hz の雑音となる。一方、

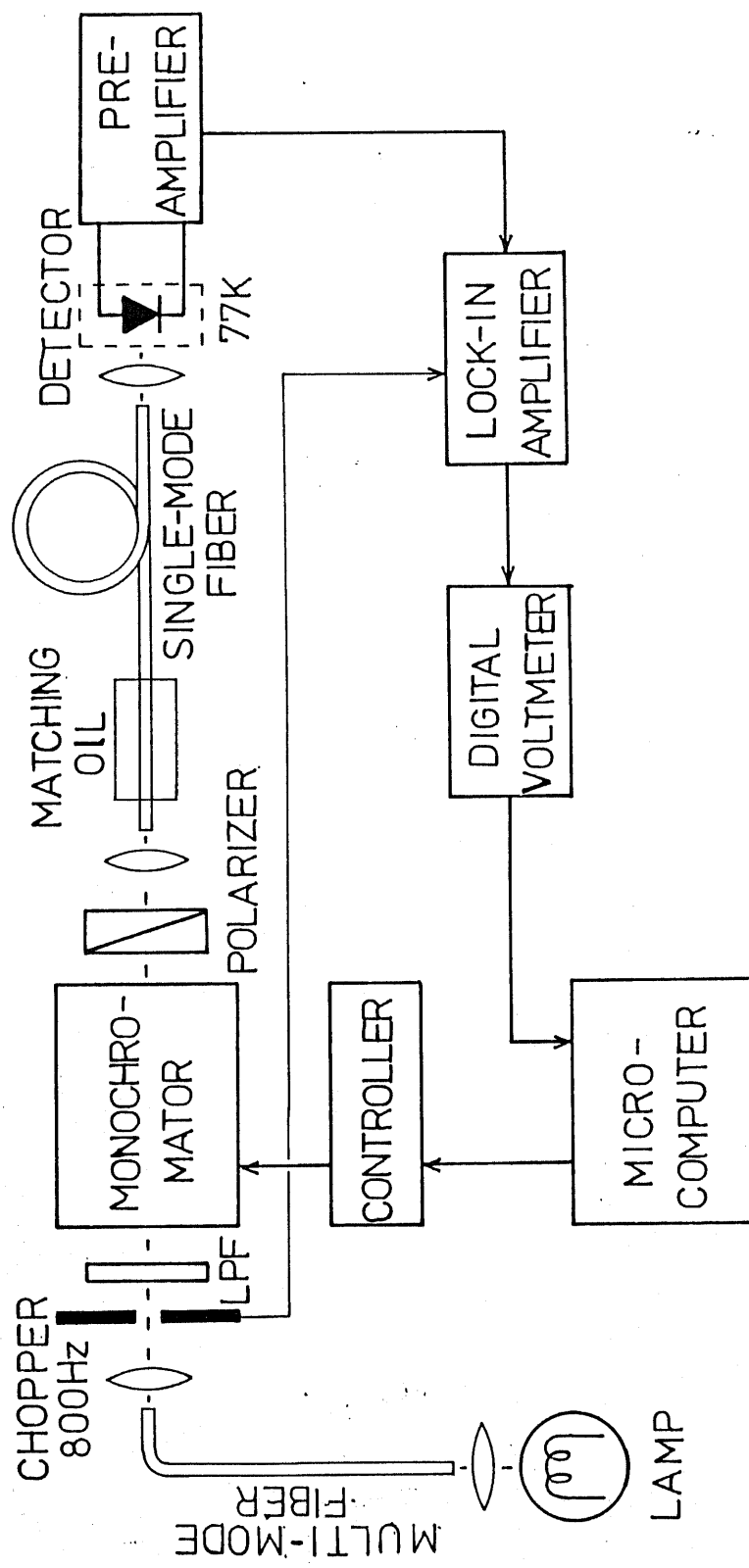
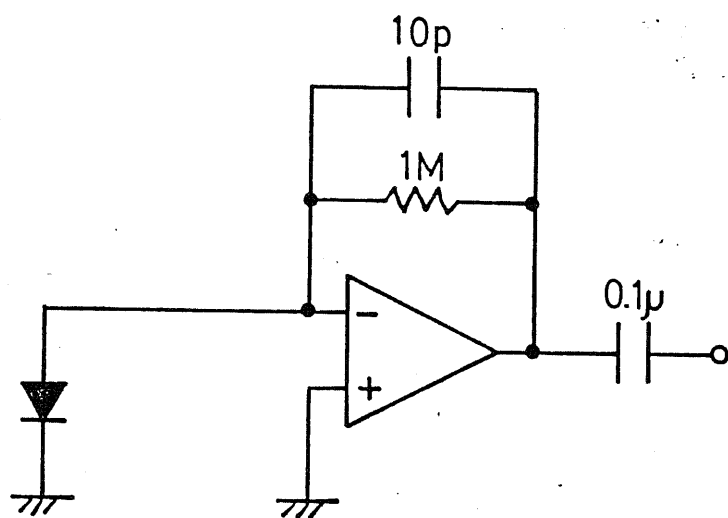
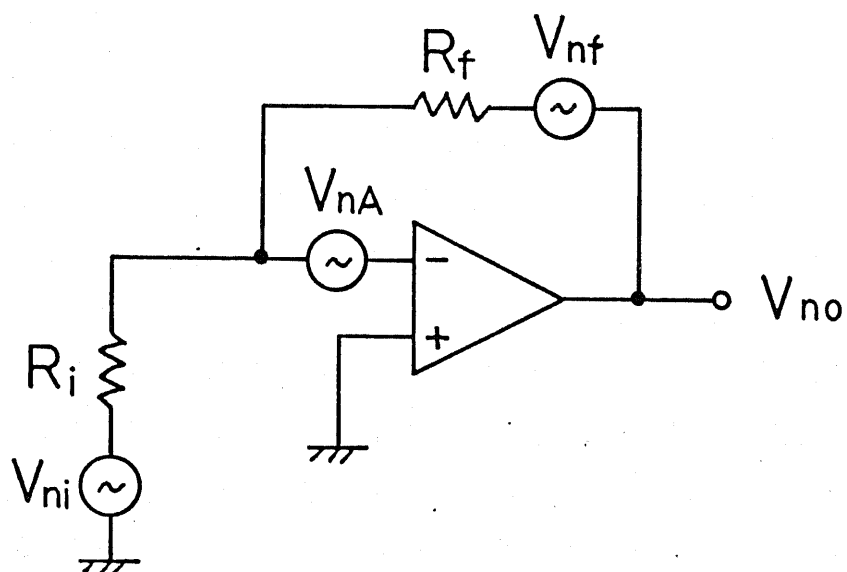


図7-1 非軸対称光ファイバの偏波依存損失測定のための実験系



(a) 回路図



(b) 雜音等価回路

図7-2 プリアンプの回路

光を検出器に入力しない状態においては雑音の測定値として $1.9 \times 10^{-7} \text{ V}/\sqrt{\text{Hz}}$ を得たので上記の見積りはほぼ正しいことになる。

次に、測定感度を調べるために分光器の出力部の偏光子を取り除き、光を長さ約 1 m の単一モード光ファイバを通して検出器に入射して、検出器の出力電圧を測定したところ、 $1.3 \mu\text{m}$ において $120 \mu\text{V}$ の出力を得た。これより、帯域が 1 Hz のときのダイナミックレンジは、 $10\log(120 \times 10^{-6} / 1.9 \times 10^{-7}) \approx 28$ より最大で 28dB となる。非軸対称光ファイバの偏波依存伝送特性測定の場合には偏光子を分光器の出力部に挿入しなければならず、そのうえ分光器の回折効率が偏波依存性を有するので、ダイナミックレンジは上記のものよりは劣化するが、20dB程度は取れると考えられる。また、狭帯域同期検波の帯域を狭くすることによってダイナミックレンジを改善することができる。

上記のダイナミックレンジの計算においては光電流によるショット雑音は考慮しなかったのは、熱雑音と演算増幅器の雑音が支配的であることによる。試みに、 $120 \mu\text{V}$ のプリアンプ出力を得るための入力光電流のショット雑音による出力換算雑音電圧を計算すると、

$$V_{\text{shot}}^2 = 2 e \times I (= 120 \times 10^{-6} / 1 \times 10^6) \times (1 \times 10^6)^2 \approx (6.2 \times 10^{-9})^2 \text{ V}^2/\text{Hz}$$

となり、上記の計算における雑音電圧 ($\sqrt{3} \times 10^{-7}$)² V²/Hz よりも十分小さいことがわかる。

この測定装置の動作の確認のために、分光器の出力部の偏光子を取り除いて長さ 3.2 km の通常の軸対称単一モード光ファイバの波長依存損失特性をカットバック法(光ファイバの長さが 3.2 km と 1 m の場合の出力電力を比較する)[3]によって測定した。測定結果を図 7-3 に示す。 $1.1 \mu\text{m}$ 付近において損失のピークがあるが、これは高次モードの遮断波長がこの付近にあるための高次モードへの結合による損失の増加である。これはカットバック法において光ファイバの長さが短いときにはこのように測定されてしまう。図中の……は製造会社(古河電工)の提供した測定データである。両者は高次モードの遮断波長付近以外では良く一致しており、測定装置が正常に動作していることを確認した。

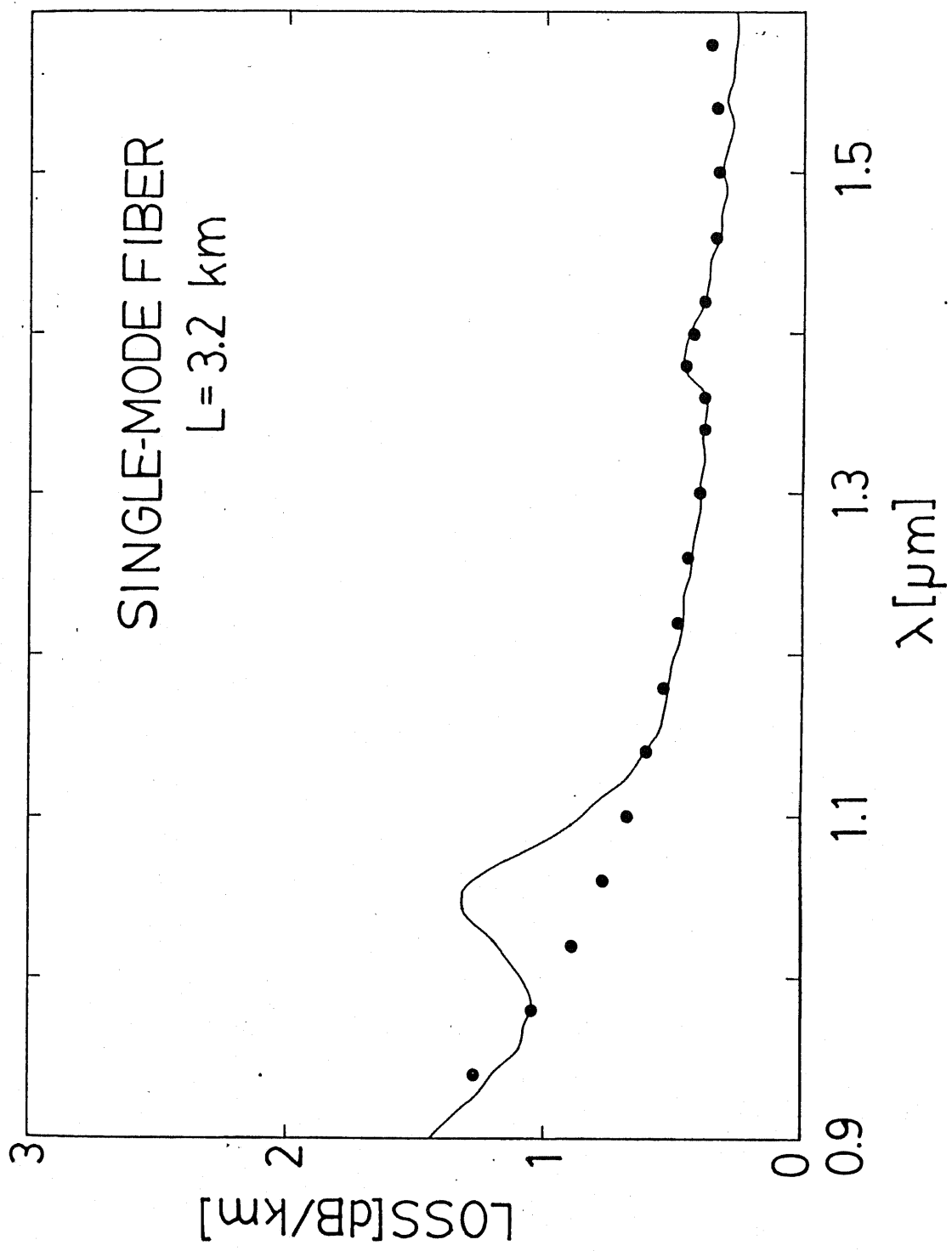


図7-3 軸対称単一モード光ファイバの損失特性

7-3 絶対単一偏波光ファイバの測定

本節では前節の測定装置による絶対単一偏波光ファイバの偏波依存伝送特性の測定について述べる。

偏波依存伝送特性を測定するためには被測定光ファイバの主軸を定めなければならない。非軸対称光ファイバの主軸は、光ファイバにレーザなどのコヒーレンスの高い光波の直線偏波を入射して、その偏波の方向を可変して出力の偏波状態も直線偏波となる偏波方向によって定めることができるが、測定対象とする光ファイバを絶対単一偏波光ファイバに限定すると図7-1の実験系を用いてもこれを行うことができる。すなわち、分光器を掃引して適当な波長に設定したときに光出力が0となるような偏光方向を見つければよい。

図7-4にPANDA型単一偏波光ファイバ[12]の測定結果を示す。この光ファイバはクラッド内の B_2O_3 をドープしてある円形の熱応力付与部によって応力誘起複屈折を得ているが、 B_2O_3 をドープした部分の屈折率がクラッドよりも低いために絶対単一偏波特性を示す。同図-(a)に長さ1mの光ファイバのふたつの主軸に対する光の伝送特性を示す。長波長側においては出力が0となり、ふたつの偏波の伝搬モードが異なる遮断波長を持っている様子がわかる。

図7-4-(b)に、長さ85mの同じ光ファイバの偏波依存損失特性のカットバック法による測定結果を示す。これによってふたつのモードが遮断波長を持つ様子が同図-(a)よりも明確にわかる。これにより、被測定光ファイバの絶対単一偏波の比帶域を求めてみる。同図より、ふたつのモードの遮断波長は

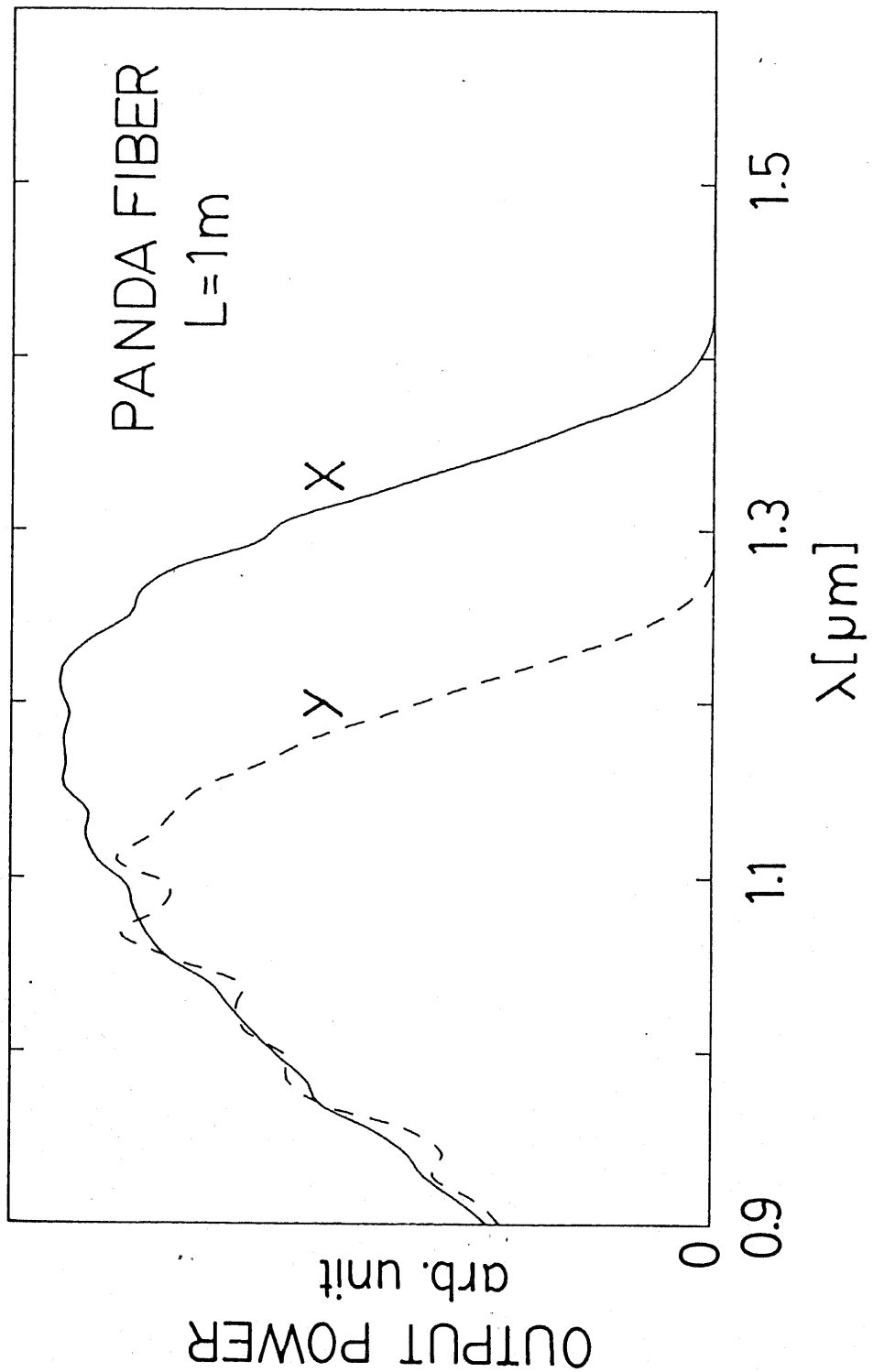
$$\lambda_{cx} = 1.08 \mu m$$

$$\lambda_{cy} = 1.25 \mu m$$

となる。よってこの光ファイバの比帶域Sは式(5-9)より、

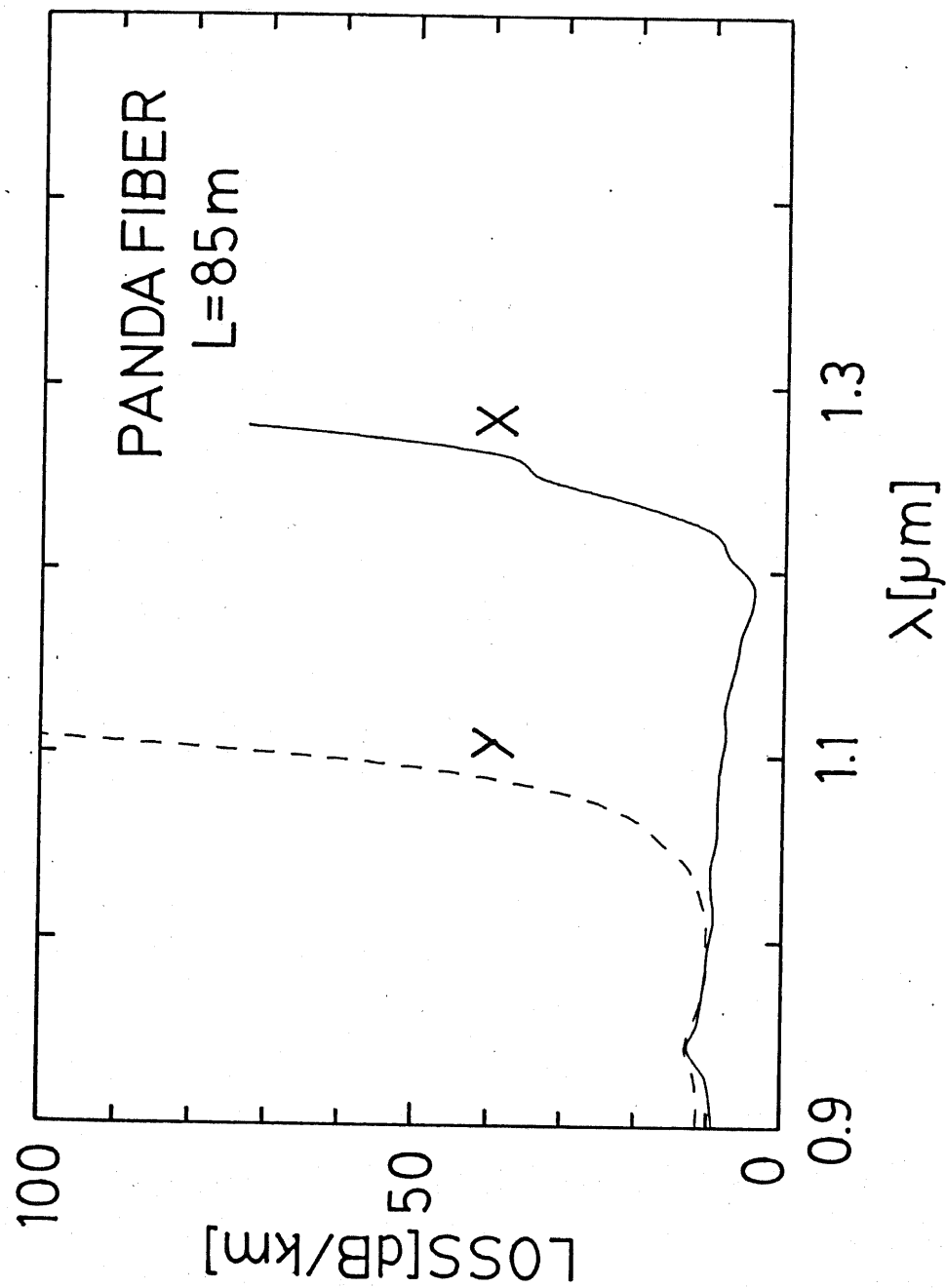
$$S \approx 0.15$$

となる。



(a) 長さ 1m の光ファイバの伝送特性

図 7-4 PANDA型単一偏波光ファイバの伝送特性



(b) 偏波依存損失特性

図7-4 PANDA型単一偏波光ファイバの伝送特性

7-4 考察

前節で行ったPANDA型单一偏波光ファイバの絶対单一偏波特性の測定においては絶対单一偏波の比帶域として、0.15という値が得られている。この値は、第6章におけるサイドトンネル型絶対单一偏波光ファイバの解析においても見られなかった大きな値である。これはPANDA型单一偏波光ファイバにおいては单一偏波特性は、主として第6章で解析したような構造誘起複屈折ではなくて熱応力誘起複屈折によるもので、これが大きいことに伴って比帶域も大きくなるためと考えられる。また、この光ファイバにおいては曲げの助けを借りることなく図7-4に示すような絶対单一偏波特性を測定できたので、この光ファイバは絶対单一偏波光ファイバとして極めて良好な特性を持つといえる。このような曲げの助けを借りることなく絶対单一偏波を実現できる光ファイバの例としては、PANDA型单一偏波光ファイバと同様な熱応力付与型のBow-Tie型絶対单一偏波光ファイバ[9]がある。

この光ファイバにおいてもPANDA型とほぼ同程度の比帶域が得られている[5]。

PANDA型单一偏波光ファイバの測定の他に、表7-1の諸元(記号の定義は第6章と同様)を持つサイドトンネル型絶対单一偏波光ファイバの測定も試みたが、この測定装置において測定可能な $0.5\sim1.5\mu m$ の波長領域において光が伝搬しなかった。第6章で行った数値解析を利用してファイバAの遮断周波数を見積もってみると、

$$V_{cx} \approx 7.74$$

$$V_{cy} \approx 7.53$$

より、

$$\lambda_{cx} \approx 0.54\mu m$$

$$\lambda_{cy} \approx 0.56\mu m$$

を得る。したがって $0.54\mu m$ 以上の波長帯においても光は伝搬するはずだが、これらの光ファイバにおいてはコアよりも屈折率が0.4%低いクラッドの外側に、コアよりも屈折率が0.1%低いもうひとつのクラッドが存在するので、このことによって実効的な遮断波長がさらに短波長側にずれているために光が伝搬しないと考えられる。ファイバBについては、その諸元をファイバAと比較すれば遮断波長がさらに短波長側にずれていることは明らかである。

表7-1 サイドトンネル型絶対単一偏波光ファイバの諸元

	ファイバA	ファイバB
a	10 μ m	10 μ m
b/a	0.17	0.09
Δ	0.4%	0.4%

7-5 むすび

本章では非軸対称光ファイバの偏波依存伝送特性測定装置の開発を行い、これを用いた絶対単一偏波光ファイバの波長と偏波に依存した損失特性の測定を行った。測定装置に関しては、そのダイナミックレンジが20dB程度取れるので、非軸対称光ファイバの偏波依存損失が十分測定可能である。実際の測定においてはPANDA型単一偏波光ファイバの偏波依存損失特性を測定した。このような熱応力付与型の光ファイバにおいては曲げの助けを借りることなく広い絶対単一偏波の比帶域が得られることを確認した。また、曲げの助けを借りなければ絶対単一偏波特性を示さない光ファイバについては測定する機会がなかったが、これについても十分測定が可能であると考えられる。サイドトンネル型絶対単一偏波光ファイバの測定も試みたが、その諸元がこの測定装置の測定可能な波長範囲から外れているために測定ができなかった。前章で設計したような諸元を持つサイドトンネル型光ファイバが製造されることを期待したい。

第8章 結論

以上の7章にわたって非軸対称光ファイバの伝搬特性の解析、測定手法について論じてきた。

第2章において提案し、第3～6章にわたって応用範囲を広げていったグリーン関数を用いない境界積分法は、それらの章における解析結果が示すように、一般の区分的均質媒質における二次元ヘルムホルツ方程式の境界値問題の数値解法として極めて有効であり、従来の何種類かの電磁界数値解析法と比較しても遜色ない解析法であることを確認した。特に通常の境界要素法との比較においては、その持つ高精度な解析ができるという性質をそのまま受け継ぎ、なおかつ定式化が容易になるという利点を持っていることがわかった。特に第4章以降の光ファイバの固有モード解析においては、境界上の未知関数をフーリエ三角級数展開することによって境界条件の扱いが極めて容易になることも明らかになった。このような電磁界のフーリエ級数展開法は、境界上に端点が存在する場合、境界が複合媒質中に複数個存在する場合にも容易に適用できることがわかった。しかし、この解析法については、境界上の端点による電磁界の不連続性を考慮できるような電磁界の展開法、三つの境界が一点で接続されている場合の境界条件の適用法、および伝搬モードの遮断周波数を正確に求めるための定式化などの改良の余地が残されている。

非軸対称光ファイバの伝搬特性解析については、第6章のサイドトンネル型絶対単一偏波光ファイバを中心として行った。ここにおいてはサイドトンネル型光ファイバの絶対単一偏波光ファイバとしての詳細な特性が明らかになった。問題となっていた高次モードの異常接近現象は、構造を適当に変化させることによって性能を大きく劣化させることなく回避できることが明らかになった。しかし、サイドトンネル型光ファイバが以前に報告されているほどは高い単一偏波特性は持っていないことも明らかになった。

第7章において構成した非軸対称光ファイバの偏波依存伝送特性測定装置は、いくつのかの測定結果によって有効に動作することがわかった。そして、この装置による測定によって絶対単一偏波光ファイバの比帶域を見積もることが可能となった。この装置について今後改善されるべき点は、測定精度の向上のためにダイナミックレンジを広く取れるようにすることであろう。

本論文が、光ファイバ通信および計測、電磁界の数値解析などの研究分野において役に立つがあれば、筆者に取って望外の喜びである。

謝 辞

本論文は、筆者が昭和59(1984)年4月1日から昭和62(1987)年3月31日にわたって、東京大学大学院工学系研究科第一種博士課程電子工学専門課程に在学中に行った研究をまとめたものである。

本論文の研究を進めるにあたって、その端緒を与えられ、終始懇切丁寧な御指導と有益な御討論、御助言を頂いた大越孝敬教授に感謝の意を表する。実験装置について御助言を頂いた菊池和朗助教授(現在、米国ベル研究所に出張中)に感謝の意を表する。実験装置の製作に御協力頂いた大越研究室の石橋隆一氏、ならびに電気電子工学科工作室の香取昌氏と渋谷武夫氏に感謝の意を表する。

研究室が近いよしみで通学途中の電車の中で度々御討論頂いた本学電子工学科の神谷武志助教授、大越研究室OBで工学部境界領域研究施設の保立和夫講師に感謝の意を表する。同じく大越研究室OBで、㈱古河電工中央研究所の張栄基氏には、光ファイバの測定実験についてのさまざまなノウハウを伝授して頂いた。ここに感謝の意を表する。

本論文における数値解析において用いた有限要素法解析のデータを提供して下さった大越研究室大学院生の石田修氏、ならびに単一モード光ファイバの長さの測定をOTDRによって行って頂いた菊地研究室大学院生の内藤崇男氏に感謝の意を表する。

本論文において測定を行ったPANDA型光ファイバは㈱日本電信電話茨城電気通信研究所の岡本勝就氏に、サイドトンネル型光ファイバは㈱住友電工の星川政雄氏、西村正幸氏にそれぞれ御提供頂いた。ここに感謝の意を表する。

本学外においては、積分方程式を用いた数値解法について貴重な御討論と御助言を頂いた大阪大学工学部の森田長吉氏、ならびに大阪電気通信大学の橋本正弘教授に感謝の意を表する。誘電体導波路の数値解析法全般について御討論頂いた北海道大学工学部の小柴正則助教授ならびに早田和弥氏、福岡大学工学部の宮本徳男夫教授、九州大学工学部の青木和男教授をはじめとする電気／電子通信学会電磁界理論研究会関係の諸氏、筆者が電気通信大学修士課程在学中の指導教官の電気通信大学山下栄吉教授ならびに厚木和彦助教授に感謝の意を表する。

最後に、研究以外の事務や行事などおいても多大な援助を頂いた大越研究室の北沢清子氏、基礎実験室の田宮寿美子氏をはじめとする東京大学電子工学科大越・菊池研究室の各位に感謝の意を表する。

なお、本論文にて行った数値計算は東京大学大型計算機センターの HITAC M-280H,
M-680H を利用した。本論文の研究は文部省特別推進研究の援助を受けた。

1986.12.20

來住 直人

來住直人

参考文献

総論

- [1] T.Okoshi:"Recent progress in heterodyne/coherent optical-fiber communications", IEEE/OSA Journal of Lightwave Tech., LT-2, pp.341-346, Aug. 1984
- [2] T.Miya,Y.Terunuma,T.Hosaka and T.Miyashita:"Ultimate low-Loss single-mode fiber at $1.55\mu m$ ", Electron.Lett., 15, pp.106-108, Feb. 1979
- [3] 大越,岡本,保立:"光ファイバ",オーム社,1983
- [4] 大越 編:"光ファイバセンサ",オーム社,1986
- [5] 大越:"光ファイバにおける偏波の諸問題",
第1回応用物理学会光ファイバセンサワークショップ,1985.7

非軸対称光ファイバ

- [6] T.Okoshi:"Single-polarization single mode optical fibers", IEEE Journal Quantum Electron., QE-17, pp.879-884, June 1981
- [7] K.Okamoto,T.Hosaka and Y.Sasaki:"Linearly single polarization fibers with zero polarization mode dispersion", IEEE Journal Quantum Electron., QE-18, pp.496-503, April 1982
- [8] 横田,西村,鈴木,矢野,星川:"サイドトンネル型单一偏波光ファイバの製作", 電子通信学会光量子エレクトロニクス研究会, OQE82-39, 1982.7
- [9] R.D.Birch,D.N.Payne and M.P.Varnham:"Fabrication of polarisation-maintaining fibres using gas-phase etching", Electron.Lett., 18, pp.1036-1038, Nov. 1982
- [10] N.Shibata,Y.Sasaki,K.Okamoto and T.Hosaka,"Fabrication of polarisation maintaining and absorption reducing fibers", IEEE/OSA Journal of Lightwave Tech., LT-1, pp.38-43, March 1983
- [11] J.R.Simpson,R.H.Stolen,F.M.Sears,W.Pleibel,J.B.Macchensney, and R.E.Howard:"A single-polarization fibers", IEEE/OSA Journal of Lightwave Tech., LT-1, 2, pp.370-374, June 1983

- [12] Y.Sasaki,T.Hosaka,K.Takada and J.Noda:"8 km-long polarisation-Maintaining fibre with highly stable polarisation state", Electron.Lett.19,19,Sept.1983
- [13] 菅沼,横田,彈塚,茗荷谷,清水:サイドトンネル型定偏波ファイバの製作”,昭和60年電子通信学会全国大会,1081
- [14] M.Tsubokawa,N.shibata,T.abe,T.Higashi and S.Seikai:"Polarisation characteristics of a side-tunnel fibre", Electron.Lett.,22,pp.1280-1281,Nov.1986

数值解析法総論

- [15] 小西:”電磁波問題へのアタックの仕方”,電子通信学会編,1977
- [16] S.M.Saad:"Review of numerical methods for the analysis of arbitrarily-shaped microwave and optical dielectric waveguides", IEEE Trans.Microwave Theory Tech.,MTT-33,pp.894-899,Oct.1985

有限要素法(変分法)

- [17] R.M.Bulley and J.B.Davies:"Computation of approximate solution to TE modes in arbitrarily shaped waveguides", IEEE Trans.Microwave Theory Tech.,MTT-17,pp.440-446,Aug.1969
- [18] C.Yeh,K.Ha,S.B.Dong and W.P.Brown:"Single-mode optical waveguides", Appl.Opt.,18,pp.1490-1504,May 1979
- [19] T.Okoshi and K.Oyamada,:"Single polarisation single mode optical fibre with refractive-index pit on both sides of core", Electron.Lett.16,pp.712-713,Aug.1980
- [20] K.Oyamada and T.Okoshi:"Two-dimensional finite element method calculations of propagation characteristics of axially nonsymmetrical Optical fibers", Radio Science,17,pp.109-116,Jan.-Feb.1982
- [21] 小山田:”非軸対称光ファイバの伝搬特性に関する研究”, 東京大学電子工学科,学位論文,1982.3
- [22] T.Okoshi,K.Oyamada,M.Nishimura, and H.Yokota:"Side-tunnel fibre :an approach to polarisation-maintaining optical waveguiding scheme.", Electron.Lett.,18,pp.824-826,July 1982

- [23] T.Okoshi,T.Aihara and K.Kikuchi:"Prediction of the ultimate performance of side-tunnel single-polarisation fibre",
Electron.Lett.,19,pp.1080-1082,Dec.1983
- [24] 大越,進藤,菊池,府川:"有限要素法によるサイドトンネル型单一偏波光ファイバの解析",信学技報,MW85-19,1985.6
- [25] 大越,石田,菊池:"サイドトンネル型光ファイバの有限要素法解析
-電磁界分布と伝搬特性",信学技報,QE86-36,1986.6
- [26] M.Koshiba,K.Hayata and M.Suzuki:"Vectorial finite element formulation without spurious modes for dielectric waveguides",
Trans.IECE Japan,E-67,pp.191-196,April 1984
- [27] K.Hayata,M.Koshiba,M.Suzuki:"Stress-induced birefringence of side-tunnel type polarization-maintaining fibers",
IEEE/OSA Journal of Lightwave Tech.,LT-4,pp.601-607,June 1986
- [28] K.Hayata,M.Eguchi,M.Koshiba and M.Suzuki:"Anomaly of modal field in side-Tunnel single-polarisation fibre",
Electron.Lett.,22,pp.838-839,July 1986
- [29] K.Hayata,,M.Eguchi,M.Koshiba and M.Suzuki:"Vectorial wave analysis of side-tunnel type polarization-maintaining optical fibers by variational Finite elements",
IEEE/OSA Journal of Lightwave Tech.,LT-4,pp.1090-1096,Aug.1986
- [30] B.M.Rahman and J.B.Davies:"Penalty function improvement of waveguides solution by finite elements",
IEEE Trans.Microwave Theory Tech.,MTT-32,pp.922-928,Aug.1984
- [31] B.M.Rahman and J.B.Davies:"Finite-Element solution of integrated optical waveguides",IEEE/OSA Journal of Lightwave Tech.,
LT-2,pp.682-687,Oct.1984
- [32] K.Okamoto,T.Hosaka and T.Edahiro:"Stress analysis of optical fibers by a finite element method",
IEEE Journal Quantum Electron.,QE-17,pp.2123-2129,Oct.1981

点整合法

- [33] J.E.Goell:"A circular-harmonic computer analysis of rectangular dielectric waveguides", Bell System Technical Journal, 51, pp.2133-2160, Sept. 1969
- [34] E.Yamashita, K.Atsuki, O.Hashimoto and K.Kamijo:"Modal analysis of homogeneous optical fibers with deformed boundaries", IEEE Trans. Microwave Theory Tech., MTT-27, pp.352-356, April 1979
- [35] E.Yamashita, K.Atsuki and R.Kuzuya:"Composite dielectric waveguides", IEEE Trans. Microwave Theory Tech., MTT-28, pp.986-990, Sept. 1980
- [36] K.Atsuki, T.Aslam and E.Yamashita,:"Modal analysis of composite dielectric waveguides with multi-boundaries in radial directions", Trans. IECE Japan, E65, pp.189-193, April 1982
- [37] 細野,日向,吉川:"円形ピットを持つ偏波面保存单一モード光ファイバの数値解析",電子通信学会論文誌(B), J66-B, pp.399-407, 1983.3
- [38] 吉川,日向,細野,鷹野:"コアとクラッドにまたがる中空の円形ピットを持つ偏波面保存单一モード光ファイバの解析",電子通信学会論文誌(B), J67-B, 1, pp.70-77, 1984.1
- [39] 日向,吉川,黒岩,細野:"円形コアの外部に円形ピットを持つ偏波面保存光ファイバの解析",電子通信学会論文誌(C), J68-C, 11, pp.893-900, 1985.11
- [40] C.C.Su:"Cutoff frequency of a homogeneous optical fiber with arbitrary cross section", IEEE Trans. Microwave Theory Tech., MTT-33, pp.1101-1105, Nov. 1985

モード整合法

- [41] 辻,繁沢,滝山:"任意形状断面を有する誘電体導波路の新しい数値解法について", 電子通信学会技術研究報告, MW81-13, 1981.5
- [42] 宮本,安浦:"モード整合法による偏波保存用楕円コア光ファイバの高精度数値解析":電子通信学会論文誌(B), J68-B, 9, pp.1003-1010, 1985.9

積分方程式を用いた解法

- [43] 森田：“電磁界問題における積分方程式の数値解法”，電子通信学会誌,68,pp.266-270,1985.3
- [44] P.C.Wateman：“Matrix formulation of electromagnetic scattering”，Proc. IEEE,53,pp.805-812,Aug.1965
- [45] R.F.Harrington：“Field computation by moment method”，Macmillan Company,1968
- [46] N.Okamoto：“Matrix formulation of scattering by a homogeneous gyrotropic cylinder”, IEEE Trans. Antennas Propagat.,Ap-8,pp.642-649,Sept.1970
- [47] N.Okamoto：“Reciprocity of electromagnetic waves scattered by anisotropic Composite obstacles”, Journal of Applied Physics,42,No.13, pp.5465-5468,Dec.1971
- [48] R.Mittra：“Computer techniques for electromagnetics”,Pergamon Press,1973
- [49] N.Morita：“A method extending the boundary condition for analyzing guided modes of dielectric waveguides of arbitraly cross-Sectional shape”, IEEE Trans.Microwave Theory Tech.,MTT-30,pp.6-13,Jan.1982

境界要素法

- [50] C.A.Brebbia：“The boundary element method for engineers”, Pentech Press,1978
- [51] T.Okoshi：“Planar circuits-for microwaves and lightwaves”,Springer,1985
- [52] T.Okoshi and N.Miyoshi：“The planar circuit-an approach to microwave integrated circuitry”, IEEE Trans.,Microwave Theory Tech.,MTT-20,No4,pp.245-252,April 1972
- [53] Y.Ayasli：“Analysis of wide-band stripline circulators by integral equation technique”, IEEE Trans.,Microwave Theory Tech.,MTT-28,No3,pp.200-209,March 1980
- [54] 鶩巣,深井：“境界要素法による電磁界開放領域問題の解析”，電子通信学会論文誌(B),J64-B,12,pp.1359-1365,1981.12
- [55] 神谷：“有限要素法と境界要素法”,サイエンス社,1982

- [56] S.Kagami and I.Fukai,"Application of boundary-element method to electromagnetic field problem", IEEE Trans., Microwave Theory Tech., MTT-28, pp.455-461, April 1984
- [57] 松原:"偏波保存光ファイバの境界要素法解析", 電子通信学会論文誌(B), J67-B, 9, pp.968-973, 1984.9
- [58] 佐野,倉蔵:"境界要素法による誘電体線路の解析", 電子通信学会論文誌(B), J68-B, 12, pp.1419-1427, 1985.12
- [59] 本間:"境界要素法による導波路解析とスプリアス解", 電気／電子通信学会研究会資料, EMT86-4, 1986.1
- [60] 梶園,戸高:"補正積分を使用した境界要素解析", 電気学会論文誌A, 106, pp.149-156, 1986.4

その他

- [61] 藤井,佐野:"だ円断面ファイバの偏波伝送特性", 電子通信学会論文誌(C), J63-C, pp.471-478, 1980.8
- [62] R.K.Varshney and A.Kumar:"Birefringence calculation in side-Tunnel optical fibers: a rectangular-core waveguide model", Opt.Lett., 11, pp.45-47, Jan. 1986
- [63] 河野,宅間:"数値電界計算法", コロナ社, 1980
- [64] 村島:"代用電荷法とその応用"森北出版社, 1983
- [65] G.N.Watson:"Theory of bessel functions", Cambridge at the University Press, 1922
- [66] 森口,宇田川,一松:"数学公式 I , II , III", 岩波全書, 1956

著者発表文献

I 本学位論文に関連する発表文献

学会論文誌

- [1] Naoto KISHI and Takanori OKOSHI:"Proposal for a Boundary Integral Formulation without Using Green's Function Problems", IEEE Transaction on Microwave Theory and Techniques(投稿中)
- [2] Naoto KISHI and Takanori OKOSHI:"Vectorial Wave Analysis of Uniform Core Optical Fibers by Boundary Integral Method without Using Green's Function", IEEE Transaction on Microwave Theory and Techniques(投稿準備中)
- [3] Naoto KISHI and Takanori OKOSHI:"Modal Analysis of Side-Tunnel Type Single-Polarization Single-Mode Optical Fibers by Boundary Integral Method without Using Green's Function", IEEE/OSA Journal of Lightwave Technology(投稿準備中)

研究会

- [1] 來住直人,大越孝敬：“グリーン関数を用いない境界積分法定式化の提案”,
電気学会／電子通信学会研究会資料,Vol.85,EMT85-31,1985年 7月25日
- [2] 來住直人,大越孝敬：“グリーン関数を用いない境界積分法(第2報)
－ 光ファイバの固有モード解析への適用 －”,電気学会／電子通信学会
研究会資料,Vol.85,EMT85-78,1985年10月22日
(電気学会／電子通信学会 電磁界理論シンポジウム)
- [3] 來住直人,大越孝敬：“グリーン関数を用いない境界積分法(第3報)
－ 複合媒質光ファイバの固有モード解析 －”,電子通信学会技術研究報告,
Vol.85,MW85-100,1985年11月29日
- [4] 來住直人,大越孝敬：“グリーン関数を用いない境界積分法(第4報)
－ 境界上の端点による計算精度の劣化 －”,電気学会／電子通信学会
研究会資料,Vol.86,EMT86-18,1986年 5月23日
- [5] 來住直人,大越孝敬：“サイドトンネル型单一偏波光ファイバの最適構造”,
光波利用センシング第1回シンポジウム,1987年1月29日(発表予定)

II その他の発表文献

- [1] 厚木和彦,來住直人,山下栄吉:"平面回路のポイントマッチング解析法",昭和58年度電子通信学会総合全国大会一般講演,No.822 ,1983年 4月 3日,東北大学
- [2] 来住直人,山下栄吉,厚木和彦:"多重コア光ファイバ結合特性の群論・ポイントマッチング法による解析",電子通信学会技術研究報告,Vol.84,No.55,MW84-15 ,1984年 6月18日
- [3] 来住直人,山下栄吉,厚木和彦:"多重コア光ファイバ結合特性のヒュッケル近似法による解析",電子通信学会技術研究報告,Vol.84,No.55,MW84-16 ,1984年 6月18日
- [4] 来住直人,厚木和彦,山下栄吉,小手川賢二:"複合媒質平面回路のポイントマッチング法による解析",電子通信学会論文誌,Vol.J-67-b,No.9,pp994-995,1984年 9月
- [5] Eikichi YAMASHITA,Naoto KISHI and Kazuhiko ATSUKI,"Modal Analysis of Optical Fibers with Circularly Distributed Cores and a Central Core",SINO-JAPANESE JOINT MEETING ON OPTICAL FIBER SCIENCE AND ELECTROMAGNETIC THEORY ,Beijing,China, May 16-19,1985
- [6] Naoto KISHI,Eikichi YAMASHITA and Kazuhiko ATSUKI:"Modal and Coupling Field Analysis of Optical Fibers with Circularly Distributed Multiple Cores and a Central Core",IEEE/OSA Journal of Lightwave Technology,vol.LT-4,Special Issue on Fiber, Cable and Splicing Technology, Aug.1986

付 錄

- | | | |
|---------------------------|-------|-----|
| A 円柱調和関数の円周上における線積分の解析的表示 | | 173 |
| B プログラムリスト | | 183 |

A 円柱調和関数の円周上における線積分の解析的表示

A - 1 Grafの加法定理による円柱調和関数の表現

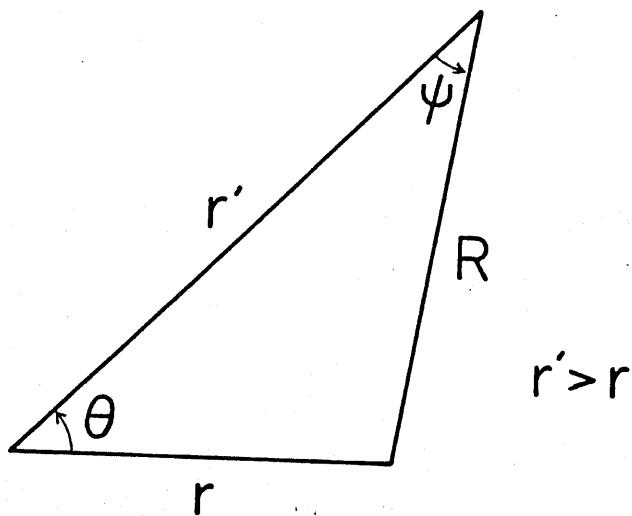
円柱調和関数はGrafの加法定理[65]により、次式の形式で表すことができる(注)。

$$J_\nu(R) \frac{\cos}{\sin} \nu \psi = \sum_{m=-\infty}^{\infty} J_{\nu+m}(r') J_m(r) \frac{\cos}{\sin} m\theta \quad (\text{A-1-a})$$

$$Y_\nu(R) \frac{\cos}{\sin} \nu \psi = \sum_{m=-\infty}^{\infty} Y_{\nu+m}(r') J_m(r) \frac{\cos}{\sin} m\theta \quad (\text{A-1-b})$$

$$I_\nu(R) \frac{\cos}{\sin} \nu \psi = \sum_{m=-\infty}^{\infty} (-i)^m I_{\nu+m}(r') I_m(r) \frac{\cos}{\sin} m\theta \quad (\text{A-1-c})$$

$$K_\nu(R) \frac{\cos}{\sin} \nu \psi = \sum_{m=-\infty}^{\infty} K_{\nu+m}(r') I_m(r) \frac{\cos}{\sin} m\theta \quad (\text{A-1-d})$$



図A-1 Grafの加法定理における三角形

これらは、次のように表すこともできる。

$$J_\nu(R) e^{\pm j\nu\psi} = \sum_{m=-\infty}^{\infty} J_{\nu+m}(r') J_m(r) e^{\pm jm\theta} \quad (A-1-a),$$

$$Y_\nu(R) e^{\pm j\nu\psi} = \sum_{m=-\infty}^{\infty} Y_{\nu+m}(r') J_m(r) e^{\pm jm\theta} \quad (A-1-b),$$

$$I_\nu(R) e^{\pm j\nu\psi} = \sum_{m=-\infty}^{\infty} (-1)^m I_{\nu+m}(r') I_m(r) e^{\pm jm\theta} \quad (A-1-c),$$

$$K_\nu(R) e^{\pm j\nu\psi} = \sum_{m=-\infty}^{\infty} K_{\nu+m}(r') I_m(r) e^{\pm jm\theta} \quad (A-1-d),$$

これらの式中の R, r, r', θ, ψ は図A-1の三角形において定義される。

式(A-1)の両辺を r で偏微分することを考えると、一般に右辺のような無限級数の項別微分可能性は保証されていないので、直接左辺を微分して式(A-1)を利用して式変形を行うことにより右辺の偏微分を求めることにする。たとえば式(A-1-a)'の場合は、

$$\begin{aligned} \frac{\partial}{\partial r} \{ J_\nu(R) e^{j\nu\psi} \} &= \left\{ -\cos(\theta + \psi) J'_\nu(R) + \sin(\theta + \psi) \frac{J_\nu(R)}{R} j\psi \right\} e^{j\nu\psi} \\ &= J'_\nu(R) e^{j\nu\psi} \frac{e^{j(\theta+\psi)} + e^{-j(\theta+\psi)}}{2} + \frac{j\nu}{R} J_\nu(R) e^{j\nu\psi} \frac{e^{j(\theta+\psi)} - e^{-j(\theta+\psi)}}{2} \\ &= e^{j\theta} e^{j(\nu+1)\psi} \frac{1}{2} \left\{ \frac{j\nu}{R} J_\nu(R) - J'_\nu(R) \right\} - e^{-j\theta} e^{j(\nu-1)\psi} \frac{1}{2} \left\{ \frac{j\nu}{R} J_\nu(R) + J'_\nu(R) \right\} \\ &= e^{j\theta} e^{j(\nu+1)\psi} \frac{1}{2} J_{\nu+1}(R) - e^{-j\theta} e^{j(\nu-1)\psi} \frac{1}{2} J_{\nu-1}(R) \\ &= \frac{1}{2} \sum_{m=-\infty}^{\infty} J_{\nu+1+m}(r') J_m(r) e^{j(m+1)\theta} - \frac{1}{2} \sum_{m=-\infty}^{\infty} J_{\nu-1+m}(r') J_m(r) e^{j(m-1)\theta} \\ &= \sum_{m=-\infty}^{\infty} J_{\nu+m}(r') \frac{J_{m-1}(r) - J_{m+1}(r)}{2} e^{jm\theta} = \sum_{m=-\infty}^{\infty} J_{\nu+m}(r') J'_m(r) e^{jm\theta} \end{aligned}$$

となる。他の式についても同様に計算すると、

$$\frac{\partial}{\partial r} \left\{ J_\nu(r) \frac{\cos \nu \psi}{\sin \nu \psi} \right\} = \sum_{m=-\infty}^{\infty} J_{\nu+m}(r') J_m'(r) \frac{\cos m\theta}{\sin m\theta} \quad (A-2-a)$$

$$\frac{\partial}{\partial r} \left\{ Y_\nu(r) \frac{\cos \nu \psi}{\sin \nu \psi} \right\} = \sum_{m=-\infty}^{\infty} Y_{\nu+m}(r') J_m'(r) \frac{\cos m\theta}{\sin m\theta} \quad (A-2-b)$$

$$\frac{\partial}{\partial r} \left\{ I_\nu(r) \frac{\cos \nu \psi}{\sin \nu \psi} \right\} = \sum_{m=-\infty}^{\infty} (-1)^m I_{\nu+m}(r') I_m'(r) \frac{\cos m\theta}{\sin m\theta} \quad (A-2-c)$$

$$\frac{\partial}{\partial r} \left\{ K_\nu(r) e^{\pm j\nu\psi} \right\} = \sum_{m=-\infty}^{\infty} K_{\nu+m}(r') J_m'(r) e^{\pm jm\theta} \quad (A-2-d)$$

$$\frac{\partial}{\partial r} \left\{ Y_\nu(r) e^{\pm j\nu\psi} \right\} = \sum_{m=-\infty}^{\infty} Y_{\nu+m}(r') J_m'(r) e^{\pm jm\theta} \quad (A-2-a)',$$

$$\frac{\partial}{\partial r} \left\{ I_\nu(r) e^{\pm j\nu\psi} \right\} = \sum_{m=-\infty}^{\infty} (-1)^m I_{\nu+m}(r') I_m'(r) e^{\pm jm\theta} \quad (A-2-b)',$$

$$\frac{\partial}{\partial r} \left\{ K_\nu(r) e^{\pm j\nu\psi} \right\} = \sum_{m=-\infty}^{\infty} K_{\nu+m}(r') I_m'(r) e^{\pm jm\theta} \quad (A-2-c)',$$

$$\frac{\partial}{\partial r} \left\{ K_\nu(r) e^{\pm j\nu\psi} \right\} = \sum_{m=-\infty}^{\infty} K_{\nu+m}(r') I_m'(r) e^{\pm jm\theta} \quad (A-2-d)',$$

となる。

r' による偏微分についても同様に

$$\frac{\partial}{\partial r'} \left\{ J_\nu(R) \frac{\cos \nu \psi}{\sin \nu \psi} \right\} = \sum_{m=-\infty}^{\infty} J'_{\nu+m}(r') J_m(r) \frac{\cos m\theta}{\sin m\theta} \quad (A-3-a)$$

$$\frac{\partial}{\partial r'} \left\{ Y_\nu(R) \frac{\cos \nu \psi}{\sin \nu \psi} \right\} = \sum_{m=-\infty}^{\infty} Y'_{\nu+m}(r') J_m(r) \frac{\cos m\theta}{\sin m\theta} \quad (A-3-b)$$

$$\frac{\partial}{\partial r'} \left\{ I_\nu(R) \frac{\cos \nu \psi}{\sin \nu \psi} \right\} = \sum_{m=-\infty}^{\infty} (-1)^m I'_{\nu+m}(r') I_m(r) \frac{\cos m\theta}{\sin m\theta} \quad (A-3-c)$$

$$\frac{\partial}{\partial r'} \left\{ K_\nu(R) \frac{\cos \nu \psi}{\sin \nu \psi} \right\} = \sum_{m=-\infty}^{\infty} K'_{\nu+m}(r') I_m(r) \frac{\cos m\theta}{\sin m\theta} \quad (A-3-d)$$

$$\frac{\partial}{\partial r'} \left\{ J_\nu(R) e^{\pm j\nu\psi} \right\} = \sum_{m=-\infty}^{\infty} J'_{\nu+m}(r') J_m(r) e^{\pm jm\theta} \quad (A-3-a')$$

$$\frac{\partial}{\partial r'} \left\{ Y_\nu(R) e^{\pm j\nu\psi} \right\} = \sum_{m=-\infty}^{\infty} Y'_{\nu+m}(r') J_m(r) e^{\pm jm\theta} \quad (A-3-b')$$

$$\frac{\partial}{\partial r'} \left\{ I_\nu(R) e^{\pm j\nu\psi} \right\} = \sum_{m=-\infty}^{\infty} (-1)^m I'_{\nu+m}(r') I_m(r) e^{\pm jm\theta} \quad (A-3-c')$$

$$\frac{\partial}{\partial r'} \left\{ K_\nu(R) e^{\pm j\nu\psi} \right\} = \sum_{m=-\infty}^{\infty} K'_{\nu+m}(r') I_m(r) e^{\pm jm\theta} \quad (A-3-d')$$

と求まる。

(注)文献[66]第III巻(第1~19刷)のp219のGrafの加法定理の式は誤りである。

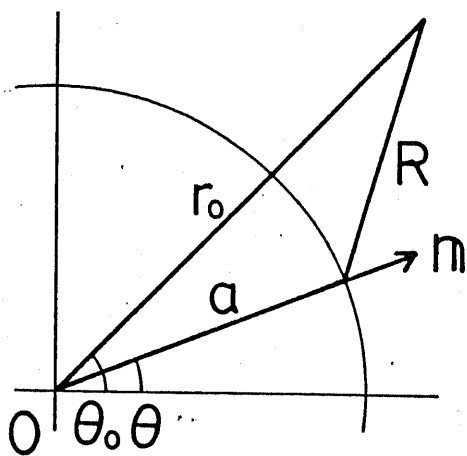
A-2 0次の円柱調和関数の線積分

前節のように表示された円柱調和関数において $\nu = 0$ の場合のもの、あるいはその法線方向偏微分と、 θ 座標で定義された三角関数との積を単位円周上において線積分した値を計算する。その場合の座標系は図A-2のように取り、円柱調和関数の原点($R = 0$)が円周外にある場合(同図-(a))と円周内にある場合(同図-(b))のふたとおりの場合を考える。

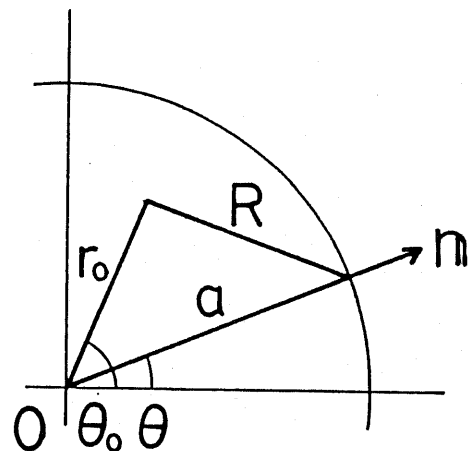
i) 原点が円周外にある場合

式(A-1-a)より、

$$\begin{aligned} \int_0^{2\pi} J_0(R) \cos n\theta d\theta &= \int_0^{2\pi} \sum_{m=-\infty}^{\infty} J_m(r_0) J_m(a) \cos m(\theta_0 - \theta) \cos n\theta d\theta \\ &= \pi \left\{ J_{-m}(r_0) J_{-m}(a) + J_m(r_0) J_m(a) \right\} \cos m\theta_0 \\ &= 2\pi J_m(r_0) J_m(a) \cos m\theta_0 \end{aligned}$$



(a) 原点が円周外にある場合



(b) 原点が円周内にある場合

図A-2 線積分のための座標系

となる。他の場合についても同様にして計算すると。

$$\int_0^{2\pi} J_0(R) \frac{\cos}{\sin} n\theta d\theta = 2\pi J_m(r_0) J_m(a) \frac{\cos}{\sin} n\theta. \quad (A-4-a)$$

$$\int_0^{2\pi} Y_0(R) \frac{\cos}{\sin} n\theta d\theta = 2\pi Y_m(r_0) J_m(a) \frac{\cos}{\sin} n\theta. \quad (A-4-b)$$

$$\int_0^{2\pi} I_0(R) \frac{\cos}{\sin} n\theta d\theta = 2\pi (-1)^m I_m(r_0) I_m(a) \frac{\cos}{\sin} n\theta. \quad (A-4-c)$$

$$\int_0^{2\pi} K_0(R) \frac{\cos}{\sin} n\theta d\theta = 2\pi K_m(r_0) I_m(a) \frac{\cos}{\sin} n\theta. \quad (A-4-d)$$

$$\int_0^{2\pi} \frac{\partial}{\partial n} \{J_0(R)\} \frac{\cos}{\sin} n\theta d\theta = 2\pi J_m(r_0) J_m'(a) \frac{\cos}{\sin} n\theta. \quad (A-4-e)$$

$$\int_0^{2\pi} \frac{\partial}{\partial n} \{Y_0(R)\} \frac{\cos}{\sin} n\theta d\theta = 2\pi Y_m(r_0) J_m'(a) \frac{\cos}{\sin} n\theta. \quad (A-4-f)$$

$$\int_0^{2\pi} \frac{\partial}{\partial n} \{I_0(R)\} \frac{\cos}{\sin} n\theta d\theta = 2\pi (-1)^m I_m(r_0) I_m'(a) \frac{\cos}{\sin} n\theta. \quad (A-4-g)$$

$$\int_0^{2\pi} \frac{\partial}{\partial n} \{K_0(R)\} \frac{\cos}{\sin} n\theta d\theta = 2\pi K_m(r_0) I_m'(a) \frac{\cos}{\sin} n\theta. \quad (A-4-h)$$

となる。

ii) 原点が円周内にある場合

i)と同様にして

$$\int_0^{2\pi} J_0(R) \frac{\cos}{\sin} n\theta d\theta = 2\pi J_m(a) J_m(r_0) \frac{\cos}{\sin} n\theta_0 \quad (A-5-a)$$

$$\int_0^{2\pi} Y_0(R) \frac{\cos}{\sin} n\theta d\theta = 2\pi Y_m(a) J_m(r_0) \frac{\cos}{\sin} n\theta_0 \quad (A-5-b)$$

$$\int_0^{2\pi} I_0(R) \frac{\cos}{\sin} n\theta d\theta = 2\pi (-1)^m I_m(a) I_m(r_0) \frac{\cos}{\sin} n\theta_0 \quad (A-5-c)$$

$$\int_0^{2\pi} K_0(R) \frac{\cos}{\sin} n\theta d\theta = 2\pi K_m(a) I_m(r_0) \frac{\cos}{\sin} n\theta_0 \quad (A-5-d)$$

$$\int_0^{2\pi} \frac{\partial}{\partial n} \{J_0(R)\} \frac{\cos}{\sin} n\theta d\theta = 2\pi J_m'(a) J_m(r_0) \frac{\cos}{\sin} n\theta_0 \quad (A-5-e)$$

$$\int_0^{2\pi} \frac{\partial}{\partial n} \{Y_0(R)\} \frac{\cos}{\sin} n\theta d\theta = 2\pi Y_m'(a) J_m(r_0) \frac{\cos}{\sin} n\theta_0 \quad (A-5-f)$$

$$\int_0^{2\pi} \frac{\partial}{\partial n} \{I_0(R)\} \frac{\cos}{\sin} n\theta d\theta = 2\pi (-1)^m I_m'(a) I_m(r_0) \frac{\cos}{\sin} n\theta_0 \quad (A-5-g)$$

$$\int_0^{2\pi} \frac{\partial}{\partial n} \{K_0(R)\} \frac{\cos}{\sin} n\theta d\theta = 2\pi K_m'(a) I_m(r_0) \frac{\cos}{\sin} n\theta_0 \quad (A-5-h)$$

となる。

A-3 第二種変形ベッセル関数の線積分

本節では、第二種変形ベッセル関数と三角関数との積からなる円柱調和関数と、円周の中心でを原点とする座標で定義された三角関数との積を、その円周上において線積分した値を計算する。線積分を行うための座標系は図A-3のように、ふたつの円柱座標が同じ方向に配列している場合(同図-(a))と逆方向に配列している場合(同図-(b))のふたとおりの場合を考える。

i) 円柱座標が同じ方向に配列している場合

式(A-1-d)は図A-3-(a)においては、

$$\begin{aligned} K_\nu(r_i) \cos \nu \theta_1 &= \sum_{m=-\infty}^{\infty} K_{\nu+m}(c) I_m(b) \cos m(\pi - \theta_T) \\ &= \sum_{m=-\infty}^{\infty} (-1)^m K_{\nu+m}(c) I_m(b) \cos m\theta_T \end{aligned}$$

となる。法線方向微分についても同様にして、これらをまとめると、

$$K_\nu(r_i) \cos(\nu \theta_1 + \rho) = \sum_{m=-\infty}^{\infty} (-1)^m K_{\nu+m}(c) I_m(b) \cos(m\theta_T - \rho) \quad (\text{A-6-a})$$

$$\frac{\partial}{\partial n} \{ K_\nu(r_i) \cos(\nu \theta_1 + \rho) \} = \sum_{m=-\infty}^{\infty} (-1)^m K_{\nu+m}(c) I_m'(b) \cos(m\theta_T - \rho) \quad (\text{A-6-b})$$

となる。これらを用いると次式を得る。

$$\begin{aligned} &\int_0^\pi K_\nu(r_i) \cos(\nu \theta_1 + \rho) \cos(n\theta_T + \rho) d\theta_T \\ &= \frac{\pi}{2} (-1)^n \{ \cos 2\rho \cdot K_{\nu+n}(c) + K_{\nu-n}(c) \} I_n(b) \quad (\text{A-7-a}) \end{aligned}$$

$$\begin{aligned} &\int_0^\pi \frac{\partial}{\partial n} \{ K_\nu(r_i) \cos(\nu \theta_1 + \rho) \} \cos(n\theta_T + \rho) d\theta_T \\ &= \frac{\pi}{2} (-1)^n \{ \cos 2\rho \cdot K_{\nu+n}(c) + K_{\nu-n}(c) \} I_n'(b) \quad (\text{A-7-b}) \end{aligned}$$

ii) 円柱座標が逆方向に配列している場合

i)と同様にして図A-3-(b)においては、

$$K_\nu(r'_\tau) \cos(\nu\theta_\tau + \rho) = \sum_{m=-\infty}^{\infty} (-1)^{\nu+m} K_{\nu+m}(d) I_m(b) \cos(m\theta_\tau - \rho) \quad (A-8-a)$$

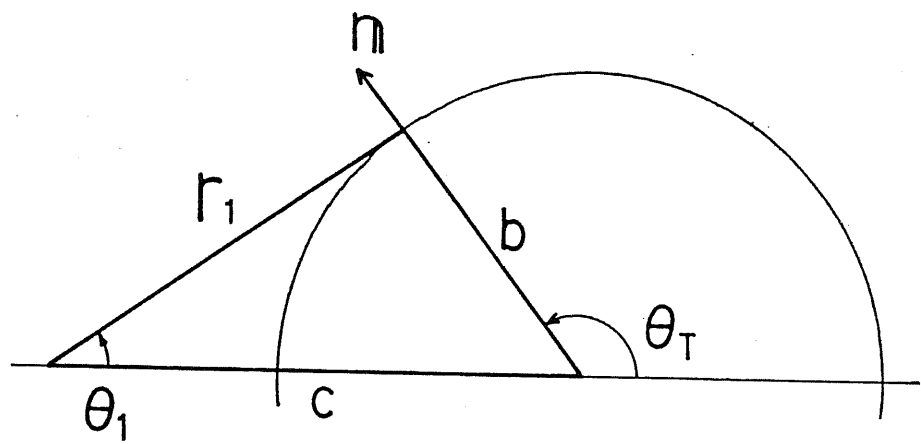
$$\frac{\partial}{\partial m} \{ K_\nu(r'_\tau) \cos(\nu\theta_\tau + \rho) \} = \sum_{m=-\infty}^{\infty} (-1)^{\nu+m} K_{\nu+m}(d) I_m'(b) \cos(m\theta_\tau - \rho) \quad (A-8-b)$$

を得る。これらを用いると、

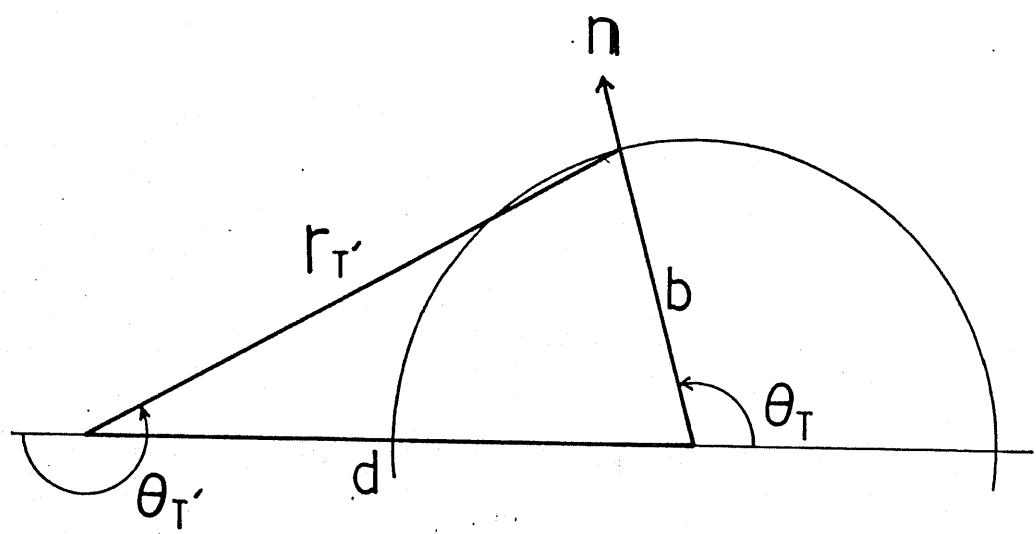
$$\begin{aligned} & \int_0^\pi K_\nu(r'_\tau) \cos(\nu\theta_\tau + \rho) \cos(n\theta_\tau + \rho) d\theta_\tau \\ &= \frac{\pi}{2} (-1)^{\nu+m} \{ \cos 2\rho \cdot K_{\nu+m}(d) + K_{\nu-m}(d) \} I_m(b) \end{aligned} \quad (A-9-a)$$

$$\begin{aligned} & \int_0^\pi \frac{\partial}{\partial m} \{ K_\nu(r'_\tau) \cos(\nu\theta_\tau + \rho) \} \cos(m\theta_\tau + \rho) d\theta_\tau \\ &= \frac{\pi}{2} (-1)^{\nu+m} \{ \cos 2\rho \cdot K_{\nu+m}(d) + K_{\nu-m}(d) \} I_m'(b) \end{aligned} \quad (A-9-b)$$

を得る。



(a) ふたつの円柱座標が同じ方向に配列している場合



(b) ふたつの円柱座標が逆方向に配列している場合

図A-3 線積分のための座標系

B プログラムリスト

B - 1 単一媒質問題(通常の境界要素法)

B - 1 - 1 ディリクレ型境界値問題解析プログラム

B - 1 - 2 ノイマン型境界値問題解析プログラム

B - 2 単一媒質問題(グリーン関数を用いない境界積分法)

B - 2 - 1 ディリクレ型境界値問題解析プログラム

B - 2 - 2 ノイマン型境界値問題解析プログラム

B - 3 均一コア光ファイバの固有モード解析

B - 3 - 1 楕円コア光ファイバの固有モード解析プログラム

B - 3 - 2 方形断面導波路の固有モード解析プログラム

B - 4 複合媒質光ファイバの固有モード解析プログラム

B - 5 サイトトンネル型絶対単一偏波光ファイバの固有モード解析

B - 5 - 1 分散特性解析プログラム

B - 5 - 2 遮断周波数解析のための主および副プログラム

(注) 上記のすべてのプログラムで用いる「SUBROUTINE SIML」と、B - 5 - 2 を除くすべてのプログラムで用いる「SUBROUTINE SOLVE」は、B - 3 - 1 のものと同様である。

B - 1 単一媒質問題(通常の境界要素法)

B - 1 - 1 ディリクレ型境界値問題解析プログラム

```

*****
* BEM ANALYSIS(DIRICHLET)
* DATE=86-12-12
*****
00010 *
00020 *      SOLUTION OF DIRICHLET BOUNDARY VALUE PROBLEMS
00030 *      BY BOUNDARY ELEMENT METHOD
00040 *
00050     PROGRAM DIRIC
00060     IMPLICIT REAL*8(A-H,O-Z)
00070     CHARACTER CL(0:1)*1,CS(0:1)*1
00080     DIMENSION AKK(5)
00090     COMMON
00100     */NN/ND,ND2,ND4,ND4M1,NDIV,NL,NSY
00110     */NA/JM1(80),NCO(4),NEX(0:1,0:1,4),NSLO(0:80),NNUM(4,20)
00120     */AK/AK,BJ
00130     */PA/PAI,DP,EUL
00140     */CO/X(0:80),Y(0:80),DLX(0:80),DLY(0:80),SL0(0:80),SLI
00150     */PI/PI(0:80),PIL(0:80)
00160     */EL/BIJ(0:80),EL(20,20)
00170     DATA CL,CS/'0','1','0','E'
00180 C      WRITE(6,201)  '
00190      BJ= 1000
00200      EPS= 1.0D-6
00220 20  WRITE(6,*) 'Input NL,NSy'
00230      READ(5,*,ERR=20) NL,NSY
00240 21  WRITE(6,*) 'Input Nd,Ndiv,bj,eps'
00250      READ(5,*,ERR=21) ND,NDIV,BJ,NEP
00260      EPS= 10.0**(-NEP)
00270      CALL SETN
00280      CALL COOR
00290 22  JAK= 0
00300      WRITE(6,*) 'Input A1,Ad,Ae'
00310      READ(5,*,ERR=22) A1,AD,AE
00320      IF(A1.LE.0 .OR. AD.LE.0) GOTO 24
00330      Y1= VALUE(A1)
00340      WRITE(6,200) ' A1',A1,Y1
00350 23  A2=A1+AD
00360      IF(A2.GE.AE) GOTO 24
00370      Y2= VALUE(A2)
00380      IF(Y1*Y2.LE.0) THEN
00390      JAK= JAK+1
00400      CALL SOLVE(A1,A2,Y1,Y2,A0,Y0,EPS)
00410      WRITE(6,210) ';AK',A0,Y0,CL(NL),CS(NSY),ND,NDIV
00420      AKK(JAK)=A0
00430      ENDIF
00440      WRITE(6,200) ' A2',A2,Y2
00450      A1= A2
00460      Y1= Y2
00470      GOTO 23
00480 24  WRITE(6,201)  '
00490      IF(JAK.GT.0) THEN
00500      WRITE(6,220) ';',CL(NL),CS(NSY),ND,NDIV,BJ,NEP,(AKK(J),J=1,JAK)
00510      ELSE
00520      WRITE(6,220) ' ',CL(NL),CS(NSY),ND,NDIV,BJ,NEP
00530      ENDIF
00540 26  WRITE(6,*) '0:Continue 1:Nd,Ndiv 2:NL,NSy 3:Stop'
00550      READ(5,100,ERR=26) NJ
00560      GOTO (22,21,20,40),NJ+1
00570      GOTO 26
00580 40  STOP 0
00590 100 FORMAT(I1)
00600 200 FORMAT(1H ,A3,'=',F9.6,' Y=',1PE13.3)
00610 201 FORMAT(1H ,A1,' Mode Nd Ndiv bj Nep Ak(DILICLET)')
00620 210 FORMAT(1H ,A3,'=',F9.6,' Y=',1PE13.3,' MODE:',2A1,'(',2I3,')')
00630 220 FORMAT(1H ,A1,2X,2A1,2I5,2X,F10.3,I4,2X,3F9.6)
00640 END

```

BEM ANALYSIS(DIRICHLET)

L861212 PAGE 2

```

00650 C
00660 *      PARAMETER
00670 *
00680     BLOCKDATA VAL
00690     IMPLICIT REAL*8(A-H,O-Z)
00700     COMMON
00710     */NN/ND,ND2,ND4,ND4M1,NDIV,NL,NSY
00720     */NA/JM1(80),NCO(4),NEX(0:1,0:1,4),NSLO(0:80),NNUM(4,20)
00730     */AK/AK,BJ
00740     */PA/PAI,DP,EUL
00750     */CO/X(0:80),Y(0:80),DLX(0:80),DLY(0:80),SLO(0:80),SLI
00760     */PI/PI(0:80),PIL(0:80)
00770     */EL/BIJ(0:80),EL(20,20)
00780 C
00790     DATA PAI,EUL/3.141592653589393D0,5.772156649015329D-1/
00800     DATA NEX/1,1,1,1, -1,1,1,-1, 1,-1,1,-1, -1,-1,1,1/
00810     END

00820 *
00830 *
00840 *
00850     SUBROUTINE SETN
00860     COMMON
00870     */NN/ND,ND2,ND4,ND4M1,NDIV,NL,NSY
00880     */NA/JM1(80),NCO(4),NEX(0:1,0:1,4),NSLO(0:80),NNUM(4,20)
00890     */AK/AK,BJ
00900     */PA/PAI,DP,EUL
00910     */CO/X(0:80),Y(0:80),DLX(0:80),DLY(0:80),SLO(0:80),SLI
00920     */PI/PI(0:80),PIL(0:80)
00930     */EL/BIJ(0:80),EL(20,20)
00940 C
00950     ND4= 4*ND
00960     ND4M1= ND4-1
00970     ND2= 2*ND
00980     DO 10 K=1,4
00990   10 NCO(K)= NEX(NL,NSY,K)
01000     DO 11 J=1,ND4
01010   11 JM1(J)= J-1
01020     DO 12 J=1,ND
01030     NNUM(1,J)= J
01040     NNUM(2,J)= ND2+1-J
01050     NNUM(3,J)= ND2 +J
01060     NNUM(4,J)= ND4+1-J
01070   12 CONTINUE
01080     RETURN
01090     END

```

BEM ANALYSIS(DIRICHLET)

L861212 PAGE 3

```
01100 *
01110 *
01120 *
01130     SUBROUTINE COOR
01140     IMPLICIT REAL*8(A-H,O-Z)
01150     DIMENSION TH(0:80)
01160     COMMON
01170     */NN/ND,ND2,ND4,ND4M1,NDIV,NL,NSY
01180     */NA/JM1(80),NCO(4),NEX(0:1,0:1,4),NSLO(0:80),NNUM(4,20)
01190     */AK/AK,BJ
01200     */PA/PAI,DP,EUL
01210     */CO/X(0:80),Y(0:80),DLX(0:80),DLY(0:80),SLO(0:80),SLI
01220     */PI/PI(0:80),PIL(0:80)
01230     */EL/BIJ(0:80),EL(20,20)
```

```
01240 C
01250     PD= PAI/ND2
01260     SLI= 2*SIN(PAI/ND4)
01270     DO 10 I=0,ND4
01280     10 TH(I)= PD*(I-0.5)
01290     DO 11 I=0,ND4
01300     X(I)= COS(TH(I))
01310     Y(I)= SIN(TH(I))
01320     11 CONTINUE
```

```
01330 C
01340     DO 12 I=0,ND4M1
01350     DX= X(I+1)-X(I)
01360     DY= Y(I+1)-Y(I)
01370     IF(DX.GT.0) THEN
01380     NSLO(I)= 1
01390     SLO(I)= DY/DX
01400     DLX(I)= 1/SQRT(1+SLO(I)**2)
01410     DLY(I)= DLX(I)*SLO(I)
01420     ELSEIF(DX.EQ.0) THEN
01430     NSLO(I)= 0
01440     DLX(I)= 0
01450     IF(DY.GT.0) DLY(I)= 1
01460     IF(DY.EQ.0) STOP 30
01470     IF(DY.LT.0) DLY(I)=-1
01480     ELSE
01490     NSLO(I)=-1
01500     SLO(I)= DY/DX
01510     DLX(I)=-1/SQRT(1+SLO(I)**2)
01520     DLY(I)= DLX(I)*SLO(I)
01530     ENDIF
01540     12 CONTINUE
01550     RETURN
01560     END
```

```
01570 *
01580 *
01590 *
01600     SUBROUTINE ICAL
01610     IMPLICIT REAL*8(A-H,O-Z)
01620     EXTERNAL FUNC,FUNCL
01630     COMMON
01640     */JJ/JJ
01650     */NN/ND,ND2,ND4,ND4M1,NDIV,NL,NSY
01660     */NA/JM1(80),NCO(4),NEX(0:1,0:1,4),NSLO(0:80),NNUM(4,20)
01670     */AK/AK,BJ
01680     */PA/PAI,DP,EUL
01690     */CO/X(0:80),Y(0:80),DLX(0:80),DLY(0:80),SLO(0:80),SLI
01700     */PI/PI(0:80),PIL(0:80)
01710     */EL/BIJ(0:80),EL(20,20)
01720 C
01730     PI(1)= FUNC1(SLI)
01740     PIL(1)= FUNCIL(SLI)/SLI
01750     PI(0)= PI(1)
01760     PIL(0)= PI(1)-PIL(1)
01770     DO 10 JJ=2,ND4M1
01780     PI(JJ)= DGAUSP(FUNC,NDIV,0.0D0,SLI)
01790     PIL(JJ)= DGAUSP(FUNCL,NDIV,0.0D0,SLI)/SLI
01800     10 CONTINUE
01810     PI(ND4)= PI(0)
01820     PIL(ND4)= PIL(0)
01830     RETURN
01840     END
```

```

01850 *
01860 *
01870 *
01880     SUBROUTINE ELEM
01890     IMPLICIT REAL*8(A-H,O-Z)
01900     COMMON
01910     /*NN/ND,ND2,ND4,ND4M1,NDIV,NL,NSY
01920     /*NA/JM1(80),NCO(4),NEX(0:1,0:1,4),NSLO(0:80),NNUM(4,20)
01930     /*AK/AK,BJ
01940     /*PA/PAI,DP,EUL
01950     /*CO/X(0:80),Y(0:80),DLX(0:80),DLY(0:80),SL0(0:80),SLI
01960     /*PI/PI(0:80),PIL(0:80)
01970     /*EL/BIJ(0:80),EL(20,20)

01980 C
01990     DO 10 J=1,ND4
02000 10 BIJ(J)= PI(J)-PIL(J)+PIL(JM1(J))
02010     BIJ(0)= BIJ(ND4)
02020     DO 11 I=1,ND
02030     I1= JM1(I)
02040     DO 12 J=1,ND
02050     EL(I,J)= 0
02060     DO 13 K=1,4
02070     KK= NNUM(K,J)-I1
02080     IF(KK.LT.0) KK=KK+ND4
02090     EL(I,J)= EL(I,J)+BIJ(KK)*NCO(K)
02100 13 CONTINUE
02110 12 CONTINUE
02120 11 CONTINUE
02130     RETURN
02140     END

02150 *
02160 *
02170 *
02180     FUNCTION VALUE(AKK)
02190     IMPLICIT REAL*8(A-H,O-Z)
02200     DIMENSION DM(1,1)
02210     COMMON
02220     /*NN/ND,ND2,ND4,ND4M1,NDIV,NL,NSY
02230     /*NA/JM1(80),NCO(4),NEX(0:1,0:1,4),NSLO(0:80),NNUM(4,20)
02240     /*AK/AK,BJ
02250     /*PA/PAI,DP,EUL
02260     /*CO/X(0:80),Y(0:80),DLX(0:80),DLY(0:80),SL0(0:80),SLI
02270     /*PI/PI(0:80),PIL(0:80)
02280     /*EL/BIJ(0:80),EL(20,20)

02290 C
02300     AK=AKK
02310     CALL ICAL
02320     CALL ELEM
02330     CALL SIML(EL,DM,20,20,1,1,ND,0,0,VALUE)
02340     RETURN
02350     END

02360 *
02370 *
02380 *
02390     FUNCTION FUNC(S)
02400     IMPLICIT REAL*8(A-H,O-Z)
02410     COMMON
02420     /*JJ/JJ
02430     /*NN/ND,ND2,ND4,ND4M1,NDIV,NL,NSY
02440     /*NA/JM1(80),NCO(4),NEX(0:1,0:1,4),NSLO(0:80),NNUM(4,20)
02450     /*AK/AK,BJ
02460     /*PA/PAI,DP,EUL
02470     /*CO/X(0:80),Y(0:80),DLX(0:80),DLY(0:80),SL0(0:80),SLI
02480     /*PI/PI(0:80),PIL(0:80)
02490     /*EL/BIJ(0:80),EL(20,20)

02500 C
02510     XX= X(JJ)+DLX(JJ)*S
02520     YY= Y(JJ)+DLY(JJ)*S
02530     RS= SQRT((XX-X(1))**2+(YY-Y(1))**2)
02540     ZZ= AK*RS
02550     FUNC=-0.25*DYBES(0,ZZ)+BJ*DJBES(0,ZZ)
02560     RETURN
02570     END

```

BEM ANALYSIS(DIRICHLET)

02580 *

02590 *

02600 *

02610 FUNCTION FUNC1(S)

02620 IMPLICIT REAL*8(A-H,O-Z)

02630 COMMON

02640 */NN/ND,ND2,ND4,ND4M1,NDIV,NL,NSY

02650 */NA/JM1(80),NCO(4),NEX(0:1,0:1,4),NSLO(0:80),NNUM(4,20)

02660 */AK/AK,BJ

02670 */PA/PAI,DP,EUL

02680 */CO/X(0:80),Y(0:80),DLX(0:80),DLY(0:80),SLO(0:80),SLI

02690 */PI/PI(0:80),PIL(0:80)

02700 */EL/BIJ(0:80),EL(20,20)

02710 C FUNC1= FUNC(S)*S

02720 RETURN

02730 END

02740

02750 *

02760 *

02770 *

02780 FUNCTION FUNC1(S)

02790 IMPLICIT REAL*8(A-H,O-Z)

02800 COMMON

02810 */NN/ND,ND2,ND4,ND4M1,NDIV,NL,NSY

02820 */NA/JM1(80),NCO(4),NEX(0:1,0:1,4),NSLO(0:80),NNUM(4,20)

02830 */AK/AK,BJ

02840 */PA/PAI,DP,EUL

02850 */CO/X(0:80),Y(0:80),DLX(0:80),DLY(0:80),SLO(0:80),SLI

02860 */PI/PI(0:80),PIL(0:80)

02870 */EL/BIJ(0:80),EL(20,20)

02880 C ZZ= AK*S

02890 FY= 2/(AK*PAI)*((EUL+ALOG(0.5*ZZ)-1)*(ZZ-ZZ**3/12.+ZZ**5/320.)

02900 * +ZZ**3/36.-ZZ**5*7./3200)

02910 FJ= .1/AK*(ZZ-ZZ**3/12.+ZZ**5/320.)

02920 FUNC1=-0.25*FY+BJ*FJ

02930 RETURN

02940 END

02950

02960 *

02970 *

02980 *

02990 FUNCTION FUNC1L(S)

03000 IMPLICIT REAL*8(A-H,O-Z)

03010 COMMON

03020 */NN/ND,ND2,ND4,ND4M1,NDIV,NL,NSY

03030 */NA/JM1(80),NCO(4),NEX(0:1,0:1,4),NSLO(0:80),NNUM(4,20)

03040 */AK/AK,BJ

03050 */PA/PAI,DP,EUL

03060 */CO/X(0:80),Y(0:80),DLX(0:80),DLY(0:80),SLO(0:80),SLI

03070 */PI/PI(0:80),PIL(0:80)

03080 */EL/BIJ(0:80),EL(20,20)

03090 C ZZ= AK*S

03100 FUNC1L= S/AK*(-0.25*DYBES(1,ZZ)+BJ*DJBES(1,ZZ))-1./(2*PAI*AK**2)

03110 RETURN

03120 END

03130

B - 1 - 2 ノイマン型境界値問題解析プログラム

```

*****
* BEM ANALYSIS(NEUMANN)
* DATE=86-12-12
*****
00010 *
00020 *      SOLUTION OF NEUMANN BOUNDARY VALUE PROBLEMS
00030 *      BY BOUNDARY ELEMENT METHOD
00040 *
00050     PROGRAM NEUMN
00060     IMPLICIT REAL*8(A-H,O-Z)
00070     CHARACTER CL(0:1)*1,CS(0:1)*1
00080     DIMENSION AKK(5)
00090     COMMON
00100    */NN/ND,ND2,ND4,ND4M1,NDIV,NL,NSY,NEP
00110    */NA/JM1(80),NCO(4),NEX(0:1,0:1,4),NSLO(0:80),NNUM(4,20)
00120    */AK/AK,BJ,
00130    */PA/PAI,DP,EUL
00140    */CO/X(0:80),Y(0:80),DLX(0:80),DLY(0:80),SLO(0:80),SLI,CI
00150    */VN/VNX(0:80),VNY(0:80)
00160    */PI/PI(0:80),PIL(0:80)
00170    */EL/AIJ(0:80),EL(20,20),BX(20)
00180    DATA CL,CS/'0','1','0','E'
00190 C
00200     WRITE(6,*) ';'
00210     WRITE(6,201) ';'
00220     BJ= 1000
00230     EPS= 1.0D-6
00240 20  WRITE(6,*) 'Input NL, Nsy'
00250     READ(5,*,ERR=20) NL,NSY
00260 21  WRITE(6,*) 'Input Nd, Ndiv, bj, eps'
00270     READ(5,*,ERR=21) ND,NDIV,BJ,NEP
00280     EPS= 10.0**(-NEP)
00290     CALL SETN
00300     CALL COOR
00310 22  JAK= 0
00320     WRITE(6,*) 'Input A1, Ad, Ae'
00330     READ(5,*,ERR=22) A1,AD,AE
00340     IF(A1.LE.0 .OR. AD.LE.0) GOTO 24
00350     Y1= VALUE(A1)
00360     WRITE(6,200) ' A1',A1,Y1
00370 23  A2=A1+AD
00380     IF(A2.GE.AE) GOTO 24
00390     Y2= VALUE(A2)
00400     IF(Y1*Y2.LE.0) THEN
00410     JAK= JAK+1
00420     CALL SOLVE(A1,A2,Y1,Y2,A0,Y0,EPS)
00430     WRITE(6,210) ';' ,Ak',A0,Y0,CL(NL),CS(NSY),ND,NDIV
00440     AKK(JAK)=A0
00450     ENDIF
00460     WRITE(6,200) ' A2',A2,Y2
00470     A1= A2
00480     Y1= Y2
00490     GOTO 23
00500 24  WRITE(6,201) ''
00510     IF(JAK.GT.0) THEN
00520     WRITE(6,220) ';' ,CL(NL),CS(NSY),ND,NDIV,BJ,NEP,(AKK(J),J=1,JAK)
00530     ELSE
00540     WRITE(6,220) '' ,CL(NL),CS(NSY),ND,NDIV,BJ,NEP
00550     ENDIF
00560 26  WRITE(6,*) '0:Continue 1:Nd,Ndiv 2:Nl,Nsy 3:Field 4:Stop'
00570     READ(5,100,ERR=26) NJ
00580     GOTO (22,21,20,28,40),NJ+1
00590 28  CALL FIELD(A0,CL,CS)
00600     GOTO 26
00610 40  STOP 0
00620 100 FORMAT(I1)
00630 200 FORMAT(1H ,A3,'=' ,F9.6,'   Y=' ,1PE13.3)
00640 201 FORMAT(1H ,A1,' Mode Nd Ndiv bj Nep Ak(NEUMANN)')
00650 210 FORMAT(1H ,A3,'=' ,F9.6,'   Y=' ,1PE13.3,' MODE:' ,2A1,'(' ,2I3,')')
00660 220 FORMAT(1H ,A1,2X,2A1,2I5,2X,F10.3,I4,2X,3F9.6)
00670 END

```

BEM ANALYSIS(NEUMANN)

L861212 PAGE 2

```

00680 *
00690 *      FIELD
00700 *
00710     SUBROUTINE FIELD(A0,CL,CS)
00720     IMPLICIT REAL*8(A-H,O-Z)
00730     CHARACTER CL(0:1)*1,CS(0:1)*1
00740     COMMON
00750     */NN/ND,ND2,ND4,ND4M1,NDIV,NL,NSY,NEP
00760     */NA/JM1(80),NCO(4),NEX(0:1,0:1,4),NSLO(0:80),NNUM(4,20)
00770     */AK/AK,BJ
00780     */PA/PAI,DP,EUL
00790     */CO/X(0:80),Y(0:80),DLX(0:80),DLY(0:80),SLO(0:80),SLI,CI
00800     */VN/VNX(0:80),VNY(0:80)
00810     */PI/PI(0:80),PIL(0:80)
00820     */EL/AIJ(0:80),EL(20,20),BX(20)
00830 C
00840     AK=A0
00850     CALL ICAL
00860     CALL ELEM
00870     CALL SIML(EL,BX,21,21,21,1,ND,0,1,DETM)
00880     BXMAX= 0.
00890     DO 10 I=1,ND
00900     IF(ABS(BX(I)).GT.BXMAX) BXMAX= ABS(BX(I))
00910 10 CONTINUE
00920     IF(BXMAX.EQ.0) THEN
00930       WRITE(6,*) 'Trivial Solution!'
00940       STOP 1
00950     ENDIF.
00960     DO 11 I=1,ND
00970     11 BX(I)= BX(I)/BXMAX
00980     WRITE(6,*) ' '
00990     WRITE(6,*) '***** COEFFICIENTS *****'
01000     WRITE(6,200) ','
01010     WRITE(6,210) ',',CL(NL),CS(NSY),ND,NDIV,BJ,NEP,A0
01020     WRITE(6,*) ','
01030     WRITE(6,220) '(BX(I),I=1,ND)'
01040     RETURN.
01050   200 FORMAT(1H ,A1,' Mode Nd Ndiv bj Nep Ak(NEUMANN)')
01060   210 FORMAT(1H ,A1,2X,2A1,2I5,2X,F10.3,I4,2X,3F9.6)
01070   220 FORMAT((1H ,Y;,.5(1PE14.4)))
01080 END.
01090 *
01100 *      PARAMETER
01110 *
01120     BLOCKDATA VAL
01130     IMPLICIT REAL*8(A-H,O-Z)
01140     COMMON
01150     */NN/ND,ND2,ND4,ND4M1,NDIV,NL,NSY,NEP
01160     */NA/JM1(80),NCO(4),NEX(0:1,0:1,4),NSLO(0:80),NNUM(4,20)
01170     */AK/AK,BJ
01180     */PA/PAI,DP,EUL
01190     */CO/X(0:80),Y(0:80),DLX(0:80),DLY(0:80),SLO(0:80),SLI,CI
01200     */PI/PI(0:80),PIL(0:80)
01210     */EL/AIJ(0:80),EL(20,20),BX(20)
01220 C
01230     DATA PAI,EUL/3.141592653589393D0,5.772156649015329D-1/
01240     DATA NEX/1,1,1,1, -1,1,1,-1, 1,-1,1,-1, -1,-1,1,1/
01250 END

```

BEM ANALYSIS(NEUMANN)

L861212 PAGE 3

```
01260 *
01270 *
01280 *
01290     SUBROUTINE SETN
01300     COMMON
01310     */NN/ND,ND2,ND4,ND4M1,NDIV,NL,NSY,NEP
01320     */NA/JM1(80),NC0(4),NEX(0:1,0:1,4),NSLO(0:80),NNUM(4,20)
01330     */AK/AK,BJ
01340     */PA/PAI,DP,EUL
01350     */CO/X(0:80),Y(0:80),DLX(0:80),DLY(0:80),SL0(0:80),SLI,CI
01360     */PI/PI(0:80),PIL(0:80)
01370     */EL/AIJ(0:80),EL(20,20),BX(20)
01380 C
01390     ND4= 4*ND
01400     ND4M1= ND4-1
01410     ND2= 2*ND
01420     DO 10 K=1,4
01430   10 NC0(K)= NEX(NL,NSY,K)
01440     DO 11 J=1,ND4
01450   11 JM1(J)= J-1
01460     DO 12 J=1,ND
01470     NNUM(1,J)= J
01480     NNUM(2,J)= ND2+1-J
01490     NNUM(3,J)= ND2 +J
01500     NNUM(4,J)= ND4+1-J
01510   12 CONTINUE
01520     RETURN
01530 END
```

BEM ANALYSIS(NEUMANN)

L861212 PAGE 4

```
01540 *
01550 *
01560 *
01570      SUBROUTINE COOR
01580      IMPLICIT REAL*8(A-H,D-Z)
01590      DIMENSION TH(0:80)
01600      COMMON
01610      */NN/ND,ND2,ND4,ND4M1,NDIV,NL,NSY,NEP
01620      */NA/JM1(80),NCO(4),NEX(0:1,0:1,4),NSLO(0:80),NNUM(4,20)
01630      */AK/AK,BJ
01640      */PA/PAI,DP,EUL
01650      */CO/X(0:80),Y(0:80),DLX(0:80),DLY(0:80),SLO(0:80),SLI,CI
01660      */VN/VNX(0:80),VNY(0:80)
01670      */PI/PI(0:80),PIL(0:80)
01680      */EL/AIJ(0:80),EL(20,20),BX(20)
01690 C
01700      PD= PAI/ND2
01710      SLI= 2*SIN(PAI/ND4)
01720      CI= 0.5-1./ND4
01730      DO 10 I=0,ND4
01740      10 TH(I)= PD*(I-0.5)
01750      DO 11 I=0,ND4
01760      X(I)= COS(TH(I))
01770      Y(I)= SIN(TH(I))
01780      11 CONTINUE
01790 C
01800      DO 12 I=0,ND4M1
01810      DX= X(I+1)-X(I)
01820      DY= Y(I+1)-Y(I)
01830      IF(DX.GT.0) THEN
01840      NSLO(I)= 1
01850      SLO(I)= DY/DX
01860      DLX(I)= 1/SQRT(1+SLO(I)**2)
01870      DLY(I)= DLX(I)*SLO(I)
01880      ELSEIF(DX.EQ.0) THEN
01890      NSLO(I)= 0
01900      DLX(I)= 0
01910      IF(DY.GT.0) DLY(I)= 1
01920      IF(DY.EQ.0) STOP 30
01930      IF(DY.LT.0) DLY(I)=-1
01940      ELSE
01950      NSLO(I)=-1
01960      SLO(I)= DY/DX
01970      DLX(I)=-1/SQRT(1+SLO(I)**2)
01980      DLY(I)= DLX(I)*SLO(I)
01990      ENDIF
02000      12 CONTINUE
02010      DO 13 I=1,ND4M1
02020      AVN= SQRT((Y(I+1)-Y(I))**2+(X(I)-X(I+1))**2)
02030      VNX(I)= (Y(I+1)-Y(I))/AVN
02040      VNY(I)= (X(I)-X(I+1))/AVN
02050      13 CONTINUE
02060      AVN= SQRT((Y(1)-Y(ND4))**2+(X(ND4)-X(1))**2)
02070      VNX(ND4)= (Y(1)-Y(ND4))/AVN
02080      VNY(ND4)= (X(ND4)-X(1))/AVN
02090      VNX(0)= VNX(ND4)
02100      VNY(0)= VNY(ND4)
02110      RETURN
02120      END
```

```
02130 *
02140 *
02150 *
02160     SUBROUTINE ICAL
02170     IMPLICIT REAL*8(A-H,O-Z)
02180     EXTERNAL FUNCN,FUNCNL
02190     COMMON
02200 *JJ/JJ
02210 */NN/ND,ND2,ND4,ND4M1,NDIV,NL,NSY,NEP
02220 */NA/JM1(80),NCO(4),NEX(0:1,0:1,4),NSLO(0:80),NNUM(4,20)
02230 */AK/AK,BJ
02240 */PA/PAI,DP,EUL
02250 */CO/X(0:80),Y(0:80),DLX(0:80),DLY(0:80),SLO(0:80),SLI,CI
02260 */PI/PI(0:80),PIL(0:80)
02270 */EL/AIJ(0:80),EL(20,20),BX(20)
02280 C
02290     PI(1)= 0.
02300     PIL(1)= 0.
02310     PI(0)= 0.
02320     PIL(0)= 0.
02330     DO 10 JJ=2,ND4M1
02340     PI(JJ)= DGAUSP(FUNCN,NDIV,0.0D0,SLI)
02350     PIL(JJ)= DGAUSP(FUNCNL,NDIV,0.0D0,SLI)/SLI
02360 10 CONTINUE
02370     PI(ND4)= 0.
02380     PIL(ND4)= 0.
02390     RETURN
02400     END
02410 *
02420 *
02430 *
02440     SUBROUTINE ELEM
02450     IMPLICIT REAL*8(A-H,O-Z)
02460     COMMON
02470 */NN/ND,ND2,ND4,ND4M1,NDIV,NL,NSY,NEP
02480 */NA/JM1(80),NCO(4),NEX(0:1,0:1,4),NSLO(0:80),NNUM(4,20)
02490 */AK/AK,BJ
02500 */PA/PAI,DP,EUL
02510 */CO/X(0:80),Y(0:80),DLX(0:80),DLY(0:80),SLO(0:80),SLI,CI
02520 */PI/PI(0:80),PIL(0:80)
02530 */EL/AIJ(0:80),EL(20,20),BX(20)
02540 C
02550     AIJ(1)= CI
02560     DO 10 J=2,ND4
02570 10 AIJ(J)= PI(J)-PIL(J)+PIL(JM1(J))
02580     AIJ(0)= AIJ(ND4)
02590     DO 11 I=1,ND
02600     I1= JM1(I)
02610     DO 12 J=1,ND
02620     EL(I,J)= 0
02630     DO 13 K=1,4
02640     KK= NNUM(K,J)-I1
02650     IF(KK.LT.0) KK=KK+ND4
02660     EL(I,J)= EL(I,J)+AIJ(KK)*NCO(K)
02670 13 CONTINUE
02680 12 CONTINUE
02690 11 CONTINUE
02700     RETURN
02710     END
```

BEM ANALYSIS(NEUMANN)

L861212 PAGE 6

```
02720 *
02730 *
02740 *
02750     FUNCTION VALUE(AKK)
02760     IMPLICIT REAL*8(A-H,O-Z)
02770     DIMENSION DM(1,1)
02780     COMMON
02790     */NN/ND,ND2,ND4,ND4M1,NDIV,NL,NSY,NEP
02800     */NA/JM1(80),NCO(4),NEX(0:1,0:1,4),NSLO(0:80),NNUM(4,20)
02810     */AK/AK,BJ
02820     */PA/PAI,DP,EUL
02830     */CO/X(0:80),Y(0:80),DLX(0:80),DLY(0:80),SLO(0:80),SLI,CI
02840     */PI/PI(0:80),PIL(0:80)
02850     */EL/AIJ(0:80),EL(20,20),BX(20)
02860 C
02870     AK=AKK
02880     CALL ICAL
02890     CALL ELEM
02900     CALL SIML(EL,DM,20,20,1,1,ND,0,0,VALUE)
02910     RETURN
02920     END

02930 *
02940 *
02950 *
02960     FUNCTION FUNCN(S)
02970     IMPLICIT REAL*8(A-H,O-Z)
02980     COMMON
02990     */JJ/JJ
03000     */NN/ND,ND2,ND4,ND4M1,NDIV,NL,NSY,NEP
03010     */NA/JM1(80),NCO(4),NEX(0:1,0:1,4),NSLO(0:80),NNUM(4,20)
03020     */AK/AK,BJ
03030     */PA/PAI,DP,EUL
03040     */CO/X(0:80),Y(0:80),DLX(0:80),DLY(0:80),SLO(0:80),SLI,CI
03050     */VN/VNX(0:80),VNY(0:80)
03060     */PI/PI(0:80),PIL(0:80)
03070     */EL/AIJ(0:80),EL(20,20),BX(20)
03080 C
03090     XX= X(JJ)+DLX(JJ)*S
03100     YY= Y(JJ)+DLY(JJ)*S
03110     RS= SQRT((XX-X(1))**2+(YY-Y(1))**2)
03120     COSTH= ((XX-X(1))*VNX(JJ)+(YY-Y(1))*VNY(JJ))/RS
03130     ZZ= AK*RS
03140     FUNCN= AK*(0.25*DYBES(1,ZZ)-BJ*DJBES(1,ZZ))*COSTH
03150     RETURN
03160     END

03170 *
03180 *
03190 *
03200     FUNCTION FUNCNL(S)
03210     IMPLICIT REAL*8(A-H,O-Z)
03220     COMMON
03230     */NN/ND,ND2,ND4,ND4M1,NDIV,NL,NSY,NEP
03240     */NA/JM1(80),NCO(4),NEX(0:1,0:1,4),NSLO(0:80),NNUM(4,20)
03250     */AK/AK,BJ
03260     */PA/PAI,DP,EUL
03270     */CO/X(0:80),Y(0:80),DLX(0:80),DLY(0:80),SLO(0:80),SLI,CI
03280     */VN/VNX(0:80),VNY(0:80)
03290     */PI/PI(0:80),PIL(0:80)
03300     */EL/AIJ(0:80),EL(20,20),BX(20)
03310 C
03320     FUNCNL= FUNCN(S)*S
03330     RETURN
03340     END
```

B - 2 単一媒質問題(グリーン関数を用いない境界積分法)

B - 2 - 1 ディリクレ型境界値問題解析プログラム

```

*****
* BOUNDARY INTEGRAL ANALYSIS(DIRICHLET) *
* DATE=86-12-12 *
*****
00010 *
00020 * SOLUTION OF DIRICHLET BOUNDARY VALUE PROBLEMS
00030 * BY BOUNDARY ELEMENT METHOD (MODIFIED ONE)
00040 *
00050 PROGRAM DIRICM
00060 IMPLICIT REAL*8 (A-H,O-Z)
00070 CHARACTER CL(0:1)*1,CS(0:1)*1,SHAP*6
00080 DIMENSION AKK(5)
00090 COMMON
00100 */NN/ND,NDM1,NMAT,NMATE1,NDIV,NL,NSY,NEP,NSHAPE
00110 */NA/JM1(21),NSLO(0:20),NNU(0:1,21)
00120 */AK/AK
00130 */PA/PAI,PAIH,PAID
00140 */PH/PHAI,RA
00150 */CO/X(0:21),Y(0:21),DLX(0:20),DLY(0:20),SL0(0:20),SL(0:20)
00160 */VN/VNX(0:20),VNY(0:20)
00170 */PI/PN(21,0:20),PNL(21,0:20)
00180 */EL/EL(21,21),BX(21),FACT(21)
00190 */CH/$HAP(0:1)
00200 DATA CL,CS/'0','1','0','E'
00210 PAI=.3.141592653589793
00220 PAIH=.0.5*PAI
00230 PAID=.2.0*PAI
00240 C
00250 44 WRITE(6,*) 'INPUT:NSHAPE(0:ELLIPS 1:RECT)'
00260 READ(5,*),ERR=44) NSHAPE
00270 WRITE(6,201) (:;SHAP(NSHAPE)
00280 NEP=.6
00290 20 WRITE(6,*) 'Input:Ra,NL,NSY'
00300 READ(5,*),ERR=20) RA,NL,NSY
00310 PHAI=-PAIH*(1-NSY)
00320 21 WRITE(6,*) 'Input Nd,Ndiv,eps'
00330 READ(5,*),ERR=21) ND,NDIV,NEP
00340 EPS=10.0**(-NEP)
00350 CALL SETN
00360 CALL COOR
00370 22 JAK= 0
00380 WRITE(6,*) 'Input A1,Ad,Ae'
00390 READ(5,*),ERR=22) A1,AD,AE
00400 IF(A1.EQ.0) GOTO 26
00410 CALL CLOCK
00420 Y1= VALUE(A1)
00430 CALL CLOCK(TIME)
00440 WRITE(6,400) TIME
00450 400 FORMAT(1H , 'TIME=',1PD13.3,' SEC')
00460 WRITE(6,200) ' A1',A1,Y1
00470 23 A2=A1+AD
00480 IF(A2.GE.AE) GOTO 24
00490 Y2= VALUE(A2)
00500 IF(Y1*Y2.LE.0) THEN
00510 JAK= JAK+1
00520 CALL SOLVE(A1,A2,Y1,Y2,A0,Y0,EPS)
00530 WRITE(6,210) ':AK',AO,Y0,CL(NL),CS(NSY),ND,NDIV
00540 AKK(JAK)=AO
00550 ENDIF
00560 WRITE(6,200) ' A2',A2,Y2
00570 A1= A2
00580 Y1= Y2
00590 GOTO 23
00600 24 WRITE(6,201) ' ',SHAP(NSHAPE)
00610 IF(JAK.GT.0) THEN
00620 WRITE(6,220) ' ',RA,CL(NL),CS(NSY),ND,NDIV,NEP,(AKK(J),J=1,JAK)
00630 ELSE
00640 WRITE(6,220) ' ',RA,CL(NL),CS(NSY),ND,NDIV,NEP
00650 ENDIF
00660 26 WRITE(6,*) '0:Continue 1:Nd,Ndiv 2:Ra,NL,NSY 3:Field 4:Stop'
00670 READ(5,100) NJ
00680 GOTO (22,21,20,28,40),NJ+1
00690 28 CALL FIELD(A0,CL,CS)
00700 GOTO 26
00710 40 STOP 0
00720 100 FORMAT(I1)

```

BOUNDRY INTEGRAL ANALYSIS(DIRICHLET)

00730 200 FORMAT(1H ,A3,'=',F9.6,', Y=',1PD13.3) L861212 PAGE 2

00740 201 FORMAT(1H ,A1,' RA Mode Nd Ndiv Nep AK(DIRICM ',A6,'))

00750 210 FORMAT(1H ,A3,'=',F20.15,', Y=',1PD13.3,', MODE:',2A1,'(',2I3,','))

00760 220 FORMAT(1H ,A1,F8.5,2X,2A1,2I5,2X,I4,2X,3F20.15)

00770 END

```

00780 *
00790 *      FIELD
00800 *
00810     SUBROUTINE FIELD(AO,CL,CS)
00820     IMPLICIT REAL*8 (A-H,D-Z)
00830     CHARACTER CL(0:1)*1,CS(0:1)*1,SHAP*6
00840     COMMON
00850     /*NN/ND,NDM1,NMAT,NMATE1,NDIV,NL,NSY,NEP,NSHAPE
00860     */AK/AK
00870     /*EL/EL(21,21),BX(21),FACT(21)
00880     */PH/PHAI,RA
00890     */CH/SHAP(0:1)

00900 C
00910     AK=AO
00920     CALL INTEG
00930     CALL ELEM
00940     WRITE(6,*) ' '
00950     DO 50 I=1,NMAT
00960     50 WRITE(6,400) (EL(I,J),J=1,NMAT)
00970     400 FORMAT(1H ,10(1PD13.3))
00980     CALL SIML(EL,BX,21,21,21,1,NMAT,0,1,DETM)
00990     BXMAX=.0.E+00
01000     DO 10 J=1,NMAT
01010     IF(DABS(BX(J))>BXMAX) BXMAX= DABS(BX(J))
01020     10 CONTINUE
01030     IF(BXMAX.EQ.0) THEN
01040     WRITE(6,*) 'Trivial Solution!'
01050     STOP 1
01060     ENDIF
01070     DO 11 J=1,NMAT
01080     11 BX(J)= BX(J)/BXMAX
01090     CALL ELEM
01100     CALL CHKB
01110     WRITE(6,*) ' '
01120     WRITE(6,200) ';',SHAP(NSHAPE)
01130     WRITE(6,210) ';',RA,CL(NL),CS(NSY),ND,NDIV,NEP,AO
01140     WRITE(6,220) (BX(I),I=1,NMAT)
01150     RETURN
01160     200 FORMAT(1H ,A1,' RA Mode Nd Ndiv Nep AK(DIRICM ',A6,'))


01170     210 FORMAT(1H ,A1,F8.5,2X,2A1,2I5,2X,I4,2X,3F9.6)
01180     220 FORMAT((1H ,';',5(1PD14.4)))
01190 END

01200 *
01210 *      PARAMETER
01220 *
01230     BLOCKDATA VAL
01240     CHARACTER SHAP*6
01250     COMMON
01260     /*NA/JM1(21),NSLO(0:20),NNU(0:1,21)
01270     */CH/SHAP(0:1)

01280 C
01290     DATA JM1/ 0, 1, 2, 3, 4, 5, 6, 7, 8, 9,
01300     *          10,11,12,13,14,15,16,17,18,19,20/
01310     DATA NNU/ 0, 1, 2, 3, 4, 5, 6, 7, 8, 9,
01320     *          10,11,12,13,14,15,16,17,18,19,
01330     *          20,21,22,23,24,25,26,27,28,29,
01340     *          30,31,32,33,34,35,36,37,38,39,
01350     *          40,41/
01360     DATA SHAP/'ELLIPS',' RECT '/
01370 END


```

BOUNDARY INTEGRAL ANALYSIS(DIRICHLET)

L861212 PAGE 3

```
01380 *
01390 *
01400 *
01410     FUNCTION VALUE(AKK)
01420     IMPLICIT REAL*8 (A-H,O-Z)
01430     DIMENSION DM(1,1)
01440     COMMON
01450 *//NN/ND,NDM1,NMAT,NMATE1,NDIV,NL,NSY,NEP,NSHAPE
01460 */AK/AK
01470 */EL/EL(21,21),BX(21),FACT(21)
01480 C
01490     AK=AKK
01500     CALL INTEG
01510     CALL ELEM
01520     CALL SIML(EL,DM,21,21,1,1,NMAT,0,0,VALUE)
01530     RETURN
01540 END

01550 *
01560 *
01570 *
01580 SUBROUTINE SETN
01590 COMMON
01600 */IJ/I1,J1,II1(20),JJ1(21)
01610 */NN/ND,NDM1,NMAT,NMATE1,NDIV,NL,NSY,NEP,NSHAPE
01620 */NA/JM1(21),NSLO(0:20),NNU(0:1,21)
01630 C
01640     NDM1= ND-1
01650     NMAT= ND+(1-NL)*(-1)**(1-NSY)
01660     NMATE1= NMAT-1
01670     DO 10 J=1,NMAT
01680 10   JJ1(J)= J-NSY
01690     RETURN
01700 END
```

BOUNDARY INTEGRAL ANALYSIS(DIRICHLET)

L861212 PAGE 4

```

01710 *
01720 *
01730 *
01740     SUBROUTINE COOR
01750     IMPLICIT REAL*8 (A-H,O-Z)
01760     COMMON
01770     /*NN/ND,NDM1,NMAT,NMATE1,NDIV,NL,NSY,NEP,NSHAPE
01780     /*NA/JM1(21),NSLO(0:20),NNU(0:1,21)
01790     /*CO/X(0:21),Y(0:21),DLX(0:20),DLY(0:20),SL0(0:20),SL(0:20)
01800     /*PA/PAI,PAIH,PAID
01810     /*PH/PHAI,RA
01820     /*VN/VNX(0:20),VNY(0:20)
01830 C
01840     CALL SHAPE
01850     DO 11 I=0,NDM1
01860     DX= X(I+1)-X(I)
01870     DY= Y(I+1)-Y(I)
01880     SL(I)= DSQRT(DX**2+DY**2)
01890     IF(DX.GT.0) THEN
01900     NSLO(I)= 1
01910     SLO(I)= DY/DX
01920     DLX(I)= 1/DSQRT(1+SLO(I)**2)
01930     DLY(I)= DLX(I)*SLO(I)
01940     ELSEIF(DX.EQ.0) THEN
01950     NSLO(I)= 0
01960     DLX(I)= 0
01970     IF(DY.GT.0) DLY(I)= 1
01980     IF(DY.EQ.0) STOP 30
01990     IF(DY.LT.0) DLY(I)=-1
02000     ELSE
02010     NSLO(I)=-1
02020     SLO(I)= DY/DX
02030     DLX(I)=-1/DSQRT(1+SLO(I)**2)
02040     DLY(I)= DLX(I)*SLO(I)
02050     ENDIF
02060 11 CONTINUE
02070     DO 13 I=0,NDM1
02080     AVN= DSQRT((Y(I+1)-Y(I))**2+(X(I)-X(I+1))**2)
02090     VNX(I)= (Y(I+1)-Y(I))/AVN
02100     VNY(I)= (X(I)-X(I+1))/AVN
02110 13 CONTINUE
02120     RETURN
02130     END

```

BOUNDARY INTEGRAL ANALYSIS(DIRICHLET)

L861212 PAGE 5

```
02140 *
02150 *
02160 *
02170     SUBROUTINE SHAPE
02180     IMPLICIT REAL*8 (A-H,O-Z)
02190     DIMENSION TH(0:20)
02200     COMMON
02210     */NN/ND,NDM1,NMAT,NMATE1,NDIV,NL,NSY,NEP,NSHAPE
02220     */NA/JM1(21),NSLO(0:20),NNU(0:1,21)
02230     */CO/X(0:21),Y(0:21),DLX(0:20),DLY(0:20),SL0(0:20),SL(0:20)
02240     */PA/PAI,PAIH,PAID
02250     */PH/PHAI,RA
02260 C
02270     IF(NSHAPE.EQ.0) THEN
02280     PD= PAIH/ND
02290     DO 10 I=0,NDM1
02300     THIO= PD*I
02310     R= DSQRT((RA*DCOS(THIO))**2+DSIN(THIO)**2)
02320     TH(I)= DATAN(1./RA *DTAN(THIO))
02330     X(I)= R*DCOS(TH(I))
02340     Y(I)= R*DSIN(TH(I))
02350 10 CONTINUE
02360     TH(ND)= PAIH
02370     X(ND)= 0.0
02380     Y(ND)= 1.0
02390     ELSE
02400     DO 11 J=0,ND/2
02410     X(J)= RA
02420     Y(J)= J/DFLOAT(ND/2)
02430 11 CONTINUE
02440     DO 12 J=ND/2+1,ND
02450     X(J)= RA*(1-(J-ND/2)/DFLOAT(ND-ND/2))
02460     Y(J)= 1.0
02470 12 CONTINUE
02480     ENDIF
02490     RETURN
02500     END

02510 *
02520 *
02530 *
02540     SUBROUTINE INTEG
02550     IMPLICIT REAL*8 (A-H,O-Z)
02560     EXTERNAL FUNCN,FUNCNL
02570     COMMON
02580     */IJ/I1,J1,II1(20),JJ1(21)
02590     */NN/ND,NDM1,NMAT,NMATE1,NDIV,NL,NSY,NEP,NSHAPE
02600     */NA/JM1(21),NSLO(0:20),NNU(0:1,21)
02610     */CO/X(0:21),Y(0:21),DLX(0:20),DLY(0:20),SL0(0:20),SL(0:20)
02620     */PI/PN(21,0:20),PNL(21,0:20)
02630 C
02640     DO 10 I=1,NMAT
02650     I1= NNU(NL,I+(1-NL)*(1-NSY))
02660     DO 10 J=0,NDM1
02670     J1= J
02680     PN(I,J)= DGAUSP(FUNCN,NDIV,0.0,SL(J1))
02690     PNL(I,J)= DGAUSP(FUNCNL,NDIV,0.0,SL(J1))/SL(J1)
02700 10 CONTINUE
02710     RETURN
02720     END
```

BOUNDARY INTEGRAL ANALYSIS(DIRICHLET)

L861212 PAGE 6

```

02730 *
02740 *
02750 *
02760     SUBROUTINE ELEM
02770     IMPLICIT REAL*8 (A-H,O-Z)
02780     DIMENSION WORK(21,0:20)
02790     COMMON
02800     */IJ/I1,J1,II1(20),JJ1(21)
02810     */NN/ND,NDM1,NMAT,NMATE1,NDIV,NL,NSY,NEP,NSHAPE
02820     */NA/JM1(21),NSLO(0:20),NNU(0:1,21)
02830     */AK/AK
02840     */PI/PN(21,0:20),PNL(21,0:20)
02850     */EL/EL(21,21),BX(21),FACT(21)
02860 C
02870     DO 10 I=1,NMAT
02880     WORK(I,0)= PN(I,0)-PNL(I,0)
02890     DO 11 J=1,NDM1
02900     11 WORK(I,J)= PN(I,J)-PNL(I,J)+PNL(I,JM1(J))
02910     WORK(I,ND)= PNL(I,NDM1)
02920     10 CONTINUE
02930     DO 12 I=1,NMAT
02940     12 FACT(I)= 1./DABS(DJBES(NNU(NL,I),0.9*AK))
02950     DO 13 I=1,NMAT
02960     DO 13 J=1,NMAT
02970     13 EL(I,J)= WORK(I,JJ1(J))*FACT(I)
02980     RETURN
02990     END

```

```

03000 *
03010 *
03020 *
03030     SUBROUTINE CHKB
03040     IMPLICIT REAL*8 (A-H,O-Z)
03050     COMMON
03060     */NN/ND,NDM1,NMAT,NMATE1,NDIV,NL,NSY,NEP,NSHAPE
03070     */EL/EL(21,21),BX(21),FACT(21)
03080 C
03090     NHALFL= NMAT/2
03100     WRITE(6,*)
03110     DO 10 I=1,NMAT
03120     ALEFT= 0
03130     ARIGH= 0
03140     DO 11 J=1,NHALFL
03150     11 ALEFT= ALEFT+EL(I,J)*BX(J)
03160     DO 12 J=NHALFL+1,NMAT
03170     12 ARIGH= ARIGH+EL(I,J)*BX(J)
03180     ERR= 0.
03190     IF(ALEFT.NE.0) ERR= DABS((ALEFT+ARIGH)/ALEFT)
03200     WRITE(6,400) ALEFT,ARIGH,ERR
03210     10 CONTINUE
03220     RETURN
03230     400 FORMAT(1H ,3(1PD13.3))
03240     END

```

```

03250 *
03260 *
03270 *
03280     FUNCTION FUNCN(S)
03290     IMPLICIT REAL*8 (A-H,O-Z)
03300     COMMON
03310     */IJ/I1,J1,II1(20),JJ1(21)
03320     */AK/AK
03330     */PH/PHAI,RA
03340     */CO/X(0:21),Y(0:21),DLX(0:20),DLY(0:20),SL0(0:20),SL(0:20)
03350 C
03360     XX= X(J1)+DLX(J1)*S
03370     YY= Y(J1)+DLY(J1)*S
03380     R= DSQRT(XX**2+YY**2)
03390     RK= AK*R
03400     FUNCN= DJBES(I1,RK)*DCOS(I1*THITA(XX,YY)+PHAI)
03410     RETURN
03420     END

```

BOUNDARY INTEGRAL ANALYSIS(DIRICHLET)

L861212 PAGE 7

```
03430 *
03440 *
03450 *
03460     FUNCTION FUNCNL(S)
03470     IMPLICIT REAL*8 (A-H,O-Z)
03480 C
03490     FUNCNL= FUNCN(S)*S
03500     RETURN
03510     END

03520 *
03530 *
03540 *
03550     FUNCTION THITA(X,Y)
03560     IMPLICIT REAL*8 (A-H,O-Z)
03570     COMMON
03580     */PA/PAI,PAIH,PAID
03590 C
03600     IF(X) 21,22,20
03610 20 THITA= DATAN(Y/X)
03620     RETURN
03630 21 THITA= PAIH*DABS(Y)/Y
03640     RETURN
03650 22 THITA= 0.0
03660     RETURN
03670     END
```

B - 2 - 2 ノイマン型境界値問題解析プログラム

```

*****
* BOUNDARY INTEGRAL ANALYSIS(NEUMANN) *
* DATE=86-12-12 *
*****
00010 *
00020 *      SOLUTION OF NEUMANN BOUNDARY VALUE PROBLEMS
00030 *      BY BOUNDARY ELEMENT METHOD (MODIFIED ONE)
00040 *
00050     PROGRAM NEUMNM
00060     IMPLICIT REAL*8 (A-H,O-Z)
00070     CHARACTER CL(0:1)*1,CS(0:1)*1,SHAP*6
00080     DIMENSION AKK(5)
00090     COMMON
00100    /*NN/ND,NDM1,NMAT,NMATE1,NDIV,NL,NSY,NEP,NSHAPE
00110    /*NA/JM1(21),NSLO(0:20),NNU(0:1,21)
00120    /*AK/AK
00130    /*PA/PAI,PAIH,PAID
00140    /*PH/PHAI,RA
00150    /*CO/X(0:21),Y(0:21),DLX(0:20),DLY(0:20),SL0(0:20),SL(0:20)
00160    /*VN/VNX(0:20),VNY(0:20)
00170    /*PI/PN(21,0:20),PNL(21,0:20)
00180    /*EL/EL(21,21),BX(21),FACT(21)
00190    /*CH/SHAP(0:1)
00200    DATA CL,CS/'0','1','0','E'
00210    PAI= 3.141592653589793
00220    PAIH= 0.5*PAI
00230    PAID= 2.0*PAI
00240 C
00250 44 WRITE(6,*) 'INPUT NSHAPE(0:ELLIPS 1:RECT)'
00260  READ(5,*,ERR=44) NSHAPE
00270  WRITE(6,201) ';',SHAP(NSHAPE)
00280  NEP= 6
00290  20 WRITE(6,*) 'Input Ra,Nl,NSy'
00300  READ(5,*,ERR=20) RA,NL,NSY
00310  PHAI= -PAIH*(1-NSY)
00320  21 WRITE(6,*) 'Input Nd,Ndiv,eps'
00330  READ(5,*,ERR=21) ND,NDIV,NEP
00340  EPS= 10.0**(-NEP)
00350  CALL SETN
00360  CALL COOR
00370  22 JAK= 0
00380  WRITE(6,*) 'Input A1,Ad,Ae'
00390  READ(5,*,ERR=22) A1,AD,AE
00400  IF(A1.EQ.0) GOTO 26
00410  CALL CLOCK
00420  Y1= VALUE(A1)
00430  CALL CLOCK(TIME)
00440  WRITE(6,400) TIME
00450  400 FORMAT(1H , 'TIME=',1PD13.3,' SEC')
00460  WRITE(6,200) ' A1',A1,Y1
00470  23 A2=A1+AD
00480  IF(A2.GE.AE) GOTO 24
00490  Y2= VALUE(A2)
00500  IF(Y1*Y2.LE.0) THEN
00510  JAK= JAK+1
00520  CALL SOLVE(A1,A2,Y1,Y2,A0,Y0,EPS)
00530  WRITE(6,210) ';AK',AO,Y0,CL(NL),CS(NSY),ND,NDIV
00540  AKK(JAK)=AO
00550  ENDIF
00560  WRITE(6,200) ' A2',A2,Y2
00570  A1= A2
00580  Y1= Y2
00590  GOTO 23
00600  24 WRITE(6,201) ';',SHAP(NSHAPE)
00610  IF(JAK.GT.0) THEN
00620  WRITE(6,220) ';',RA,CL(NL),CS(NSY),ND,NDIV,NEP,(AKK(J),J=1,JAK)
00630  ELSE
00640  WRITE(6,220) ';',RA,CL(NL),CS(NSY),ND,NDIV,NEP
00650  ENDIF
00660  26 WRITE(6,*) '0:Continue 1:Nd,Ndiv 2:Ra,Nl,NSy 3:Field 4:Stop'
00670  READ(5,100) NJ
00680  GOTO (22,21,20,28,40),NJ+1
00690  28 CALL FIELD(AO,CL,CS)
00700  GOTO 26
00710  40 STOP 0
00720  100 FORMAT(I1)

```

BOUNDRY INTEGRAL ANALYSIS(NEUMANN)

00730 200 FORMAT(1H ,A3,'=',F12.9,' Y=',1PD13.3) L861212 PAGE 2
 00740 201 FORMAT(1H ,A1,' RA Mode Nd Ndiv Nep AK(NEUMNM ',A6,'')
 00750 210 FORMAT(1H ,A3,'=',F12.9,' Y=',1PD13.3,' MODE:',2A1,'(',2I3,'')
 00760 220 FORMAT(1H ,A1,F8.5,2X,2A1,2I5,2X,I4,2X,3F12.9)
 00770 END

00780 *
 00790 * FIELD
 00800 *
 00810 SUBROUTINE FIELD(AO,CL,CS)
 00820 IMPLICIT REAL*8 (A-H,O-Z)
 00830 CHARACTER CL(0:1)*1,CS(0:1)*1,SHAP*6
 00840 COMMON
 *//NN/ND,NDM1,NMAT,NMATH1,NDIV,NL,NSY,NEP,NSHAPE
 *//AK/AK
 *//EL/EL(21,21),BX(21),FACT(21)
 *//PH/PHAI,RA
 *//CH/SHAP(0:1)
 00900 C
 AK=AO
 CALL INTEG
 CALL ELEM
 WRITE(6,*) ''
 00950 DO 50 I=1,NMAT
 00960 50 WRITE(6,400) (EL(I,J),J=1,NMAT)
 00970 400 FORMAT(1H ,10(1PD13.3))
 00980 CALL SIML(EL,BX,21,21,21,1,NMAT,0,1,DETM)
 00990 BXMAX= 0.
 01000 DO 10 J=1,NMAT
 01010 IF(DABS(BX(J)) .GT. BXMAX) BXMAX= DABS(BX(J))
 01020 10 CONTINUE
 01030 IF(BXMAX.EQ.0).THEN
 01040 WRITE(6,*) 'Trivial Solution!'
 01050 STOP 1
 01060 ENDIF
 01070 DO 11 J=1,NMAT
 01080 11 BX(J)= BX(J)/BXMAX
 01090 CALL ELEM
 01100 CALL CHKB
 01110 WRITE(6,*) ''
 01120 WRITE(6,200) ';',SHAP(NSHAPE)
 01130 WRITE(6,210) ';',RA,CL(NL),CS(NSY),ND,NDIV,NEP,AO
 01140 WRITE(6,220) (BX(I),I=1,NMAT)
 01150 RETURN
 01160 200 FORMAT(1H ,A1,' RA Mode Nd Ndiv Nep AK(NEUMNM ',A6,'')
 01170 210 FORMAT(1H ,A1,F8.5,2X,2A1,2I5,2X,I4,2X,3F9.6)
 01180 220 FORMAT((1H ,';',5(1PD14.4)))
 01190 END

01200 *
 01210 * PARAMETER
 01220 *
 01230 BLOCKDATA VAL
 01240 CHARACTER SHAP*6
 01250 COMMON
 *//NA/JM1(21),NSLO(0:20),NNU(0:1,21)
 *//CH/SHAP(0:1)
 01280 C
 DATA JM1/ 0, 1, 2, 3, 4, 5, 6, 7, 8, 9,
 * 10,11,12,13,14,15,16,17,18,19,20/
 DATA NNU/ 0, 1, 2, 3, 4, 5, 6, 7, 8, 9,
 * 10,11,12,13,14,15,16,17,18,19,
 * 20,21,22,23,24,25,26,27,28,29,
 * 30,31,32,33,34,35,36,37,38,39,
 * 40,41/
 DATA SHAP/'ELLIPS',' RECT '/
 END

BOUNDARY INTEGRAL ANALYSIS(NEUMANN)

```
01380 *
01390 *
01400 *
01410     FUNCTION VALUE(AKK)
01420     IMPLICIT REAL*8 (A-H,O-Z)
01430     DIMENSION DM(1,1)
01440     COMMON
01450     */NN/ND,NDM1,NMAT,NMATM1,NDIV,NL,NSY,NEP,NSHAPE
01460     */AK/AK
01470     */EL/EL(21,21),BX(21),FACT(21)
01480 C
01490     AK=AKK
01500     CALL INTEG
01510     CALL ELEM
01520     CALL SIML(EL,DM,21,21,1,1,NMAT,0,0,VALUE)
01530     RETURN
01540     END

01550 *
01560 *
01570 *
01580     SUBROUTINE SETN
01590     COMMON
01600     */IJ/I1,J1,II1(20),JJ1(21)
01610     */NN/ND,NDM1,NMAT,NMATM1,NDIV,NL,NSY,NEP,NSHAPE
01620     */NA/JM1(21),NSLO(0:20),NNU(0:1,21)
01630 C
01640     NDM1= ND-1
01650     NMAT= ND+(1-NL)*(-1)**(1-NSY)
01660     NMATM1= NMAT-1
01670     DO 10 J=1,NMAT
01680     10 JJ1(J)= J-NSY
01690     RETURN
01700     END
```

BOUNDARY INTEGRAL ANALYSIS(NEUMANN)

L861212 PAGE 4

```
01710 *
01720 *
01730 *
01740     SUBROUTINE COOR
01750     IMPLICIT REAL*8 (A-H,O-Z)
01760     COMMON
01770     */NN/ND,NDM1,NMAT,NMATH1,NDIV,NL,NSY,NEP,NSHAPE
01780     */NA/JM1(21),NSLO(0:20),NNU(0:1,21)
01790     */CO/X(0:21),Y(0:21),DLX(0:20),DLY(0:20),SL0(0:20),SL(0:20)
01800     */PA/PAI,PAIH,PAID
01810     */PH/PHAI,RA
01820     */VN/VNX(0:20),VNY(0:20)
01830 C
01840     CALL SHAPE
01850     DO 11 I=0,NDM1
01860     DX= X(I+1)-X(I)
01870     DY= Y(I+1)-Y(I)
01880     SL(I)= DSQRT(DX**2+DY**2)
01890     IF(DX.GT.0) THEN
01900     NSLO(I)= 1
01910     SLO(I)= DY/DX
01920     DLX(I)= 1/DSQRT(1+SLO(I)**2)
01930     DLY(I)= DLX(I)*SLO(I)
01940     ELSEIF(DX.EQ.0) THEN
01950     NSLO(I)= 0
01960     DLX(I)= 0
01970     IF(DY.GT.0) DLY(I)= 1
01980     IF(DY.EQ.0) STOP 30
01990     IF(DY.LT.0) DLY(I)=-1
02000     ELSE
02010     NSLO(I)=-1
02020     SLO(I)= DY/DX
02030     DLX(I)=-1/DSQRT(1+SLO(I)**2)
02040     DLY(I)= DLX(I)*SLO(I)
02050     ENDIF
02060 11  CONTINUE
02070     DO 13 I=0,NDM1
02080     AVN= DSQRT((Y(I+1)-Y(I))**2+(X(I)-X(I+1))**2)
02090     VNX(I)= (Y(I+1)-Y(I))/AVN
02100     VNY(I)= (X(I)-X(I+1))/AVN
02110 13  CONTINUE
02120     RETURN
02130     END
```

BOUNDARY INTEGRAL ANALYSIS(NEUMANN)

L861212 PAGE 5

```
02140 *
02150 *
02160 *
02170     SUBROUTINE SHAPE
02180     IMPLICIT REAL*8 (A-H,O-Z)
02190     DIMENSION TH(0:20)
02200     COMMON
02210     */NN/ND,NDM1,NMAT,NMATE1,NDIV,NL,NSY,NEP,NSHAPE
02220     */NA/JM1(21),NSLO(0:20),NNU(0:1,21)
02230     */CO/X(0:21),Y(0:21),DLX(0:20),DLY(0:20),SL0(0:20),SL(0:20)
02240     */PA/PAI,PAIH,PAID
02250     */PH/PHAI,RA
02260 C
02270     IF(NSHAPE.EQ.0) THEN
02280     PD= PAIH/ND
02290     DO 10 I=0,NDM1
02300     THIO= PD*I
02310     R= DSQRT((RA*DCOS(THIO))**2+DSIN(THIO)**2)
02320     TH(I)= DATAN(1./RA *DTAN(THIO))
02330     X(I)= R*DCOS(TH(I))
02340     Y(I)= R*DSIN(TH(I))
02350   10 CONTINUE
02360     TH(ND)= PAIH
02370     X(ND)= 0.0
02380     Y(ND)= 1.0
02390     ELSE
02400     DO 11 J=0,ND/2
02410     X(J)= RA
02420     Y(J)= J/DFLOAT(ND/2)
02430   11 CONTINUE
02440     DO 12 J=ND/2+1,ND
02450     X(J)= RA*(1-(J-ND/2)/DFLOAT(ND-ND/2))
02460     Y(J)= 1.0
02470   12 CONTINUE
02480   ENDIF
02490   RETURN
02500 END

02510 *
02520 *
02530 *
02540     SUBROUTINE INTEG
02550     IMPLICIT REAL*8 (A-H,O-Z)
02560     EXTERNAL FUNCN, FUNCNL
02570     COMMON
02580     */IJ/I1,J1,II1(20),JJ1(21)
02590     */NN/ND,NDM1,NMAT,NMATE1,NDIV,NL,NSY,NEP,NSHAPE
02600     */NA/JM1(21),NSLO(0:20),NNU(0:1,21)
02610     */CO/X(0:21),Y(0:21),DLX(0:20),DLY(0:20),SL0(0:20),SL(0:20)
02620     */PI/PN(21,0:20),PNL(21,0:20)
02630 C
02640     DO 10 I=1,NMAT
02650     I1= NNU(NL,I+(1-NL)*(1-NSY))
02660     DO 10 J=0,NDM1
02670     J1= J
02680     PN(I,J)= DGAUSP(FUNCN,NDIV,0.0,SL(J1))
02690     PNL(I,J)= DGAUSP(FUNCNL,NDIV,0.0,SL(J1))/SL(J1)
02700   10 CONTINUE
02710   RETURN
02720 END
```

BOUNDARY INTEGRAL ANALYSIS(NEUMANN)

L861212 PAGE 6

```
02730 *
02740 *
02750 *
02760     SUBROUTINE ELEM
02770     IMPLICIT REAL*8 (A-H,O-Z)
02780     DIMENSION WORK(21,0:20)
02790     COMMON
02800     */IJ/I1,J1,II1(20),JJ1(21)
02810     */NN/ND,NDM1,NMAT,NMATE1,NDIV,NL,NSY,NEP,NSHAPE
02820     */NA/JM1(21),NSLO(0:20),NNU(0:1,21)
02830     */AK/AK
02840     */PI/PN(21,0:20),PNL(21,0:20)
02850     */EL/EL(21,21),BX(21),FACT(21)
02860 C
02870     DO 10 I=1,NMAT
02880     WORK(I,0)= PN(I,0)-PNL(I,0)
02890     DO 11 J=1,NDM1
02900     11 WORK(I,J)= PN(I,J)-PNL(I,J)+PNL(I,JM1(J))
02910     WORK(I,ND)= PNL(I,NDM1)
02920     10 CONTINUE
02930     DO 12 I=1,NMAT
02940     12 FACT(I)= 1./DABS(DJBES(NNU(NL,I),0.9*AK))
02950     DO 13 I=1,NMAT
02960     DO 13 J=1,NMAT
02970     13 EL(I,J)= WORK(I,JJ1(J))*FACT(I)
02980     RETURN
02990     END
```

```
03000 *
03010 *
03020 *
03030     SUBROUTINE CHKB
03040     IMPLICIT REAL*8 (A-H,O-Z)
03050     COMMON
03060     */NN/ND,NDM1,NMAT,NMATE1,NDIV,NL,NSY,NEP,NSHAPE
03070     */EL/EL(21,21),BX(21),FACT(21)
03080 C
03090     NHALFL= NMAT/2
03100     WRITE(6,*)
03110     DO 10 I=1,NMAT
03120     ALEFT= 0.
03130     ARIGH= 0.,Y(0:1)
03140     DO 11 J=1,NHALFL
03150     11 ALEFT= ALEFT+EL(I,J)*BX(J)
03160     DO 12 J=NHALFL+1,NMAT
03170     12 ARIGH= ARIGH+EL(I,J)*BX(J)
03180     ERR= 0.
03190     IF(ALEFT.NE.0) ERR= DABS((ALEFT+ARIGH)/ALEFT)
03200     WRITE(6,400),ALEFT,ARIGH,ERR
03210     10 CONTINUE
03220     RETURN
03230     400 FORMAT(1H ,3(1PD13.3))
03240     END
```

BOUNDARY INTEGRAL ANALYSIS(NEUMANN)

L861212 PAGE 7

```
03250 *
03260 *
03270 *
03280     FUNCTION FUNCN(S)
03290     IMPLICIT REAL*8 (A-H,O-Z)
03300     COMMON
03310     */IJ/I1,J1,II1(20),JJ1(21)
03320     */AK/AK
03330     */PH/PHAI,RA
03340     */CO/X(0:21),Y(0:21),DLX(0:20),DLY(0:20),SL0(0:20),SL(0:20)
03350     */VN/VNX(0:20),VNY(0:20)
03360 C
03370     XX= X(J1)+DLX(J1)*S
03380     YY= Y(J1)+DLY(J1)*S
03390     R= DSQRT(XX**2+YY**2)
03400     RK= AK*R
03410     TH= THITA(XX,YY)
03420     CO= DCOS(TH)
03430     SI= DSIN(TH)
03440     BEJ= DJBES(I1,RK)
03450     BEJP= DJBES(I1+1,RK)
03460     FR= AK*(I1/RK *BEJ-BEJP)*DCOS(I1*TH+PHAI)
03470     FT= 1./R *BEJ*(-I1)*DSIN(I1*TH+PHAI)
03480     FUNCN= VNX(J1)*(CO*FR-SI*FT)+VNY(J1)*(SI*FR+CO*FT)
03490     RETURN
03500     END

03510 *
03520 *
03530 *
03540     FUNCTION FUNCNL(S)
03550     IMPLICIT REAL*8 (A-H,O-Z)
03560 C
03570     FUNCNL= FUNCN(S)*S
03580     RETURN
03590     END

03600 *
03610 *
03620 *
03630     FUNCTION THITA(X,Y)
03640     IMPLICIT REAL*8 (A-H,O-Z)
03650     COMMON
03660     */PA/PAI,PAIH,PAID
03670 C
03680     IF(X) 21,22,20
03690 20 THITA= DATAN(Y/X)
03700     RETURN
03710 21 THITA= PAIH*DABS(Y)/Y
03720     RETURN
03730 22 THITA= 0.0
03740     RETURN
03750     END
```

B-3 均一コア光ファイバの固有モード解析

B-3-1 楕円コア光ファイバの固有モード解析プログラム

```

*****
* ANALYSIS OF ELLIPTICAL CORE FIBERS *
* DATE=86-12-12 *
*****
00010 *
00020 *      ANALYSIS OF ELLIPTICAL CORE OPTICAL FIBERS
00030 *      BY MODIFIED BOUNARY INTEGRAL METHOD (M-B.I.M)      85.
00040 *
00050     PROGRAM ELPSBI
00060     IMPLICIT REAL*8 (A-H,O-Z)
00070     CHARACTER CL(0:1)*1,CS(0:1)*1
00080     DIMENSION AKK(5),BKK(5)
00090     COMMON
00100    /*NA/JM1(21),NNU(0:1,21),JE(21),JH(21)
00110    /*NN/N,NE,NH,NMAT,NEP,NDIVO,NDIVP
00120    /*NS/NL,NSY
00130    /*AK/AK,BK
00140    /*EL/EL(41,41),BX(41),FACT(21)
00150    /*NR/RN1,RNC,RN12,RNC2
00160    /*PA/PAI,PAIH,PAID,PHAI
00170    /*SH/RRA
00180    DATA CL,CS/'0','1','0','E'/
00190    PAI= 3.141592653589793D0
00200    PAIH= 0.5*PAI
00210    PAID= 2.0*PAI
00220 C
00230     WRITE(6,201)  '
00240     EPS= 1.0D-6
00250 20  WRITE(6,*) 'Input Ra,Nr1,Nrc,NL,NSy'
00260     READ(5,*,ERR=20) RRA,RN1,RNC,NL,NSY
00270     RN12= RN1*RN1
00280     RNC2= RNC*RNC
00290     PHAI= -PAIH*(1-NSY)
00300 21  WRITE(6,*) 'Input Ndiv0,Ndiv,eps'
00310     READ(5,*,ERR=21) NDIVO,NDIVP,NEP
00320     EPS= 10.0**(-NEP)
00330 22  WRITE(6,*) 'Input N'
00340     READ(5,*,ERR=22) N
00350     CALL,COOR
00360     CALL,SETN
00370     CALL,TANF
00380     JAK= 0
00390 23  WRITE(6,*) 'Input V'
00400     READ(5,*,ERR=23) V
00410     IF(V.LE.0) GOTO 23
00420     AK= V/DSQRT(RN12-RNC2)
00430 24  WRITE(6,*) 'Input B1,Bd,Be'
00440     READ(5,*,ERR=24) B1,BD,BE
00450     IF(B1.EQ.0.OR.BD.LE.0.OR.BE.GE.RN1) GOTO 27
00460     CALL CLOCK
00470     Y1= VALUE(B1)
00480     CALL CLOCK(TIME)
00490     WRITE(6,400) TIME
00500 400 FORMAT(1H , 'TIME=',1PD13.3,' SEC')
00510     WRITE(6,200) V,' B1',B1,Y1
00520 25  B2=B1+BD
00530     IF(B2.GE.BE.OR.JAK.EQ.3) GOTO 26
00540     Y2= VALUE(B2)
00550     IF(Y1*Y2.LE.0) THEN
00560     JAK= JAK+1
00570     CALL SOLVE(B1,B2,Y1,Y2,B0,Y0,EPS)
00580     WRITE(6,200) V,';B0',B0,Y0
00590     AKK(JAK)= V
00600     BKK(JAK)= B0
00610     ENDIF
00620     WRITE(6,200) V,' B2',B2,Y2
00630     B1= B2
00640     Y1= Y2
00650     GOTO 25
00660 26  WRITE(6,201)  '
00670     IF(JAK.GT.0) THEN
00680     WRITE(6,220) ';',RRA,RN1,RNC,CL(NL),CS(NSY),N,NEP,NDIVO,NDIVP,
00690     *          (AKK(J),BKK(J),J=1,JAK)
00700     JAK= 0
00710     ELSE
00720     WRITE(6,220) ' ',RRA,RN1,RNC,CL(NL),CS(NSY),N,NEP,NDIVO,NDIVP

```

ANALYSIS OF ELLIPTICAL CORE FIBERS

L861212 PAGE 2

```

00730      ENDIF
00740      27 WRITE(6,*) '0:BK 1:AK 2:N 3:Ndiv,EPS 4:Ra,NL,Nsy 5:Field 6:Stop'
00750      READ(5,100) NJ
00760      GOTO (24,23,22,21,20,28,40),NJ+1
00770      28 CALL FIELD(B0,CL,CS)
00780      GOTO 27
00790      40 STOP 0
00800      100 FORMAT(I1)
00810      200 FORMAT(1H , 'AK=',F10.5,3X,A3,'=',F12.9,' Y=',1PD13.3)
00820      201 FORMAT(1H ,A1,' RA   NR1   NRC Mode N  Nep  Np0  Np   ',,
00830      *           'AK          BK')
00840      220 FORMAT(1H ,A1,3F6.3,2X,2A1,4I5,2X,3(F14.10,F19.15))
00850      END

00860      *
00870      *      FIELD
00880      *
00890      SUBROUTINE FIELD(B0,CL,CS)
00900      IMPLICIT REAL*8 (A-H,O-Z)
00910      CHARACTER CL(0:1)*1,CS(0:1)*1
00920      DIMENSION BE(21),BH(21)
00930      COMMON
00940      /*NA/JM1(21),NNU(0:1,21),JE(21),JH(21)
00950      /*NN/N,NE,NH,NMAT,NEP,NDIVO,NDIVP
00960      /*NS/NL,NSY
00970      /*AK/AK,BK
00980      /*EL/EL(41,41),BX(41),FACT(21)
00990      /*NR/RN1,RNC,RN12,RNC2
01000      /*SH/RRA
01010 C
01020      BK= DSQRT(B0 *(RN12-RNC2)+RNC2)
01030      CALL PARAM
01040      CALL BESEL
01050      CALL FUNC1
01060      CALL ELEM
01070      CALL SIML(EL,BX,41,41,41,1,NMAT,0,1,DETM)
01080      BXMAX= 0.
01090      DO 10 J=1,NMAT
01100      IF(DABS(BX(J)).GT.BXMAX) BXMAX= DABS(BX(J))
01110      10 CONTINUE
01120      IF(BXMAX.EQ.0) THEN
01130      WRITE(6,*) 'Trivial Solution!'
01140      STOP 1
01150      ENDIF
01160      DO 11 J=1,NMAT
01170      11 BX(J)= BX(J)/BXMAX
01180      DO 12 J=1,21
01190      BE(J)= 0.
01200      BH(J)= 0.
01210      12 CONTINUE
01220      DO 13 J=1,NE
01230      13 BE(JE(J))= BX(J)
01240      DO 14 J=1,NH
01250      14 BH(JH(J))= BX(J+NE)
01260 C
01270      CALL FUNC1
01280      CALL ELEM
01290      CALL CHKB
01300      WRITE(6,*) ';'
01310      WRITE(6,201) ';'
01320      WRITE(6,210) ';',RRA,RN1,RNC,CL(NL),CS(NSY),N,NEP,NDIVP,AK,B0
01330      WRITE(6,*) ';'
01340      WRITE(6,*) '; J   E   H'
01350      WRITE(6,220) ((NNU(NL,J),BE(J),BH(J)),J=1,N)
01360      RETURN
01370      201 FORMAT(1H ,A1,' RA   NR1   NRC Mode N  Nep  Np   ',,
01380      *           'AK          BK')
01390      210 FORMAT(1H ,A1,3F6.3,2X,2A1,3I5,2X,3(F7.3,F12.9))
01400      220 FORMAT((1H ,';',I3,3X,2(1PD14.4)))
01410      END

```

ANALYSIS OF ELLIPTICAL CORE FIBERS

```

01420 *
01430 *
01440 *
01450     FUNCTION VALUE(BKK)
01460     IMPLICIT REAL*8 (A-H,O-Z)
01470     DIMENSION DM(1,1)
01480     COMMON
01490     */NN/N,NE,NH,NMAT,NEP,NDIVO,NDIV,NDIVP
01500     */AK/AK,BK
01510     */EL/EL(41,41),BX(41),FACT(21)
01520     */NR/RN1,RNC,RN12,RNC2
01530     */TS/PEM1(20,20),PEMC(20,20),PHM1(20,20),PHMC(20,20)
01540 C
01550     BK= DSQRT(BKK*(RN12-RNC2)+RNC2)
01560     CALL PARAM
01570     CALL BESSEL
01580     CALL FUNC1
01590     CALL ELEM
01600     CALL SIML(EL,DM,41,41,1,1,NMAT,0,0,VALUE)
01610     RETURN
01620     END !
```

01630 *

01640 *

01650 *

01660 BLOCKDATA VAL

01670 COMMON

01680 */NA/JM1(21),NNU(0:1,21),JE(21),JH(21)

01690 C
01700 DATA JM1/ 0, 1, 2, 3, 4, 5, 6, 7, 8, 9,
01710 * 10,11,12,13,14,15,16,17,18,19,20/
01720 DATA NNU/ 0, 1, 2, 3, 4, 5, 6, 7, 8, 9,
01730 * 10,11,12,13,14,15,16,17,18,19,
01740 * 20,21,22,23,24,25,26,27,28,29,
01750 * 30,31,32,33,34,35,36,37,38,39,
01760 * 40,41/
01770 END !

01780 *

01790 *

01800 *

01810 SUBROUTINE SETN

01820 COMMON

01830 */NN/N,NE,NH,NMAT,NEP,NDIVO,NDIV,NDIVP

01840 */NS/NL,NSY!

01850 */NA/JM1(21),NNU(0:1,21),JE(21),JH(21)

01860 C
01870 NE= N-(1-NL)*(1-NSY)
01880 NH= N-(1-NL)* NSY
01890 NMAT= NH+NE
01900 C
01910 DO 10 J=1,N
01920 JE(J)= J+(1-NL)*(1-NSY)
01930 JH(J)= J+(1-NL)* NSY
01940 10 CONTINUE
01950 RETURN
01960 END.

ANALYSIS OF ELLIPTICAL CORE FIBERS

L861212 PAGE 4

```
01970 *
01980 *
01990 *
02000      SUBROUTINE TANF
02010      IMPLICIT REAL*8(A-H,O-Z)
02020      COMMON
02030      */NA/JM1(21),NNU(0:1,21),JE(21),JH(21)
02040      */NN/N,NE,NH,NMAT,NEP,NDIVO,NDIV,NDIVP
02050      */NS/NL,NSY
02060      */TA/TE(20,21),TH(21,20)
02070 C
02080      DO 10 I=1,20
02090      DO 10 J=1,21
02100      TE(I,J)= 0.
02110      TH(J,I)= 0.
02120      10 CONTINUE
02130      DO 11 I=1,N
02140      IF(NL.EQ.1)      TE(I    ,I    )= NNU(1,I    )*(-1)** NSY
02150      IF(NL.EQ.0.AND.NSY.EQ.1) TE(I    ,I+1)=-NNU(0,I+1)
02160      IF(NL.EQ.0.AND.NSY.EQ.0) TE(I+1,   I)= NNU(0,I+1)
02170      11 CONTINUE
02180      DO 12 I=1,N
02190      IF(NL.EQ.1)      TH(I    ,I    )= NNU(1,I    )*(-1)**(1-NSY)
02200      IF(NL.EQ.0.AND.NSY.EQ.1) TH(I+1,I    )= NNU(0,I+1)
02210      IF(NL.EQ.0.AND.NSY.EQ.0) TH(I    ,I+1)=-NNU(0,I+1)
02220      12 CONTINUE
02230      RETURN
02240      END
```

ANALYSIS OF ELLIPTICAL CORE FIBERS

L861212 PAGE 5

```

02250 *
02260 *
02270 *
02280     SUBROUTINE COOR
02290     IMPLICIT REAL*8(A-H,O-Z)
02300     DIMENSION RLPH0(0:10)
02310     COMMON
02320     */NA/JM1(21),NNU(0:1,21),JE(21),JH(21)
02330     */NN/N,NE,NH,NMAT,NEP,NDIVO,NDIV,NDIVP
02340     */NS/NL,NSY
02350     */CO/RD(10,24),XC(20,10,24),XS(20,10,24)
02360     */FH/FACTPH
02370     */PA/PAI,PAIH,PAID,PHAI
02380     */PH/PHAI(E(20,10,24),PHAIH(20,10,24)
02390     */GA/RGO(24),WE0(24)
02400     */RL/RLPH,RLG(10,24),WE(10,24),TH(10,24),THL(10,24),S2(10)
02410     */SH/RRA
02420     */VN/VNR(10,24),VNT(10,24)
02430 C
02440     CALL CLOCK
02450     RLPH= 0.0D0
02460     DO 30 I=1,10
02470     TT1= PAIH/10.0D0*(I-1)
02480     TT2= PAIH/10.0D0* I
02490     RLPH= RLPH+RLEN(TT1,TT2,RRA,1.0D0,6)
02500 30 CONTINUE
02510     FACTPH= PAIH/RLPH
02520     DO 10 L=0,NDIVO
02530     10 RLPH0(L)= RLPH*L/NDIVO
02540     DO 11 L=1,NDIVO
02550     CALL DGAUSP(NDIV,NDIVP,RLPH0(L-1),RLPH0(L),S2(L),RGO,WE0)
02560     DO 11 K=1,NDIVP
02570     RLG(L,K)= RGO(K)
02580     WE(L,K)= WE0(K)
02590 11 CONTINUE
02600 C
02610     DO 12 L=1,NDIVO
02620     DO 13 K=1,NDIVP
02630     TH(L,K)= THITA(RLG(L,K),RRA,1.0D0)
02640     THL(L,K)= PAIH*RLG(L,K)/RLPH
02650     RD(L,K)= RR(TH(L,K),RRA,1.0D0)
02660     VNR(L,K)= RR(TH(L,K),RRA,1.0D0)/SQR(TH(L,K),RRA,1.0D0)
02670     VNT(L,K)= -DRR(TH(L,K),RRA,1.0D0)/SQR(TH(L,K),RRA,1.0D0)
02680 13 CONTINUE
02690     DO 14 I=1,N
02700     DO 14 K=1,NDIVP
02710     XC(I,L,K)= DCOS(NNU(NL,I)*TH(L,K)+PHAI)
02720     XS(I,L,K)= DSIN(NNU(NL,I)*TH(L,K)+PHAI)
02730 14 CONTINUE
02740     DO 15 J=1,N
02750     DO 15 K=1,NDIVP
02760     PHAIE(J,L,K)= DCOS(NNU(NL,J)*THL(L,K)+PHAI)
02770     PHAIH(J,L,K)= DSIN(NNU(NL,J)*THL(L,K)+PHAI)
02780 15 CONTINUE
02790 12 CONTINUE
02800     CALL CLOCK(TIME)
02810     WRITE(6,400) TIME
02820 400 FORMAT(1H , 'qTIME(COOR)=',1PE13.3,' SEC')
02830 C
02840 C     DO 50 K=1,NDIVP
02850 C     RLP= RLEN(0.0D0,TH(K),RRA,1.0D0,6)
02860 C     ERR= DABS((RLG(K)-RLP)/RLG(K))
02870 C 200 FORMAT(1H , ' RL=',F13.10, ' RLP=',F13.10, ' ERR=',1PE10.3)
02880 C 50 CONTINUE
02890     RETURN
02900     END

```

```

ANALYSIS OF ELLIPTICAL CORE FIBERS
02910 *
02920 *      PREP. OF STHITA
02930 *
02940     SUBROUTINE CALTH
02950     IMPLICIT REAL*8(A-H,O-Z)
02960     COMMON
02970     */SH/RRA
02980     */TH/TH(0:10),RLL(0:10)
02990 C
03000     PAI= 3.141592653589793D0
03010     PAIH= 0.5*PAI
03020     TH(0)= 0.
03030     TH(10)= PAIH
03040     RLTA= RLEN(0.0D0,PAIH,RRA,1.0D0,6)
03050 C
03060     DO 10 I=0,10
03070     10 RLL(I)= I*0.1*RLTA
03080     DO 11 I=1,9
03090     11 TH(I)= STHITA(TH(I-1),RLL(I-1),RLL(I),RRA,1.0D0)
03100     RLT= 0.
03110     DO 12 I=1,10
03120     12 RLT= RLT+RLEN(TH(I-1),TH(I),RRA,1.0D0,6)
03130     RETURN
03140     END
03150 *
03160 *      CALC. OF THITA FROM RL
03170 *
03180     FUNCTION THITA(RL,A,B)
03190     IMPLICIT REAL*8(A-H,O-Z)
03200     COMMON
03210     */TH/TH(0:10),RLL(0:10)
03220 C
03230     DO 10 I=0,9
03240     IF(RL.GT.RLL(I)) THEN
03250     THITA= STHITA(TH(I),RLL(I),RL,A,B)
03260     RETURN
03270     ENDIF
03280     10 CONTINUE
03290     WRITE(6,*) 'ERROR !'
03300     STOP
03310     END

```

L861212 PAGE 6

ANALYSIS OF ELLIPTICAL CORE FIBERS

L861212 PAGE 7

```

03320 *
03330 *      SLAVE OF THITA
03340 *
03350     FUNCTION STHITA(TH0,RL0,RL,A,B)
03360     IMPLICIT REAL*8(A-H,O-Z)
03370     COMMON
03380     */TH/TH(0:10),RLL(0:10)
03390     F(XL,XB,YL,YB)= (XB*YL-XL*YB)/(YL-YB)
03400 C
03410     TH1= TH0
03420     Y1=RL-RL0
03430     20 TH2= TH1+0.1
03440     Y2= RL-RLEN(TH0,TH2,A,B,6)-RL0
03450     IF(Y1*Y2.LE.0) GOTO 21
03460     TH1= TH2
03470     Y1= Y2
03480     GOTO 20
03490 C
03500     21 THQ=-1.0D0
03510     TH0= F(TH1,TH2,Y1,Y2)
03520     22 IF(THQ.NE.0) THEN
03530       ERR= DABS( (TH0-THQ)/THQ )
03540     ELSE
03550       ERR= DABS( (TH0-THQ)/TH0 )
03560     ENDIF
03570     IF(ERR.LE.1.0D-15) GOTO 40
03580     Y0= RL-RLEN(TH0,TH0,A,B,6)-RL0
03590     THQ= TH0
03600     YY= Y0/Y1
03610     IF(YY) 23,40,24,
03620 C
03630     23 IF(ABS(Y2)-ABS(Y0).LE.0) GOTO 27
03640     THP= F(TH0,TH2,Y0,Y2)
03650     TH2= TH0
03660     Y2= Y0
03670     IF(THP-TH1) 25,25,26
03680 C
03690     24 IF(ABS(Y1)-ABS(Y0).LE.0) GOTO 28
03700     THP= F(TH1,TH0,Y1,Y0)
03710     TH1= TH0
03720     Y1= Y0
03730     IF(TH2-THP) 25,25,26
03740 C
03750     25 TH0= TH1+0.5D0*(TH2-TH1)
03760     GOTO 22
03770     26 TH0= THP
03780     GOTO 22
03790     27 TH2= TH0
03800     Y2= Y0
03810     GOTO 25
03820     28 TH1= TH0
03830     Y1= Y0
03840     GOTO 25
03850 C
03860     40 STHITA= TH0
03870     RETURN
03880     END

03890 *
03900 *      CALC. OF RL BETWEEN TH1 AND TH2
03910 *
03920     FUNCTION RLEN(TH1,TH2,A,B,N)
03930     IMPLICIT REAL*8(A-H,O-Z)
03940     DIMENSION T(24),W(24)
03950 C
03960     CALL DGAUSP(N,NDIV,TH1,TH2,C2,T,W)
03970     RLEN= 0.0D0
03980     DO 10 I=1,NDIV
03990     10 RLEN= RLEN+W(I)*SQR(T(I),A,B)
04000     RLEN= RLEN*C2
04010     RETURN
04020     END

```

ANALYSIS OF ELLIPTICAL CORE FIBERS

L861212 PAGE 8

```

04030 *          (R**2+dR/dT**2)**0.5  OF ELLIPSE
04040 *
04050 *
04060 FUNCTION SQR(T,A,B)
04070 IMPLICIT REAL*8(A-H,O-Z)
04080 C
04090     SQR= ( RR(T,A,B)**2+DRR(T,A,B)**2 )**0.5D0
04100 RETURN
04110 END

04120 *
04130 *      R OF ELLIPSE
04140 *
04150 FUNCTION RR(T,A,B)
04160 IMPLICIT REAL*8(A-H,O-Z)
04170 C
04180     RR= ( (DCOS(T)/A)**2+(DSIN(T)/B)**2 )**(-0.5D0)
04190 RETURN
04200 END ;1

04210 *
04220 *      dR/dT OF ELLIPSE
04230 *
04240 FUNCTION DRR(T,A,B)
04250 IMPLICIT REAL*8(A-H,O-Z)
04260 C
04270     DRR=- ( 0.5D0*( (DCOS(T)/A)**2+(DSIN(T)/B)**2 )**(-1.5D0) )*
04280 *           2*COS(T)*SIN(T)*( 1.0D0/(B**2)-1.0D0/(A**2) )
04290 RETURN
04300 END

04310 *
04320 *
04330 *
04340 SUBROUTINE CHKB
04350 IMPLICIT REAL*8 (A-H,O-Z)
04360 COMMON
04370 */NN/N,NE,NH,NMAT,NEP,NDIVO,NDIV,NDIVP
04380 */EL/EL(41,41),BX(41),FACT(21)
04390 C
04400     NHALFL= NMAT/2
04410     WRITE(6,*)
04420     WRITE(6,*)
04430     DO 10 I=1,NMAT
04440     ALEFT= 0
04450     ARIGH= 0
04460     DO 11 J=1,NHALFL
04470     11 ALEFT= ALEFT+EL(I,J)*BX(J)
04480     DO 12 J=NHALFL+1,NMAT
04490     12 ARIGH= ARIGH+EL(I,J)*BX(J)
04500     IF(ALEFT.NE.0) ERR= DABS((ALEFT+ARIGH)/ALEFT)
04510     WRITE(6,400) ALEFT,ARIGH,ERR
04520     10 CONTINUE
04530     RETURN
04540     400 FORMAT(1H ,3(1PD13.3))
04550 END

```

ANALYSIS OF ELLIPTICAL CORE FIBERS

L861212 PAGE 9

```
04560 *
04570 *
04580 *
04590     SUBROUTINE PARAM
04600     IMPLICIT REAL*8(A-H,O-Z)
04610     COMMON
04620     */AK/AK,BK
04630     */NR/RN1,RNC,RN12,RNC2
04640     */PP/PI1,PIC,AP1,APC,RNP1,RNPC,PAT
04650 C
04660     BK2=BK*BK
04670     P12= RN12-BK2
04680     PC2= BK2-RNC2
04690     P1= DSQRT(P12)
04700     PC= DSQRT(PC2)
04710     PI12= 1/P12
04720     PIC2= 1/PC2
04730     PI1= 1/P1
04740     PIC= 1/PC
04750     RNP1= RN12*PI1
04760     RNPc= RNC2*PIC
04770     PAT=-BK/AK *(PI12+PIC2)
04780     AP1= AK*P1
04790     APC= AK*PC
04800     RETURN
04810     END

04820 *
04830 *
04840 *
04850     SUBROUTINE BESEL
04860     IMPLICIT REAL*8(A-H,O-Z)
04870     COMMON
04880     */NA/JM1(21),NNU(0:1,21),JE(21),JH(21)
04890     */NN/N,NE,NH,NMAT,NEP,NDIVO,NDIV,NDIVP
04900     */NS/NL,NSY
04910     */BE/BEJ(20,10,24),BEK(20,10,24),DIJ(20,10,24),DIK(20,10,24),
04920     XJ1(20,10,24),XKC(20,10,24)
04930     */CO/RD(10,24),XC(20,10,24),XS(20,10,24)
04940     */PP/PI1,PIC,AP1,APC,RNP1,RNPC,PAT
04950 C
04960     DD 10 L=1,NDIVO
04970     DO 10 K=1,NDIVP
04980     X1R= AP1*RD(L,K)
04990     XCR= APC*RD(L,K)
05000     DO 10 I=1,N
05010     I1=NNU(NL,I)
05020     BEJ(I,L,K)= DJBES(I1,X1R)
05030     XJ1(I,L,K)= I1/X1R
05040     DIJ(I,L,K)= XJ1(I,L,K)*BEJ(I,L,K)-DJBES(I1+1,X1R)
05050     BEK(I,L,K)= DKBES(I1,XCR)
05060     XKC(I,L,K)= I1/XCR
05070     DIK(I,L,K)= XKC(I,L,K)*BEK(I,L,K)-DKBES(I1+1,XCR)
05080 10 CONTINUE
05090     RETURN
05100     END
```

ANALYSIS OF ELLIPTICAL CORE FIBERS

L861212 PAGE 10

```

05110 *
05120 *
05130 *
05140      SUBROUTINE FUNC1
05150      IMPLICIT REAL*8(A-H,O-Z)
05160      COMMON
05170      */NN/N,NE,NH,NMAT,NEP,NDIVO,NDIV,NDIVP
05180      */NA/JM1(21),NNU(0:1,21),JE(21),JH(21)
05190      */BE/BEJ(20,10,24),BEK(20,10,24),DIJ(20,10,24),DIK(20,10,24),
05200      * XJ1(20,10,24),XKC(20,10,24)
05210      */CO/RD(10,24),XC(20,10,24),XS(20,10,24)
05220      */EJ/PEJ(20,20),PEJN(20,20)
05230      */EK/PEK(20,20),PEKN(20,20)
05240      */HJ/PHJ(20,20),PHJN(20,20)
05250      */HK/PHK(20,20),PHKN(20,20)
05260      */PH/PHAIE(20,10,24),PHAIH(20,10,24)
05270      */RL/RLPH,RLG(10,24),WE(10,24),TH(10,24),THL(10,24),S2(10)
05280      */VN/VNR(10,24),VNT(10,24)

05290 C
05300      DO 10 I=1,N
05310      DO 10 J=1,N
05320      IIE= JE(I)
05330      JJE= JE(J)
05340      IIH= JH(I)
05350      JJH= JH(J)
05360      PEJ (I,J)= 0.0DO
05370      PEK (I,J)= 0.0DO
05380      PHJ (I,J)= 0.0DO
05390      PHK (I,J)= 0.0DO
05400      PEJN(I,J)= 0.0DO
05410      PEKN(I,J)= 0.0DO
05420      PHJN(I,J)= 0.0DO
05430      PHKN(I,J)= 0.0DO
05440      DO 10 L=1,NDIVO
05450      PEJ IJ = 0.0DO
05460      PEK IJ = 0.0DO
05470      PHJ IJ = 0.0DO
05480      PHK IJ = 0.0DO
05490      PEJNIJ = 0.0DO
05500      PEKNIJ = 0.0DO
05510      PHJNIJ = 0.0DO
05520      PHKNIJ = 0.0DO
05530      DO 11 K=1,NDIVP
05540      PEJIJ= PEJIJ+WE(L,K)*BEJ(IIE,L,K)*XC(IIE,L,K)*PHAIE(JJE,L,K)
05550      PEKIJ= PEKIJ+WE(L,K)*BEK(IIE,L,K)*XC(IIE,L,K)*PHAIE(JJE,L,K)
05560      PHJIJ= PHJIJ+WE(L,K)*BEJ(IIH,L,K)*XS(IIH,L,K)*PHAIH(JJH,L,K)
05570      PHKIJ= PHKIJ+WE(L,K)*BEK(IIH,L,K)*XS(IIH,L,K)*PHAIH(JJH,L,K)
05580      PEJR=   DIJ(IIE,L,K)*XC(IIE,L,K)
05590      PEJT=-XJ1(IIE,L,K)*BEJ(IIE,L,K)*XS(IIE,L,K)
05600      PEKR=   DIK(IIE,L,K)*XC(IIE,L,K)
05610      PEKT=-XKC(IIE,L,K)*BEK(IIE,L,K)*XS(IIE,L,K)
05620      PHJR=   DIJ(IIH,L,K)*XS(IIH,L,K)
05630      PHJT= XJ1(IIH,L,K)*BEJ(IIH,L,K)*XC(IIH,L,K)
05640      PHKR=   DIK(IIH,L,K)*XS(IIH,L,K)
05650      PHKT= XKC(IIH,L,K)*BEK(IIH,L,K)*XC(IIH,L,K)
05660      FEJ= VNR(L,K)*PEJR+VNT(L,K)*PEJT
05670      FEK= VNR(L,K)*PEKR+VNT(L,K)*PEKT
05680      FHJ= VNR(L,K)*PHJR+VNT(L,K)*PHJT
05690      FHK= VNR(L,K)*PHKR+VNT(L,K)*PHKT
05700      PEJNIJ= PEJNIJ+WE(L,K)*FEJ*PHAIE(JJE,L,K)
05710      PEKNIJ= PEKNIJ+WE(L,K)*FEK*PHAIE(JJE,L,K)
05720      PHJNIJ= PHJNIJ+WE(L,K)*FHJ*PHAIH(JJH,L,K)
05730      PHKNIJ= PHKNIJ+WE(L,K)*FHK*PHAIH(JJH,L,K)
05740      11 CONTINUE
05750      PEJ (I,J)= PEJ (I,J)+S2(L)*PEJ IJ
05760      PEK (I,J)= PEK (I,J)+S2(L)*PEK IJ
05770      PHJ (I,J)= PHJ (I,J)+S2(L)*PHJ IJ
05780      PHK (I,J)= PHK (I,J)+S2(L)*PHK IJ
05790      PEJN(I,J)= PEJN(I,J)+S2(L)*PEJNIJ
05800      PEKN(I,J)= PEKN(I,J)+S2(L)*PEKNIJ
05810      PHJN(I,J)= PHJN(I,J)+S2(L)*PHJNIJ
05820      PHKN(I,J)= PHKN(I,J)+S2(L)*PHKNIJ
05830
05840      10 CONTINUE
05850      RETURN
END

```

ANALYSIS OF ELLIPTICAL CORE FIBERS

L861212 PAGE 11

```
05860 *
05870 *
05880 *
05890     SUBROUTINE ELEM
05900     IMPLICIT REAL*8(A-H,O-Z)
05910     COMMON
05920     */NN/N,NE,NH,NMAT,NEP,NDIVO,NDIV,NDIVP
05930     */NS/NL,NSY
05940     */NA/JM1(21),NNU(0:1,21),JE(21),JH(21)
05950     */EL/EL(41,41),BX(41),FACT(21)
05960     */EJ/PEJ(20,20),PEJN(20,20)
05970     */EK/PEK(20,20),PEKN(20,20)
05980     */HJ/PHJ(20,20),PHJN(20,20)
05990     */HK/PHK(20,20),PHKN(20,20)
06000     */FH/FACTPH
06010     */PP/PI1,PIC,AP1,APC,RNP1,RNPC,PAT
06020     */TA/TE(20,21),TH(21,20)
06030     */TS/PEM1(20,20),PEMC(20,20),PHM1(20,20),PHMC(20,20)
06040 C
06050     CALL MATIO(PEJ,20,NE)
06060     CALL MATIO(PEK,20,NE)
06070     CALL MATIO(PHJ,20,NH)
06080     CALL MATIO(PHK,20,NH)
06090     CALL MUL (PEJ,PEJN,PEM1,20,20,20,20,20,20,20,NE,NE,NE,1,1)
06100     CALL MUL (PEK,PEKN,PEMC,20,20,20,20,20,20,20,NE,NE,NE,1,1)
06110     CALL MUL (PHJ,PHJN,PHM1,20,20,20,20,20,20,20,NH,NH,NH,1,1)
06120     CALL MUL (PHK,PHKN,PHMC,20,20,20,20,20,20,20,NH,NH,NH,1,1)
06130     DO 10 I=1,NE
06140     DO 10 J=1,NE
06150 10 EL(I,J)=- (RNP1*PEM1(I,J)+RNPC*PEMC(I,J))
06160     DO 11 I=1,NE
06170     DO 11 J=1,NH
06180 11 EL(I,J+NE)= TH(I,J)*PAT*FACTPH
06190     DO 12 I=1,NH
06200     DO 12 J=1,NE
06210 12 EL(I+NE,J)= TE(I,J)*PAT*FACTPH
06220     DO 13 I=1,NH
06230     DO 13 J=1,NH
06240 13 EL(I+NE,J+NE)= PI1*PHM1(I,J)+PIC*PHMC(I,J)
06250     RETURN
06260 END
```

ANALYSIS OF ELLIPTICAL CORE FIBERS

```

06270 *      SOLUTION OF TRANSCENDENTAL EQUATION
06290 *
06300      SUBROUTINE SOLVE(XSM,XBI,YSM,YBI,X0,Y0,EPS)
06310      IMPLICIT REAL*8(A-H,O-Z)
06320 C
06330      F(XL,XB,YL,YB)= (XB*YL-XL*YB)/(YL-YB)
06340      XQ=-1.0
06350      X1= XSM
06360      X2= XBI
06370      Y1= YSM
06380      Y2= YBI
06390      X0= F(X1,X2,Y1,Y2)
06400 20 IF(DABS(X0-XQ).LT.EPS) RETURN
06410      Y0= VALUE(X0)
06420      XQ=: X0
06430      YY= Y0/Y1
06440      IF(YY).GT.21,27,22
06450 C
06460 21 IF(DABS(Y2)-DABS(Y0).LE.0) GOTO 25
06470      XP= F(X0,X2,Y0,Y2)
06480      X2=: X0
06490      Y2=: Y0
06500      IF(XP-X1) 23,23,24
06510 C
06520 22 IF(DABS(Y1)-DABS(Y0).LE.0) GOTO 26
06530      XP= F(X1,X0,Y1,Y0)
06540      X1= X0
06550      Y1= Y0
06560      IF(X2-XP) 23,23,24
06570 C
06580 23 X0=: X1+0.5*(X2-X1)
06590      GOTO 20
06600 C
06610 24 X0= XP
06620      GOTO 20
06630 C
06640 25 X2= X0
06650      Y2= Y0
06660      GOTO 23
06670 26 X1= X0
06680      Y1= Y0
06690      GOTO 23
06700 C
06710 27 WRITE(6,*) ' Y0= 0 (Y-A] ?YL)'
06720      RETURN
06730      END

```

L861212 PAGE 12

ANALYSIS OF ELLIPTICAL CORE FIBERS

L861212 PAGE 13

```

06740 *
06750 *      SOLUTION OF LINEAR SIMULTANEOUS EQUATIONS
06760 *
06770      SUBROUTINE SIML(A,B,IA,JA,IB,JB,N,M,NDET,DET)
06780      IMPLICIT REAL*8(A-H,O-Z)
06790      DIMENSION A(IA,JA),B(IB,JB),PIVOT(160),NANS(160)
06800      DATA ZERO/0.0D0/,ONE/1.0D0/
06810 C
06820      NM= N-1
06830      DET= ONE
06840      DO 10 K=1,N
06850      AMAX= ZERO
06860      DO 11 I=K,N
06870      AX= A(I,K)
06880      IF(DABS(AMAX).GE.DABS(AX)) GOTO 11
06890      IROW= I
06900      AMAX= AX
06910      11 CONTINUE
06920 C
06930      PIVOT(K)= AMAX
06940      IF(DABS(AMAX).EQ.0) THEN
06950      DET= ZERO
06960      WRITE(6,*) ' This equation can't be solved by this method!'
06970      RETURN
06980      ENDIF
06990 C
07000      IF(K.EQ.N) GOTO 10
07010 C
07020      NANS(K)= IROW
07030      IF(NANS(K).NE.K) THEN
07040      A(IROW,K)= A(K,K)
07050      A(K,,K)= AMAX
07060      DET=-DET
07070      ENDIF
07080 C
07090      DET= DET*PIVOT(K)
07100      ABS= DABS(DET)
07110      IF(ABSD.GT.1D+30) THEN
07120      DET= (DET/ABSD)*1D+30
07130      ELSEIF(ABSD.LT.1D-30) THEN
07140      DET= (DET/ABSD)*1D-30
07150      ENDIF
07160      W=-ONE/ PIVOT(K)
07170      K1=K+1
07180      DO 12 J=K1,N
07190      T= A(IROW,J)*W
07200      A(IROW,J)= A(K,J)
07210      A(K,J)=-T
07220 C
07230      DO 13 I=K1,N
07240      13 A(I,J)= A(I,J)+T*A(I,K)
07250      12 CONTINUE
07260      IF(M.EQ.0) GOTO 10
07270 C
07280      DO 14 L=1,M
07290      T= B(IROW,L)*W
07300      B(IROW,L)= B(K,L)
07310      B(K,,L)=-T
07320      DO 15 I=K1,N
07330      15 B(I,L)= B(I,L)+T*A(I,K)
07340      14 CONTINUE
07350      10 CONTINUE
07360 C
07370      NANS(N)= N
07380      ANN= A(N,N)
07390      DET= DET*ANN
07400      IF(NDET.EQ.0) RETURN
07410 C
07420      DO 16 L=1,M
07430      16 B(N,L)= B(N,L)/ANN
07440      IF(N.EQ.1) RETURN
07450      MB= M
07460      IF(M.EQ.0) THEN
07470      MB= 1
07480      DO 17 I=1,NM
07490      17 B(I,1)= 0
07500      B(N,1)= 1
07510      ENDIF

```

ANALYSIS OF ELLIPTICAL CORE FIBERS

```
07520      DO 18 L=1,MB
07530      DO 18 J=1,NM
07540      JJ= N-J+1
07550      JJJ= JJ-1
07560      T=-B(JJ,L)
07570      DO 19 I=1,JJJ
07580      19 B(I,L)= B(I,L)+T*A(I,JJ)
07590      18 CONTINUE
07600      RETURN
07610      END
```

L861212 PAGE 14

ANALYSIS OF ELLIPTICAL CORE FIBERS
 L861212 PAGE 15

```

07620      SUBROUTINE DGAUSP(N,NN,C,D,C2,U,AA)
07630 C      U:COORDINATES AA:WEIGHT FUNCTION
07640 C      S=0.D0
07650 C      DO 2 J=1,NN
07660 C      2 S=S+AA(J)*FUNC(U(J))
07670 C      DGAUSP=C2*S
07680      IMPLICIT REAL*8(A-H,O-Z)
07690      DIMENSION A(6,12),X(6,12),AA(24),U(24)
07700      1,A1(19),A2(19),A3(19),A4(15)
07710      2,X1(19),X2(19),X3(19),X4(15)
07720      EQUIVALENCE (A(1),A1(1)),(A(20),A2(1)),(A(39),A3(1)),(A(58),A4(1))
07730      1,(X(1),X1(1)),(X(20),X2(1)),(X(39),X3(1)),(X(58),X4(1))
07740      DATA X1   /
07750      1, 0.86113631159405260D+00
07760      2, 0.96028985649753620D+00, 0.98156063424671920D+00
07770      3, 0.99312859918509490D+00
07780      4, 0.79666647741362670D+00, 0.33998104358485630D+00
07790      5, 0.94457502307323260D+00, 0.90411725637047490D+00
07800      6, 0.97472855597130950D+00, 0.0000000000000000D-40
07810      7, 0.52553240991632900D+00, 0.76990267419430470D+00
07820      8, 0.86563120238783170D+00, 0.91223442825132590D+00
07830      9, 0.93827455200273280D+00, 0.0000000000000000D-40 /
07840      DATA X2   /
07850      1, 0.58731795428661740D+00, 0.75540440835500300D+00
07860      2, 0.83911697182221880D+00, 0.88641552700440100D+00
07870      3, 0.0000000000000000D-40, 0.0000000000000000D-40
07880      4, 0.36783149899818020D+00, 0.61787624440264370D+00
07890      5, 0.74633190646015080D+00, 0.82000198597390290D+00
07900      6, 0.0000000000000000D-40, 0.0000000000000000D-40
07910      7, 0.12523340851146890D+00, 0.45801677765722740D+00
07920      8, 0.63605368072651500D+00, 0.74012419157855440D+00
07930      9, 0.0000000000000000D-40, 0.0000000000000000D-40 /
07940      DATA X3   /
07950      1, 0.28160355077925890D+00, 0.51086700195082710D+00
07960      2, 0.64809365193697560D+00, 0.0000000000000000D-40
07970      3, 0.0000000000000000D-40, 0.0000000000000000D-40
07980      4, 0.95012509837637440D-01, 0.37370608871541960D+00
07990      5, 0.54542147138883950D+00, 0.0000000000000000D-40
08000      6, 0.0000000000000000D-40, 0.0000000000000000D-40
08010      7, 0.0000000000000000D-40, 0.22778585114164510D+00
08020      8, 0.43379350762604510D+00, 0.0000000000000000D-40
08030      9, 0.0000000000000000D-40, 0.0000000000000000D-40 /
08040      DATA X4   /
08050      1, 0.76526521133497330D-01, 0.31504267969616340D+00
08060      2, 0.0000000000000000D-40, 0.0000000000000000D-40
08070      3, 0.0000000000000000D-40, 0.0000000000000000D-40
08080      4, 0.0000000000000000D-40, 0.19111886747361630D+00
08090      5, 0.0000000000000000D-40, 0.0000000000000000D-40
08100      6, 0.0000000000000000D-40, 0.0000000000000000D-40
08110      7, 0.0000000000000000D-40, 0.64056892862605620D-01 /
08120      DATA A1   /
08130      1, 0.10122853629037630D+00, 0.47175336386511830D-01
08140      2, 0.27152459411754100D-01, 0.17614007139152120D-01
08150      3, 0.12341229799987200D-01, 0.65214515486254620D+00
08160      4, 0.22238103445337450D+00, 0.10693932599531840D+00
08170      5, 0.62253523938647890D-01, 0.40601429800386940D-01
08180      6, 0.28531388628933660D-01, 0.0000000000000000D-40
08190      7, 0.3137064587788730D+00, 0.16007832854334620D+00
08200      8, 0.9515851168249780D-01, 0.62672048334109070D-01
08210      9, 0.44277438817419810D-01, 0.0000000000000000D-40 /
08220      DATA A2   /
08230      1, 0.20316742672306590D+00, 0.12462897125553390D+00
08240      2, 0.83276741576704750D-01, 0.59298584915436780D-01
08250      3, 0.0000000000000000D-40, 0.0000000000000000D-40
08260      4, 0.23349253653835480D+00, 0.14959598881657670D+00
08270      5, 0.10193011981724040D+00, 0.73346481411080310D-01
08280      6, 0.0000000000000000D-40, 0.0000000000000000D-40
08290      7, 0.24914704581340280D+00, 0.16915651939500250D+00
08300      8, 0.11819453196151840D+00, 0.86190161531953270D-01
08310      9, 0.0000000000000000D-40, 0.0000000000000000D-40 /
08320      DATA A3   /
08330      1, 0.18260341504492360D+00, 0.13168863844917660D+00
08340      2, 0.97618652104113890D-01, 0.0000000000000000D-40
08350      3, 0.0000000000000000D-40, 0.0000000000000000D-40
08360      4, 0.18945061045506850D+00, 0.14209610931838210D+00
08370      5, 0.10744427011596560D+00, 0.0000000000000000D-40
08380      6, 0.0000000000000000D-40, 0.0000000000000000D-40
08390      7, 0.0000000000000000D-40, 0.14917298647260380D+00
  
```

ANALYSIS OF ELLIPTICAL CORE FIBERS

L861212 PAGE 16

```

08400    8, 0.11550566805372560D+00, 0.00000000000000000000D-40
08410    9, 0.00000000000000000000D-40, 0.00000000000000000000D-40 /
08420    DATA A4   /
08430    1, 0.15275338713072580D+00, 0.12167047292780340D+00
08440    2, 0.00000000000000000000D-40, 0.00000000000000000000D-40
08450    3, 0.00000000000000000000D-40, 0.00000000000000000000D-40
08460    4, 0.00000000000000000000D-40, 0.12583745634682830D+00
08470    5, 0.00000000000000000000D-40, 0.00000000000000000000D-40
08480    6, 0.00000000000000000000D-40, 0.00000000000000000000D-40
08490    7, 0.00000000000000000000D-40, 0.12793819534675220D+00 /
08500    K=N
08510    IF(N-1) 600,100,100
08520    100 IF(N-6) 200,200,600
08530    200 NN=4*N,50,100,255783
08540    C1=(D+C)/2.D0
08550    C2=(D-C)/2.D0
08560    N2=N+N
08570    DO 1 J=1,N2
08580    U(J)=C1-C2*X(N,J)
08590    U(NN-J+1) = C1+C2*X(N,J)
08600    AA(J)=A(N,J)
08610    1 AA(NN-J+1)= A(N,J)
08620    C S=0.D0
08630    C DO 2 J=1,NN
08640    C 2 S=S+AA(J)*FUNC(U(J))
08650    C DGAUSP=C2*S
08660    N=K
08670    RETURN
08680    600 WRITE(6,700) N
08690    700 FORMAT(1HO,!SUBR. DGAUSP) N=!,I3,!, N MUST BE LARGER THAN 0 AND
08700    1 SMALLER THAN 7.!
08710    N=6
08720    GO TO 200
08730    END
08740 *
08750 *
08760 *
08770    SUBROUTINE MATIO(A,IA,N)
08780    IMPLICIT REAL*8 (A-H,O-Z)
08790    DIMENSION A(IA,IA),WORK(60,60)
08800    C
08810    DO 10 I=1,N
08820    DO 10 J=1,N
08830    10 WORK(I,J)= A(I,J)
08840    C
08850    DO 11 I=1,N
08860    DO 12 J=1,N
08870    12 A(I,J)= 0.
08880    A(I,I)= 1.0
08890    11 CONTINUE
08900    CALL SIML(WORK,A,60,60,IA,IA,N,N,1,DET)
08910    IF(DET.EQ.0) THEN
08920    WRITE(6,*) 'THE INVERSE MATRIX DOESN'T EXIST'
08930    DO 13 I=1,N
08940    DO 14 J=1,N
08950    14 A(I,J)= 0.0
08960    A(I,I)= 1.0
08970    13 CONTINUE
08980    ENDIF
08990    RETURN
09000    END

```

ANALYSIS OF ELLIPTICAL CORE FIBERS

L861212 PAGE 17

```
09010 *
09020 *
09030 *
09040 SUBROUTINE MUL(A,B,C,IA,JA,IB,JB,IC,JC,L,M,N,IO,JO)
09050 IMPLICIT REAL*8 (A-H,O-Z)
09060 DIMENSION A(IA,JA),B(IB,JB),C(IC,JC)
09070 C
09080 IO= IO-1
09090 JO= JO-1
09100 DO 10 I=1,L
09110 DO 10 J=1,N
09120 CIJ= 0.0
09130 DO 11 K=1,M
09140 11 CIJ= CIJ+A(I,K)*B(K,J)
09150 C(I+IO,J+JO)= CIJ
09160 10 CONTINUE
09170 RETURN
09180 END
```

B - 3 - 2 方形断面導波路の固有モード解析プログラム

```

*****
* ANALYSIS OF RECTANGULAR CORE FIBERS *
* DATE=86-12-12 *
*****
00010 *
00020 *      ANALYSIS OF RECTANGULAR DIELECTRIC WAVEGUIDES
00030 *      BY MODIFIED BOUNDARY INTEGRAL METHOD (M-B.I.M)      85.11.
00040 *
00050     PROGRAM RECTBI
00060     IMPLICIT REAL*8 (A-H,O-Z)
00070     CHARACTER CL(0:1)*1,CS(0:1)*1
00080     DIMENSION AKK(5),BKK(5)
00090     COMMON
00100     /*NA/JM1(21),NNU(0:1,21),IE(21),IH(21),JE(21),JH(21)
00110     /*NN/N,N1,N2,NE,NH,KE1,KH1,KE2,KH2,NMAT,NEP,NDIVO,NDIV,NDIVP
00120     /*NS/NL,NSY,NYY
00130     /*AK/AK,BK
00140     /*EL/EL(41,41),BX(41),FACT(21)
00150     /*NR/RN1,RNC,RN12,RNC2
00160     /*PA/PAI,PAIH,PAID,PHAI,PHAI1,PHAI2
00170     /*SH/RRA,RL1,RL2,RLT
00180     DATA CL,CS/'0','1','0','E'/
00190     PAI= 3.141592653589793D0
00200     PAIH= 0.5*PAI
00210     PAID= 2.0*PAI
00220 C
00230     WRITE(6,201) ';'
00240     EPS= 1.0D-6
00250 20  WRITE(6,*) 'Input Ra,Nr1,Nrc,Nl,Nsy'
00260     READ(5,*,ERR=20) RRA,RN1,RNC,NL,NSY
00270     RL1= 1.0D0
00280     RL2= RRA
00290     RLT= RL1+RL2
00300     RN12= RN1*RN1
00310     RNC2= RNC*RNC
00320     NYY= NL*(1-NSY)+(1-NL)*NSY
00330     PHAI= -PAIH*(1-NSY)
00340     PHAI1=-PAIH*(1-NSY)
00350     PHAI2=-PAIH*(1-NYY)
00360 21  WRITE(6,*) 'Input Ndiv0,Ndiv,eps'
00370     READ(5,*,ERR=21) NDIVO,NDIV,NEP
00380     EPS= 10.0**(-NEP)
00390 22  WRITE(6,*) 'Input N1,N2'
00400     READ(5,*,ERR=22) N1,N2
00410     N= N1+N2
00420     CALL SETN
00430     CALL COOR
00440     CALL TANF
00450     JAK= 0
00460 23  WRITE(6,*) 'Input V'
00470     READ(5,*,ERR=23) V
00480     IF(V.LE.0) GOTO 23
00490     AK= V/DSQRT(RN12-RNC2)
00500 24  WRITE(6,*) 'Input B1,Bd,Be'
00510     READ(5,*,ERR=24) B1,BD,BE
00520     IF(B1.EQ.0.OR.BD.LE.0.OR.BE.GE.RN1) GOTO 27
00530     CALL CLOCK
00540     Y1= VALUE(B1)
00550     CALL CLOCK(TIME)
00560     WRITE(6,400) TIME
00570 400 FORMAT(1H , 'TIME=',1PD13.3,' SEC')
00580     WRITE(6,200) V,' B1',B1,Y1
00590 25  B2=B1+BD
00600     IF(B2.GE.BE.OR.JAK.EQ.3) GOTO 26
00610     Y2= VALUE(B2)
00620     IF(Y1*Y2.LE.0) THEN
00630     JAK= JAK+1
00640     CALL SOLVE(B1,B2,Y1,Y2,B0,Y0,EPS)
00650     WRITE(6,200) V,';B0',B0,Y0
00660     AKK(JAK)= V
00670     BKK(JAK)= B0
00680     ENDIF
00690     WRITE(6,200) V,' B2',B2,Y2
00700     B1= B2
00710     Y1= Y2
00720     GOTO 25

```

ANALYSIS OF RECTANGULAR CORE FIBERS

```
00730 26 WRITE(6,201) '
00740  IF(JAK.GT.0) THEN
00750  WRITE(6,220) ';',RRA,RN1,RNC,CL(NL),CS(NSY),N,NEP,NDIVO,NDIVP,
00760  *          (AKK(J),BKK(J),J=1,JAK)
00770  JAK= 0
00780  ELSE
00790  WRITE(6,220) ';',RRA,RN1,RNC,CL(NL),CS(NSY),N,NEP,NDIVO,NDIVP
00800  ENDIF
00810  27 WRITE(6,*) '0:BK 1:AK 2:N 3:Ndiv,EPS 4:Ra,NL,Nsy 5:Field 6:Stop'
00820  READ(5,100) NJ
00830  GOTO (24,23,22,21,20,28,40),NJ+1
00840  28 CALL FIELD(B0,CL,CS)
00850  GOTO 27
00860  40 STOP 0
00870  100 FORMAT(I1)
00880  200 FORMAT(1H ,'AK=',F10.5,3X,A3,'=',F12.9,' Y=',1PD13.3)
00890  201 FORMAT(1H ,A1,' RA   NR1   NRC Mode   N   Nep   Np0   Np   ',
00900  *           'AK           BK')
00910  220 FORMAT(1H ,A1,3F6.3,2X,2A1,4I5,2X,3(F14.10,F19.15))
00920  END
```

L861212 PAGE 2

ANALYSIS OF RECTANGULAR CORE FIBERS

L861212 PAGE 3

```

00930 *
00940 *      FIELD
00950 *
00960     SUBROUTINE FIELD(B0,CL,CS)
00970     IMPLICIT REAL*8 (A-H,O-Z)
00980     CHARACTER CL(0:1)*1,CS(0:1)*1
00990     DIMENSION BE(21),BH(21)
01000     COMMON
01010     /*NA/JM1(21),NNU(0:1,21),IE(21),IH(21),JE(21),JH(21)
01020     /*NN/N,N1,N2,NE,NH,KE1,KH1,KE2,KH2,NMAT,NEP,NDIVO,NDIV,NDIVP
01030     /*NS/NL,NSY,NYY
01040     /*AK/AK,BK
01050     /*EL/EL(41,41),BX(41),FACT(21)
01060     /*NR/RN1,RNC,RN12,RNC2
01070     /*SH/RRA,RL1,RL2,RLT
01080 C
01090     BK= DSQRT(B0 *(RN12-RNC2)+RNC2)
01100     CALL PARAM
01110     CALL BESEL
01120     CALL FUNC1(1,N1,1,NDIVO)
01130     CALL FUNC1(N1+1,N1+N2,NDIVO+1,2*NDIVO)
01140     CALL REFPJ
01150     CALL ELEM
01160     CALL SIML(EL,BX,41,41,41,1,NMAT,0,1,DETM)
01170     BXMAX= 0.
01180     DO 10 J=1,NMAT
01190     IF(DABS(BX(J)).GT.BXMAX) BXMAX= DABS(BX(J))
01200   10 CONTINUE
01210     IF(BXMAX.EQ.0) THEN
01220     WRITE(6,*) 'Trivial Solution!'
01230     STOP 1
01240     ENDIF
01250     DO 11 J=1,NMAT
01260   11 BX(J)= BX(J)/BXMAX
01270     BX(41)= 0.0D0
01280     DO 12 J=1,21
01290     BE(J)= 0.
01300     BH(J)= 0.
01310   12 CONTINUE
01320     DO 13 J=1,N
01330     BE(J)= BX(JE(J))
01340     BH(J)= BX(JH(J))
01350   13 CONTINUE
01360 C
01370     CALL FUNC1(1,N1,1,NDIVO)
01380     CALL FUNC1(N1+1,N1+N2,NDIVO+1,2*NDIVO)
01390     CALL REFPJ
01400     CALL ELEM
01410     CALL CHKB
01420     WRITE(6,*) ' '
01430     WRITE(6,400) (BX(J),J=1,NMAT)
01440   400 FORMAT((1H ,5(1PE13.3)))
01450     WRITE(6,*) ';'
01460     WRITE(6,201) ';'
01470     WRITE(6,210) ';',RRA,RN1,RNC,CL(NL),CS(NSY),N,NEP,NDIVP,AK,B0
01480     WRITE(6,*) ';'
01490     WRITE(6,*) ' ; J E H'
01500     DO 14 J=1,N1
01510   14 WRITE(6,220) J-1,BE(J),BH(J)
01520     DO 15 J=1,N2
01530   15 WRITE(6,220) J-1,BE(J+N1),BH(J+N1)
01540     RETURN
01550   201 FORMAT(1H ,A1,' RA NR1 NRC Mode N Nep Np ',*
01560     'AK BK')
01570   210 FORMAT(1H ,A1,3F6.3,2X,2A1,3I5,2X,3(F7.3,F12.9))
01580   220 FORMAT((1H ,';',I3,3X,2(1PD14.4)))
01590     END

```

ANALYSIS OF RECTANGULAR CORE FIBERS

L861212 PAGE 4

```

01600 *
01610 *
01620 *
01630     FUNCTION VALUE(BKK)
01640     IMPLICIT REAL*8 (A-H,O-Z)
01650     DIMENSION DM(1,1)
01660     COMMON
01670     */NN/N,N1,N2,NE,NH,KE1,KH1,KE2,KH2,NMAT,NEP,NDIVO,NDIV,NDIVP
01680     */AK/AK,BK
01690     */EL/EL(41,41),BX(41),FACT(21)
01700     */NR/RN1,RNC,RN12,RNC2
01710     */TS/PEM1(20,20),PEMC(20,20),PHM1(20,20),PHMC(20,20)
01720 C      BK= DSQRT(BKK*(RN12-RNC2)+RNC2)
01730     CALL PARAM
01740     CALL BESEL
01750     CALL FUNC1(1,N1,1,NDIVO)
01760     CALL FUNC1(N1+1,N1+N2,NDIVO+1,2*NDIVO)
01770     CALL REFPJ
01780     CALL ELEM
01790     CALL SIML(EL,DM,41,41,1,1,NMAT,0,0,VALUE)
01800     RETURN
01810     END

01830 *
01840 *
01850 *
01860     BLOCKDATA VAL
01870     COMMON
01880     */NA/JM1(21),NNU(0:1,21),IE(21),IH(21),JE(21),JH(21)
01890 C      DATA JM1/ 0, 1, 2, 3, 4, 5, 6, 7, 8, 9,
01900     *          10,11,12,13,14,15,16,17,18,19,20/
01920     DATA NNU/ 0, 1, 2, 3, 4, 5, 6, 7, 8, 9,
01930     *          10,11,12,13,14,15,16,17,18,19,
01940     *          20,21,22,23,24,25,26,27,28,29,
01950     *          30,31,32,33,34,35,36,37,38,39,
01960     *          40,41/
01970     END

01980 *
01990 *
02000 *
02010     SUBROUTINE SETN
02020     COMMON
02030     */NN/N,N1,N2,NE,NH,KE1,KH1,KE2,KH2,NMAT,NEP,NDIVO,NDIV,NDIVP
02040     */NS/NL,NSY,NYY
02050     */NA/JM1(21),NNU(0:1,21),IE(21),IH(21),JE(21),JH(21)
02060 C      KE1= 1-NSY
02070     KE2= 1-NYY
02080     KH1= NSY
02090     KH2= NYY
02100     NE= N-KE1-KE2
02110     NH= N-KH1-KH2
02120     NMAT= NH+NE
02130
02140 C      DO 10 I=1,N
02150     IE(I)= I+(1-NL)*(1-NSY)
02160     IH(I)= I+(1-NL)*    NSY
02170     JE(I)= 0
02180     JH(I)= 0
02190
02200 10 CONTINUE
02210     DO 11 J=1,N1-KE1
02220     11 JE(J+KE1)= J
02230     DO 12 J=1,N2-KH2
02240     12 JE(J+KH2+N1)= J+N1-KE1
02250     DO 13 J=1,N1-KH1
02260     13 JH(J+KH1)= J          +NE
02270     DO 14 J=1,N2-KH2
02280     14 JH(J+KH2+N1)= J+N1-KH1 +NE
02290     DO 15 I=1,N
02300     IF(JE(I).EQ.0) JE(I)=41
02310     IF(JH(I).EQ.0) JH(I)=41
02320
02330     15 CONTINUE
02340     RETURN
END

```

ANALYSIS OF RECTANGULAR CORE FIBERS

L861212 PAGE 5

```
02350 *
02360 *
02370 *
02380      SUBROUTINE TANF
02390      IMPLICIT REAL*8(A-H,O-Z)
02400      COMMON
02410      /*NA/JM1(21),NNU(0:1,21),IE(21),IH(21),JE(21),JH(21)
02420      /*NN/N,N1,N2,NE,NH,KE1,KH1,KE2,KH2,NMAT,NEP,NDIVO,NDIV,NDIVP
02430      /*NS/NL,NSY,NYY
02440      /*FH/FAPH1,FAPH2
02450      /*TA/TE(20,21),TH(21,20)
02460 C
02470      DO 10 I=1,20
02480      DO 10 J=1,21
02490      TE(I,J)= 0.
02500      TH(J,I)= 0.
02510      10 CONTINUE
02520 C
02530      DO 11 I=1,N1-1
02540      11 TE(      I+KE1,      I+NSY)=-I*FAPH1
02550      DO 12 I=1,N2-1
02560      12 TE(N1-NSY+I+KE2,N1-KE1+I+NYY)=-I*FAPH2
02570 C
02580      DO 13 I=1,N1-1
02590      13 TH(      I+NSY,      I+KE1)= I*FAPH1
02600      DO 14 I=1,N2-1
02610      14 TH(N1-KE1+I+NYY,N1-NSY+I+KE2)= I*FAPH2
02620      RETURN
02630      END
```

ANALYSIS OF RECTANGULAR CORE FIBERS

L861212 PAGE 6

```
02640 *
02650 *
02660 *
02670     SUBROUTINE COOR
02680     IMPLICIT REAL*8(A-H,O-Z)
02690     COMMON
02700     */NA/JM1(21),NNU(0:1,21),IE(21),IH(21),JE(21),JH(21)
02710     */NN/N,N1,N2,NE,NH,KE1,KH1,KE2,KH2,NMAT,NEP,NDIVO,NDIV,NDIVP
02720     */NS/NL,NSY,NYY
02730     */CO/RD(10,24),XC(20,10,24),XS(20,10,24)
02740     */FH/FAPH1,FAPH2
02750     */PA/PAI,PAIH,PAID,PHAI,PHAI1,PHAI2
02760     */PH/PHAIE(20,10,24),PHAIH(20,10,24)
02770     */GA/RGO(24),WE0(24)
02780     */RL/RLPH(0:10),RLG(10,24),WE(10,24),TH(10,24),THL(10,24),S2(10)
02790     */SH/RRA,RL1,RL2,RLT
02800     */VN/VNR(10,24),VNT(10,24)
02810 C
02820     FAPH1= PAIH/RLT
02830     FAPH2=-PAIH/RLT
02840     DO 10 L=0,NDIVO
02850   10 RLPH(L)= RL1*L/NDIVO
02860     DO 11 L=NDIVO+1,2*NDIVO
02870   11 RLPH(L)= RL1+RL2*(L-NDIVO)/NDIVO
02880     DO 12 L=1,NDIVO*2
02890     CALL DGAUSP(NDIV,NDIVP,RLPH(L-1),RLPH(L),S2(L),RGO,WE0)
02900     DO 12 K=1,NDIVP
02910     RLG(L,K)= RGO(K)
02920     WE(L,K)= WE0(K)
02930   12 CONTINUE
02940 C
02950     DO 13 L=1,NDIVO
02960     DO 13 K=1,NDIVP
02970     TH(L,K)= DATAN(RLG(L,K)/RRA)
02980     THL(L,K)= PAIH*RLG(L,K)/RLT *1.0D0
02990     RD(L,K)= RRA/DCOS(TH(L,K))
03000     VNR(L,K)= DCOS(TH(L,K))
03010     VNT(L,K)=-DSIN(TH(L,K))
03020     DO 14 J=1,N1-KE1
03030   14 PHAIE(J,L,K)= DCOS((JM1(J)+KE1)*THL(L,K)+PHAI1)
03040     DO 15 J=1,N1-KH1
03050   15 PHAIH(J,L,K)= DSIN((JM1(J)+KH1)*THL(L,K)+PHAI1)
03060   13 CONTINUE
03070     DO 16 L=NDIVO+1,2*NDIVO
03080     DO 16 K=1,NDIVP
03090     TH(L,K)= DATAN(1.0D0/( RLT-RLG(L,K) ))
03100     THL(L,K)= PAIH*( RLT-RLG(L,K) )/RLT *1.0D0
03110     RD(L,K)= 1.0D0/DSIN(TH(L,K))
03120     VNR(L,K)= DSIN(TH(L,K))
03130     VNT(L,K)= DCOS(TH(L,K))
03140     DO 17 J=1,N2-KE2
03150   17 PHAIE(J+N1,L,K)= DCOS((JM1(J)+KE2)*THL(L,K)+PHAI2)
03160     DO 18 J=1,N2-KH2
03170   18 PHAIH(J+N1,L,K)= DSIN((JM1(J)+KH2)*THL(L,K)+PHAI2)
03180   16 CONTINUE
03190     DO 19 I=1,N
03200     DO 19 K=1,NDIVP
03210     DO 19 L=1,2*NDIVO
03220     XC(I,L,K)= DCOS(NNU(NL,I)*TH(L,K)+PHAI)
03230     XS(I,L,K)= DSIN(NNU(NL,I)*TH(L,K)+PHAI)
03240   19 CONTINUE
03250     CALL CLOCK(TIME)
03260     WRITE(6,400) TIME
03270   400 FORMAT(1H , 'qTIME(COOR)=',1PE13.3,' SEC')
03280     RETURN
03290     END
```

ANALYSIS OF RECTANGULAR CORE FIBERS

L861212 PAGE 7

```
03300 *
03310 *
03320 *
03330      SUBROUTINE CHKB
03340      IMPLICIT REAL*8 (A-H,O-Z)
03350      COMMON
03360      */NN/N,N1,N2,NE,NH,KE1,KH1,KE2,KH2,NMAT,NEP,NDIVO,NDIV,NDIVP
03370      */EL/EL(41,41),BX(41),FACT(21)
03380 C
03390      NHALFL= NMAT/2
03400      WRITE(6,*) ' '
03410      WRITE(6,*) '      LEFT          RIGTH        ERR'
03420      DO 10 I=1,NMAT
03430      ALEFT= 0
03440      ARIGH= 0
03450      DO 11 J=1,NHALFL
03460      11 ALEFT= ALEFT+EL(I,J)*BX(J)
03470      DO 12 J=NHALFL+1,NMAT
03480      12 ARIGH= ARIGH+EL(I,J)*BX(J)
03490      IF(ALEFT,NE.0) ERR= DABS((ALEFT+ARIGH)/ALEFT)
03500      WRITE(6,400) ALEFT,ARIGH,ERR
03510      10 CONTINUE
03520      RETURN
03530      400 FORMAT(1H ,3(1PD13.3))
03540      END

03550 *
03560 *
03570 *
03580      SUBROUTINE PARAM
03590      IMPLICIT REAL*8 (A-H,O-Z)
03600      COMMON
03610      */AK/AK,BK,
03620      */NR/RN11,RNC,RN12,RNC2
03630      */PP/PI1,PIC,AP1,APC,RNP1,RNPC,PAT
03640 C
03650      BK2=BK*BK
03660      P12= RN12-BK2
03670      PC2= BK2-RNC2
03680      P1= DSQRT(P12)
03690      PC= DSQRT(PC2)
03700      PI12= 1/P12
03710      PIC2= 1/PC2
03720      PI1= 1/P1
03730      PIC= 1/PC
03740      RNP1= RN12*PI1
03750      RNPc= RNC2*PIC
03760      PAT=-BK/AK *(PI12+PIC2)
03770      AP1= AK*P1
03780      APC= AK*PC
03790      RETURN
03800      END
```

ANALYSIS OF RECTANGULAR CORE FIBERS

L861212 PAGE 8

```
03810 *
03820 *
03830 *
03840     SUBROUTINE BESEL
03850     IMPLICIT REAL*8(A-H,O-Z)
03860     COMMON
03870     */NA/JM1(21),NNU(0:1,21),IE(21),IH(21),JE(21),JH(21)
03880     */NN/N,N1,N2,NE,NH,KE1,KH1,KE2,KH2,NMAT,NEP,NDIVO,NDIV,NDIVP
03890     */NS/NL,NSY,NYY
03900     */BE/BEJ(20,10,24),BEK(20,10,24),DIJ(20,10,24),DIK(20,10,24),
03910     * XJ1(20,10,24),XKC(20,10,24)
03920     */CO/RD(10,24),XC(20,10,24),XS(20,10,24)
03930     */PP/PI1,PIC,AP1,APC,RNP1,RNPC,PAT
03940 C
03950     DO 10 L=1,NDIVO*2
03960     DO 10 K=1,NDIVP
03970     X1R= AP1*RD(L,K)
03980     XCR= APC*RD(L,K)
03990     DO 10 I=1,N
04000     I1=NNU(NL,I)
04010     BEJ(I,L,K)= DJBES(I1,X1R)
04020     XJ1(I,L,K)= I1/X1R
04030     DIJ(I,L,K)= XJ1(I,L,K)*BEJ(I,L,K)-DJBES(I1+1,X1R)
04040     BEK(I,L,K)= DKBES(I1,XCR)
04050     XKC(I,L,K)= I1/XCR
04060     DIK(I,L,K)= XKC(I,L,K)*BEK(I,L,K)-DKBES(I1+1,XCR)
04070 10 CONTINUE
04080     RETURN
04090     END
```

ANALYSIS OF RECTANGULAR CORE FIBERS

L861212 PAGE 9

```

04100 *
04110 *
04120 *
04130     SUBROUTINE FUNC1(J1,J2,L1,L2)
04140     IMPLICIT REAL*8(A-H,O-Z)
04150     COMMON
04160     */NN/N,N1,N2,NE,NH,KE1,KH1,KE2,KH2,NMAT,NEP,NDIVO,NDIV,NDIVP
04170     */NA/JM1(21),NNU(0:1,21),IE(21),IH(21),JE(21),JH(21)
04180     */BE/BEJ(20,10,24),BEK(20,10,24),DIJ(20,10,24),DIK(20,10,24),
04190     *      XJ1(20,10,24),XKC(20,10,24)
04200     */CO/RD(10,24),XC(20,10,24),XS(20,10,24)
04210     */EJ/PEJ(20,20),PEJN(20,20)
04220     */EK/PEK(20,20),PEKN(20,20)
04230     */HJ/PHJ(20,20),PHJN(20,20)
04240     */HK/PHK(20,20),PHKN(20,20)
04250     */PH/PHAIE(20,10,24),PHAIH(20,10,24)
04260     */RL/RLPH(0:10),RLG(10,24),WE(10,24),TH(10,24),THL(10,24),S2(10)
04270     */VN/VNR(10,24),VNT(10,24)
04280 C
04290     DO 10 I=1,N
04300     DO 10 J=J1,J2
04310     IIE= IE(I)
04320     JJE=   J
04330     IIH= IH(I)
04340     JJH=   J
04350     PEJ (I,J)= 0.0D0
04360     PEK (I,J)= 0.0D0
04370     PHJ (I,J)= 0.0D0
04380     PHK (I,J)= 0.0D0
04390     PEJN(I,J)= 0.0D0
04400     PEKN(I,J)= 0.0D0
04410     PHJN(I,J)= 0.0D0
04420     PHKN(I,J)= 0.0D0
04430     DO 10 L=L1,L2
04440     PEJ IJ = 0.0D0
04450     PEK IJ = 0.0D0
04460     PHJ IJ = 0.0D0
04470     PHK IJ = 0.0D0
04480     PEJNIJ = 0.0D0
04490     PEKNIJ = 0.0D0
04500     PHJNIJ = 0.0D0
04510     PHKNIJ = 0.0D0
04520     DO 11 K=1,NDIVP
04530     PEJIJ= PEJIJ+WE(L,K)*BEJ(IIE,L,K)*XC(IIE,L,K)*PHAIE(JJE,L,K)
04540     PEKIJ= PEKIJ+WE(L,K)*BEK(IIE,L,K)*XC(IIE,L,K)*PHAIE(JJE,L,K)
04550     PHJIJ= PHJIJ+WE(L,K)*BEJ(IIH,L,K)*XS(IIH,L,K)*PHAIH(JJH,L,K)
04560     PHKIJ= PHKIJ+WE(L,K)*BEK(IIH,L,K)*XS(IIH,L,K)*PHAIH(JJH,L,K)
04570     PEJR=    DIJ(IIE,L,K)*XC(IIE,L,K)
04580     PEJT=-XJ1(IIE,L,K)*BEJ(IIE,L,K)*XS(IIE,L,K)
04590     PEKR=    DIK(IIE,L,K)*XC(IIE,L,K)
04600     PEKT=-XKC(IIE,L,K)*BEK(IIE,L,K)*XS(IIE,L,K)
04610     PHJR=    DIJ(IIH,L,K)*XS(IIH,L,K)
04620     PHJT= XJ1(IIH,L,K)*BEJ(IIH,L,K)*XC(IIH,L,K)
04630     PHKR=    DIK(IIH,L,K)*XS(IIH,L,K)
04640     PHKT= XKC(IIH,L,K)*BEK(IIH,L,K)*XC(IIH,L,K)
04650     FEJ= VNR(L,K)*PEJR+VNT(L,K)*PEJT
04660     FEK= VNR(L,K)*PEKR+VNT(L,K)*PEKT
04670     FHJ= VNR(L,K)*PHJR+VNT(L,K)*PHJT
04680     FHK= VNR(L,K)*PHKR+VNT(L,K)*PHKT
04690     PEJNIJ= PEJNIJ+WE(L,K)*FEJ*PHAIE(JJE,L,K)
04700     PEKNIJ= PEKNIJ+WE(L,K)*FEK*PHAIE(JJE,L,K)
04710     PHJNIJ= PHJNIJ+WE(L,K)*FHJ*PHAIH(JJH,L,K)
04720     PHKNIJ= PHKNIJ+WE(L,K)*FHK*PHAIH(JJH,L,K)
04730 11 CONTINUE
04740     PEJ (I,J)= PEJ (I,J)+S2(L)*PEJ IJ
04750     PEK (I,J)= PEK (I,J)+S2(L)*PEK IJ
04760     PHJ (I,J)= PHJ (I,J)+S2(L)*PHJ IJ
04770     PHK (I,J)= PHK (I,J)+S2(L)*PHK IJ
04780     PEJN(I,J)= PEJN(I,J)+S2(L)*PEJNIJ
04790     PEKN(I,J)= PEKN(I,J)+S2(L)*PEKNIJ
04800     PHJN(I,J)= PHJN(I,J)+S2(L)*PHJNIJ
04810     PHKN(I,J)= PHKN(I,J)+S2(L)*PHKNIJ
04820 10 CONTINUE
04830     RETURN
04840     END

```

ANALYSIS OF RECTANGULAR CORE FIBERS

L861212 PAGE 10

```

04850 *
04860 *
04870 *
04880     SUBROUTINE REFPJ
04890     IMPLICIT REAL*8(A-H,O-Z)
04900     COMMON
04910     */NN/N,N1,N2,NE,NH,KE1,KH1,KE2,KH2,NMAT,NEP,NDIVO,NDIV,NDIVP
04920     */EJ/PEJ(20,20),PEJN(20,20)
04930     */EK/PEK(20,20),PEKN(20,20)
04940     */HJ/PHJ(20,20),PHJN(20,20)
04950     */HK/PHK(20,20),PHKN(20,20)

04960 C
04970     DO 10 I=1,N
04980     DO 11 J=1,N2-KE2
04990     PEJ (I,J+N1-KE1)= PEJ (I,J+N1)
05000     PEK (I,J+N1-KE1)= PEK (I,J+N1)
05010     PEJN(I,J+N1-KE1)= PEJN(I,J+N1)
05020     PEKN(I,J+N1-KE1)= PEKN(I,J+N1)
05030     11 CONTINUE
05040     DO 12 J=1,N2-KH2
05050     PHJ (I,J+N1-KH1)= PHJ (I,J+N1)
05060     PHK (I,J+N1-KH1)= PHK (I,J+N1)
05070     PHJN(I,J+N1-KH1)= PHJN(I,J+N1)
05080     PHKN(I,J+N1-KH1)= PHKN(I,J+N1)
05090     12 CONTINUE
05100     10 CONTINUE
05110     RETURN
05120     END !
```

.....

```

05130 *
05140 *
05150 *
05160     SUBROUTINE ELEM
05170     IMPLICIT REAL*8(A-H,O-Z)
05180     COMMON
05190     */NN/N,N1,N2,NE,NH,KE1,KH1,KE2,KH2,NMAT,NEP,NDIVO,NDIV,NDIVP
05200     */NS/NL,NSY,NYY
05210     */NA/JM1(KB1),NNU(0:1,21),IE(21),IH(21),JE(21),JH(21)
05220     */EL/EL(41,41),BX(41),FACT(21)
05230     */EJ/PEJ(20,20),PEJN(20,20)
05240     */EK/PEK(20,20),PEKN(20,20)
05250     */HJ/PHJ(20,20),PHJN(20,20)
05260     */HK/PHK(20,20),PHKN(20,20)
05270     */FH/FAPH1,FAPH2
05280     */PP/PI1,PIC,AP1,APC,RNP1,RNPC,PAT
05290     */TA/TE(20,21),TH(21,20)
05300     */TS/PEM1(20,20),PEMC(20,20),PHM1(20,20),PHMC(20,20)

05310 C
05320 C     CALL SHOW(PEJ,'PEJ',20,20,1,NE,1,NE)
05330 C     CALL SHOW(PEK,'PEK',20,20,1,NE,1,NE)
05340 C     CALL SHOW(PHJ,'PHJ',20,20,1,NH,1,NH)
05350 C     CALL SHOW(PHK,'PHK',20,20,1,NH,1,NH)
05360     CALL MATIO(PEJ,20,NE)
05370     CALL MATIO(PEK,20,NE)
05380     CALL MATIO(PHJ,20,NH)
05390     CALL MATIO(PHK,20,NH)
05400     CALL MUL (PEJ,PEJN,PEM1,20,20,20,20,20,20,NE,NE,NE,1,1)
05410     CALL MUL (PEK,PEKN,PEMC,20,20,20,20,20,20,NE,NE,NE,1,1)
05420     CALL MUL (PHJ,PHJN,PHM1,20,20,20,20,20,20,NH,NH,NH,1,1)
05430     CALL MUL (PHK,PHKN,PHMC,20,20,20,20,20,20,NH,NH,NH,1,1)
05440     DO 10 I=1,NE
05450     DO 10 J=1,NE
05460     10 EL(I,J)=-(RNP1*PEM1(I,J)+RNPC*PEMC(I,J))
05470     DO 11 I=1,NE
05480     DO 11 J=1,NH
05490     11 EL(I,J+NE)= TH(I,J)*PAT
05500     DO 12 I=1,NH
05510     DO 12 J=1,NE
05520     12 EL(I+NE,J)= TE(I,J)*PAT
05530     DO 13 I=1,NH
05540     DO 13 J=1,NH
05550     13 EL(I+NE,J+NE)= PI1*PHM1(I,J)+PIC*PHMC(I,J)
05560     RETURN
05570     END
```

B - 4 複合媒質光ファイバの固有モード解析プログラム

```

*****
* ANALYSIS OF COMPOSITE FIBERS *
* DATE=86-12-12 *
*****
00010 *
00020 *      ANALYSIS OF CIRCULAR SIDE TUNNEL OPTICAL FIBERS
00030 *      BY MODIFIED BOUNDARY INTEGRAL METHOD (M-B.I.M)      85.10.01
00040 *
00050     PROGRAM CSTBI
00060     IMPLICIT REAL*8(A-H,O-Z)
00070     CHARACTER CL(0:1)*1,CS(0:1)*1
00080     DIMENSION AKK(5),BKK(5)
00090     COMMON
00100    */NA/JM1(30),NNU(0:1,30),JE1(30),JH1(30),JET(30),JHT(30)
00110    */NN/N1,NT,NC,NE1,NH1,NET,NHT,NEC,NHC,NMAT,NEP,NDIV0,NDIV,NDIVP
00120    */NS/NL,NSY
00130    */AK/AK,BK
00140    */EL/EL(60,60),BX(60),FACT(30)
00150    */NR/RN1,RNC,RNT,RN12,RNC2,RNT2
00160    */PA/PAI,PAIH,PAIQ,PAID,PHAI
00170    */SH/RRB,RRC
00180    DATA CL,CS/'0','1','0','E'
00190    PAI= 3.141592653589793D0
00200    PAIH= 0.5*PAI
00210    PAIQ= 0.5*PAIH
00220    PAID= 2.0*PAI
00230 C      WRITE(6,201) ';'
00250      EPS= 1.0D-6
00260 20  WRITE(6,*) 'Input Rb,Rc,Nr1,Nrc,Nrt,Nl,NSy'
00270      READ(5,*,ERR=20) RRB,RRC,RN1,RNC,RNT,NL,NSY
00280      RN12= RN1*RN1
00290      RNC2= RNC*RNC
00300      RNT2= RNT*RNT
00310      PHAI= -PAIH*(1-NSY)
00320 21  WRITE(6,*) 'Input Ndiv0,Ndiv,eps'
00330      READ(5,*,ERR=21) NDIV0,NDIV,NEP
00340      EPS= 10.0**(-NEP)
00350 22  WRITE(6,*) 'Input N1,NT'
00360      READ(5,*,ERR=22) N1,NT
00370      CALL SETN
00380      CALL COOR
00390      CALL TANF
00400      JAK= 0
00410 23  WRITE(6,*) 'Input V'
00420      READ(5,*,ERR=23) V
00430      IF(V .LE.0) GOTO 23
00440      AK= V/DSQRT(RN12-RNC2)
00450 24  WRITE(6,*) 'Input B1,Bd,Be'
00460      READ(5,*,ERR=24) B1,BD,BE
00470      IF(B1.EQ.0.OR.BD.LE.0.OR.BE.GE.RN1) GOTO 27
00480      CALL CLOCK
00490      Y1= VALUE(B1)
00500      CALL CLOCK(TIME)
00510      WRITE(6,400) TIME
00520 400 FORMAT(1H , 'TIME=',1PD13.3,' SEC')
00530      WRITE(6,200) V,' B1',B1,Y1
00540 25  B2=B1+BD
00550      IF(B2.GE.BE.OR.JAK.EQ.3) GOTO 26
00560      Y2= VALUE(B2)
00570      IF(Y1*Y2.LE.0) THEN
00580      JAK= JAK+1
00590      CALL SOLVE(B1,B2,Y1,Y2,B0,Y0,EPS)
00600      WRITE(6,200) V,';B0',B0,Y0
00610      AKK(JAK)= V
00620      BKK(JAK)= B0
00630      ENDIF
00640      WRITE(6,200) V,' B2',B2,Y2
00650      B1= B2
00660      Y1= Y2
00670      GOTO 25
00680 26  WRITE(6,201) ' '
00690      IF(JAK.GT.0) THEN
00700      WRITE(6,220) ';',RRB,RRC,RN1,RNC,RNT,CL(NL),CS(NSY),N1,NT,NEP,
00710      *          NDIV0,NDIVP,(AKK(J),BKK(J),J=1,JAK)
00720      JAK= 0

```

ANALYSIS OF COMPOSITE FIBERS

```
00730      ELSE
00740      WRITE(6,220) ' ',RRB,RRC,RN1,RNC,RNT,CL(NL),CS(NSY),N1,NT,
00750      *          NEP,NDIVO,NDIVP
00760      ENDIF
00770      27 WRITE(6,*) '0:BK 1:AK 2:N 3:Ndiv,EPS 4:Ra,NL,Nsy 5:Field 6:Stop'
00780      READ(5,100) NJ
00790      GOTO (24,23,22,21,20,28,40),NJ+1
00800      28 CALL FIELD(V,B0,CL,CS)
00810      GOTO 27
00820      40 STOP 0
00830      100 FORMAT(I1)
00840      200 FORMAT(1H , 'AK=',F10.5,3X,A3,'=',F12.9,' Y=',1PD13.3)
00850      201 FORMAT(1H ,A1,' RB      RC      NR1      NRC      NRT',
00860      *           Mode N1  NT Nep Np0  Np   V
00870      220 FORMAT(1H ,A1,5F8.5,2X,2A1,5I4,3(F14.10,F19.15))
00880      END
```

ANALYSIS OF COMPOSITE FIBERS

L861212 PAGE 3

```

00890 *
00900 *      FIELD
00910 *
00920     SUBROUTINE FIELD(V,B0,CL,CS)
00930     IMPLICIT REAL*8(A-H,O-Z)
00940     CHARACTER CL(0:1)*1,CS(0:1)*1
00950     DIMENSION BE1(30),BH1(30),BET(30),BHT(30)
00960     COMMON
00970     /*NA/JM1(30),NNU(0:1,30),JE1(30),JH1(30),JET(30),JHT(30)
00980     */NN/N1,NT,NC,NE1,NH1,NET,NHT,NEC,NHC,NMAT,NEP,NDIVO,NDIV,NDIVP
00990     /*NS/NL,NSY
01000     /*AK/AK,BK
01010     /*EL/EL(60,60),BX(60),FACT(30)
01020     /*RN/RN1,RNC,RNT,RN12,RNC2,RNT2
01030     /*SH/RRB,RRC
01040 C
01050     BK= DSQRT(B0*(RN12-RNC2)+RNC2)
01060     CALL PARAM
01070     CALL BESEL
01080     CALL CALP
01090     CALL FUNC1
01100     CALL ELEM
01110     CALL SIML(EL,BX,60,60,60,1,NMAT,0,1,DETM)
01120     BXMAX= 0.
01130     DO 10 J=1,NMAT
01140     IF(DABS(BX(J)).GT.BXMAX) BXMAX= DABS(BX(J))
01150   10 CONTINUE
01160     IF(BXMAX.EQ.0) THEN
01170     WRITE(6,*) 'Trivial Solution!'
01180     STOP 1
01190     ENDIF
01200     DO 11 J=1,NMAT
01210     11 BX(J)= BX(J)/BXMAX
01220     DO 12 J=1,21
01230     BE1(J)= 0.
01240     BH1(J)= 0.
01250     BET(J)= 0.
01260     BHT(J)= 0.
01270     12 CONTINUE
01280     DO 13 J=1,NE1
01290     13 BE1(JE1(J))= BX(J)
01300     DO 14 J=1,NH1
01310     14 BH1(JH1(J))= BX(J+NEC)
01320     DO 15 J=1,NET
01330     15 BET(JET(J))= BX(J+NE1)
01340     DO 16 J=1,NHT
01350     16 BHT(JHT(J))= BX(J+NEC+NH1)
01360 C
01370     CALL PARAM
01380     CALL BESEL
01390     CALL CALP
01400     CALL FUNC1
01410     CALL ELEM
01420     CALL CHKB(EL,BX,60,NMAT)
01430     WRITE(6,*) ';'
01440     WRITE(6,201) ';'
01450     WRITE(6,210) ';',RRB,RRC,RN1,RNC,RNT,CL(NL),CS(NSY),N1,NT,NEP,
01460     *          NDIVO,NDIVP,V,B0
01470     WRITE(6,*) ';'
01480     WRITE(6,*) ' ; J           E1           H1'
01490     WRITE(6,220) ((NNU(NL,J),BE1(J),BH1(J)),J=1,N1)
01500     WRITE(6,*) ' ; '
01510     WRITE(6,*) ' ; J           ET           HT'
01520     WRITE(6,220) ((JM1(J),BET(J),BHT(J)),J=1,NT)
01530     RETURN
01540 201 FORMAT(1H ,A1,' RB    RC    NR1    NRC    NRT    Mode   N1   NT',
01550     *          ' Nep   Np0   Np     AK           BK')
01560 210 FORMAT(1H ,A1,5F6.3,2X,2A1,5I5,2X,3(F14.10,F19.15))
01570 220 FORMAT((1H ,';',I3,3X,2(1PD16.6)))
01580     END

```

ANALYSIS OF COMPOSITE FIBERS

L861212 PAGE 4

```
01590 *
01600 *
01610 *
01620     FUNCTION VALUE(BKK)
01630     IMPLICIT REAL*8(A-H,O-Z)
01640     DIMENSION DM(1,1)
01650     COMMON
01660     */NN/N1,NT,NC,NE1,NH1,NET,NHT,NEC,NHC,NMAT,NEP,NDIVO,NDIV,NDIVP
01670     */AK/AK,BK
01680     */EL/EL(60,60),BX(60),FACT(30)
01690     */NR/RN1,RNC,RNT,RN12,RNC2,RNT2
01700     */TS/PEM1(30,30),PEMC(30,30),PHM1(30,30),PHMC(30,30),
01710     *      PEMT(30,30),PHMT(30,30)
01720 C
01730     BK= DSQRT(BKK*(RN12-RNC2)+RNC2)
01740     CALL PARAM
01750     CALL BESEL
01760     CALL CALP
01770     CALL FUNCI
01780     CALL ELEM
01790     CALL SIML(EL,DM,60,60,1,1,NMAT,0,0,VALUE)
01800     RETURN
01810     END

01820 *
01830 *
01840 *
01850     BLOCKDATA VAL
01860     COMMON
01870     */NA/JM1(30),NNU(0:1,30),JE1(30),JH1(30),JET(30),JHT(30)
01880 C
01890     DATA JM1/ 0, 1, 2, 3, 4, 5, 6, 7, 8, 9,
01900     *          10,11,12,13,14,15,16,17,18,19,
01910     *          20,21,22,23,24,25,26,27,28,29/
01920     DATA NNU/ 0, 1, 2, 3, 4, 5, 6, 7, 8, 9,
01930     *          10,11,12,13,14,15,16,17,18,19,
01940     *          20,21,22,23,24,25,26,27,28,29,
01950     *          30,31,32,33,34,35,36,37,38,39,
01960     *          40,41,42,43,44,45,46,47,48,49,
01970     *          50,51,52,53,54,55,56,57,58,59/
01980     END

01990 *
02000 *
02010 *
02020     SUBROUTINE SETN
02030     COMMON
02040     */NN/N1,NT,NC,NE1,NH1,NET,NHT,NEC,NHC,NMAT,NEP,NDIVO,NDIV,NDIVP
02050     */NS/NL,NSY
02060     */NA/JM1(30),NNU(0:1,30),JE1(30),JH1(30),JET(30),JHT(30)
02070 C
02080     NE1= N1-(1-NL)*(1-NSY)
02090     NH1= N1-(1-NL)* NSY
02100     NET= NT-(1-NSY)
02110     NHT= NT- NSY
02120     NC= N1+NT
02130     NEC= NE1+NET
02140     NHC= NH1+NHT
02150     NMAT= NH1+NE1+NHT+NET
02160 C
02170     DO 10 J=1,NC
02180     JE1(J)= J+(1-NL)*(1-NSY)
02190     JH1(J)= J+(1-NL)* NSY
02200 10 CONTINUE
02210     DO 11 J=1,NT
02220     JET(J)= J+(1-NSY)
02230     JHT(J)= J+ NSY
02240 11 CONTINUE
02250     RETURN
02260     END
```

ANALYSIS OF COMPOSITE FIBERS

L861212 PAGE 5

```

02270 *
02280 *
02290 *
02300      SUBROUTINE TANF
02310      IMPLICIT REAL*8(A-H,O-Z)
02320      COMMON
02330      /*NA/JM1(30),NNU(0:1,30),JE1(30),JH1(30),JET(30),JHT(30)
02340      /*NN/N1,NT,NC,NE1,NH1,NET,NHT,NEC,NHC,NMAT,NEP,NDIVO,NDIV,NDIVP
02350      /*NS/NL,NSY
02360      /*TA/TE1(30,30),TH1(30,30),TET(30,30),THT(30,30)
02370 C
02380      DO 10 I=1,30
02390      DO 10 J=1,30
02400      TE1(I,J)= 0.
02410      TH1(J,I)= 0.
02420      TET(I,J)= 0.
02430      THT(J,I)= 0.
02440      10 CONTINUE
02450      DO 11 I=1,N1
02460      IF(NL.EQ.1)          TE1(I ,I )= NNU(1,I )*(-1)** NSY
02470      IF(NL.EQ.0.AND.NSY.EQ.1) TE1(I ,I+1)=-NNU(0,I+1)
02480      IF(NL.EQ.0.AND.NSY.EQ.0) TE1(I+1, I)= NNU(0,I+1)
02490      11 CONTINUE
02500      DO 12 I=1,N1
02510      IF(NL.EQ.1)          TH1(I ,I )= NNU(1,I )*(-1)**(1-NSY)
02520      IF(NL.EQ.0.AND.NSY.EQ.1) TH1(I+1, I)= NNU(0,I+1)
02530      IF(NL.EQ.0.AND.NSY.EQ.0) TH1(I ,I+1)=-NNU(0,I+1)
02540      12 CONTINUE
02550 C
02560      DO 13 I=1,NT
02570      IF(NSY.EQ.1) TET(I ,I+1)=-JM1( I+1)
02580      IF(NSY.EQ.0) TET(I+1, I)= JM1( I+1)
02590      13 CONTINUE
02600      DO 14 I=1,NT
02610      IF(NSY.EQ.1) THT(I+1,I )= JM1( I+1)
02620      IF(NSY.EQ.0) THT(I ,I+1)=-JM1( I+1)
02630      14 CONTINUE
02640      RETURN
02650      END

```

```

02660 *
02670 *
02680 *
02690      SUBROUTINE PARAM
02700      IMPLICIT REAL*8(A-H,O-Z)
02710      COMMON
02720      /*AK/AK,BK
02730      /*NR/RN1,RNC,RNT,RN12,RNC2,RNT2
02740      /*PP/PI1,PIC,PIT,AP1,APC,APT,RNP1,RNPC,RNPT,PA1C,PATC
02750 C
02760      BK2=BK*BK
02770      P12= RN12+BK2
02780      PC2= BK2-RNC2
02790      PT2= BK2-RNT2
02800      P1= DSQRT(P12)
02810      PC= DSQRT(PC2)
02820      PT= DSQRT(PT2)
02830      PI12= 1/P12
02840      PIC2= 1/PC2
02850      PIT2= 1/PT2
02860      PI1= 1/P1
02870      PIC= 1/PC
02880      PIT= 1/PT
02890      RNP1= RN12*PI1
02900      RNPC= RNC2*PIC
02910      RNPT= RNT2*PIT
02920      PA1C=-BK/AK *(PI12+PIC2)
02930      PATC= BK/AK *(PIT2-PIC2)
02940      AP1= AK*P1
02950      APC= AK*PC
02960      APT= AK*PT
02970      RETURN
02980      END

```

ANALYSIS OF COMPOSITE FIBERS

L861212 PAGE 6

```

02990 *
03000 *
03010 *
03020     SUBROUTINE COOR
03030     IMPLICIT REAL*8(A-H,O-Z)
03040     DIMENSION RLPH0(0:4),RLG(4,24),TH0(4,24),THL(4,24),TH2(4,24)
03050     COMMON
03060     /*NA/JM1(30),NNU(0:1,30),JE1(30),JH1(30),JET(30),JHT(30)
03070     /*NN/N1,NT,NC,NE1,NH1,NET,NHT,NEC,NHC,NMAT,NEP,NDIVO,NDIVP
03080     /*NS/NL,NSY
03090     /*CO/R1T(4,24),XC1T(30,4,24),XS1T(30,4,24),
03100     *      RT1(4,24,2),XCT1(30,4,24,2),XST1(30,4,24,2),
03110     *      RTT(4,24),XCTT(30,4,24),XSTT(30,4,24)
03120     /*FH/FACTPH
03130     /*PA/PAI,PAIH,PAIQ,PAID,PHAI
03140     /*PH/PHE1(30,4,24),PHH1(30,4,24),PHET(30,4,24),PHHT(30,4,24)
03150     /*GA/RGO(24),WE0(24)
03160     /*RL/RLPH,WE1(4,24),S21(4),WET(4,24),S2T(4)
03170     /*SH/RRB,RRC
03180     /*VN/VNR1(4,24,2),VNT1(4,24,2),VNRT(4,24),VNTT(4,24),
03190     *      VNRTT(4,24),VNTTT(4,24)

03200 C
03210     RLPH0(0)= 0.0D0
03220     DO 10 L=1,NDIVO
03230   10 RLPH0(L)= PAIH*L/NDIVO
03240     DO 11 L=1,NDIVO
03250     CALL DGAUASP(NDIV,NDIVP,RLPH0(L-1),RLPH0(L),S21(L),RGO,WE0)
03260     DO 11 K=1,NDIVP
03270     RLG(L,K)= RGO(K)
03280     TH0(L,K)= RGO(K)
03290     WE1(L,K)= WE0(K)
03300   11 CONTINUE
03310 C
03320     DO 12 L=1,NDIVO
03330     DO 13 K=1,NDIVP
03340     THL(L,K)= TH0(L,K)
03350     RT1(L,K,2)= DSQRT( 1.0D0+RRC**2-2*RRC*DCOS(TH0(L,K)) )
03360     TH2(L,K)= PAI-DARSIN( 1.0D0/RT1(L,K,2)*DSIN(TH0(L,K)) )
03370     TH20= TH0(L,K)-TH2(L,K)
03380     VNR1(L,K,2)= DCOS(TH20)
03390     VNT1(L,K,2)= DSIN(TH20)
03400     DO 14 I=1,NT
03410     XCT1(I,L,K,2)= DCOS(JM1(I)*TH2(L,K)+PHAI)
03420     XST1(I,L,K,2)= DSIN(JM1(I)*TH2(L,K)+PHAI)
03430   14 CONTINUE
03440     RT1(L,K,1)= DSQRT( 1.0D0+RRC**2+2*RRC*DCOS(TH0(L,K)) )
03450     TH2(L,K)= PAI+DARSIN( 1.0D0/RT1(L,K,1)*DSIN(TH0(L,K)) )
03460     TH20= PAI+TH0(L,K)-TH2(L,K)
03470     VNR1(L,K,1)= DCOS(TH20)
03480     VNT1(L,K,1)= DSIN(TH20)
03490     DO 15 I=1,NT
03500     XCT1(I,L,K,1)= DCOS(JM1(I)*TH2(L,K)+PHAI)
03510     XST1(I,L,K,1)= DSIN(JM1(I)*TH2(L,K)+PHAI)
03520   15 CONTINUE
03530   13 CONTINUE
03540     DO 16 J=1,N1
03550     DO 16 K=1,NDIVP
03560     PHE1(J,L,K)= DCOS(NNU(NL,J)*THL(L,K)+PHAI)
03570     PHH1(J,L,K)= DSIN(NNU(NL,J)*THL(L,K)+PHAI)
03580   16 CONTINUE
03590   12 CONTINUE
03600 C
03610     RLPH= PAI*RRB
03620     FACTPH= 1.0D0/RRB
03630     RLPH0(0)= 0.0D0
03640     DO 17 L=1,NDIVO
03650   17 RLPH0(L)= RRB*PAI*L/NDIVO
03660     DO 18 L=1,NDIVO
03670     CALL DGAUASP(NDIV,NDIVP,RLPH0(L-1),RLPH0(L),S2T(L),RGO,WE0)
03680     DO 18 K=1,NDIVP
03690     RLG(L,K)= RGO(K)
03700     TH2(L,K)= RGO(K)/RRB
03710     WET(L,K)= WE0(K)
03720   18 CONTINUE
03730 C
03740     DO 19 L=1,NDIVO
03750     DO 30 K=1,NDIVP
03760     THL(L,K)= PAI*RLG(L,K)/RLPH

```

ANALYSIS OF COMPOSITE FIBERS

```

03770      R1T(L,K)= DSQRT( RRB**2+RRC**2+2*RRB*RRC*DCOS(TH2(L,K)) )
03780      TH0(L,K)= DARSIN( RRB/R1T(L,K)*DSIN(TH2(L,K)) )
03790      TH02= TH2(L,K)-TH0(L,K)
03800      VNRT(L,K)= DCOS(TH02)
03810      VNTT(L,K)= DSIN(TH02)
03820 30 CONTINUE
03830      DO 31 I=1,N1
03840      DO 31 K=1,NDIVP
03850      XC1T(I,L,K)= DCOS(NNU(NL,I)*TH0(L,K)+PHAI)
03860      XS1T(I,L,K)= DSIN(NNU(NL,I)*TH0(L,K)+PHAI)
03870 31 CONTINUE
03880      DO 32 J=1,NT
03890      DO 32 K=1,NDIVP
03900      PHET(J,L,K)= DCOS(JM1(J)*THL(L,K)+PHAI)
03910      PHHT(J,L,K)= DSIN(JM1(J)*THL(L,K)+PHAI)
03920 32 CONTINUE
03930 19 CONTINUE
03940      DO 33 L=1,NDIVO
03950      DO 33 K=1,NDIVP
03960      RTT(L,K)= DSQRT( RRB**2+4*RRC**2+4*RRB*RRC*DCOS(TH2(L,K)) )
03970      TH0(L,K)= PAI+DARSIN( RRB/RTT(L,K) *DSIN(TH2(L,K)) )
03980      TH02= PAI+TH2(L,K)-TH0(L,K)
03990      VNRTT(L,K)= DCOS(TH02)
04000      VNTTT(L,K)= DSIN(TH02)
04010      DO 33 I=1,NT
04020      XCTT(I,L,K)= DCOS(JM1(I)*TH0(L,K)+PHAI)
04030      XSTT(I,L,K)= DSIN(JM1(I)*TH0(L,K)+PHAI)
04040 33 CONTINUE
04050      RETURN
04060  END(1,1,2)= DSQRT( RRB**2+RRC**2+2*RRB*RRC*DCOS(TH2(L,K)) )

```

ANALYSIS OF COMPOSITE FIBERS

L861212 PAGE 8

```
04070 *
04080 *
04090 *
04100      SUBROUTINE BESEL
04110      IMPLICIT REAL*8(A-H,O-Z)
04120      COMMON
04130      */NA/JM1(30),NNU(0:1,30),JE1(30),JH1(30),JET(30),JHT(30)
04140      */NN/N1,NT,NC,NE1,NH1,NET,NHT,NEC,NHC,NMAT,NEP,NDIVO,NDIV,NDIVP
04150      */NS/NL,NSY
04160      */BE/BEJ(30),BEK11(30),DIJ(30),DIK11(30),BEI(30),DII(30),
04170      *     BEK(30),DIK(30),BEK1T(30,4,24),DIK1T(30,4,24),
04180      *     BEKT1(30,4,24,2),DIKT1(30,4,24,2),
04190      *     BEKTT(30,4,24),DIKTT(30,4,24),
04200      *     XJ(30),XK11(30),XI(30),XK(30),
04210      *     XK1T(30,4,24),XKT1(30,4,24,2),XKTT(30,4,24)
04220      */CO/R1T(4,24),XC1T(30,4,24),XS1T(30,4,24),
04230      *     RT1(4,24,2),XCT1(30,4,24,2),XST1(30,4,24,2),
04240      *     RTT(4,24),XCTT(30,4,24),XSTT(30,4,24)
04250      */PP/PI1,PI2,PIT,AP1,APC,APT,RNP1,RNPT,PA1C,PATC
04260      */SH/RRB,RRC
04270 C
04280      DO 10 I=1,N1
04290      I1= NNU(NL,I)
04300      BEJ(I)= DJBES(I1,AP1)
04310      XJ(I)= I1/AP1
04320      DIJ(I)= XJ(I)*BEJ(I)-DJBES(I1+1,AP1)
04330 10 CONTINUE
04340      DO 11 I=1,NT+1
04350      I1= JM1(I)
04360      BEI(I)= DIBES(I1,APT*RRB)
04370      XI(I)= I1/(APT*RRB)
04380      BEK(I)= DKBES(I1,APC*RRB)
04390      XK(I)= I1/(APC*RRB)
04400      DO 12 L=1,NDIVO
04410      DO 12 K=1,NDIVP
04420      XCR= APC*RTT(L,K)
04430      BEKTT(I,L,K)= DKBES(I1,XCR) *(-1)**NL
04440      XKTT(I,L,K)= I1/XCR
04450      DO 12 NS=1,2
04460      XCR= APC*RT1(L,K,NS)
04470      BEKT1(I,L,K,NS)= DKBES(I1,XCR) *(-1)**(NL*NS)
04480      XKT1(I,L,K,NS)= I1/XCR
04490 12 CONTINUE
04500 11 CONTINUE
04510 C
04520      DO 13 I=1,NT
04530      DII(I)= XI(I)*BEI(I)+BEI(I+1)
04540      DIK(I)= XK(I)*BEK(I)-BEK(I+1)
04550      DO 14 L=1,NDIVO
04560      DO 14 K=1,NDIVP
04570      DIKTT(I,L,K)= XKTT(I,L,K)*BEKTT(I,L,K)-BEKTT(I+1,L,K)
04580      DO 14 NS=1,2
04590      DIKT1(I,L,K,NS)= XKT1(I,L,K,NS)*BEKT1(I,L,K,NS)-BEKT1(I+1,L,K,NS)
04600 14 CONTINUE
04610 13 CONTINUE
04620 C
04630      DO 15 I=1,N1
04640      I1= NNU(NL,I)
04650      BEK11(I)= DKBES(I1,APC)
04660      XK11(I)= I1/APC
04670      DIK11(I)= XK11(I)*BEK11(I)-DKBES(I1+1,APC)
04680      DO 16 L=1,NDIVO
04690      DO 16 K=1,NDIVP
04700      XCR= APC*R1T(L,K)
04710      BEK1T(I,L,K)= DKBES(I1,XCR)
04720      XK1T(I,L,K)= I1/XCR
04730      DIK1T(I,L,K)= XK1T(I,L,K)*BEK1T(I,L,K)-DKBES(I1+1,XCR)
04740 16 CONTINUE
04750 15 CONTINUE
04760      RETURN
04770      END
```

ANALYSIS OF COMPOSITE FIBERS

L861212 PAGE 9

```

04780 *
04790 *
04800 *
04810      SUBROUTINE FUNC1
04820      IMPLICIT REAL*8(A-H,O-Z)
04830      COMMON
04840      */NN/N1,NT,NC,NE1,NH1,NET,NHT,NEC,NHC,NMAT,NEP,NDIVO,NDIV,NDIVP
04850      */NA/JM1(30),NNU(0:1,30),JE1(30),JH1(30),JET(30),JHT(30)
04860      */BE/BEJ(30),BEK11(30),DIJ(30),DIK11(30),BEI(30),DII(30),
04870      *     BEK(30),DIK(30),BEK1T(30,4,24),DIK1T(30,4,24),
04880      *     BEKT1(30,4,24,2),DIKT1(30,4,24,2),
04890      *     BEKTT(30,4,24),DIKTT(30,4,24),
04900      *     XJ(30),XK11(30),XI(30),XK(30),
04910      *     XK1T(30,4,24),XKT1(30,4,24,2),XKTT(30,4,24)
04920      */CO/R1T(4,24),XC1T(30,4,24),XS1T(30,4,24),
04930      *     RT1(4,24,2),XCT1(30,4,24,2),XST1(30,4,24,2),
04940      *     RTT(4,24),XCTT(30,4,24),XSTT(30,4,24)
04950      */EK/PEK(30,30),PEKN(30,30)
04960      */HK/PHK(30,30),PHKN(30,30)
04970      */PH/PHE1(30,4,24),PHH1(30,4,24),PHET(30,4,24),PHHT(30,4,24)
04980      */RL/RLPH,WE1(4,24),S21(4),WET(4,24),S2T(4)
04990      */VN/VNR1(4,24,2),VNT1(4,24,2),VNRT(4,24),VNNT(4,24),
05000      *     VNRTT(4,24),VNNTT(4,24)

05010 C      DO 10 I=1,NT
05020      DO 10 J=1,N1P
05030      II=JE1(I)
05040      JJ=JE1(J)
05050      IH=JHT(I)
05060      JH=JH1(J)
05070      DO 10 NS=1,2
05080      DO 10 L=1,NDIVO
05090      PEK IJ = 0.0D0
05100      PHK IJ = 0.0D0
05110      PEKNIJ = 0.0D0
05120      PHKNIJ = 0.0D0
05130      DO 11 K=1,NDIVP
05140      PEKIJ= PEKIJ
05150      *     +WE1(L,K)*BEKT1(II,E,L,K,NS)*XCT1(II,E,L,K,NS)*PHE1(JJE,L,K)
05160      PHKIJ= PHKIJ
05170      *     +WE1(L,K)*BEKT1(II,H,L,K,NS)*XST1(II,H,L,K,NS)*PHH1(JJH,L,K)
05180      *     +WE1(L,K)*BEKT1(II,E,L,K,NS)*XCT1(II,E,L,K,NS)*PHH1(JJH,L,K)
05190      PEKR= DIKT1(II,E,L,K,NS)*XCT1(II,E,L,K,NS)
05200      PEKT=-XKT1(II,E,L,K,NS)*BEKT1(II,E,L,K,NS)*XST1(II,E,L,K,NS)
05210      PHKR= DIKT1(II,H,L,K,NS)*XST1(II,H,L,K,NS)
05220      PHKT= XKT1(II,H,L,K,NS)*BEKT1(II,H,L,K,NS)*XCT1(II,H,L,K,NS)
05230      FEK= VNR1(L,K,NS)*PEKR+VNT1(L,K,NS)*PEKT
05240      FHK= VNR1(L,K,NS)*PHKR+VNT1(L,K,NS)*PHKT
05250      PEKNIJ= PEKNIJ+WE1(L,K)*FEK*PHE1(JJE,L,K)
05260      PHKNIJ= PHKNIJ+WE1(L,K)*FHK*PHH1(JJH,L,K)
05270      11 CONTINUE
05280      PEK (I+NE1,J)= PEK (I+NE1,J)+S21(L)*PEK IJ
05290      PHK (I+NH1,J)= PHK (I+NH1,J)+S21(L)*PHK IJ
05300      PEKNIJ(I+NE1,J)= PEKNIJ(I+NE1,J)+S21(L)*PEKNIJ
05310      PHKNIJ(I+NH1,J)= PHKNIJ(I+NH1,J)+S21(L)*PHKNIJ
05320      10 CONTINUE
05330 C      DO 12 I=1,NT
05340      DO 12 J=1,NT
05350      II=JE1(I)
05360      JJ=JE1(J)
05370      IH=JHT(I)
05380      JH=JHT(J)
05390      DO 12 L=1,NDIVO
05400      PEK IJ = 0.0D0
05410      PHK IJ = 0.0D0
05420      PEKNIJ = 0.0D0
05430      PHKNIJ = 0.0D0
05440      DO 13 K=1,NDIVP
05450      PEKIJ= PEKIJ+WET(L,K)*BEK1T(II,E,L,K)*XC1T(II,E,L,K)*PHET(JJE,L,K)
05460      PHKIJ= PHKIJ+WET(L,K)*BEK1T(II,H,L,K)*XS1T(II,H,L,K)*PHHT(JJH,L,K)
05470      PEKR= DIK1T(II,E,L,K)*XC1T(II,E,L,K)
05480      PEKT=-XK1T(II,E,L,K)*BEK1T(II,E,L,K)*XS1T(II,E,L,K)
05490      PHKR= DIK1T(II,H,L,K)*XS1T(II,H,L,K)
05500      PHKT= XKT1(II,H,L,K)*BEK1T(II,H,L,K)*XC1T(II,H,L,K)
05510      FEK= VNRT(L,K)*PEKR+VNTT(L,K)*PEKT
05520      FHK= VNRT(L,K)*PHKR+VNTT(L,K)*PHKT
05530      PEKNIJ= PEKNIJ+WET(L,K)*FEK*PHET(JJE,L,K)
05540      PHKNIJ= PHKNIJ+WET(L,K)*FHK*PHHT(JJH,L,K)
05550

```

ANALYSIS OF COMPOSITE FIBERS

L861212 PAGE 10

```

05560    13 CONTINUE
05570      PEK (I,J+NE1)= PEK (I,J+NE1)+S2T(L)*PEK IJ
05580      PHK (I,J+NH1)= PHK (I,J+NH1)+S2T(L)*PHK IJ
05590      PEKN(I,J+NE1)= PEKN(I,J+NE1)+S2T(L)*PEKNIJ
05600      PHKN(I,J+NH1)= PHKN(I,J+NH1)+S2T(L)*PHKNIJ
05610    12 CONTINUE
05620 C
05630      DO 14 I=1,NT
05640      DO 14 J=1,NT
05650      IIE= JET(I)
05660      JJE= JET(J)
05670      IIH= JHT(I)
05680      JJH= JHT(J)
05690      DO 14 L=1,NDIV0(4)
05700      PEK IJ = 0.0DO
05710      PHK IJ = 0.0DO
05720      PEKNIJ = 0.0DO
05730      PHKNIJ = 0.0DO
05740      DO 15 K=1,NDIVP
05750      PEKIJ= PEKIJ+WET(L,K)*BEKTT(IIE,L,K)*XCTT(IIE,L,K)*PHET(JJE,L,K)
05760      PHKIJ= PHKIJ+WET(L,K)*BEKTT(IIH,L,K)*XSTT(IIH,L,K)*PHHT(JJH,L,K)
05770      PEKR= DIKTT(IIE,L,K)*XCTT(IIE,L,K)
05780      PEKT= -XKTT(IIE,L,K)*BEKTT(IIE,L,K)*XSTT(IIE,L,K)
05790      PHKR= DIKTT(IIH,L,K)*XSTT(IIH,L,K)
05800      PHKT= XKTT(IIH,L,K)*BEKTT(IIH,L,K)*XCTT(IIH,L,K)
05810      FEK= VNRTT(L,K)*PEKR+VNRTT(L,K)*PEKT
05820      FHK= VNRTT(L,K)*PHKR+VNRTT(L,K)*PHKT
05830      PEKNIJ= PEKNIJ+WET(L,K)*FEK*PHET(JJE,L,K)
05840      PHKNIJ= PHKNIJ+WET(L,K)*FHK*PHHT(JJH,L,K)
05850    15 CONTINUE
05860      PEK (I+NE1,J+NE1)= PEK (I+NE1,J+NE1)+S2T(L)*PEK IJ
05870      PHK (I+NH1,J+NH1)= PHK (I+NH1,J+NH1)+S2T(L)*PHK IJ
05880      PEKN(I+NE1,J+NE1)= PEKN(I+NE1,J+NE1)+S2T(L)*PEKNIJ
05890      PHKN(I+NH1,J+NH1)= PHKN(I+NH1,J+NH1)+S2T(L)*PHKNIJ
05900    14 CONTINUE
05910      RETURN
05920      END

```

ANALYSIS OF COMPOSITE FIBERS

L861212 PAGE 11

```
05930 *
05940 *
05950 *
05960      SUBROUTINE CALP
05970      IMPLICIT REAL*8(A-H,O-Z)
05980      COMMON
05990      /*NN/N1,NT,NC,NE1,NH1,NET,NHT,NEC,NHC,NMAT,NEP,NDIVO,NDIV,NDIVP
06000      /*NS/NL,NSY
06010      /*NA/JM1(30),NNU(0:1,30),JE1(30),JH1(30),JET(30),JHT(30)
06020      /*BE/BEJ(30),BEK11(30),DIJ(30),DIK11(30),BEI(30),DII(30),
06030      *     BEK(30),DIK(30),BEK1T(30,4,24),DIK1T(30,4,24),
06040      *     BEKT1(30,4,24,2),DIKTT(30,4,24,2),
06050      *     BEKTT(30,4,24),DIKTT(30,4,24),
06060      *     XJ(30),XK11(30),XI(30),XK(30),
06070      *     XK1T(30,4,24),XKT1(30,4,24,2),XKTT(30,4,24)
06080      /*EK/PEK(30,30),PEKN(30,30)
06090      /*HK/PHK(30,30),PHKN(30,30)
06100      /*FH/FACTPH
06110      /*PA/PAI,PAIH,PAIQ,PAID,PHAI
06120      /*SH/RRB,RRC
06130      /*TS/PEM1(30,30),PEMC(30,30),PHM1(30,30),PHMC(30,30),
06140      *     PEMT(30,30),PHMT(30,30)
06150 C
06160      DO 10 I=1,N1
06170      DO 10 J=1,N1
06180      PEM1(I,J)= 0.0DO
06190      PHM1(I,J)= 0.0DO
06200      10 CONTINUE
06210      DO 11 I=1,NT
06220      DO 11 J=1,NT
06230      PEMT(I,J)= 0.0DO
06240      PHMT(I,J)= 0.0DO
06250      11 CONTINUE
06260 C
06270      DO 12 I=1,NE1
06280      12 PEM1(I,I)= DIJ(JE1(I))/BEJ(JE1(I))
06290      DO 13 I=1,NH1
06300      13 PHM1(I,I)= DIJ(JH1(I))/BEJ(JH1(I))
06310      DO 14 I=1,NET
06320      14 PEMT(I,I)= DII(JET(I))/BEI(JET(I))
06330      DO 15 I=1,NHT
06340      15 PHMT(I,I)= DII(JHT(I))/BEI(JHT(I))
06350 C
06360      DO 16 I=1,NC
06370      DO 16 J=1,NC
06380      PEK (I,J)= 0.0DO
06390      PEKN(I,J)= 0.0DO
06400      PHK (I,J)= 0.0DO
06410      PHKN(I,J)= 0.0DO
06420      16 CONTINUE
06430 C
06440      DO 17 I=1,NE1
06450      PEK (I,I)= PAIQ*BEK11(JE1(I))
06460      PEKN(I,I)= PAIQ*DIK11(JE1(I))
06470      17 CONTINUE
06480      DO 18 I=1,NH1
06490      PHK (I,I)= PAIQ*BEK11(JH1(I))
06500      PHKN(I,I)= PAIQ*DIK11(JH1(I))
06510      18 CONTINUE
06520 C
06530      IF(NL.EQ.0.AND.NSY.EQ.0) THEN
06540      PHK (1,1)= 2*PHK (1,1)
06550      PHKN(1,1)= 2*PHKN(1,1)
06560      ENDIF
06570      IF(NL.EQ.0.AND.NSY.EQ.1) THEN
06580      PEK (1,1)= 2*PEK (1,1)
06590      PEKN(1,1)= 2*PEKN(1,1)
06600      ENDIF
06610 C
06620      DO 19 I=1,NET
06630      PEK (I+NE1,I+NE1)= PAIH*BEK(JET(I))*RRB
06640      PEKN(I+NE1,I+NE1)= PAIH*DIK(JET(I))*RRB
06650      19 CONTINUE
06660      DO 30 I=1,NHT
06670      PHK (I+NH1,I+NH1)= PAIH*BEK(JHT(I))*RRB
06680      PHKN(I+NH1,I+NH1)= PAIH*DIK(JHT(I))*RRB
06690      30 CONTINUE
06700 C
```

ANALYSIS OF COMPOSITE FIBERS

```
06710 IF(NSY.EQ.0) THEN
06720   PHK (1+NH1,1+NH1)= 2*PHK (1+NH1,1+NH1)
06730   PHKN(1+NH1,1+NH1)= 2*PHKN(1+NH1,1+NH1)
06740 ENDIF
06750 IF(NSY.EQ.1) THEN
06760   PEK (1+NE1,1+NE1)= 2*PEK (1+NE1,1+NE1)
06770   PEKN(1+NE1,1+NE1)= 2*PEKN(1+NE1,1+NE1)
06780 ENDIF
06790 RETURN
06800 END
```

L861212 PAGE 12

ANALYSIS OF COMPOSITE FIBERS

L861212 PAGE 13

```

06810 *
06820 *
06830 *
06840      SUBROUTINE ELEM
06850      IMPLICIT REAL*8(A-H,O-Z)
06860      COMMON
06870      */NN/N1,NT,NC,NE1,NH1,NET,NHT,NEC,NHC,NMAT,NEP,NDIVO,NDIV,NDIVP
06880      */NS/NL,NSY
06890      */NA/JM1(30),NNU(0:1,30),JE1(30),JH1(30),JET(30),JHT(30)
06900      */EL/EL(60,60),BX(60),FACT(30)
06910      */EK/PEK(30,30),PEKN(30,30)
06920      */HK/PHK(30,30),PHKN(30,30)
06930      */FH/FACTPH
06940      */PP/PI1,PIC,PIT,AP1,APC,APT,RNP1,RNPC,RNPT,PA1C,PATC
06950      */TA/TE1(30,30),TH1(30,30),TET(30,30),THT(30,30)
06960      */TS/PEM1(30,30),PEMC(30,30),PHM1(30,30),PHMC(30,30),
06970      *      PEMT(30,30),PHMT(30,30)
06980 C      CALL MATIO(PEK,30,NEC)
06990      CALL MATIO(PHK,30,NHC)
07000      CALL MUL (PEK,PEKN,PEMC,30,30,30,30,30,30,NEC,NEC,NEC,1,1)
07010      CALL MUL (PHK,PHKN,PHMC,30,30,30,30,30,30,NHC,NHC,NHC,1,1)
07020
07030 C      DO 14 I=1,NE1
07040      DO 14 J=1,NE1
07050      14 EL(I,J) =-(RNP1*PEM1(I,J)+RNPC*PEMC(I,J))
07060      DO 15 I=1,NE1
07070      DO 15 J=1,NE1+1,NEC
07080      15 EL(I,J) =-
07090      DO 16 I=NE1+1,NEC
07100      DO 16 J=1,NE1
07110      16 EL(I,J) =-
07120      DO 17 I=1,NET
07130      DO 17 J=1,NET
07140      17 EL(I+NE1,J+NE1) = RNPT*PEMT(I,J)-RNPC*PEMC(I+NE1,J+NE1)
07150
07160 C      DO 18 I=1,NE1
07170      DO 18 J=1,NH1
07180      18 EL(I,J+NEC) = PA1C*TH1(I,J)
07190      DO 19 I=1,NE1
07200      DO 19 J=1,NHT
07210      19 EL(I,J+NEC+NH1) = 0.0D0
07220      DO 30 I=1,NET
07230      DO 30 J=1,NH1
07240      30 EL(I+NE1,J+NEC) = 0.0D0
07250      DO 31 I=1,NET
07260      DO 31 J=1,NHT
07270      31 EL(I+NE1,J+NEC+NH1) = PATC*THT(I,J)*FACTPH
07280
07290 C      DO 32 I=1,NH1
07300      DO 32 J=1,NE1
07310      32 EL(I+NEC,J) = PA1C*TE1(I,J)
07320      DO 33 I=1,NH1
07330      DO 33 J=1,NET
07340      33 EL(I+NEC,J+NE1) = 0.0D0
07350      DO 34 I=1,NHT
07360      DO 34 J=1,NE1
07370      34 EL(I+NEC+NH1,J) = 0.0D0
07380      DO 35 I=1,NHT
07390      DO 35 J=1,NET
07400      35 EL(I+NEC+NH1,J+NE1) = PATC*TET(I,J)*FACTPH
07410
07420 C      DO 36 I=1,NH1
07430      DO 36 J=1,NH1
07440      36 EL(I+NEC,J+NEC) = PI1*PHM1(I,J)+PIC*PHMC(I,J)
07450      DO 37 I=1,NH1
07460      DO 37 J=NH1+1,NHC
07470      37 EL(I+NEC,J+NEC) = PIC*PHMC(I,J)
07480      DO 38 I=NH1+1,NHC
07490      DO 38 J=1,NH1
07500      38 EL(I+NEC,J+NEC) = PIC*PHMC(I,J)
07510      DO 39 I=1,NHT
07520      DO 39 J=1,NHT
07530      39 EL(I+NEC+NH1,J+NEC+NH1) = -PIT*PHMT(I,J)+PIC*PHMC(I+NH1,J+NH1)
07540      RETURN
07550
07560      END

```

B-5 サイドトンネル型絶対単一偏波光ファイバの固有モード解析

B-5-1 分散特性解析プログラム

```
*****
* ANALYSIS OF SIDE-TUNNEL FIBERS
* DATE=86-12-12
*****
```

```

00010 *
00020 *      ANALYSIS OF SIDE TUNNEL OPTICAL FIBERS
00030 *      BY MODIFIED BOUNDARY INTEGRAL METHOD (M-B.I.M)      (86. 7. 7)
00040 *
00050     PROGRAM STFBI
00060     IMPLICIT REAL*8(A-H,O-Z)
00070     CHARACTER CL(0:1)*1,CS(0:1)*1,CIN(0:1)*31
00080     COMMON
00090     /*NN/N1,NT,NC,NE1,NH1,NET,NHT,NEC,NHC,NMAT,NEP
00100     /*NS/NL,NSY
00110     /*NV/N10,NA0,NB0,NAV,NBV,NAP;NBP,NPO
00120     COMMON
00130     /*AK/AK,BK
00140     /*NR/RN1,RNC,RNT,RN12,RNC2,RNT2
00150     /*PA/PAI,PAIH,PAIQ,PAID,PHAI
00160     /*SH/RRB,RRC,THT1,THT3
00170     DATA CL,CS/'0','1','0','E'
00180     DATA CIN/'Input Rb,Rc,Nr1,Nrc,Nrt,Nl,Nsy',
00190     *           'Input a,>b,Nr1,Nrc,Nrt,Nl,Nsy'
00200     PAI= 3.141592653589793D0
00210     PAIH= 0.5*PAI
00220     PAIQ= 0.5*PAIH
00230     PAID= 2.0*PAI
00240 C
00250 90 WRITE(6,*) 'Input NPA(0:RB 1:a)'
00260     READ(5,*),ERR=90) NPA
00270     IF(NPA.EQ.0):WRITE(6,210) ;;
00280     IF(NPA.NE.0):THEN
00290         WRITE(6,211) ;;
00300     NPA= 1;
00310     ENDIF
00320     EPS=.1.0D-6
00330 20 WRITE(6,*) CIN(NPA)
00340     READ(5,*),ERR=20) RB,RC,RN1,RNC,RNT,NL,NSY
00350     IF(NPA.EQ.0):THEN
00360     RRB= RB
00370     RRC=RC
00380     ELSE
00390     RRB= (1.0D0-RC)/(2.0D0*RB)
00400     RRC= (1.0D0+RC)/(2.0D0*RB)
00410     ENDIF
00420     RN12= RN1*RN1
00430     RNC2= RNC*RNC
00440     RNT2= RNT*RNT
00450     PHAI= -PAIH*(1-NSY)
00460 21 WRITE(6,*) 'Input Na0,Nav,Nb0,Nbv,Np0,eps'
00470     READ(5,*),ERR=21) NA0,NAV,NB0,NBV,NP0,NEP
00480     EPS= 10.0**(-NEP)
00490 22 WRITE(6,*) 'Input N1,Nt'
00500     READ(5,*),ERR=22) N1,NT
00510     CALL SETN
00520     CALL COOR
00530     CALL TANF
00540     JAK= 0
00550 23 WRITE(6,*) 'Input V'
00560     READ(5,*),ERR=23) V
00570     IF(V.LE.0) GOTO 23
00580     AK= V/DSQRT(RN12-RNC2)
00590 24 WRITE(6,*) 'Input B1,Bd,Be'
00600     READ(5,*),ERR=24) B1,BD,BE
00610     IF(B1.EQ.0.OR.BD.LE.0.OR.BE.GE.RN1) GOTO 27
00620     CALL CLOCK
00630     Y1= VALUE(B1)
00640     CALL CLOCK(TIME)
00650     WRITE(6,400) TIME
00660 400 FORMAT(1H , 'TIME=',1PD13.3,' SEC')
00670     WRITE(6,200) V,' B1',B1,Y1
00680 25 B2=B1+BD
00690     IF(B2.GE.BE.OR.JAK.EQ.3) GOTO 26
00700     Y2= VALUE(B2)
00710     IF(Y1.GT.0.AND.Y2.LT.0 .OR. Y1.LT.0.AND.Y2.GT.0
00720     * .OR. Y1.EQ.0 .OR. Y2.EQ.0 ) THEN
```

ANALYSIS OF SIDE-TUNNEL FIBERS

L861212 PAGE 2

```
00730      JAK= 1
00740      CALL SOLVE(B1,B2,Y1,Y2,B0,Y0,EPS)
00750      WRITE(6,200) V,' B0',B0,Y0
00760      ENDIF
00770      WRITE(6,200) V,' B2',B2,Y2
00780      B1= B2
00790      Y1= Y2
00800      GOTO 25
00810 26 IF(NPA.EQ.0) WRITE(6,210) ''
00820      IF(NPA.EQ.1) WRITE(6,211) ''
00830      IF(JAK.GT.0) THEN
00840      WRITE(6,220) ';',RB,RC,RN1,RNC,RNT,CL(NL),CS(NSY),N1,NT,NEP,
00850      *           NAO,NAP,NBO,NBP,NPO,V,B0
00860      JAK=0
00870      ELSE
00880      WRITE(6,220) '',RB,RC,RN1,RNC,RNT,CL(NL),CS(NSY),N1,NT,NEP,
00890      *           NAO,NAP,NBO,NBP,NPO
00900      ENDIF
00910 27 WRITE(6,*) '0: BK 1:AK 2:N 3:Ndiv,EPS 4:Ra,NL,Nsy 5:Field 6:Stop'
00920      READ(5,100,ERR=27) NJ
00930      GOTO (24,23,22,21,20,28,40),NJ+1
00940 28 CALL FIELD(V,B0,CL,CS)
00950      GOTO 27
00960 40 STOP 0
00970 100 FORMAT(I1)
00980 200 FORMAT(1H,,'AK=';E20.15,3X,A3,'=',F12.9,', Y=',1PD25.15)
00990 210 FORMAT(1H,,A17,';';' RB   RC   NR1   NRC   NRT',
01000      *           Mode'N1   NT Nep Na0 Nap Nb0 Nbp Np0 ',,
01010      *           V           P')
01020 211 FORMAT(1H ,A1,' a   b   NR1   NRC   NRT',
01030      *           Mode N1   NT Nep Na0 Nap Nb0 Nbp Np0 ',,
01040      *           V           P')
01050 220 FORMAT(1H ,A1,5F8.5,2X,2A1.8I4,F16.10,F19.15)
01060      END
```

ANALYSIS OF SIDE-TUNNEL FIBERS

L861212 PAGE 3

```

01070 *      FIELD
01080 *      FIELD
01090 *
01100      SUBROUTINE FIELD(V,B0,CL,CS)
01110      IMPLICIT REAL*8(A-H,O-Z)
01120      CHARACTER CL(0:1)*1,CS(0:1)*1
01130      DIMENSION BE1(30),BH1(30),BET(30),BHT(30)
01140      COMMON
01150      /*NA/JM1(30),NNU(0:1,30),JE1(30),JH1(30),JET(30),JHT(30),NSIG(2)
01160      /*NN/N1,NT,NC,NE1,NH1,NET,NHT,NEC,NHC,NMAT,NEP
01170      /*NS/NL,NSY
01180      /*NV/N10,NA0,NB0,NAV,NBV,NAP,NBP,NPO
01190      COMMON
01200      /*AK/AK,BK
01210      /*EL/EL(60,60),BX(60)
01220      /*NR/RN1,RNC,RNT,RN12,RNC2,RNT2
01230      /*SH/RRB,RRC,THT1,THT3
01240 C
01250      BK= DSQRT(B0*(RN12-RNC2)+RNC2)
01260      CALL PARAM
01270      CALL SETP
01280      CALL RIGOR
01290      CALL ELEM
01300      CALL CHAN(EL,60,60,NMAT,1,NMAT)
01310      CALL SIML(EL,BX,60,60,60,1,NMAT,0,1,DETM)
01320      WORK= BX(1)
01330      BX(1)= BX(NMAT)
01340      BX(NMAT)= WORK
01350      BXMAX= 0.
01360      DO 10 J=1,NMAT
01370      IF(DABS(BX(J)).GT.BXMAX) BXMAX= DABS(BX(J))
01380      10 CONTINUE
01390      IF(BXMAX.EQ.0) THEN
01400      WRITE(6,*) 'Trivial Solution!'
01410      STOP 1
01420      ENDIF
01430      DO 11 J=1,NMAT
01440      11 BX(J)= BX(J)/BXMAX
01450      DO 12 J=1,21
01460      BE1(J)= 0.
01470      BH1(J)= 0.
01480      BET(J)= 0.
01490      BHT(J)= 0.
01500      12 CONTINUE
01510      DO 13 J=1,NE1
01520      13 BE1(JE1(J))= BX(J)
01530      DO 14 J=1,NH1
01540      14 BH1(JH1(J))= BX(J+NEC)
01550      DO 15 J=1,NET
01560      15 BET(JET(J))= BX(J+NE1)
01570      DO 16 J=1,NHT
01580      16 BHT(JHT(J))= BX(J+NEC+NH1)
01590 C
01600      CALL PARAM
01610      CALL SETP
01620      CALL RIGOR
01630      CALL ELEM
01640      CALL CHKB(EL,BX,60,NMAT)
01650      WRITE(6,*) ';;'
01660      WRITE(6,201) ';;'
01670      WRITE(6,220) ';;',RRB,RRC,RN1,RNC,RNT,CL(NL),CS(NSY),N1,NT,NEP,
01680      *          NA0,NAP,NB0,NBP,NPO,V,B0
01690      WRITE(6,*) ';;'
01700      WRITE(6,*) ';; J      E1      H1'
01710      WRITE(6,230) ((NNU(NL,J),BE1(J),BH1(J)),J=1,N1)
01720      WRITE(6,*) ';;'
01730      WRITE(6,*) ';; J      ET      HT'
01740      WRITE(6,230) ((JM1(J),BET(J),BHT(J)),J=1,NT)
01750      RETURN
01760      201 FORMAT(1H ,A1,' RB      RC      NR1      NRC      NRT',
01770      *           ' Mode N1      NT      Nep Na0      Nap Nb0      Nbp Np0 ',
01780      *           ' V      P')
01790      220 FORMAT(1H ,A1,5F8.5,2X,2A1,8I4,F16.10,F19.15)
01800      230 FORMAT((1H ,';',I3,3X,2(1PD16.6)))
01810      END

```

ANALYSIS OF SIDE-TUNNEL FIBERS

L861212 PAGE 4

```

01820 *
01830 *
01840 *
01850     FUNCTION VALUE(BKK)
01860     IMPLICIT REAL*8(A-H,O-Z)
01870     DIMENSION DM(1,1)
01880     COMMON
01890     /*NA/JM1(30),NNU(0:1,30),JE1(30),JH1(30),JET(30),JHT(30),NSIG(2)
01900     /*NN/N1,NT,NC,NE1,NH1,NET,NHT,NEC,NHC,NMAT,NEP
01910     /*NS/NL,NSY
01920     /*NV/N10,NAO,NBO,NAV,NBV,NAP,NBP,NPO
01930     COMMON
01940     /*AK/AK,BK
01950     /*EL/EL(60,60),BX(60)
01960     /*NR/RN1,RNC,RNT,RN12,RNC2,RNT2
01970 C
01980     BK= DSQRT(BKK*(RN12-RNC2)+RNC2)
01990     CALL PARAM
02000     CALL SETP
02010     CALL RIGOR
02020     CALL ELEM
02030     CALL SIML(EL,DM,60,60,1,1,NMAT,0,0,VALUE)
02040     RETURN
02050     END

02060 *
02070 *
02080 *
02090     INTEGER PARAMETER
02100     COMMON
02110     /*NA/JM1(30),NNU(0:1,30),JE1(30),JH1(30),JET(30),JHT(30),NSIG(2)
02120 C
02130     DATA JM1/ 0, 1, 2, 3, 4, 5, 6, 7, 8, 9,
02140     * 10,11,12,13,14,15,16,17,18,19,
02150     * 20,21,22,23,24,25,26,27,28,29/
02160     DATA NNU/ 0, 1, 2, 3, 4, 5, 6, 7, 8, 9,
02170     * 10,11,12,13,14,15,16,17,18,19,
02180     * 20,21,22,23,24,25,26,27,28,29,
02190     * 30,31,32,33,34,35,36,37,38,39,
02200     * 40,41,42,43,44,45,46,47,48,49,
02210     * 50,51,52,53,54,55,56,57,58,59/
02220     END

02230 *
02240 *
02250 *
02260     SUBROUTINE SETN
02270     COMMON
02280     /*NA/JM1(30),NNU(0:1,30),JE1(30),JH1(30),JET(30),JHT(30),NSIG(2)
02290     /*NN/N1,NT,NC,NE1,NH1,NET,NHT,NEC,NHC,NMAT,NEP
02300     /*NS/NL,NSY
02310     /*NV/N10,NAO,NBO,NAV,NBV,NAP,NBP,NPO
02320 C
02330     NE1= N1-(1-NL)*(1-NSY)
02340     NH1= N1-(1-NL)*(1-NSY)
02350     NET= NT-(1-NSY)
02360     NHT= NT-(1-NSY)
02370     NC= N1+NT
02380     NEC= NE1+NET
02390     NHC= NH1+NHT
02400     NMAT= NH1+NE1+NHT+NET
02410     N10= NAO+NBO
02420 C
02430     DO 10 J=1,NC
02440     JE1(J)= J+(1-NL)*(1-NSY)
02450     JH1(J)= J+(1-NL)*(1-NSY)
02460 10 CONTINUE
02470     DO 11 J=1,NT
02480     JET(J)= J+(1-NSY)
02490     JHT(J)= J+(1-NSY)
02500 11 CONTINUE
02510     DO 12 NS=1,2
02520 12 NSIG(NS)= (-1)**(NL*NS)
02530     RETURN
02540     END

```

ANALYSIS OF SIDE-TUNNEL FIBERS

L861212 PAGE 5

```
02550 *
02560 *
02570 *
02580     SUBROUTINE TANF
02590     IMPLICIT REAL*8(A-H,O-Z)
02600     COMMON
02610     */NA/JM1(30),NNU(0:1,30),JE1(30),JH1(30),JET(30),JHT(30),NSIG(2)
02620     */NN/N1,NT,NC,NE1,NH1,NET,NHT,NEC,NHC,NMAT,NEP
02630     */NS/NL,NSY
02640     */TA/TE1(30,30),TH1(30,30),TET(30,30),THT(30,30)
02650 C
02660     DO 10 I=1,30
02670     DO 10 J=1,30
02680     TE1(I,J)= 0.
02690     TH1(J,I)= 0.
02700     TET(I,J)= 0.
02710     THT(J,I)= 0.
02720 10 CONTINUE
02730     DO 11 I=1,N1
02740     IF(NL.EQ.1)              TE1(I ,I )= NNU(1,I )*(-1)** NSY
02750     IF(NL.EQ.0.AND.NSY.EQ.1) TE1(I ,I+1)=-NNU(0,I+1)
02760     IF(NL.EQ.0.AND.NSY.EQ.0) TE1(I+1, I)= NNU(0,I+1)
02770 11 CONTINUE
02780     DO 12 I=1,N1
02790     IF(NL.EQ.1)              TH1(I ,I )= NNU(1,I )*(-1)**(1-NSY)
02800     IF(NL.EQ.0.AND.NSY.EQ.1) TH1(I+1,I )= NNU(0,I+1)
02810     IF(NL.EQ.0.AND.NSY.EQ.0) TH1(I ,I+1)=-NNU(0,I+1)
02820 12 CONTINUE
02830 C
02840     DO 13 I=1,NT
02850     IF(NSY.EQ.1) TET(I ,I+1)=-JM1( I+1)
02860     IF(NSY.EQ.0) TET(I+1, I)= JM1( I+1)
02870 13 CONTINUE
02880     DO 14 I=1,NT
02890     IF(NSY.EQ.1) THT(I+1,I )= JM1( I+1)
02900     IF(NSY.EQ.0) THT(I ,I+1)=-JM1( I+1)
02910 14 CONTINUE
02920     RETURN
02930     END
```

ANALYSIS OF SIDE-TUNNEL FIBERS

L861212 PAGE 6

```

02940 *
02950 *
02960 *
02970     SUBROUTINE COOR
02980     IMPLICIT REAL*8(A-H,O-Z)
02990     DIMENSION RLP(0:10),RLG(10,24)
03000     COMMON
03010     /*NA/JM1(30),NNU(0:1,30),JE1(30),JH1(30),JET(30),JHT(30),NSIG(2)
03020     /*NN/N1,NT,NC,NE1,NH1,NET,NHT,NEC,NHC,NMAT,NEP
03030     /*NS/NL,NSY
03040     /*NV/N10,NA0,NB0,NAV,NBV,NAP,NBP,NPO
03050     COMMON
03060     /*BE/BE(30,10,24,2),DI(30,10,24,2),X(30,10,24,2)
03070     /*C1/R1(10,24),XC1(30,10,24),XS1(30,10,24),VR1(10,24),VT1(10,24)
03080     /*CP/RP(10,24),XCP(30,10,24),XSP(30,10,24),VRP(10,24),VTP(10,24)
03090     /*CU/RT1(10,24,2),XCT1(30,10,24,2),XST1(30,10,24,2),
03100     *      VRT1(10,24,2),VTT1(10,24,2)
03110     /*FH/FACT1,FACTT
03120     COMMON
03130     /*PA/PAI,PAIH,PAIQ,PAID,PHAI
03140     /*PH/PHE1(30,10,24),PHH1(30,10,24),PPE1(30,10,24),PPH1(30,10,24)
03150     /*GA/RGO(24),WE0(24)
03160     /*RL/RLA,RLB,RL1,RLT,WE1(10,24),S21(10),WET(10,24),S2T(10)
03170     /*RP/WEP(10,24),S2P(10),WEQ(10,24),S2Q(10)
03180     /*SH/RRB,RRC,THT1,THT3
03190     /*TR/TRE1(30,30),TRH1(30,30),TRET(30,30),TRHT(30,30),
03200     *      1TREE(30,30),TRHC(30,30)
03210 C
03220     THT1=DACOS((1.0+RRC**2-RRB**2)/(2*RRC))
03230     THT3=DACOS((RRB**2+RRC**2-1.0)/(2*RRB*RRC))
03240     RLA=RRB*THT3
03250     RLB=PAIH-THT1
03260     RL1=RLA+RLB
03270     IF(RRB.EQ.1.0) RL1=PAIH
03280     FACT1=PAIH/RL1
03290     FACTT=1.0/RRB
03300 C
03310     RLP(0)=0.0
03320     DO 10 L=1,NA0
03330     RLP(L)=RLA*L/NA0
03340     CALL DGAUSP(NAV,NAP,RLP(L-1),RLP(L),S21(L),RGO,WE0)
03350     DO 10 K=1,NAP
03360     RLG(L,K)=RGO(K)
03370     WE1(L,K)=WE0(K)
03380 10 CONTINUE
03390     DO 11 L=NA0+1,N10
03400     RLP(L)=RLA+RLB*(L-NA0)/NB0
03410     CALL DGAUSP(NBV,NBP,RLP(L-1),RLP(L),S21(L),RGO,WE0)
03420     DO 11 K=1,NBP
03430     RLG(L,K)=RGO(K)
03440     WE1(L,K)=WE0(K)
03450 11 CONTINUE
03460 C
03470     DO 12 L=1,NA0
03480     DO 12 K=1,NAP
03490     THL=RLG(L,K)/RL1 *PAIH
03500     DO 13 J=1,N1
03510     PHE1(J,L,K)=DCOS(NNU(NL,J)*THL+PHAI)
03520     PHH1(J,L,K)=DSIN(NNU(NL,J)*THL+PHAI)
03530 13 CONTINUE
03540     THB=RLG(L,K)/RRB
03550     R1(L,K)=DSQRT((RRB**2+RRC**2-2*RRB*RRC*DCOS(THB)))
03560     THO=DASIN((RRB/R1(L,K))*DSIN(THB))
03570     THN=-(THB+THO)
03580     VR1(L,K)=DCOS(THN)
03590     VT1(L,K)=DSIN(THN)
03600     DO 14 I=1,N1
03610     XC1(I,L,K)=DCOS(NNU(NL,I)*THO+PHAI)
03620     XS1(I,L,K)=DSIN(NNU(NL,I)*THO+PHAI)
03630 14 CONTINUE
03640     RT1(L,K,2)=RRB
03650     VRT1(L,K,2)=-1.0
03660     VTT1(L,K,2)=0.0
03670     THRES=R1(L,K)*DCOS(THO)
03680     IF(THRES.LE.RRC) TH2=PAI-DASIN((R1(L,K)/RRB)*DSIN(THO))
03690     IF(THRES.GT.RRC) TH2=DASIN((R1(L,K)/RRB)*DSIN(THO))
03700     RT1(L,K,1)=DSQRT((RRB**2+4*RRC**2+4*RRB*RRC*DCOS(TH2)))
03710     TH1=PAI+DASIN((RRB/RT1(L,K,1))*DSIN(TH2))

```

ANALYSIS OF SIDE-TUNNEL FIBERS

L861212 PAGE 7

```

03720     THN= TH2-TH1
03730     VRT1(L,K,1)= DCOS(THN)
03740     VTT1(L,K,1)= DSIN(THN)
03750     DO 15 I=1,NT
03760       XCT1(I,L,K,1)= DCOS(JM1(I)*TH1+PHAI)
03770       XST1(I,L,K,1)= DSIN(JM1(I)*TH1+PHAI)
03780       XCT1(I,L,K,2)= DCOS(JM1(I)*TH2+PHAI)
03790       XST1(I,L,K,2)= DSIN(JM1(I)*TH2+PHAI)
03800   15 CONTINUE
03810   12 CONTINUE
03820 C
03830     DO 16 L=NA0+1,N10
03840     DO 16 K=1,NBP
03850     THL=.RLG(L,K)/RL1.*PAIH
03860     DO 17 J=1,N1
03870     PHE1(J,L,K)=DCOS(NNU(NL,J)*THL+PHAI)
03880     PHH1(J,L,K)=DSIN(NNU(NL,J)*THL+PHAI)
03890   17 CONTINUE
03900     R1(L,K)= 1.0
03910     TH0= THT1+RLG(L,K)-RLA
03920     VR1(L,K)= 1.0
03930     VT1(L,K)= 0.0
03940     DO 18 I=1,N1
03950     XC1(I,L,K)= DCOS(NNU(NL,I)*TH0+PHAI)
03960     XS1(I,L,K)= DSIN(NNU(NL,I)*TH0+PHAI)
03970   18 CONTINUE
03980     RT1(L,K,2)= DSQRT( 1.0+RRC**2-2*RRC*DCOS(TH0) )
03990     THRES= DCOS(TH0)
04000     IF(THRES.LE.RRC) TH2= PAI-DASIN( 1.0/RT1(L,K,2) *DSIN(TH0) )
04010     IF(THRES.GT.RRC) TH2= DASIN( 1.0/RT1(L,K,2) *DSIN(TH0) )
04020     THN= TH0-TH2
04030     VRT1(L,K,2)=DCOS(THN)
04040     VTT1(L,K,2)=DSIN(THN)
04050     RT1(L,K,1)=DSQRT( 1.0+RRC**2+2*RRC*DCOS(TH0) )
04060     TH1=.PAI+DASIN( 1.0/RT1(L,K,1) *DSIN(TH0) )
04070     THN=.PAI+TH0-TH1
04080     VRT1(L,K,1)= DCOS(THN)
04090     VTT1(L,K,1)= DSIN(THN)
04100     DO 19 I=1,NT
04110     XCT1(I,L,K,1)= DCOS(JM1(I)*TH1+PHAI)
04120     XST1(I,L,K,1)= DSIN(JM1(I)*TH1+PHAI)
04130     XCT1(I,L,K,2)= DCOS(JM1(I)*TH2+PHAI)
04140     XST1(I,L,K,2)= DSIN(JM1(I)*TH2+PHAI)
04150   19 CONTINUE
04160   16 CONTINUE
04170 C
04180     RLP(0)= 0.0
04190     DO 50 L=1,NPO
04200     RLP(L)= RLA*L/NPO
04210     RLP(L)= RLA/(NPO-L+1)**(2.0)
04220     CALL DGAUSP(NAV,NAP,RLP(L-1),RLP(L),S2P(L),RGO,WE0)
04230     DO 50 K=1,NAP
04240     RLG(L,K)= RGO(K)
04250     WEP(L,K)= WE0(K)
04260   50 CONTINUE
04270     DO 51 L=1,NPO
04280     DO 51 K=1,NAP
04290     THL=.RLG(L,K)/RL1.*PAIH
04300     DO 52 J=1,N1
04310     PPE1(J,L,K)= DCOS(NNU(NL,J)*THL+PHAI)
04320     PPH1(J,L,K)= DSIN(NNU(NL,J)*THL+PHAI)
04330   52 CONTINUE
04340     THB= RLG(L,K)/RRB
04350     RP(L,K)= DSQRT( RRB**2+RRC**2-2*RRB*RRC*DCOS(THB) )
04360     THO=.DASIN( RRB/RP(L,K) *DSIN(THB) )
04370     THN=-(THB+THO)
04380     VRP(L,K)= DCOS(THN)
04390     VTP(L,K)= DSIN(THN)
04400     DO 53 I=1,N1
04410     XCP(I,L,K)= DCOS(NNU(NL,I)*TH0+PHAI)
04420     XSP(I,L,K)= DSIN(NNU(NL,I)*TH0+PHAI)
04430   53 CONTINUE
04440   51 CONTINUE
04450 C
04460     DO 35 I=1,N1
04470     DO 35 J=1,N1
04480     IE= JE1(I)
04490     IH= JH1(I)

```

ANALYSIS OF SIDE-TUNNEL FIBERS

L861212 PAGE 8

```

04500 JE= JE1(J)
04510 JH= JH1(J)
04520 PM1= NNU(NL,IE)
04530 P1= NNU(NL,IE)*(THT1-RLA)+PHAI
04540 PM2= NNU(NL,JE)*PAIH/RL1
04550 P2= PHAI
04560 TRE1(I,J)= TRINT('C',PM1,PM2,P1,P2,RLA,RL1)
04570 PM1= NNU(NL,IH)
04580 P1= NNU(NL,IH)*(THT1-RLA)+PHAI
04590 PM2= NNU(NL,JH)*PAIH/RL1
04600 P2= PHAI
04610 TRH1(I,J)= TRINT('S',PM1,PM2,P1,P2,RLA,RL1)
04620 35 CONTINUE
04630 DO 36 I=1,NT
04640 DO 36 J=1,NT
04650 IE= JET(I)
04660 IH= JHT(I)
04670 JE= JET(J)
04680 JH= JHT(J)
04690 PM1= JM1(IE)
04700 PM2= JM1(JE)
04710 TRET(I,J)= TRINT('C',PM1,PM2,PHAI,PHAI,0.0D0,PAI)*RRB
04720 PM1= JM1(IH)
04730 PM2= JM1(JH)
04740 TRHT(I,J)= TRINT('S',PM1,PM2,PHAI,PHAI,0.0D0,PAI)*RRB
04750 36 CONTINUE
04760 DO 37 I=1,NT
04770 DO 37 J=1,NT
04780 IE= JET(I)
04790 IH= JHT(I)
04800 JE= JET(J)
04810 JH= JHT(J)
04820 PM1= JM1(IE)
04830 PM2= JM1(JE)
04840 TREC(I,J)= TRINT('C',PM1,PM2,PHAI,PHAI,0.0D0,PAI-0.D0)*RRB
04850 PM1= JM1(IH)
04860 PM2= JM1(JH)
04870 TRHC(I,J)= TRINT('S',PM1,PM2,PHAI,PHAI,0.0D0,PAI-0.D0)*RRB
04880 37 CONTINUE
04890 RETURN
04900 END

04910 *
04920 *
04930 *
04940 SUBROUTINE PARAM
04950 IMPLICIT REAL*8(A-H,O-Z)
04960 COMMON
04970 */AK/AK,BK
04980 */NR/RN1,RNC,RNT,RN12,RNC2,RNT2
04990 */PP/PI1,PIC,PIT,AP1,APC,APT,RNP1,RNPC,RNPT,PA1C,PATC
05000 C
05010 BK2=BK*BK
05020 P12= RN12-BK2
05030 PC2= BK2+RNC2
05040 PT2= BK2-RNT2
05050 P1= DSQRT(P12)
05060 PC= DSQRT(PC2)
05070 PT= DSQRT(PT2)
05080 PI12= 1/P12
05090 PIC2= 1/PC2
05100 PIT2= 1/PT2
05110 PI1= 1/PI1
05120 PIC= 1/PC
05130 PIT= 1/PT
05140 RNP1= RN12*PI1
05150 RNPC= RNC2*PIC
05160 RNPT= RNT2*PIT
05170 PA1C=-BK/AK *(PI12+PIC2)
05180 PATC= BK/AK *(PIT2-PIC2)
05190 AP1= AK*PI1
05200 APC= AK*PC
05210 APT= AK*PT
05220 RETURN
05230 END

```

ANALYSIS OF SIDE-TUNNEL FIBERS

L861212 PAGE 9

```

05240 *
05250 *
05260 *
05270      SUBROUTINE SETP
05280      IMPLICIT REAL*8(A-H,O-Z)
05290      DIMENSION BES(30),DIF(30)
05300      COMMON
05310      */NA/JM1(30),NNU(0:1,30),JE1(30),JH1(30),JET(30),JHT(30),NSIG(2)
05320      */NN/N1,NT,NC,NE1,NH1,NET,NHT,NEC,NHC,NMAT,NEP
05330      */NS/NL,NSY
05340      */NV/N10,NA0,NBO,NAV,NBV,NAP,NBP,NPO
05350      COMMON
05360      */AK/AK,BK
05370      */BE/BE(30,10,24,2),DI(30,10,24,2),X(30,10,24,2)
05380      */C1/R1(10,24),XC1(30,10,24),XS1(30,10,24),VR1(10,24),VT1(10,24)
05390      */CP/RP(10,24),XCP(30,10,24),XSP(30,10,24),VRP(10,24),VTP(10,24)
05400      */CU/RT1(10,24,2),XCT1(30,10,24,2),XST1(30,10,24,2),
05410      *      VRT1(10,24,2),VTT1(10,24,2)
05420      */NR/RN1,RNC,RNT,RN12,RNC2,RNT2
05430      COMMON
05440      */PA/PAI,PAIH,PAIQ,PAID,PHAI
05450      */PP/PI1,PIC,PIT,AP1,APC,APT,RNP1,RNPC,RNPT,PA1C,PATC
05460      */PH/PHE1(30,10,24),PHH1(30,10,24),PPE1(30,10,24),PPH1(30,10,24)
05470      */RL/RLA(RLB,RL1,RLT,WE1(10,24),S21(10),WET(10,24),S2T(10)
05480      */RP/WEP(10,24),S2P(10),WEQ(10,24),S2Q(10)
05490      */SH/RRB,RRC,THT1,THT3
05500      */PI/PEI(30,30),PEIN(30,30),PHI(30,30),PHIN(30,30)
05510      */PJ/PEJ(30,30),PEJN(30,30),PHJ(30,30),PHJN(30,30)
05520      */PK/PEK(30,30),PEKN(30,30),PHK(30,30),PHKN(30,30)
05530      */TR/TRE1(30,30),TRH1(30,30),TRET(30,30),TRHT(30,30),
05540      *      TREC(30,30),TRHC(30,30)
05550 C      DO 10 I=1,N1
05560      I1= NNU(NL,I)
05570      BES(I)= DJBES(I1,AP1)
05580      DIF(I)= I1/AP1 *BES(I)-DJBES(I1+1,AP1)
05600 10 CONTINUE
05610      BES(N1+1)= 0.0
05620      DIF(N1+1)= 0.0
05630      DO 11 I=1,N1
05640      DO 11 J=1,N1
05650      IE= JE1(I)
05660      IH= JH1(I)
05670      PEJ (I,J)= BES(IE)*TRE1(I,J)
05680      PEJN(I,J)= DIF(IE)*TRE1(I,J)
05690      PHJ (I,J)= BES(IH)*TRH1(I,J)
05700      PHJN(I,J)= DIF(IH)*TRH1(I,J)
05710 11 CONTINUE
05720      CALL JBES(NA0,NAP)
05730      CALL FUNC1(N1,N1, 0, 0, 0, 0, 1,NA0,NAP,JE1,JH1,JE1,JH1,
05740      * 1,WE1,S21,XC1 ,XS1 ,VR1 ,VT1 ,PHE1,PHH1,PEJ,PEJN,PHJ,PHJN)
05750 C      DO 12 I=1,NT+1
05760      I1= JM1(I)
05770      BES(I)= DIBES(I1,APT*RRB)
05790 12 CONTINUE
05800      DO 13 I=1,NT
05810      13 DIF(I)= JM1(I)/(APT*RRB) *BES(I)+BES(I+1)
05820      DO 14 I=1,NT
05830      DO 14 J=1,NT
05840      IE= JET(I)
05850      IH= JHT(I)
05860      PEI (I,J)= BES(IE)*TRET(I,J)
05870      PEIN(I,J)= DIF(IE)*TRET(I,J)
05880      PHI (I,J)= BES(IH)*TRHT(I,J)
05890      PHIN(I,J)= DIF(IH)*TRHT(I,J)
05900 14 CONTINUE
05910 C      CALL ZEROS(PEK ,30,30,NC,NC,0,0)
05920      CALL ZEROS(PEKN,30,30,NC,NC,0,0)
05930      CALL ZEROS(PHK ,30,30,NC,NC,0,0)
05940      CALL ZEROS(PHKN,30,30,NC,NC,0,0)
05950 C      DO 15 I=1,N1
05960      I1= NNU(NL,I)
05970      BES(I)= DKBES(I1,APC)
05980      DIF(I)= I1/APC *BES(I)-DKBES(I1+1,APC)
05990 15 CONTINUE

```

ANALYSIS OF SIDE-TUNNEL FIBERS

L861212 PAGE 10

```
06020      BES(N1+1)= 0.0
06030      DIF(N1+1)= 0.0
06040      DO 16 I=1,N1
06050      DO 16 J=1,N1
06060      IE= JE1(I)
06070      IH= JH1(I)
06080      PEK (I,J)= BES(IE)*TRE1(I,J)
06090      PEKN(I,J)= DIF(IE)*TRE1(I,J)
06100      PHK (I,J)= BES(IH)*TRH1(I,J)
06110      PHKN(I,J)= DIF(IH)*TRH1(I,J)
06120      16 CONTINUE
06130      CALL KBES1(NPO,NAP)
06140      CALL FUNC1(N1,N1, 0, 0, 0, 0, 1,NPO,NAP,JE1,JH1,JE1,JH1,
06150      * 1,WEP,S2P,XCP ,XSP ,VRP ,VTP ,PPE1,PPH1,PEK,PEKN,PHK,PHKN)
06160      CALL ZEROS(PEK ,30,30,N1, 1, 0,NE1)
06170      CALL ZEROS(PEK ,30,30,1,N1,NE1, 0)
06180      CALL ZEROS(PEKN,30,30,N1, 1, 0,NE1)
06190      CALL ZEROS(PEKN,30,30,1,N1,NE1, 0)
06200      CALL ZEROS(PHK ,30,30,N1, 1, 0,NH1)
06210      CALL ZEROS(PHK ,30,30,1,N1,NH1, 0)
06220      CALL ZEROS(PHKN,30,30,N1, 1, 0,NH1)
06230      CALL ZEROS(PHKN,30,30,1,N1,NH1, 0)
06240 C      CALL KBEST1(1,NA0,NAP)
06250      CALL FUNC1(NT,N1,NE1, 0,NH1, 0, 1,NA0,NAP,JET,JHT,JE1,JH1,
06260      * 2,WE1,S21,XCT1,XST1,VRT1,VTT1,PHE1,PHH1,PEK,PEKN,PHK,PHKN)
06270      CALL KBEST1(NA0+1,N10,NBP)
06280      CALL FUNC1(NT,N1,NE1, 0,NH1, 0,NA0+1,N10,NBP,JET,JHT,JE1,JH1,
06290      * 2,WE1,S21,XCT1,XST1,VRT1,VTT1,PHE1,PHH1,PEK,PEKN,PHK,PHKN)
06300 C      DO 17 I=1,NT+1
06310 C      I1= JM1(I)
06320      BES(I)= DKBES(I1,APC*RRB)
06330      17 CONTINUE
06340      DO 18 I=1,NT
06350      18 DIF(I)= JM1(I)/(APC*RRB) *BES(I)-BES(I+1)
06360      DO 19 I=1,NT
06370      DO 19 J=1,NT
06380      IE= JET(I)
06390      IH= JHT(I)
06400      PEK (I+NE1,J+NE1)= BES(IE)*TREC(I,J)
06410      PEKN(I+NE1,J+NE1)= DIF(IE)*TREC(I,J)
06420      PHK (I+NH1,J+NH1)= BES(IH)*TRHC(I,J)
06430      PHKN(I+NH1,J+NH1)= DIF(IH)*TRHC(I,J)
06440
06450
06460      19 CONTINUE
06470      RETURN
06480      END
```

ANALYSIS OF SIDE-TUNNEL FIBERS

L861212 PAGE 11

```

06490 *
06500 *
06510 *
06520 SUBROUTINE FUNC1(NI,NJ,IOE,IOH,JOH,L1,L2,NDP,IE,IH,JE,JH,
06530 * N,WE,S2,XC,XS,VR,VT,PHE,PHH,PE,PEN,PH,PHN)
06540 IMPLICIT REAL*8(A-H,O-Z)
06550 DIMENSION IE(30),IH(30),JE(30),JH(30),
06560 * WE(10,24),S2(10),XC(30,10,24,N),XS(30,10,24,N),
06570 * VR(10,24,N),VT(10,24,N),PHE(30,10,24),PHH(30,10,24),
06580 * PE(30,30),PEN(30,30),PH(30,30),PHN(30,30)
06590 COMMON
06600 */AK/AK,BK
06610 */BE/BE(30,10,24,2),DI(30,10,24,2),X(30,10,24,2)
06620 C
06630 DO 10 I=1,NI
06640 DO 10 J=1,NJ
06650 IIE= IE(I)
06660 JJE= JE(J)
06670 IIH= IH(I)
06680 JJH= JH(J)
06690 DO 10 NS=1,N
06700 DO 10 L=L1,L2
06710 PE IJ = 0.0D0
06720 PH IJ = 0.0D0
06730 PENIJ = 0.0D0
06740 PHNIJ = 0.0D0
06750 DO 11 K=1,NDP
06760 PEIJ= PEIJ+
06770 * +WE(L,K)*BE(IIE,L,K,NS)*XC(IIE,L,K,NS)*PHE(JJE,L,K)
06780 PHIJ= PHIJ+
06790 * +WE(L,K)*BE(IIH,L,K,NS)*XS(IIH,L,K,NS)*PHH(JJH,L,K)
06800 PER= DI(IIE,L,K,NS)*XC(IIE,L,K,NS)
06810 PET=-X(IIE,L,K,NS)*BE(IIE,L,K,NS)*XS(IIE,L,K,NS)
06820 PHR= DI(IIH,L,K,NS)*XS(IIH,L,K,NS)
06830 PHT= X(IIH,L,K,NS)*BE(IIH,L,K,NS)*XC(IIH,L,K,NS)
06840 FE= VR(L,K,NS)*PER+VT(L,K,NS)*PET
06850 FH= VR(L,K,NS)*PHR+VT(L,K,NS)*PHT
06860 PENIJ= PENIJ+WE(L,K)*FE*PHE(JJE,L,K)
06870 PHNIJ= PHNIJ+WE(L,K)*FH*PHH(JJH,L,K)
06880 11 CONTINUE
06890 PE (I+IOE,J+JOE)= PE (I+IOE,J+JOE)+S2(L)*PE IJ
06900 PH (I+IOH,J+JOH)= PH (I+IOH,J+JOH)+S2(L)*PH IJ
06910 PEN(I+IOE,J+JOE)= PEN(I+IOE,J+JOE)+S2(L)*PENIJ
06920 PHN(I+IOH,J+JOH)= PHN(I+IOH,J+JOH)+S2(L)*PHNIJ
06930 10 CONTINUE
06940 RETURN
06950 END

06960 *
06970 *
06980 *
06990 FUNCTION TRINT(FUN,M1,M2,P1,P2,R1,R2)
07000 IMPLICIT REAL*8(A-H,O-Z)
07010 CHARACTER*1 FUN
07020 REAL*8 M1,M2
07030 TRINT= RINDF(FUN,M1,M2,P1,P2,R2)-RINDF(FUN,M1,M2,P1,P2,R1)
07040 RETURN
07050 END

```

ANALYSIS OF SIDE-TUNNEL FIBERS

L861212 PAGE 12

```

07060 *
07070     FUNCTION RINDF(FUN,M1,M2,P1,P2,R)
07080     IMPLICIT REAL*8(A-H,O-Z)
07090     CHARACTER*1 FUN
07100     REAL*8 M1,M2
07110 C
07120     IF(FUN.EQ.'C') NS= 1
07130     IF(FUN.EQ.'S') NS=-1
07140     IF(M1.EQ.0.AND.M2.EQ.0) THEN
07150     RINDF= 0.5*R*(NS*DCOS(P1+P2)+DCOS(P1-P2))
07160     RETURN
07170     ENDIF
07180 C
07190     IF(M1.EQ.M2) THEN
07200     RINDF= 0.5*(NS*1.0/(2*M1) *DSIN(2*M1*R+P1+P2)+R*DCOS(P1-P2))
07210     RETURN
07220     ENDIF
07230 C
07240     IF(M1.EQ.-M2) THEN
07250     RINDF= 0.5*(NS*R*DCOS(P1+P2)+1.0/(2*M1) *DSIN(2*M1*R+P1-P2))
07260     RETURN
07270     ENDIF
07280 C
07290     RINDF= 0.5*(NS*1.0/(M1+M2) *DSIN((M1+M2)*R+P1+P2) +
07300             1.0/(M1-M2) *DSIN((M1-M2)*R+P1-P2) )
07310     RETURN
07320 END

07330 *
07340 *
07350 *
07360     SUBROUTINE ZEROS(A,M,N,MX,NX,MOX,NOX)
07370     IMPLICIT REAL*8(A-H,O-Z)
07380     DIMENSION A(M:N)
07390 C
07400     DO 10 I=1,MX
07410     DO 10 J=1,NX
07420     10 A(I+MOX,J+NOX)= 0.0D0
07430     RETURN
07440 END

07450 *
07460 *
07470 *
07480     SUBROUTINE JBES(NO,np)
07490     IMPLICIT REAL*8(A-H,O-Z)
07500     COMMON
07510     /*NA/JM1(30),NNU(0:1,30),JE1(30),JH1(30),JET(30),JHT(30),NSIG(2)
07520     /*NN/N1,NT,NC,NE1,NH1,NET,NHT,NEC,NHC,NMAT,NEP
07530     /*NS/NL,NSY
07540     COMMON
07550     /*BE/BE(30,10,24,2),DI(30,10,24,2),X(30,10,24,2)
07560     /*C1/R1(10,24),XC1(30,10,24),XS1(30,10,24),VR1(10,24),VT1(10,24)
07570     /*PP/PI1,PIC,PIT,AP1,APC,RNP1,RNPT,PA1C,PATC
07580 C
07590     DO 10 I=1,N1
07600     I1= NNU(NL,I)
07610     DO 11 L=1,NO
07620     DO 11 K=1,np
07630     X1= AP1*R1(L,K)
07640     BE(I,L,K,1)= DJBES(I1,X1)
07650     X_(I,L,K,1)= I1/X1
07660     DI(I,L,K,1)= X(I,L,K,1)*BE(I,L,K,1)-DJBES(I1+1,X1)
07670     11 CONTINUE
07680     10 CONTINUE
07690     RETURN
07700 END

```

ANALYSIS OF SIDE-TUNNEL FIBERS

L861212 PAGE 13

```
07710 *
07720 *
07730 *
07740     SUBROUTINE KBES1(NO,NP)
07750     IMPLICIT REAL*8(A-H,O-Z)
07760     COMMON
07770     /*NA/JM1(30),NNU(0:1,30),JE1(30),JH1(30),JET(30),JHT(30),NSIG(2)
07780     /*NN/N1,NT,NC,NE1,NH1,NET,NHT,NEC,NHC,NMAT,NEP
07790     /*NS/NL,NSY
07800     COMMON
07810     /*BE/BE(30,10,24,2),DI(30,10,24,2),X(30,10,24,2)
07820     /*CP/RP(10,24),XCP(30,10,24),XSP(30,10,24),VRP(10,24),VTP(10,24)
07830     /*PP/PI1,PIC,PIT,AP1,APC,APT,RNP1,RNPC,RNPT,PA1C,PATC
07840 C
07850     DO 10 I=1,N1
07860     I1= NNU(NL,I)
07870     DO 11 L=1,NO
07880     DO 11 K=1,np
07890     XC= APC*RP(L,K)
07900     BE(I,L,K,1)= DKBES(I1,XC)
07910     X (I,L,K,1)= I1/XC
07920     DI(I,L,K,1)= X(I,L,K,1)*BE(I,L,K,1)-DKBES(I1+1,XC)
07930     11 CONTINUE
07940     10 CONTINUE
07950     RETURN
07960     END

07970 *
07980 *
07990 *
08000     SUBROUTINE KBEST1(L1,L2,np)
08010     IMPLICIT REAL*8(A-H,O-Z)
08020     COMMON
08030     /*NA/JM1(30),NNU(0:1,30),JE1(30),JH1(30),JET(30),JHT(30),NSIG(2)
08040     /*NN/N1,NT,NC,NE1,NH1,NET,NHT,NEC,NHC,NMAT,NEP
08050     /*NS/NL,NSY
08060     COMMON
08070     /*BE/BE(30,10,24,2),DI(30,10,24,2),X(30,10,24,2)
08080     /*CU/RT1(10,24,2),XCT1(30,10,24,2),XST1(30,10,24,2),
08090     * VRT1(10,24,2),VTT1(10,24,2)
08100     /*PP/PI1,PIC,PIT,AP1,APC,APT,RNP1,RNPC,RNPT,PA1C,PATC
08110 C
08120     DO 10 I=1,NT+1
08130     I1= JM1(I)
08140     DO 11 L=L1,L2
08150     DO 11 K=1,np
08160     DO 11 NS=1,2
08170     XC= APC*RT1(L,K,NS)
08180     BE(I,L,K,NS)= DKBES(I1;XC)*NSIG(NS)
08190     X (I,L,K,NS)= I1/XC
08200     11 CONTINUE
08210     10 CONTINUE
08220     DO 12 I=1,NT
08230     DO 12 L=L1,L2
08240     DO 12 K=1,np
08250     DO 12 NS=1,2
08260     DI(I,L,K,NS)= X(I,L,K,NS)*BE(I,L,K,NS)-BE(I+1,L,K,NS)
08270     12 CONTINUE
08280     RETURN
08290     END
```

ANALYSIS OF SIDE-TUNNEL FIBERS

L861212 PAGE 14

```

08300 *
08310 *
08320 *
08330     SUBROUTINE ELEM
08340     IMPLICIT REAL*8(A-H,O-Z)
08350     COMMON
08360     */NN/N1,NT,NC,NE1,NH1,NET,NHT,NEC,NHC,NMAT,NEP
08370     */EL/EL(60,60),BX(60)
08380     */FH/FACT1,FACTT
08390     */PP/PI1,PIC,APT,APC,RNP1,RNPC,RNPT,PA1C,PATC
08400     */PI/PEI(30,30),PEIN(30,30),PHI(30,30),PHIN(30,30)
08410     */PJ/PEJ(30,30),PEJN(30,30),PHJ(30,30),PHJN(30,30)
08420     */PK/PEK(30,30),PEKN(30,30),PHK(30,30),PHKN(30,30)
08430     */TA/TE1(30,30),TH1(30,30),TET(30,30),THT(30,30)
08440     */TS/PEM1(30,30),PEMC(30,30),PHM1(30,30),PHMC(30,30),
08450     *      PEMT(30,30),PHMT(30,30)
08460 C
08470 C     CALL SHOW(PEK , 'PEK ',30,30,    +1,NEC,    +1,NEC)
08480     CALL MATIO(PEJ,30,NE1)
08490     CALL MATIO(PHJ,30,NH1)
08500     CALL MATIO(PEI,30,NET)
08510     CALL MATIO(PHI,30,NHT)
08520     CALL MATIO(PEK,30,NEC)
08530     CALL MATIO(PHK,30,NHC)
08540     CALL MUL  (PEJ,PEJN,PEM1,30,30,30,30,30,30,NE1,NE1,NE1,1,1)
08550     CALL MUL  (PHJ,PHJN,PHM1,30,30,30,30,30,30,NH1,NH1,NH1,1,1)
08560     CALL MUL  (PEI,PEIN,PEMT,30,30,30,30,30,30,NET,NET,NET,1,1)
08570     CALL MUL  (PHI,PHIN,PHMT,30,30,30,30,30,30,NHT,NHT,NHT,1,1)
08580     CALL MUL  (PEK,PEKN,PEMC,30,30,30,30,30,30,NEC,NEC,NEC,1,1)
08590     CALL MUL  (PHK,PHKN,PHMC,30,30,30,30,30,30,NHC,NHC,NHC,1,1)
08600 C
08610     DO 14 I=1,NE1
08620     DO 14 J=1,NE1
08630 14 EL(I,J)=-(RNP1*PEM1(I,J)+RNPC*PEMC(I,J))
08640     DO 15 I=1,NE1
08650     DO 15 J=NE1+1,NEC
08660 15 EL(I,J)=RNPC*PEMC(I,J)
08670     DO 16 I=NE1+1,NEC
08680     DO 16 J=1,NE1
08690 16 EL(I,J)=RNPC*PEMC(I,J)
08700     DO 17 I=1,NET
08710     DO 17 J=1,NET
08720 17 EL(I+NE1,J+NE1)=RNPT*PEMT(I,J)-RNPC*PEMC(I+NE1,J+NE1)
08730 C
08740     DO 18 I=1,NE1
08750     DO 18 J=1,NH1
08760 18 EL(I,J+NEC)=PA1C*TH1(I,J)*FACT1
08770     DO 19 I=1,NE1
08780     DO 19 J=1,NHT
08790 19 EL(I,J+NEC+NH1)=0.0D0
08800     DO 30 I=1,NET
08810     DO 30 J=1,NH1
08820 30 EL(I+NE1,J+NEC)=0.0D0
08830     DO 31 I=1,NET
08840     DO 31 J=1,NHT
08850 31 EL(I+NE1,J+NEC+NH1)=PATC*THT(I,J)*FACTT
08860 C
08870     DO 32 I=1,NH1
08880     DO 32 J=1,NE1
08890 32 EL(I+NEC,J)=PA1C*TE1(I,J)*FACT1
08900     DO 33 I=1,NH1
08910     DO 33 J=1,NET
08920 33 EL(I+NEC,J+NE1)=0.0D0
08930     DO 34 I=1,NHT
08940     DO 34 J=1,NE1
08950 34 EL(I+NEC+NH1,J)=0.0D0
08960     DO 35 I=1,NHT
08970     DO 35 J=1,NET
08980 35 EL(I+NEC+NH1,J+NE1)=PATC*TET(I,J)*FACTT
08990 C
09000     DO 36 I=1,NH1
09010     DO 36 J=1,NH1
09020 36 EL(I+NEC,J+NEC)=PI1*PHM1(I,J)+PIC*PHMC(I,J)
09030     DO 37 I=1,NH1
09040     DO 37 J=NH1+1,NHC
09050 37 EL(I+NEC,J+NEC)=PIC*PHMC(I,J)
09060     DO 38 I=NH1+1,NHC
09070     DO 38 J=1,NH1

```

ANALYSIS OF SIDE-TUNNEL FIBERS

L861212 PAGE 15

```
09080 38 EL(I+NEC,J+NEC) = PIC*PHMC(I,J)
09090 DO 39 I=1,NHT
09100 DO 39 J=1,NHT
09110 39 EL(I+NEC+NH1,J+NEC+NH1)=-PIT*PHMT(I,J)+PIC*PHMC(I+NH1,J+NH1)
09120 RETURN
09130 END

09140 *
09150 *
09160 SUBROUTINE CHKB(A,B,N,NMAT)
09170 IMPLICIT REAL*8(A-H,O-Z)
09180 DIMENSION A(N,N),B(N)
09190 C
09200 NHALFL=NMAT/2
09210 WRITE(6,*)
09220 WRITE(6,*)
09230 DO 10 I=1,NMAT
09240 ALEFT=0
09250 ARIGH=0
09260 DO 11 J=1,NHALFL
09270 11 ALEFT=ALEFT+A(I,J)*B(J)
09280 DO 12 J=NHALFL+1,NMAT
09290 12 ARIGH=ARIGH+A(I,J)*B(J)
09300 IF(ALEFT.NE.0) ERR=DABS((ALEFT+ARIGH)/ALEFT)
09310 WRITE(6,400) ALEFT,ARIGH,ERR
09320 10 CONTINUE
09330 RETURN
09340 400 FORMAT(1H,,3(1PD13.3))
09350 END
```

ANALYSIS OF SIDE-TUNNEL FIBERS

L861212 PAGE 16

```

09360 *
09370 *
09380 *
09390     SUBROUTINE RIGOR
09400     IMPLICIT REAL*8(A-H,O-Z)
09410     COMMON
09420     /*NN/N1,NT,NC,NE1,NH1,NET,NHT,NEC,NHC,NMAT,NEP
09430     /*NS/NL,NSY
09440     /*NA/JM1(30),NNU(0:1,30),JE1(30),JH1(30),JET(30),JHT(30),NSIG(2)
09450     /*BR/BKC(0:40),BKD(0:40),BIB(0:20),DIB(0:20)
09460     /*PK/PEK(30,30),PEKN(30,30),PHK(30,30),PHKN(30,30)
09470     /*PA/PAI,PAIH,PAIQ,PAID,PHAI
09480     /*PP/PI1,PIC,PIT,AP1,APC,APT,RNP1,RNPC,RNPT,PA1C,PATC
09490     /*SH/RRB,RRC,THT1,THT3
09500 C
09510     NSGN= NSIG(1)
09520     DO 10 I=0,NNU(NL,N1)+JM1(NT)
09530     10 BK(C(I)= DKBES(I,APC*RRC)
09540     DO 11 I=0,JM1(NT)*2
09550     11 BKD(I)= DKBES(I,APC*RRC*2)
09560     DO 12 I=0,NT
09570     12 BIB(I)= DIBES(I,APC*RRB)
09580     DO 13 I=0,JM1(NT)
09590     13 DIB(I)= I/(APC*RRB)*BIB(I)+BIB(I+1)
09600     DO 30 I=1,NE1
09610     DO 30 J=1,NET
09620     II= NNU(NL,JE1(I))
09630     JJ= JM1(JET(J))
09640     PEK (I ,J+NE1)= F1T(II,JJ,PHAI)
09650     PEKN(I ,J+NE1)= DF1T(II,JJ,PHAI)
09660     30 CONTINUE
09670     DO 31 I=1,NET
09680     DO 31 J=1,NET
09690     II= JM1(JET(I))
09700     JJ= JM1(JET(J))
09710     PEK (I+NE1,J+NE1)= PEK (I+NE1,J+NE1)+ FTT(II,JJ,PHAI)*NSGN
09720     PEKN(I+NE1,J+NE1)= PEKN(I+NE1,J+NE1)+DFTT(II,JJ,PHAI)*NSGN
09730     31 CONTINUE
09740     DO 32 I=1,NH1
09750     DO 32 J=1,NHT
09760     II= NNU(NL,JH1(I))
09770     JJ= JM1(JHT(J))
09780     PHK (I ,J+NH1)= F1T(II,JJ,PHAI-PAIH)
09790     PHKN(I ,J+NH1)= DF1T(II,JJ,PHAI-PAIH)
09800     32 CONTINUE
09810     DO 33 I=1,NHT
09820     DO 33 J=1,NHT
09830     II= JM1(JHT(I))
09840     JJ= JM1(JHT(J))
09850     PHK (I+NH1,J+NH1)= PHK (I+NH1,J+NH1)+ FTT(II,JJ,PHAI-PAIH)*NSGN
09860     PHKN(I+NH1,J+NH1)= PHKN(I+NH1,J+NH1)+DFTT(II,JJ,PHAI-PAIH)*NSGN
09870     33 CONTINUE
09880     RETURN
09890     END

09900 *
09910 *
09920 *
09930     FUNCTION F1T(I,J,ROU)
09940     IMPLICIT REAL*8(A-H,O-Z)
09950     COMMON
09960     /*BR/BKC(0:40),BKD(0:40),BIB(0:20),DIB(0:20)
09970     /*PA/PAI,PAIH,PAIQ,PAID,PHAI
09980     /*PP/PI1,PIC,PIT,AP1,APC,APT,RNP1,RNPC,RNPT,PA1C,PATC
09990     /*SH/RRB,RRC,THT1,THT3
10000 C
10010 C     BK(P= DKBES(I+J,APC*RRC)
10020 C     BK(M= DKBES(I-J,APC*RRC)
10030 C     BI(J= DIBES( J,APC*RRB)
10040     BK(P= BKC(IABS(I+J))
10050     BK(M= BKC(IABS(I-J))
10060     BI(J= BIB( J )
10070     MINUS=(-1)**J
10080     F1T= MINUS*PAIH*(DCOS(2*ROU)*BK(P+BK(M)*BI(J)*RRB
10090     RETURN
10100     END

```

ANALYSIS OF SIDE-TUNNEL FIBERS

L861212 PAGE 17

```
10110 *
10120 *
10130 *
10140     FUNCTION FTT(I,J,ROU)
10150     IMPLICIT REAL*8(A-H,O-Z)
10160     COMMON
10170     */BR/BKC(0:40),BKD(0:40),BIB(0:20),DIB(0:20)
10180     */PA/PAI,PAIH,PAIQ,PAID,PHAI
10190     */PP/PI1,PIC,PIT,AP1,APC,APT,RNP1,RNPC,RNPT,PA1C,PATC
10200     */SH/RRB,RRC,THT1,THT3
10210 C
10220 C     BKP= DKBES(I+J,APC*RRC*2)
10230 C     BKM= DKBES(I-J,APC*RRC*2)
10240 C     BIJ= DIBES( J,APC*RRB )
10250 C     BKP= BKD(IABS(I+J))
10260 C     BKM= BKD(IABS(I-J))
10270 C     BIJ= BIB(      J )
10280 C     MINUS= (-1)**(I+J)
10290 C     FTT= MINUS*PAIH*(DCOS(2*ROU)*BKP+BKM)*BIJ*RRB
10300 C     RETURN
10310 C     END

10320 *
10330 *
10340 *
10350     FUNCTION DF1T(I,J,ROU)
10360     IMPLICIT REAL*8(A-H,O-Z)
10370     COMMON
10380     */BR/BKC(0:40),BKD(0:40),BIB(0:20),DIB(0:20)
10390     */PA/PAI,PAIH,PAIQ,PAID,PHAI
10400     */PP/PI1,PIC,PIT,AP1,APC,APT,RNP1,RNPC,RNPT,PA1C,PATC
10410     */SH/RRB,RRC,THT1,THT3
10420 C
10430 C     BKP= DKBES(I+J,APC*RRC)
10440 C     BKM= DKBES(I-J,APC*RRC)
10450 C     DIJ= J/(APC*RRB)*DIBES( J,APC*RRB )+DIBES( J+1,APC*RRB )
10460 C     BKP= BKC(IABS(I+J))
10470 C     BKM= BKC(IABS(I-J))
10480 C     DIJ= DIB(      J )
10490 C     MINUS=(-1)**J
10500 C     DF1T= MINUS*PAIH*(DCOS(2*ROU)*BKP+BKM)*DIJ*RRB
10510 C     RETURN
10520 C     END

10530 *
10540 *
10550 *
10560     FUNCTION DFTT(I,J,ROU)
10570     IMPLICIT REAL*8(A-H,O-Z)
10580     COMMON
10590     */BR/BKC(0:40),BKD(0:40),BIB(0:20),DIB(0:20)
10600     */PA/PAI,PAIH,PAIQ,PAID,PHAI
10610     */PP/PI1,PIC,PIT,AP1,APC,APT,RNP1,RNPC,RNPT,PA1C,PATC
10620     */SH/RRB,RRC,THT1,THT3
10630 C
10640 C     BKP= DKBES(I+J,APC*RRC*2)
10650 C     BKM= DKBES(I-J,APC*RRC*2)
10660 C     DIJ= J/(APC*RRB)*DIBES( J,APC*RRB )+DIBES( J+1,APC*RRB )
10670 C     BKP= BKD(IABS(I+J))
10680 C     BKM= BKD(IABS(I-J))
10690 C     DIJ= DIB(      J )
10700 C     MINUS= (-1)**(I+J)
10710 C     DFTT= MINUS*PAIH*(DCOS(2*ROU)*BKP+BKM)*DIJ*RRB
10720 C     RETURN
10730 C     END
```

ANALYSIS OF SIDE-TUNNEL FIBERS

L861212 PAGE 18

```
10740 *
10750 *
10760 *
10770      SUBROUTINE CHAN(A,IA,JA,N,M1,M2)
10780      IMPLICIT REAL*8(A-H,O-Z)
10790      DIMENSION A(IA,JA)
10800 C
10810      DO 10 I=1,N
10820      WORK= A(I,M1)
10830      A(I,M1)= A(I,M2)
10840      A(I,M2)= WORK
10850 10 CONTINUE
10860      RETURN
10870      END
```

B - 5 - 2 遮断周波数解析のための主および副プログラム

```

*****
* CUTOFF FREQUENCY OF SIDE-TUNNEL FIBERS *
* DATE=86-12-12 *
*****
00010 *
00020 *      ANALYSIS OF SIDE TUNNEL OPTICAL FIBERS (CUTOFF)
00030 *      BY MODIFIED BOUNDARY INTEGRAL METHOD (M-B.I.M)      (86. 7. 7)
00040 *
00050     PROGRAM STFCUT
00060     IMPLICIT REAL*8(A-H,O-Z)
00070     CHARACTER CL(0:1)*1,CS(0:1)*1,CIN(0:1)*31
00080     COMMON
00090     */NN/N1,NT,NC,NE1,NH1,NET,NHT,NEC,NHC,NMAT,NEP
00100     */NS/NL,NSY
00110     */NV/N10,NA0,NB0,NAV,NBV,NAP,NBP,NPO
00120     COMMON
00130     */AK/AK,BK
00140     */B1/B1
00150     */NR/RN1,RNC,RNT,RN12,RNC2,RNT2
00160     */PA/PAI,PAIH,PAIQ,PAID,PHAI
00170     */SH/RRB,RRC,THT1,THT3
00180     DATA CL,CS/'0','1','0','E'
00190     DATA CIN/'Input Rb,Rc,Nr1,Nrc,Nrt,Nl,Nsy',
00200     *           'Input a,>b,Nr1,Nrc,Nrt,Nl,Nsy'
00210     PAI= 3.141592653589793D0
00220     PAIH= 0.5*PAI
00230     PAIQ= 0.5*PAIH
00240     PAID= 2.0*PAI
00250 C
00260 90 WRITE(6,*) 'Input NPA(0:RB 1:a)'
00270  READ(5,*,ERR=90) NPA
00280  IF(NPA.EQ.0) WRITE(6,210) ';'
00290  IF(NPA.NE.0) THEN
00300    WRITE(6,211) ';'
00310  NPA= 1
00320  ENDIF
00330  EPS= 1.0D-6
00340  20 WRITE(6,*) CIN(NPA)
00350  READ(5,*,ERR=20) RB,RC,RN1,RNC,RNT,NL,NSY
00360  IF(NPA.EQ.0) THEN
00370    RRB= RB
00380    RRC= RC
00390  ELSE
00400    RRB= (1.0D0-RC)/(2.0D0*RB)
00410    RRC= (1.0D0+RC)/(2.0D0*RB)
00420  ENDIF
00430  RN12= RN1*RN1
00440  RNC2= RNC*RNC
00450  RNT2= RNT*RNT
00460  PHAI= -PAIH*(1-NSY)
00470  21 WRITE(6,*) 'Input Na0,Nav,Nb0,Nbv,Np0,eps'
00480  READ(5,*,ERR=21) NA0,NAV,NB0,NBV,NPO,NEP
00490  EPS= 10.0**(-NEP)
00500  22 WRITE(6,*) 'Input N1,NT'
00510  READ(5,*,ERR=22) N1,NT
00520  CALL SETN
00530  CALL COOR
00540  CALL TANF
00550  JAK= 0
00560  23 WRITE(6,*) 'Input B'
00570  READ(5,*,ERR=23) B1
00580  IF(B1.LE.0) B1= 1.0D-4
00590  24 WRITE(6,*) 'Input V1,Vd,Ve'
00600  READ(5,*,ERR=24) V1,VD,VE
00610  IF(V1.EQ.0.OR.VD.LE.0) GOTO 27
00620  AK= V1/DSQRT(RN12-RNC2)
00630  CALL CLOCK
00640  Y1= VALUE(B1)
00650  CALL CLOCK(TIME)
00660  WRITE(6,400) TIME
00670  400 FORMAT(1H , 'TIME=',1PD13.3,' SEC')
00680  WRITE(6,200) V1,' B1',B1,Y1
00690  25 V2=V1+VD
00700  AK= V2/DSQRT(RN12-RNC2)
00710  IF(V2.GE.VE.OR.JAK.EQ.3) GOTO 26
00720  Y2= VALUE(B1)

```

CUTOFF FREQUENCY OF SIDE-TUNNEL FIBERS

```

00730      IF(Y1.GT.0.AND.Y2.LT.0 .OR. Y1.LT.0.AND.Y2.GT.0      L861212 PAGE 2
00740      * .OR. Y1.EQ.0 .OR. Y2.EQ.0 ) THEN
00750      JAK= 1
00760      CALL SOLVE(V1,V2,Y1,Y2,VO,Y0,EPS)
00770      WRITE(6,200) VO,'*B0',B1,Y0
00780      ENDIF
00790      WRITE(6,200) V2,' B2',B1,Y2
00800      V1= V2
00810      Y1= Y2
00820      GOTO 25
00830 26 IF(NPA.EQ.0) WRITE(6,210) ''
00840      IF(NPA.EQ.1) WRITE(6,211) ''
00850      IF(JAK.GT.0) THEN
00860      WRITE(6,220) ';',RB,RC,RN1,RNC,RNT,CL(NL),CS(NSY),N1,NT,NEP,
00870      * NAO,NAP,NBO,NBP,NPO,VO,B1
00880      JAK= 0
00890      ELSE
00900      WRITE(6,220) '',RB,RC,RN1,RNC,RNT,CL(NL),CS(NSY),N1,NT,NEP,
00910      * NAO,NAP,NBO,NBP,NPO
00920      ENDIF
00930 27 WRITE(6,*) '0:V 1:B1 2:N 3:Ndiv,EPS 4:Ra,NL,Nsy 5:Field 6:Stop'
00940      READ(5,100,ERR=27) NJ
00950      GOTO (24,23,22,21,20,28,40),NJ+1
00960 28 CALL FIELD(VO,B1,CL,CS)
00970      GOTO 27
00980      40 STOP 0
00990 100 FORMAT(I1)
01000 200 FORMAT(1H , 'AK=',F20.15,3X,A3,'=',F12.9,' Y=',1PD25.15)
01010 210 FORMAT(1H ,A1,' RB      RC      NR1      NRC      NRT',
01020      *           Mode N1      NT Nep Na0 Nap Nb0 Nbp Np0 ',
01030      *           V          P')
01040 211 FORMAT(1H ,A1,' a      b      NR1      NRC      NRT',
01050      *           Mode N1      NT Nep Na0 Nap Nb0 Nbp Np0 ',
01060      *           V          P')
01070 220 FORMAT(1H ,A1,5F8.5,2X,2A1,8I4,F16.10,F19.15)
01080      END

```

```

CUTOFF FREQUENCY OF SIDE-TUNNEL FIBERS
01090 *
01100 *      SOLUTION OF TRANSCENDENTAL EQUATION
01110 *
01120      SUBROUTINE SOLVE(XSM,XBI,YSM,YBI,X0,Y0,EPS)
01130      IMPLICIT REAL*8(A-H,O-Z)
01140      COMMON
01150      */AK/AK,BK
01160      */NR/RN1,RNC,RNT,RN12,RNC2,RNT2
01170      */B1/B1
01180 C
01190      F(XL,XB,YL,YB)= (XB*YL-XL*YB)/(YL-YB)
01200      XQ=-1.0
01210      X1= XSM
01220      X2= XBI
01230      Y1= YSM
01240      Y2= YBI
01250      X0= F(X1,X2,Y1,Y2)
01260      20 IF(DABS(X0-XQ).LT.EPS) RETURN
01270      AK= X0/DSQRT(RN12-RNC2)
01280 C      WRITE(6,*) X0,B1,AK
01290 C      IF(M.EQ.1) STOP
01300      Y0= VALUE(B1)
01310      XQ= X0
01320      YY= Y0/Y1
01330      IF(YY) 21,27,22
01340 C
01350      21 IF(DABS(Y2)-DABS(Y0).LE.0) GOTO 25
01360      XP= F(X0,X2,Y0,Y2)
01370      X2= X0
01380      Y2= Y0
01390      IF(XP-X1) 23,23,24
01400 C
01410      22 IF(DABS(Y1)-DABS(Y0).LE.0) GOTO 26
01420      XP= F(X1,X0,Y1,Y0)
01430      X1= X0
01440      Y1= Y0
01450      IF(X2-XP) 23,23,24
01460 C
01470      23 X0= X1+0.5*(X2-X1)
01480      GOTO 20
01490 C
01500      24 X0= XP
01510      GOTO 20
01520 C
01530      25 X2= X0
01540      Y2= Y0
01550      GOTO 23
01560      26 X1= X0
01570      Y1= Y0
01580      GOTO 23
01590 C
01600      27 WRITE(6,*) ' Y0= 0 (Y-AJ ?YL^)'
01610      RETURN
01620      END

```